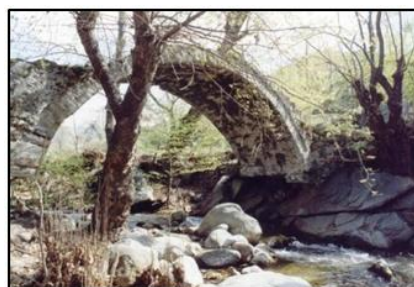




ΕΛΛΗΝΙΚΗ ΔΗΜΟΚΡΑΤΙΑ



**ΓΕΝΙΚΗ ΓΡΑΜΜΑΤΕΙΑ ΦΥΣΙΚΟΥ ΠΕΡΙΒΑΛΛΟΝΤΟΣ
ΚΑΙ ΥΔΑΤΩΝ
ΓΕΝΙΚΗ ΔΙΕΥΘΥΝΣΗ ΥΔΑΤΩΝ**



**1^η ΑΝΑΘΕΩΡΗΣΗ
ΣΧΕΔΙΟΥ ΔΙΑΧΕΙΡΙΣΗΣ ΚΙΝΔΥΝΩΝ ΠΛΗΜΜΥΡΑΣ
των Λεκανών Απορροής Ποταμών του
Υδατικού Διαμερίσματος Δυτικής Στερεάς Ελλάδας (EL04)**

Στάδιο 1 – Παραδοτέο 4

ΠΛΗΜΜΥΡΙΚΑ ΥΔΡΟΓΡΑΦΗΜΑΤΑ

**Παράρτημα Π4.20:
Υδρολογική Ανάλυση λεκάνης ποταμού Ίναχου**



Ευρωπαϊκή Ένωση
Ταμείο Συνοχής



Με τη συγχρηματοδότηση της Ελλάδας και της Ευρωπαϊκής Ένωσης

Περιεχόμενα

1	ΜΟΝΤΕΛΟ ΥΔΡΟΛΟΓΙΚΗΣ ΠΡΟΣΟΜΟΙΩΣΗΣ ΛΕΚΑΝΗΣ ΑΠΟΡΡΟΗΣ	4
2	ΔΕΔΟΜΕΝΑ ΕΙΣΟΔΟΥ ΚΑΙ ΑΠΟΤΕΛΕΣΜΑΤΑ ΥΔΡΟΛΟΓΙΚΟΥ ΣΕΝΑΡΙΟΥ T=50	7
2.1	Αποτελέσματα, υετογραφήματα και υδρογραφήματα σχεδιασμού υπολεκανών	8
2.2	Δεδομένα και υδρογραφήματα σχεδιασμού Κλάδων υδρογραφικού δικτύου	18
2.3	Δεδομένα και υδρογραφήματα σχεδιασμού Κόμβων υδρογραφικού δικτύου	24
3	ΔΕΔΟΜΕΝΑ ΕΙΣΟΔΟΥ ΚΑΙ ΑΠΟΤΕΛΕΣΜΑΤΑ ΥΔΡΟΛΟΓΙΚΟΥ ΣΕΝΑΡΙΟΥ T=50 L	31
3.1	Αποτελέσματα, υετογραφήματα και υδρογραφήματα σχεδιασμού υπολεκανών	32
3.2	Δεδομένα και υδρογραφήματα σχεδιασμού Κλάδων υδρογραφικού δικτύου	42
3.3	Δεδομένα και υδρογραφήματα σχεδιασμού Κόμβων υδρογραφικού δικτύου	48
4	ΔΕΔΟΜΕΝΑ ΕΙΣΟΔΟΥ ΚΑΙ ΑΠΟΤΕΛΕΣΜΑΤΑ ΥΔΡΟΛΟΓΙΚΟΥ ΣΕΝΑΡΙΟΥ T=50 U	55
4.1	Αποτελέσματα, υετογραφήματα και υδρογραφήματα σχεδιασμού υπολεκανών	56
4.2	Δεδομένα και υδρογραφήματα σχεδιασμού Κλάδων υδρογραφικού δικτύου	66
4.3	Δεδομένα και υδρογραφήματα σχεδιασμού Κόμβων υδρογραφικού δικτύου	72
5	ΔΕΔΟΜΕΝΑ ΕΙΣΟΔΟΥ ΚΑΙ ΑΠΟΤΕΛΕΣΜΑΤΑ ΥΔΡΟΛΟΓΙΚΟΥ ΣΕΝΑΡΙΟΥ T=100	79
5.1	Αποτελέσματα, υετογραφήματα και υδρογραφήματα σχεδιασμού υπολεκανών	80
5.2	Δεδομένα και υδρογραφήματα σχεδιασμού Κλάδων υδρογραφικού δικτύου	90
5.3	Δεδομένα και υδρογραφήματα σχεδιασμού Κόμβων υδρογραφικού δικτύου	96
6	ΔΕΔΟΜΕΝΑ ΕΙΣΟΔΟΥ ΚΑΙ ΑΠΟΤΕΛΕΣΜΑΤΑ ΥΔΡΟΛΟΓΙΚΟΥ ΣΕΝΑΡΙΟΥ T=100 L	103
6.1	Αποτελέσματα, υετογραφήματα και υδρογραφήματα σχεδιασμού υπολεκανών	104
6.2	Δεδομένα και υδρογραφήματα σχεδιασμού Κλάδων υδρογραφικού δικτύου	114
6.3	Δεδομένα και υδρογραφήματα σχεδιασμού Κόμβων υδρογραφικού δικτύου	120
7	ΔΕΔΟΜΕΝΑ ΕΙΣΟΔΟΥ ΚΑΙ ΑΠΟΤΕΛΕΣΜΑΤΑ ΥΔΡΟΛΟΓΙΚΟΥ ΣΕΝΑΡΙΟΥ T=100 U	127
7.1	Αποτελέσματα, υετογραφήματα και υδρογραφήματα σχεδιασμού υπολεκανών	128
7.2	Δεδομένα και υδρογραφήματα σχεδιασμού Κλάδων υδρογραφικού δικτύου	138
7.3	Δεδομένα και υδρογραφήματα σχεδιασμού Κόμβων υδρογραφικού δικτύου	144
8	ΔΕΔΟΜΕΝΑ ΕΙΣΟΔΟΥ ΚΑΙ ΑΠΟΤΕΛΕΣΜΑΤΑ ΥΔΡΟΛΟΓΙΚΟΥ ΣΕΝΑΡΙΟΥ T=1000	151
8.1	Αποτελέσματα, υετογραφήματα και υδρογραφήματα σχεδιασμού υπολεκανών	152

8.2	Δεδομένα και υδρογραφήματα σχεδιασμού Κλάδων υδρογραφικού δικτύου	162
8.3	Δεδομένα και υδρογραφήματα σχεδιασμού Κόμβων υδρογραφικού δικτύου	168

9 ΔΕΔΟΜΕΝΑ ΕΙΣΟΔΟΥ ΚΑΙ ΑΠΟΤΕΛΕΣΜΑΤΑ ΥΔΡΟΛΟΓΙΚΟΥ ΣΕΝΑΡΙΟΥ T=1000L175

9.1	Αποτελέσματα, υετογραφήματα και υδρογραφήματα σχεδιασμού υπολεκανών	176
9.2	Δεδομένα και υδρογραφήματα σχεδιασμού Κλάδων υδρογραφικού δικτύου	186
9.3	Δεδομένα και υδρογραφήματα σχεδιασμού Κόμβων υδρογραφικού δικτύου	192

10 ΔΕΔΟΜΕΝΑ ΕΙΣΟΔΟΥ ΚΑΙ ΑΠΟΤΕΛΕΣΜΑΤΑ ΥΔΡΟΛΟΓΙΚΟΥ ΣΕΝΑΡΙΟΥ T=1000U199

10.1	Αποτελέσματα, υετογραφήματα και υδρογραφήματα σχεδιασμού υπολεκανών	200
10.2	Δεδομένα και υδρογραφήματα σχεδιασμού Κλάδων υδρογραφικού δικτύου	210
10.3	Δεδομένα και υδρογραφήματα σχεδιασμού Κόμβων υδρογραφικού δικτύου	216

1 Μοντέλο Υδρολογικής Προσομοίωσης Λεκάνης Απορροής

Το μοντέλο υδρολογικής προσομοίωσης του ποταμού Ίναχου περιλαμβάνει 9 υπολεκάνες, 7 κόμβους και 6 κλάδους υδρογραφικού δικτύου. Ο ποταμός Ίναχος απορρέει στον ταμιευτήρα Καστρακίου, στον κόμβο J19 (ο κατάντη κλάδος καταλαμβάνεται από τον ταμιευτήρα).

Η σχηματοποίηση του υδρολογικού συστήματος απεικονίζεται στον χάρτη της Εικόνας 5-22. Εντός της λεκάνης περιλαμβάνεται εξ ολοκλήρου η νέα ΖΔΥΚΠ “Χαμηλές ζώνες π.Ίναχου”.

Τα χαρακτηριστικά μεγέθη της λεκάνης είναι:

- Έκταση $A = 353.78 \text{ km}^2$
- Μέσο υψόμετρο $z_m = 541.04 \text{ m}$
- Υψόμετρο κόμβου εξόδου $z_k = 141 \text{ m}$
- Μέγιστο μήκος ροής $L_{\max} = 87.14 \text{ km}$
- Χρόνος συγκέντρωσης $t_c = 12.9 \text{ h}$

Για την υδρολογική προσομοίωση επιλέγεται διάρκεια βροχής $D = 24 \text{ h}$ και χρονικό βήμα $\Delta t = 15 \text{ min}$.

Για την παραπάνω έκταση και διάρκεια προκύπτει συντελεστής επιφανειακής αναγωγής $\varphi = 0.908$.

Τα χαρακτηριστικά γεωμετρικά μεγέθη των κλάδων και υπολεκανών του υδρογραφικού δικτύου δίνονται στους Πίνακες 5-50 και 5-51, αντίστοιχα, ενώ τα συγκεντρωτικά αποτελέσματα του συνολικού υδρολογικού συστήματος δίνονται στον Πίνακα 5-52. Στο Παράρτημα Π20 δίνονται τα πλήρη δεδομένα εισόδου και εξόδου του μοντέλου προσομοίωσης για όλες τις συνιστώσες του δικτύου (υπολεκάνες, κόμβοι, κλάδοι), και τα αντίστοιχα γραφήματα.

Πίνακας Error! No text of specified style in document.-1 Χαρακτηριστικά μεγέθη κλάδων υδρογραφικού δικτύου (υδατορεύματα)

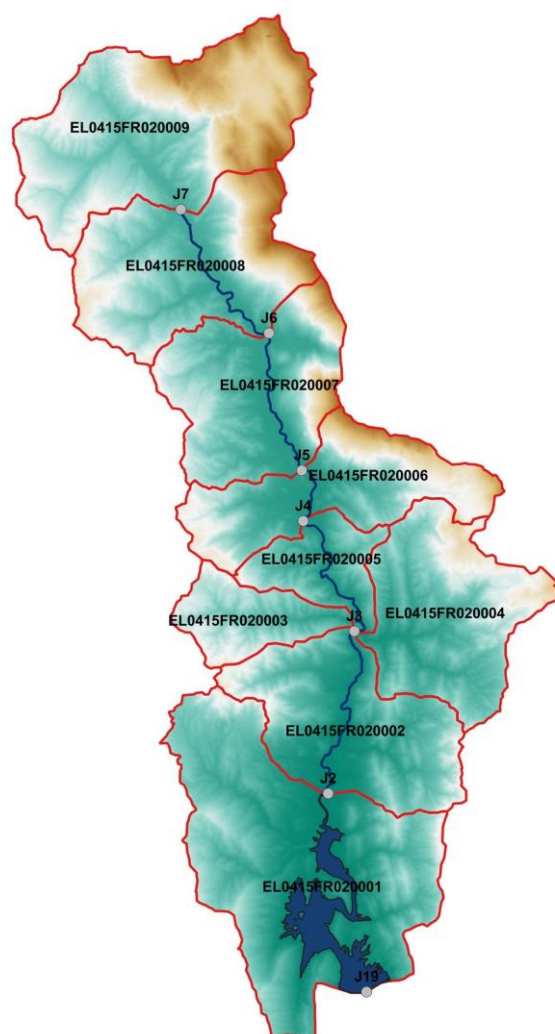
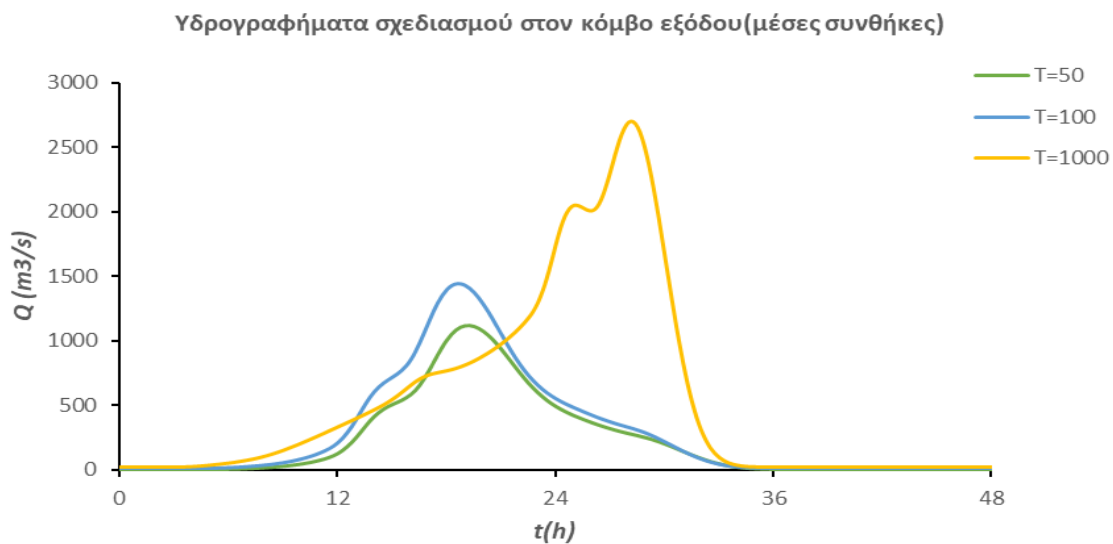
Κωδικός	Ονομασία	Ανάτη	Κατάντη	Μήκος (km)	Μέση κλίση
R219	INAXOS Π.2	J2	J19	11.4926349	0.00059983
R32	INAXOS Π.1	J3	J2	8.33577144	0.00614714
R43		J4	J3	6.68117888	0.00440744
R54		J5	J4	2.43075531	0.00612623
R65		J6	J5	6.45852145	0.00560544
R76		J7	J6	7.67651701	0.00814407

Πίνακας Error! No text of specified style in document.-2 Χαρακτηριστικά μεγέθη υπολεκανών

Κωδικός	Λεκάνη απορροής	Κλάδος	Κόμβος εξόδου	Έκταση (km ²)	Μέσο υψόμετρο (m)	Υψόμετρο εξόδου (m)	Μέγιστο μήκος ροής (km)
EL0415FR020001	EL0415FR00020	R219	J19	76.58	342.16	141.00	19.94
EL0415FR020002	EL0415FR00020	R32	J2	39.41	388.73	147.89	12.41
EL0415FR020003	EL0415FR00020		J3	14.18	568.14	199.13	8.73
EL0415FR020004	EL0415FR00020		J3	38.04	521.68	199.13	10.53
EL0415FR020005	EL0415FR00020	R43	J3	14.00	396.73	199.13	6.68
EL0415FR020006	EL0415FR00020	R54	J4	32.61	636.83	228.58	5.60
EL0415FR020007	EL0415FR00020	R65	J5	37.84	531.88	243.47	6.46
EL0415FR020008	EL0415FR00020	R76	J6	42.76	661.99	279.68	7.68
EL0415FR020009	EL0415FR00020		J7	58.35	809.37	342.19	9.11

Πίνακας Error! No text of specified style in document.-3 Συγκεντρωτικά αποτελέσματα υδρολογικής προσομοίωσης περιοχής μελέτης

Χαρακτηριστικά μεγέθη λεκάνης απορροής Ίναχου			
Έκταση (km ²)	353.78	Υψόμετρο εξόδου (m)	141
Αδιαπέρατη επιφάνεια (%)	0.00	Χρόνος συγκέντρωσης (h)	12.9
Μέγιστο μήκος ροής (km)	87.14	Διάρκεια βροχόπτωσης σχεδιασμού (h)	24.00
Μέσο υψόμετρο (m)	541.04	Χρονικό βήμα (h)	0.25
Συγκεντρωτικά αποτελέσματα υδρολογικής προσομοίωσης λεκάνης			
	Ευμενείς συνθήκες	Μέσες συνθήκες	Δυσμενείς συνθήκες
	Ολικό ύψος επιφανειακής βροχής (mm)		
T = 50	178.5	178.5	178.5
T = 100	209.0	209.0	209.0
T = 1000	342.8	342.8	342.8
	Ολικό ύψος πλημμυρικής απορροής (mm)		
T = 50	62.8	110.8	143.5
T = 100	84.4	138.5	173.4
T = 1000	186.7	258.9	299.4
	Συντελεστής απορροής		
T = 50	0.352	0.621	0.804
T = 100	0.404	0.662	0.829
T = 1000	0.545	0.755	0.873
	Πλημμυρική παροχή αιχμής (m³/s)		
T = 50	602.0	1118.3	1424.3
T = 100	849.6	1437.6	1758.6
T = 1000	2225.8	2677.9	2824.7
	Πλημμυρικός όγκος (hm³)		
T = 50	22.218	39.207	50.783
T = 100	29.861	48.994	61.327
T = 1000	66.044	91.594	105.909
	Συνολική παροχή αιχμής (m³/s)		
T = 50	605.5	1121.8	1427.8
T = 100	856.7	1444.7	1765.7
T = 1000	2243.5	2695.6	2842.4
	Συνολικός όγκος υδρογραφήματος (hm³)		
T = 50	24.508	41.497	53.073
T = 100	34.443	53.576	65.909
T = 1000	77.505	103.055	117.370



Εικόνα 5-22 Χάρτης περιοχής μελέτης, στον οποίο απεικονίζεται η σχηματοποίηση των κόμβων και κλάδων του υδρογραφικού δικτύου και των υπολεκανών

2 Δεδομένα εισόδου και αποτελέσματα υδρολογικού σεναρίου T=50

2.1 Αποτελέσματα, υετογραφήματα και υδρογραφήματα σχεδιασμού υπολεκανών

Υπολεκάνη: EL0415FR0020001

Έκταση (KM2) : 76.58

Κατάντη : J19

Μέθοδος Απωλειών: SCS

Ποσοστό αδιαπέρατης επιφάνειας	0
Αριθμός Καμπύλης Απορροής-CN	82.85
Αρχικές Απώλειες	10.52

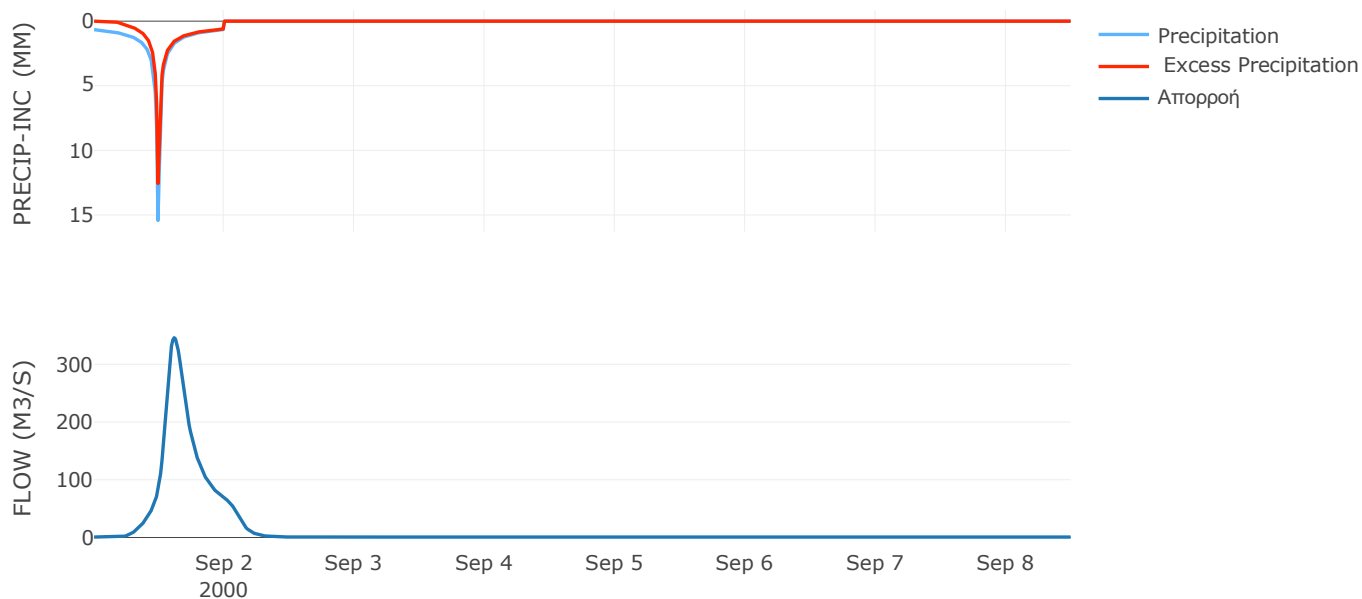
Μέθοδος Μετασχηματισμού:
Scs

Χρόνος Υστέρησης	154.62
------------------	--------

Αποτελέσματα:
EL0415FR0020001

Παροχή αιχμής (M3/S)	345.95
Χρονική στιγμή αιχμής	01Sep2000, 14:45
Όγκος (MM)	124.22
Όγκος βροχόπτωσης (M3)	1.28E7
Όγκος απωλειών (M3)	3.82E6
Ενεργός Όγκος (M3)	9.02E6
Όγκος άμεσης απορροής (M3)	9.02E6
Όγκος βασικής απορροής (M3)	4.96E5

Βροχόπτωση και Απορροή



Υπολεκάνη: EL0415FR0020002

Έκταση (KM2) : 39.41

Κατάντη : J2

Μέθοδος Απωλειών: SCS

Ποσοστό αδιαπέρατης επιφάνειας	0
Αριθμός Καμπύλης Απορροής-CN	80.98
Αρχικές Απώλειες	11.93

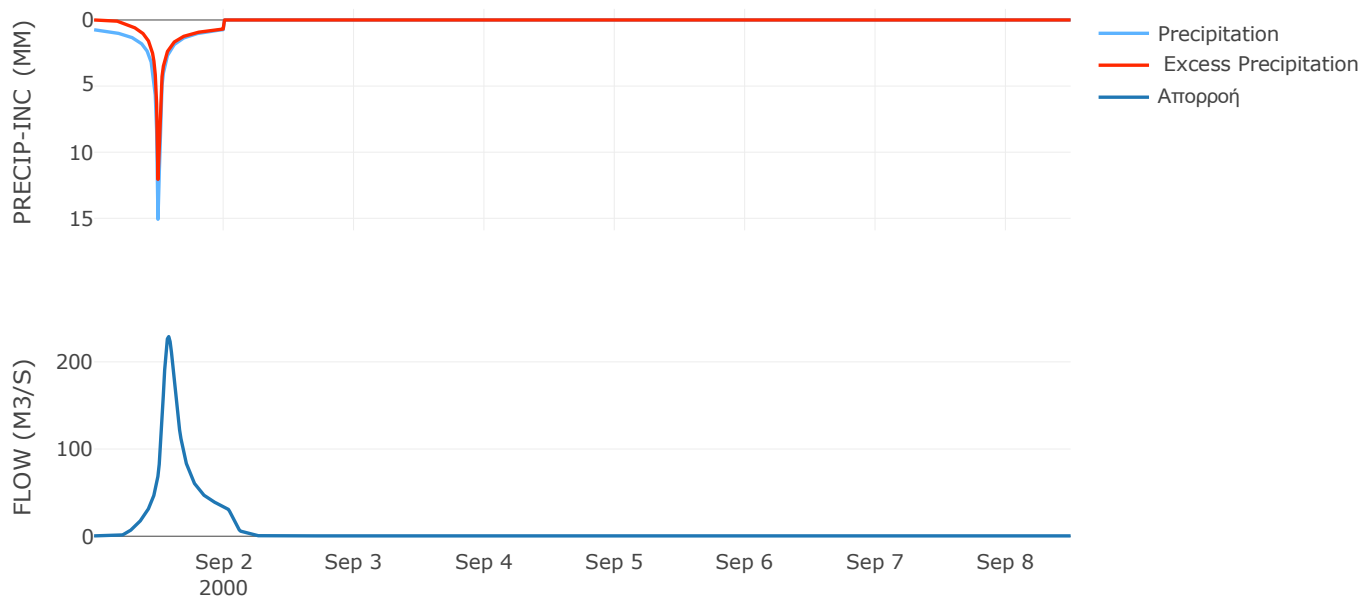
Μέθοδος Μετασχηματισμού:
Scs

Χρόνος Υστέρησης	95.14
------------------	-------

Αποτελέσματα:
EL0415FR0020002

Παροχή αιχμής (M3/S)	228.97
Χρονική στιγμή αιχμής	01Sep2000, 13:45
Όγκος (MM)	129.39
Όγκος βροχόπτωσης (M3)	7.05E6
Όγκος απωλειών (M3)	2.2E6
Ενεργός Όγκος (M3)	4.84E6
Όγκος άμεσης απορροής (M3)	4.84E6
Όγκος βασικής απορροής (M3)	2.55E5

Βροχόπτωση και Απορροή



Υπολεκάνη: EL0415FR0020003

Έκταση (KM2) : 14.18

Κατάντη : J3

Μέθοδος Απωλειών: SCS

Ποσοστό αδιαπέρατης επιφάνειας	0
Αριθμός Καμπύλης Απορροής-CN	80.02
Αρχικές Απώλειες	12.68

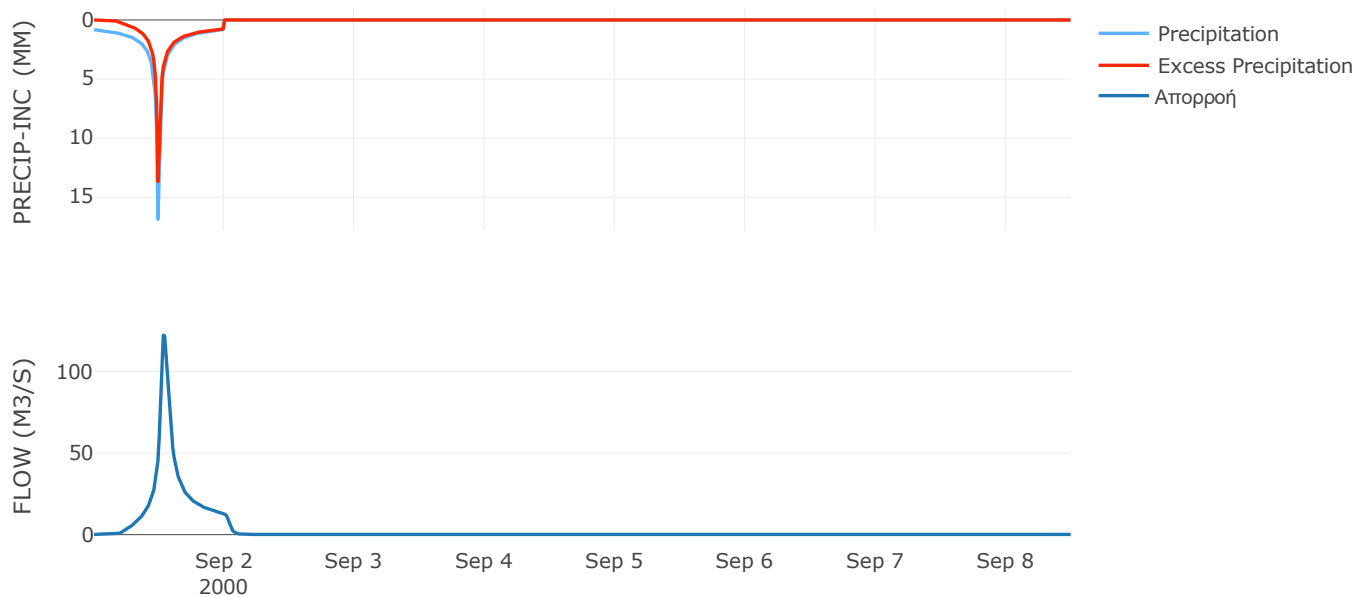
Μέθοδος Μετασχηματισμού:
Scs

Χρόνος Υστέρησης	49.51
------------------	-------

Αποτελέσματα:
EL0415FR0020003

Παροχή αιχμής (M3/S)	122.41
Χρονική στιγμή αιχμής	01Sep2000, 12:45
Όγκος (MM)	145.13
Όγκος βροχόπτωσης (M3)	2.82E6
Όγκος απωλειών (M3)	8.51E5
Ενεργός Όγκος (M3)	1.97E6
Όγκος άμεσης απορροής (M3)	1.97E6
Όγκος βασικής απορροής (M3)	91912.32

Βροχόπτωση και Απορροή



Υπολεκάνη: EL0415FR0020004

Έκταση (KM2) : 38.04

Κατάντη : J3

Μέθοδος Απωλειών: SCS

Ποσοστό αδιαπέρατης επιφάνειας	0
Αριθμός Καμπύλης Απορροής-CN	75.6
Αρχικές Απώλειες	16.39

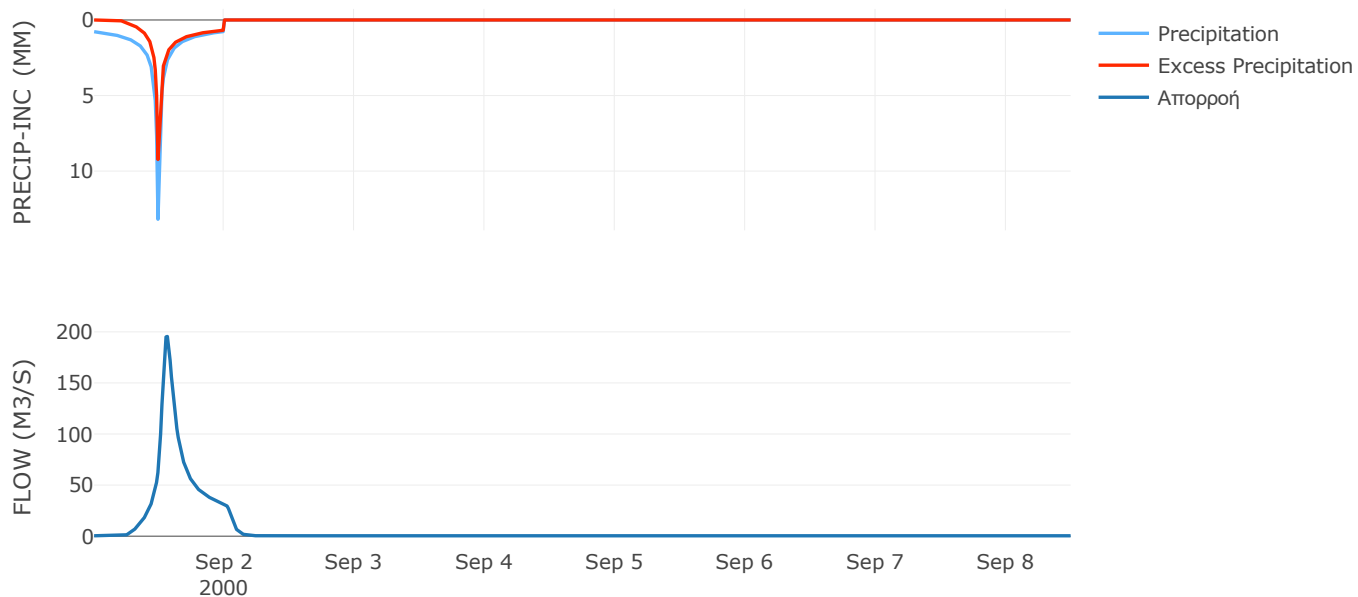
Μέθοδος Μετασχηματισμού:
Scs

Χρόνος Υστέρησης	76.05
------------------	-------

Αποτελέσματα:
EL0415FR0020004

Παροχή αιχμής (M3/S)	195.48
Χρονική στιγμή αιχμής	01Sep2000, 13:30
Όγκος (MM)	110.92
Όγκος βροχόπτωσης (M3)	6.65E6
Όγκος απωλειών (M3)	2.68E6
Ενεργός Όγκος (M3)	3.97E6
Όγκος άμεσης απορροής (M3)	3.97E6
Όγκος βασικής απορροής (M3)	2.46E5

Βροχόπτωση και Απορροή



Υπολεκάνη: EL0415FR0020005

Έκταση (KM2) : 14

Κατάντη : J3

Μέθοδος Απωλειών: SCS

Ποσοστό αδιαπέρατης επιφάνειας	0
Αριθμός Καμπύλης Απορροής-CN	80.06
Αρχικές Απώλειες	12.65

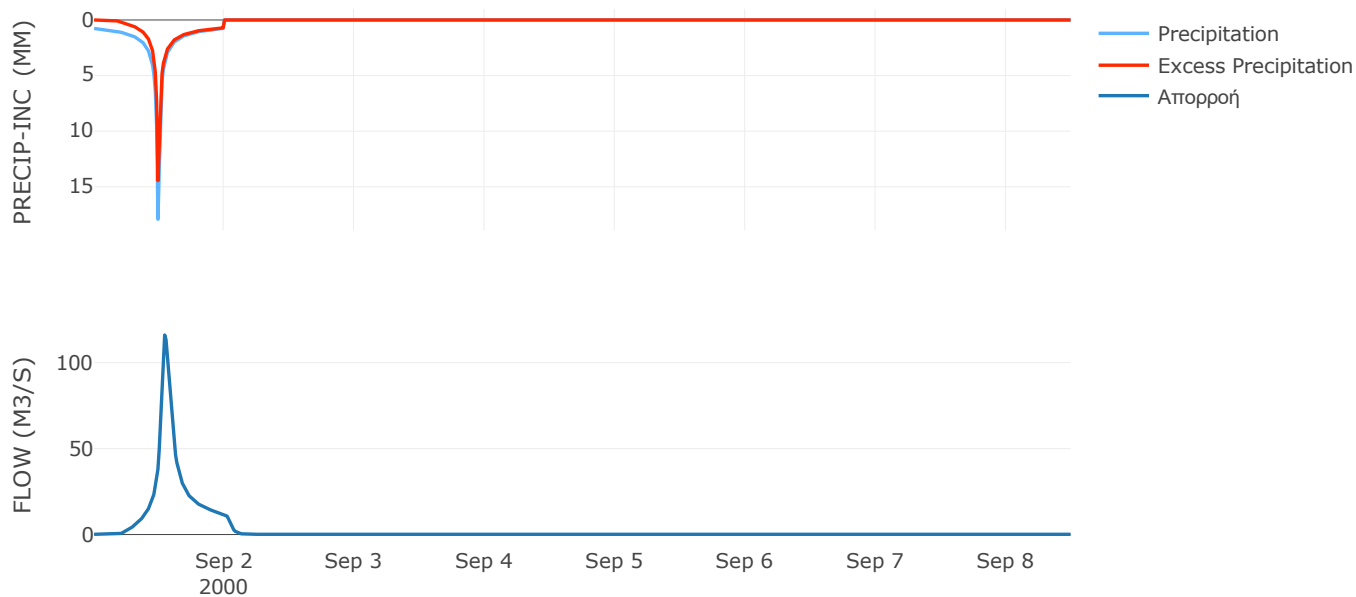
Μέθοδος Μετασχηματισμού:
Scs

Χρόνος Υστέρησης	60.01
------------------	-------

Αποτελέσματα:
EL0415FR0020005

Παροχή αιχμής (M3/S)	116.1
Χρονική στιγμή αιχμής	01Sep2000, 13:00
Όγκος (MM)	141.63
Όγκος βροχόπτωσης (M3)	2.73E6
Όγκος απωλειών (M3)	8.34E5
Ενεργός Όγκος (M3)	1.89E6
Όγκος άμεσης απορροής (M3)	1.89E6
Όγκος βασικής απορροής (M3)	90726.48

Βροχόπτωση και Απορροή



Υπολεκάνη: EL0415FR0020006

Έκταση (KM2) : 32.61

Κατάντη : J4

Μέθοδος Απωλειών: SCS

Ποσοστό αδιαπέρατης επιφάνειας	0
Αριθμός Καμπύλης Απορροής-CN	72.74
Αρχικές Απώλειες	19.03

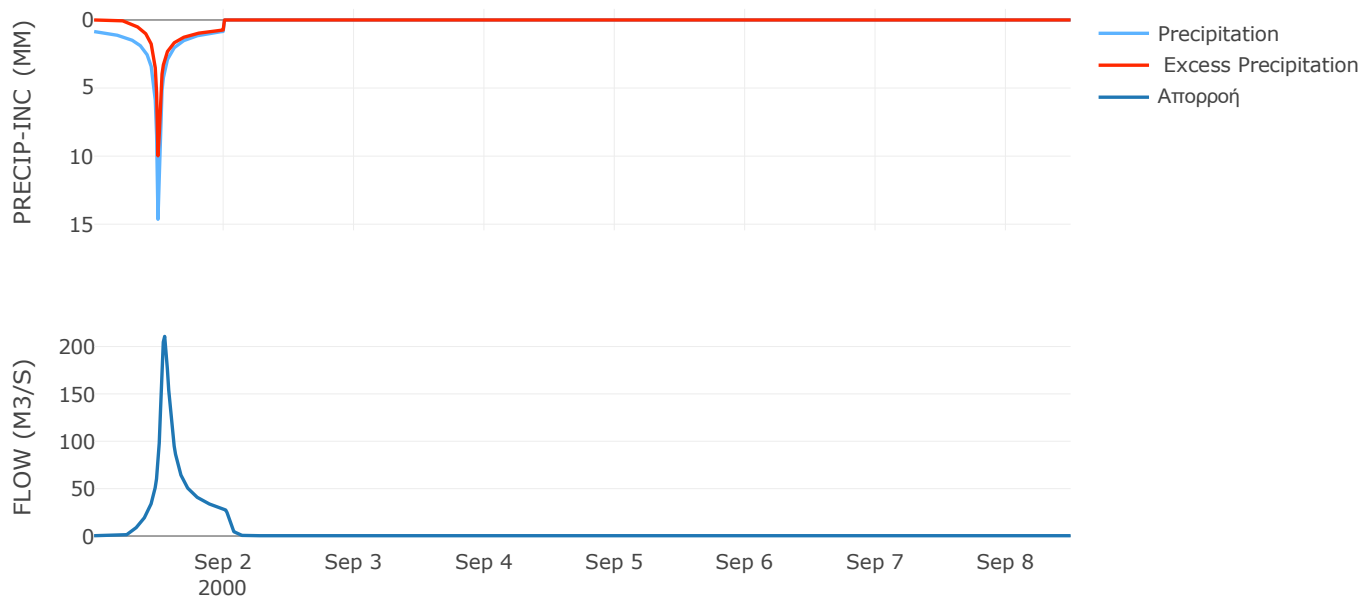
Μέθοδος Μετασχηματισμού:
Scs

Χρόνος Υστέρησης	52.2
------------------	------

Αποτελέσματα:
EL0415FR0020006

Παροχή αιχμής (M3/S)	210.66
Χρονική στιγμή αιχμής	01Sep2000, 13:00
Όγκος (MM)	118.4
Όγκος βροχόπτωσης (M3)	6.27E6
Όγκος απωλειών (M3)	2.62E6
Ενεργός Όγκος (M3)	3.65E6
Όγκος άμεσης απορροής (M3)	3.65E6
Όγκος βασικής απορροής (M3)	2.11E5

Βροχόπτωση και Απορροή



Υπολεκάνη: EL0415FR0020007

Έκταση (KM2) : 37.84

Κατάντη : J5

Μέθοδος Απωλειών: SCS

Ποσοστό αδιαπέρατης επιφάνειας	0
Αριθμός Καμπύλης Απορροής-CN	74.98
Αρχικές Απώλειες	16.95

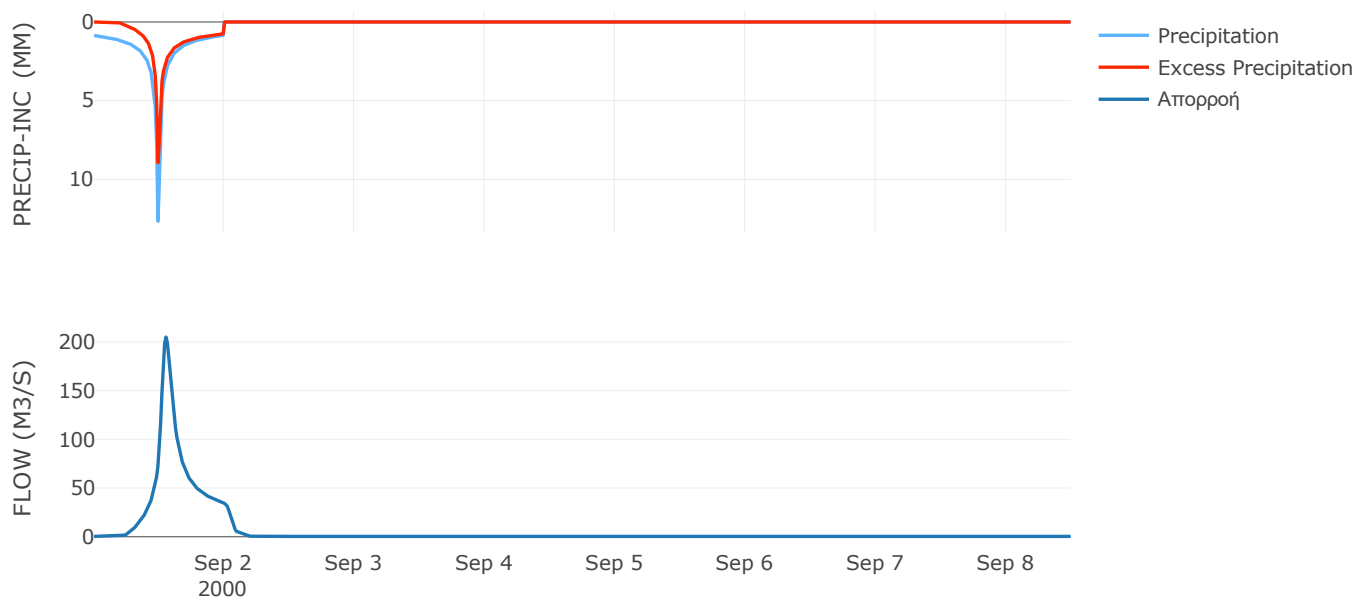
Μέθοδος Μετασχηματισμού:
Scs

Χρόνος Υστέρησης	68.16
------------------	-------

Αποτελέσματα:
EL0415FR0020007

Παροχή αιχμής (M3/S)	204.94
Χρονική στιγμή αιχμής	01Sep2000, 13:15
Όγκος (MM)	116.97
Όγκος βροχόπτωσης (M3)	6.95E6
Όγκος απωλειών (M3)	2.77E6
Ενεργός Όγκος (M3)	4.18E6
Όγκος άμεσης απορροής (M3)	4.18E6
Όγκος βασικής απορροής (M3)	2.45E5

Βροχόπτωση και Απορροή



Υπολεκάνη: EL0415FR0020008

Έκταση (KM2) : 42.76

Κατάντη : J6

Μέθοδος Απωλειών: SCS

Ποσοστό αδιαπέρατης επιφάνειας	0
Αριθμός Καμπύλης Απορροής-CN	74.13
Αρχικές Απώλειες	17.72

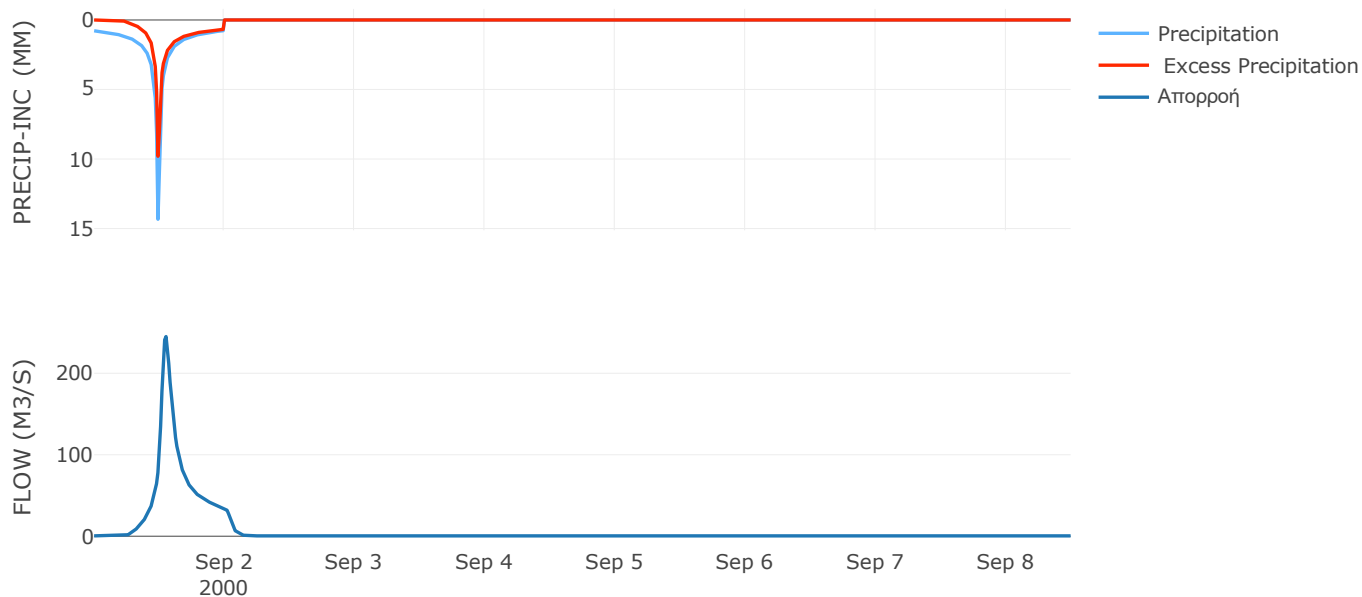
Μέθοδος Μετασχηματισμού:
Scs

Χρόνος Υστέρησης	65.04
------------------	-------

Αποτελέσματα:
EL0415FR0020008

Παροχή αιχμής (M3/S)	245.08
Χρονική στιγμή αιχμής	01Sep2000, 13:15
Όγκος (MM)	111.99
Όγκος βροχόπτωσης (M3)	7.72E6
Όγκος απωλειών (M3)	3.21E6
Ενεργός Όγκος (M3)	4.51E6
Όγκος άμεσης απορροής (M3)	4.51E6
Όγκος βασικής απορροής (M3)	2.77E5

Βροχόπτωση και Απορροή



Υπολεκάνη: EL0415FR0020009

Έκταση (KM2) : 58.35

Κατάντη : J7

Μέθοδος Απωλειών: SCS

Ποσοστό αδιαπέρατης επιφάνειας	0
Αριθμός Καμπύλης Απορροής-CN	70.13
Αρχικές Απώλειες	21.63

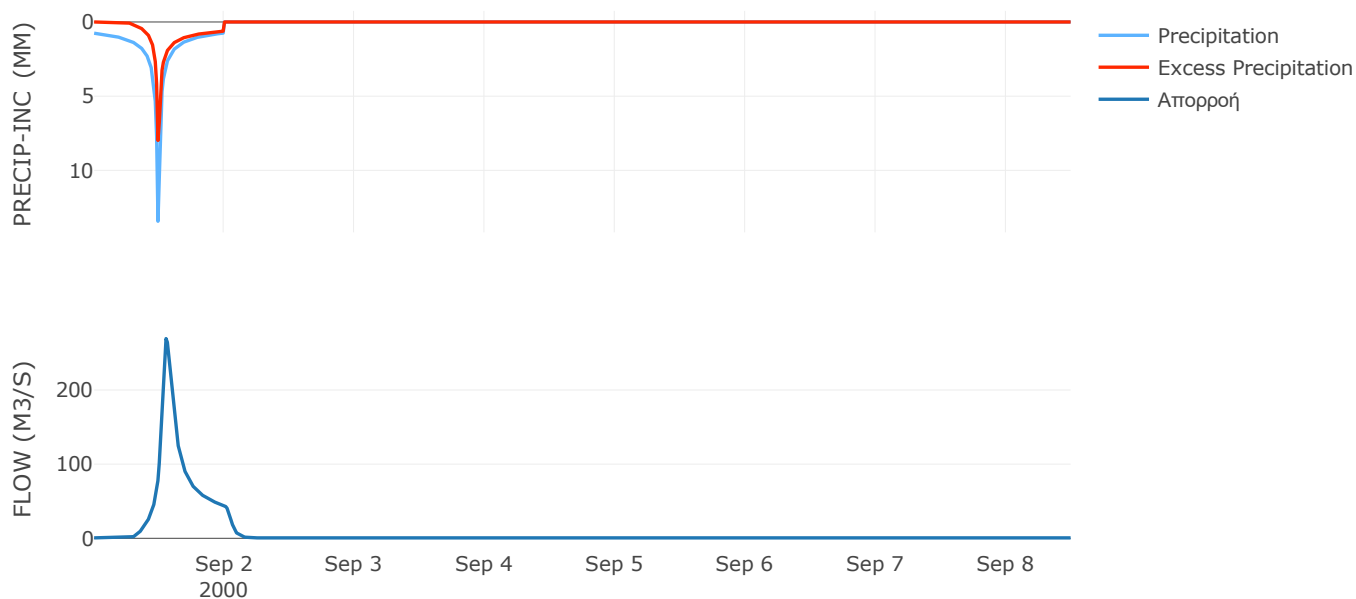
Μέθοδος Μετασχηματισμού:
Scs

Χρόνος Υστέρησης	69.04
------------------	-------

Αποτελέσματα:
EL0415FR0020009

Παροχή αιχμής (M3/S)	269.34
Χρονική στιγμή αιχμής	01Sep2000, 13:15
Όγκος (MM)	95.09
Όγκος βροχόπτωσης (M3)	1.01E7
Όγκος απωλειών (M3)	4.95E6
Ενεργός Όγκος (M3)	5.17E6
Όγκος άμεσης απορροής (M3)	5.17E6
Όγκος βασικής απορροής (M3)	3.78E5

Βροχόπτωση και Απορροή



2.2 Δεδομένα και υδρογραφήματα σχεδιασμού Κλάδων υδρογραφικού δικτύου

Κλάδος: R219

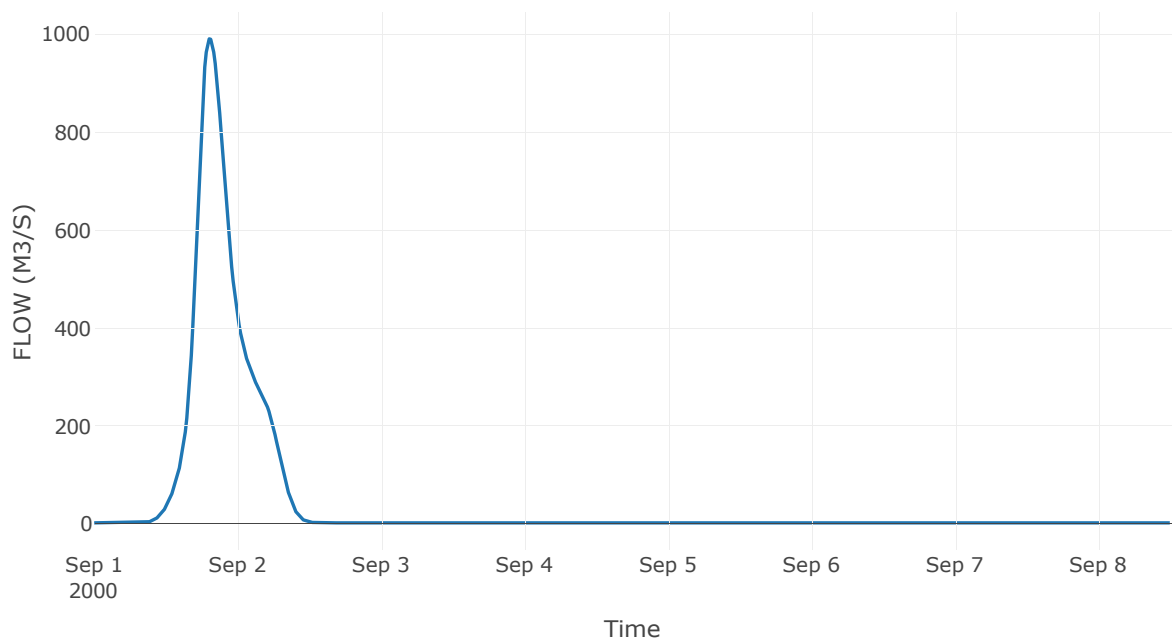
Κατάντη : J19

Μέθοδος Διόδευσης	Muskingum
Αρχική Μεταβλητή	Combined Inflow
Χρόνος Ροής Κ	4.13
Συντελεστής βάρους α	0.2
Πλήθος Υποκλάδων	17

Αποτελέσματα: R219

Παροχή Αιχμής(M3/S)	990.58
Χρονική στιγμή αιχμής	01Sep2000, 19:15
Όγκος(MM)	115.39
Παροχή Αιχμής Εισόδου (M3/S)	1035.71
Όγκος Εισροής(M3)	3.2E7

Απορροή



Κλάδος: R32

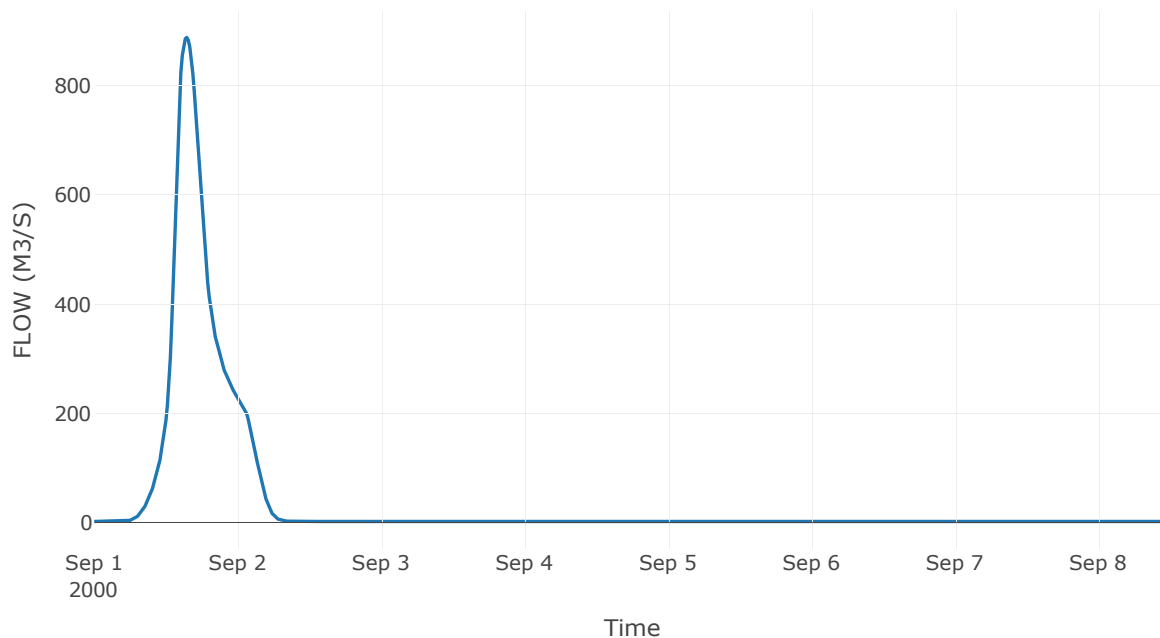
Κατάντη : J2

Μέθοδος Διόδευσης	Muskingum
Αρχική Μεταβλητή	Combined Inflow
Χρόνος Ροής Κ	0.94
Συντελεστής βάρους α	0.2
Πλήθος Υποκλάδων	4

Αποτελέσματα: R32

Παροχή Αιχμής(M3/S)	888.05
Χρονική στιγμή αιχμής	01Sep2000, 15:30
Όγκος(MM)	113.07
Παροχή Αιχμής Εισόδου (M3/S)	895.53
Όγκος Εισροής(M3)	2.69E7

Απορροή



Κλάδος: R43

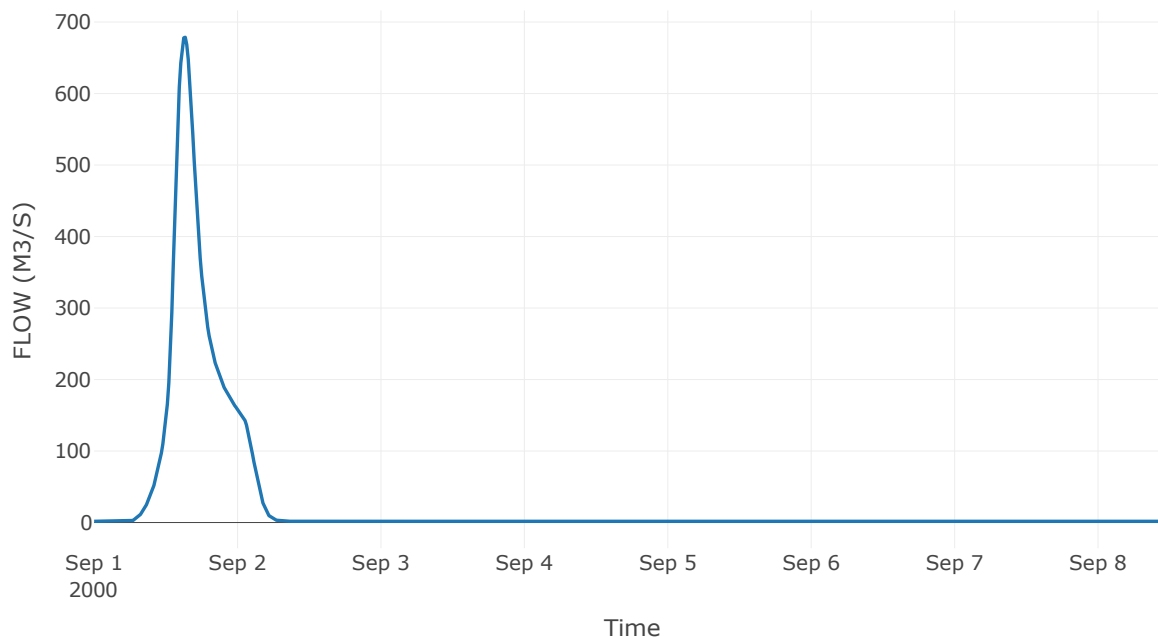
Κατάντη : J3

Μέθοδος Διόδευσης	Muskingum
Αρχική Μεταβλητή	Combined Inflow
Χρόνος Ροής K	0.89
Συντελεστής βάρους x	0.2
Πλήθος Υποκλάδων	4

Αποτελέσματα: R43

Παροχή Αιχμής(M3/S)	678.67
Χρονική στιγμή αιχμής	01Sep2000, 15:15
Όγκος(MM)	108.56
Παροχή Αιχμής Εισόδου (M3/S)	690.57
Όγκος Εισροής(M3)	1.86E7

Απορροή



Κλάδος: R54

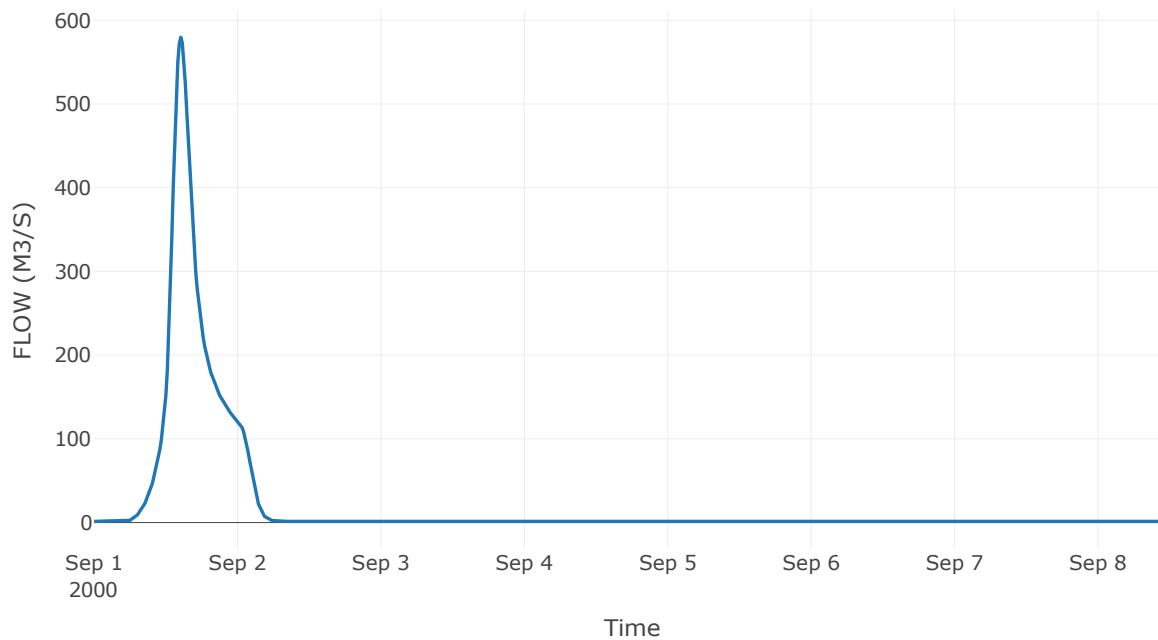
Κατάντη : J4

Μέθοδος Διόδευσης	Muskingum
Αρχική Μεταβλητή	Combined Inflow
Χρόνος Ροής K	0.27
Συντελεστής βάρους x	0.2
Πλήθος Υποκλάδων	1

Αποτελέσματα: R54

Παροχή Αιχμής(M3/S)	579.46
Χρονική στιγμή αιχμής	01Sep2000, 14:30
Όγκος(MM)	106.25
Παροχή Αιχμής Εισόδου (M3/S)	584.65
Όγκος Εισροής(M3)	1.48E7

Απορροή



Κλάδος: R65

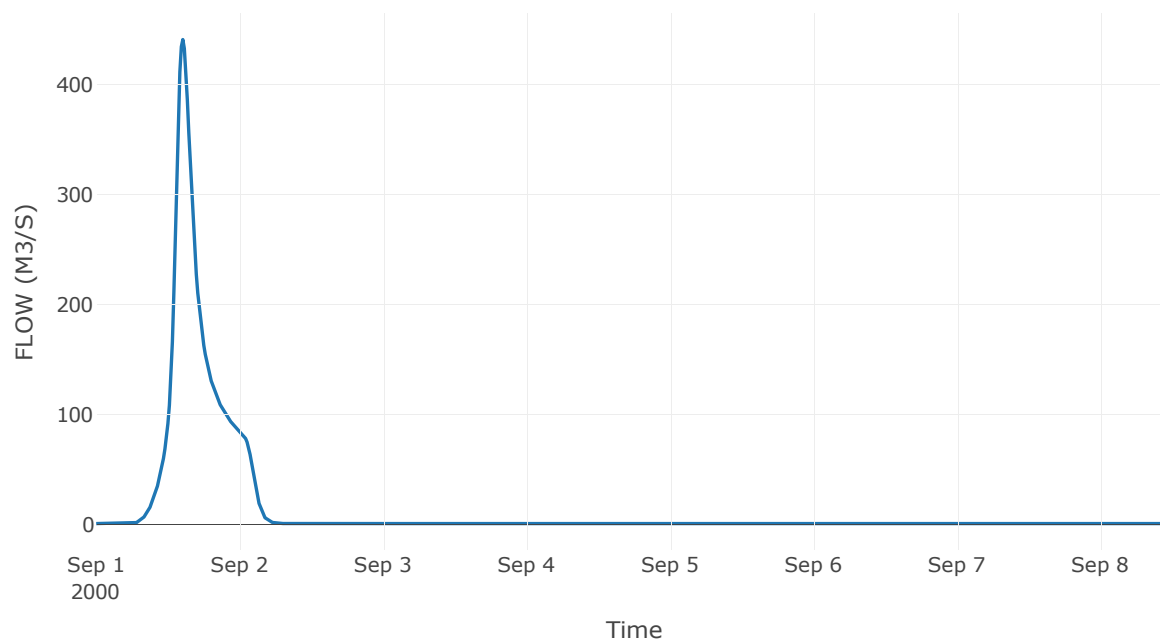
Κατάντη : J5

Μέθοδος Διόδευσης	Muskingum
Αρχική Μεταβλητή	Combined Inflow
Χρόνος Ροής K	0.76
Συντελεστής βάρους x	0.2
Πλήθος Υποκλάδων	3

Αποτελέσματα: R65

Παροχή Αιχμής(M3/S)	441.2
Χρονική στιγμή αιχμής	01Sep2000, 14:30
Όγκος(MM)	102.24
Παροχή Αιχμής Εισόδου (M3/S)	456.1
Όγκος Εισροής(M3)	1.03E7

Απορροή



Κλάδος: R76

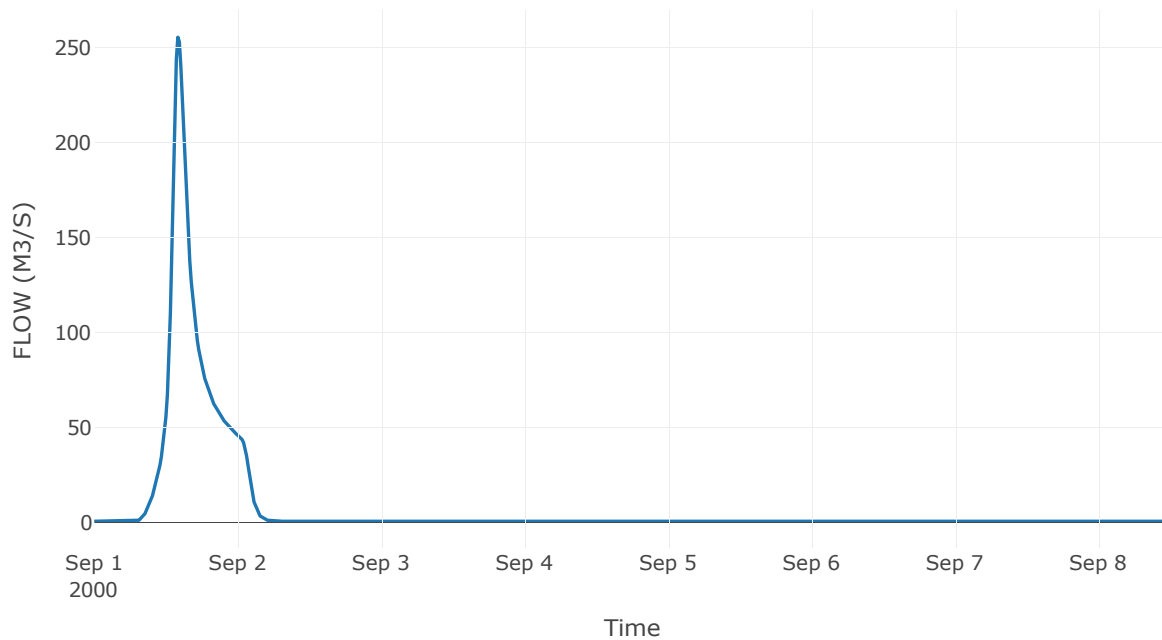
Κατάντη : J6

Μέθοδος Διόδευσης	Muskingum
Αρχική Μεταβλητή	Combined Inflow
Χρόνος Ροής K	0.75
Συντελεστής βάρους x	0.2
Πλήθος Υποκλάδων	3

Αποτελέσματα: R76

Παροχή Αιχμής(M3/S)	255.19
Χρονική στιγμή αιχμής	01Sep2000, 14:00
Όγκος(MM)	95.09
Παροχή Αιχμής Εισόδου (M3/S)	269.34
Όγκος Εισροής(M3)	5.55E6

Απορροή



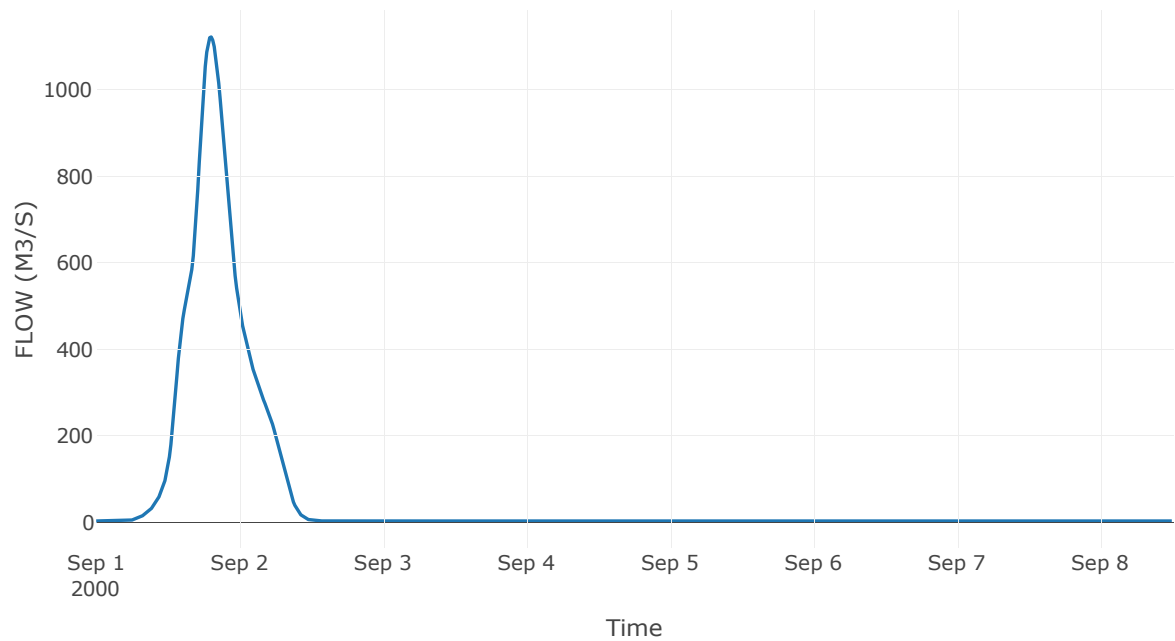
2.3 Δεδομένα και υδρογραφήματα σχεδιασμού Κόμβων υδρογραφικού δικτύου

Κόμβος εξόδου: J19

Αποτελέσματ
α: J19

Παροχή αιχμής (M3/S)	1121.84
Χρονική στιγμή αιχμής	01Sep2000, 19:15
Όγκος (MM)	117.3

Απορροή



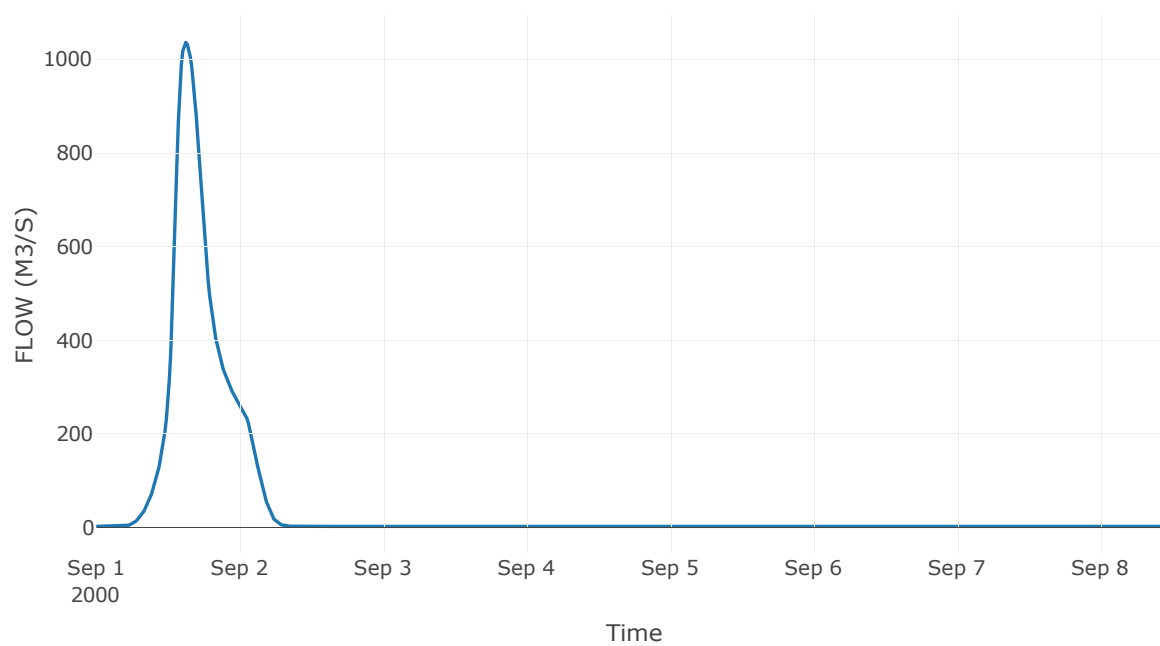
Κόμβος: J2

Κατάντη : R219

Αποτελέσματα: J2

Παροχή Αιχμής(M3/S)	1035.71
Χρονική στιγμή αιχμής	01Sep2000, 15:00
Όγκος(MM)	115.39

Απορροή



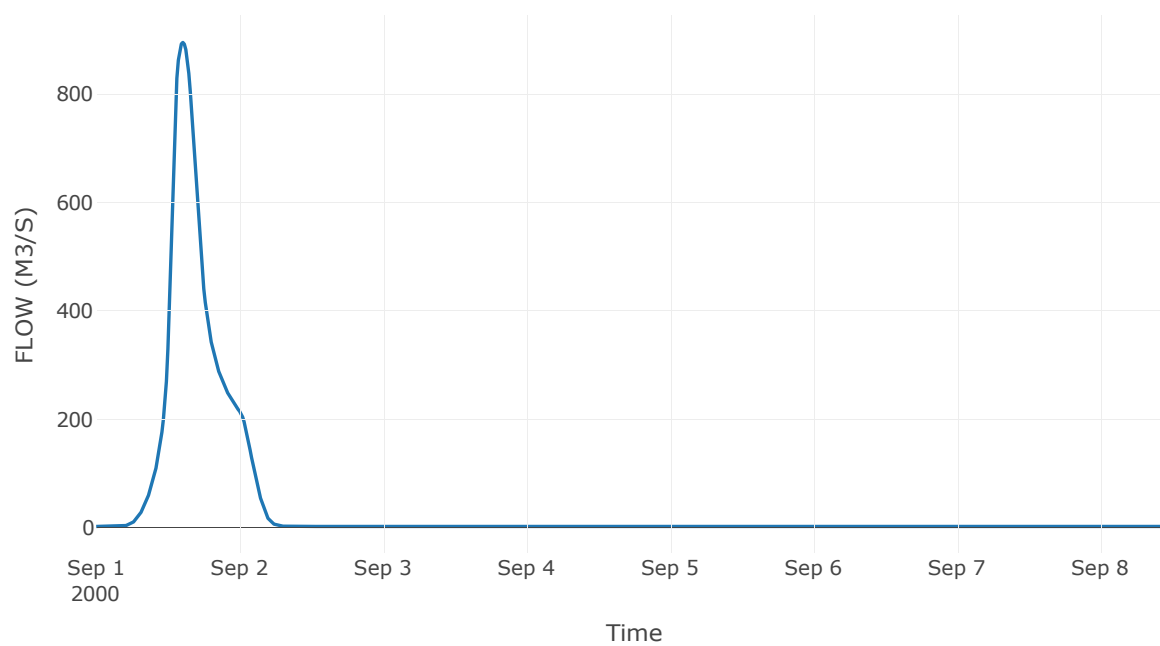
Κόμβος: J3

Κατάντη : R32

Αποτελέσματα: J3

Παροχή Αιχμής(M3/S)	895.53
Χρονική στιγμή αιχμής	01Sep2000, 14:30
Όγκος(MM)	113.07

Απορροή



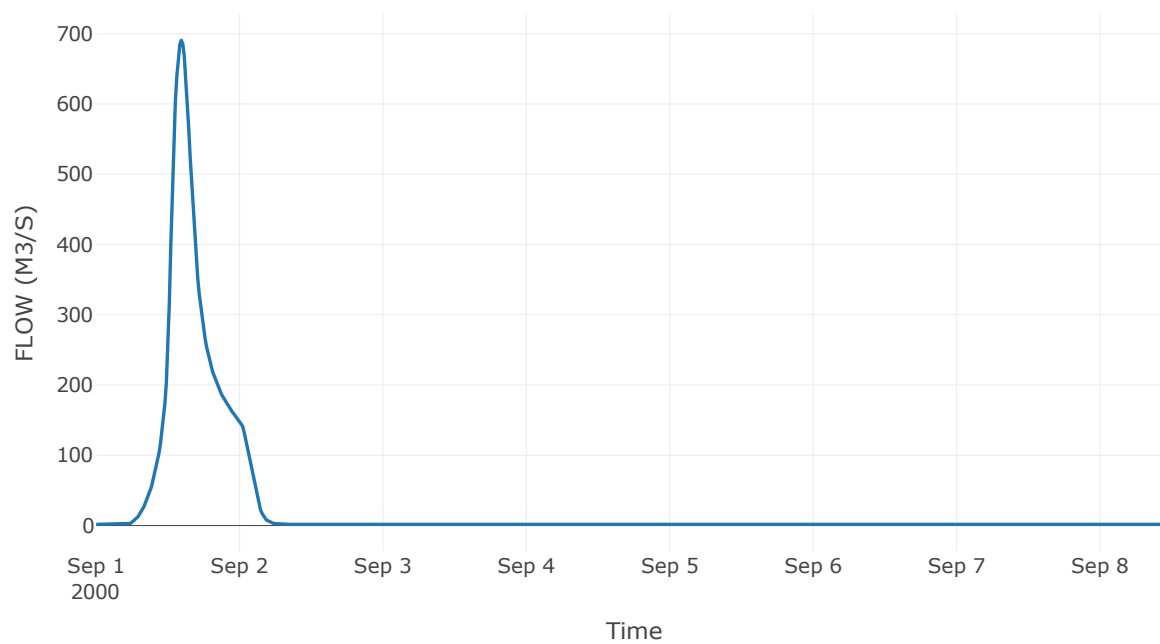
Κόμβος: J4

Κατάντη : R43

Αποτελέσματα: J4

Παροχή Αιχμής(M3/S)	690.57
Χρονική στιγμή αιχμής	01Sep2000, 14:15
Όγκος(MM)	108.56

Απορροή



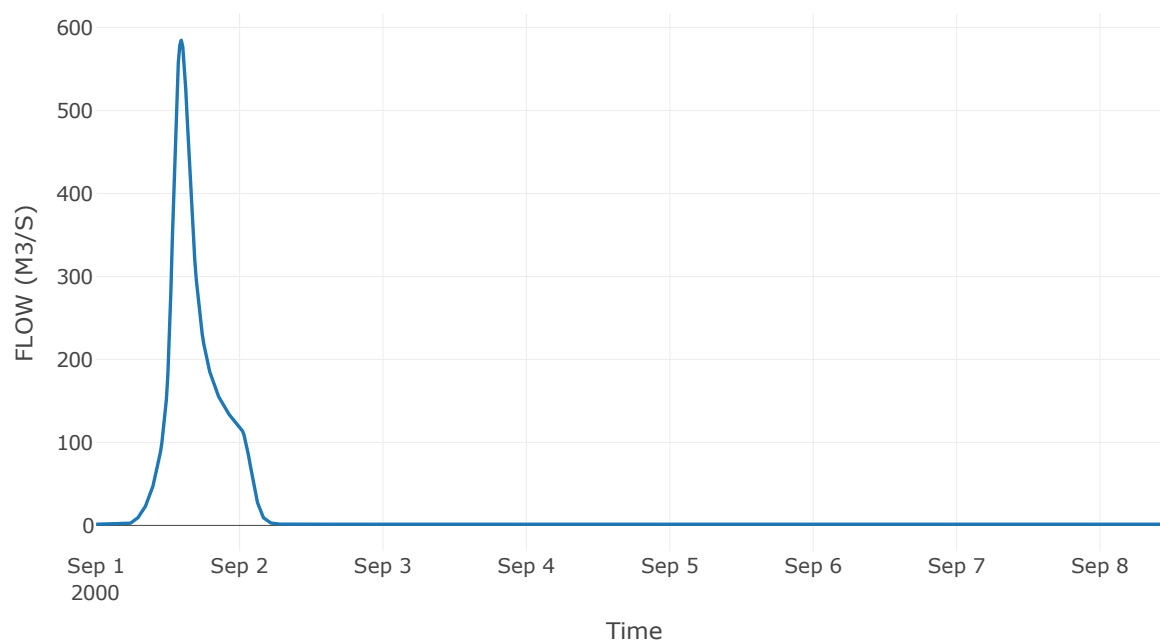
Κόμβος: J5

Κατάντη : R54

Αποτελέσματα: J5

Παροχή Αιχμής(M3/S)	584.65
Χρονική στιγμή αιχμής	01Sep2000, 14:15
Όγκος(MM)	106.25

Απορροή



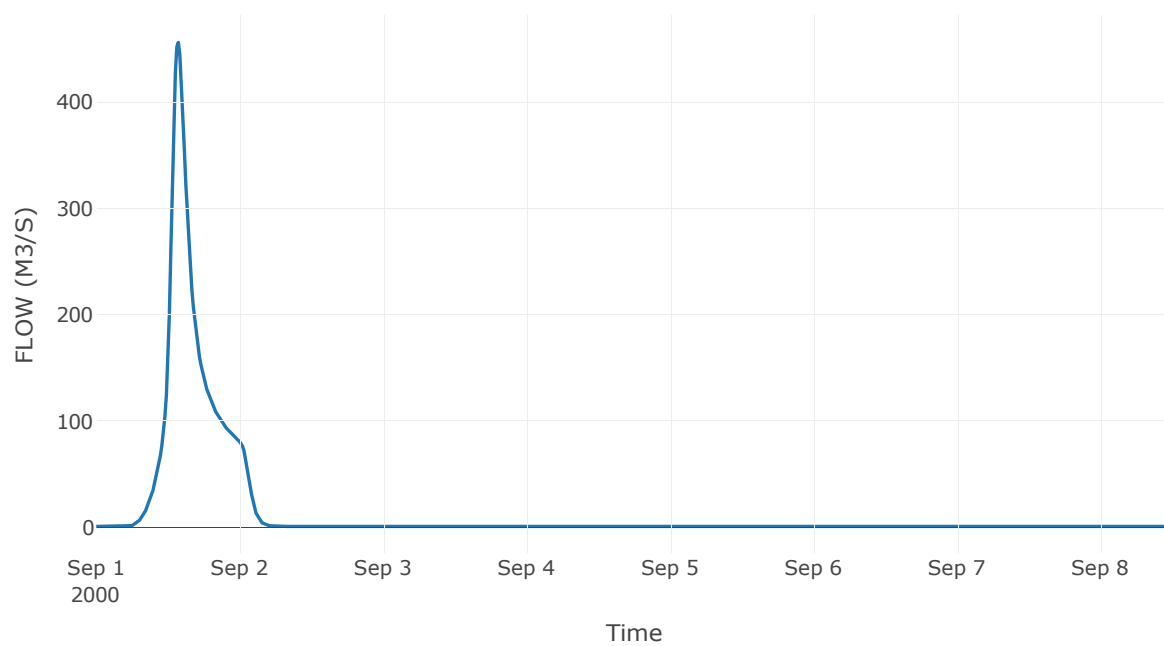
Κόμβος: J6

Κατάντη : R65

Αποτελέσματα: J6

Παροχή Αιχμής(M3/S)	456.1
Χρονική στιγμή αιχμής	01Sep2000, 13:45
Όγκος(MM)	102.24

Απορροή



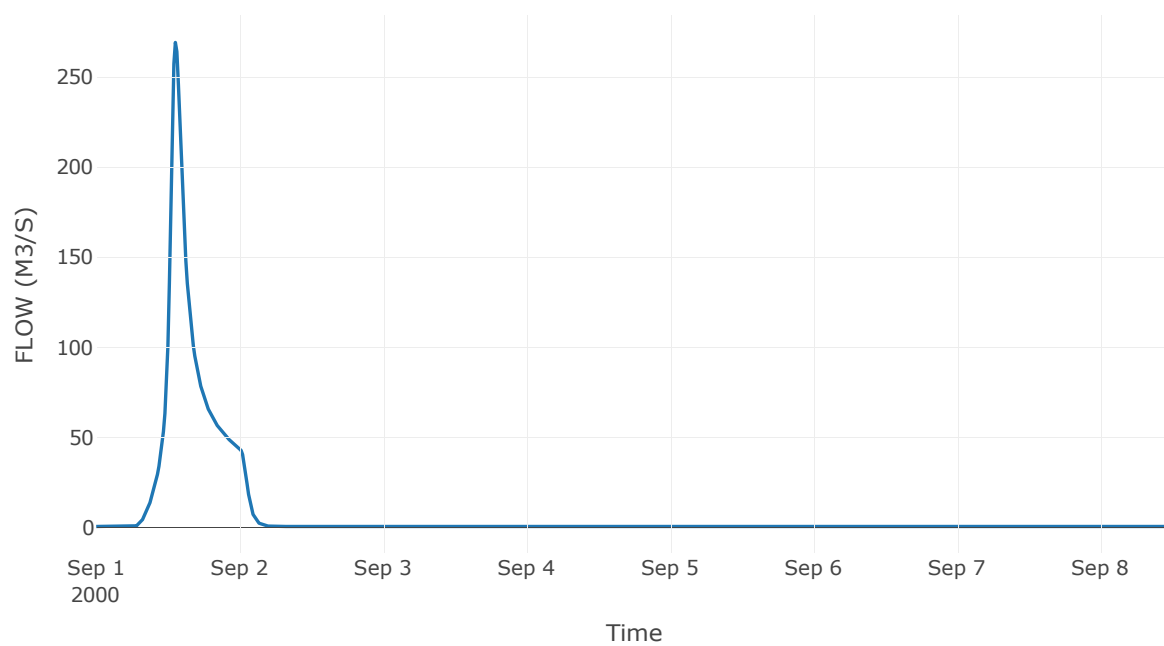
Κόμβος: J7

Κατάντη : R76

Αποτελέσματα: J7

Παροχή Αιχμής(M3/S)	269.34
Χρονική στιγμή αιχμής	01Sep2000, 13:15
Όγκος(MM)	95.09

Απορροή



3 Δεδομένα εισόδου και αποτελέσματα υδρολογικού σεναρίου T=50L

3.1 Αποτελέσματα, υετογραφήματα και υδρογραφήματα σχεδιασμού υπολεκανών

Υπολεκάνη: EL0415FR0020001

Έκταση (KM2) : 76.58

Κατάντη : J19

Μέθοδος Απωλειών: SCS

Ποσοστό αδιαπέρατης επιφάνειας	0
Αριθμός Καμπύλης Απορροής-CN	66.98
Αρχικές Απώλειες	25.05

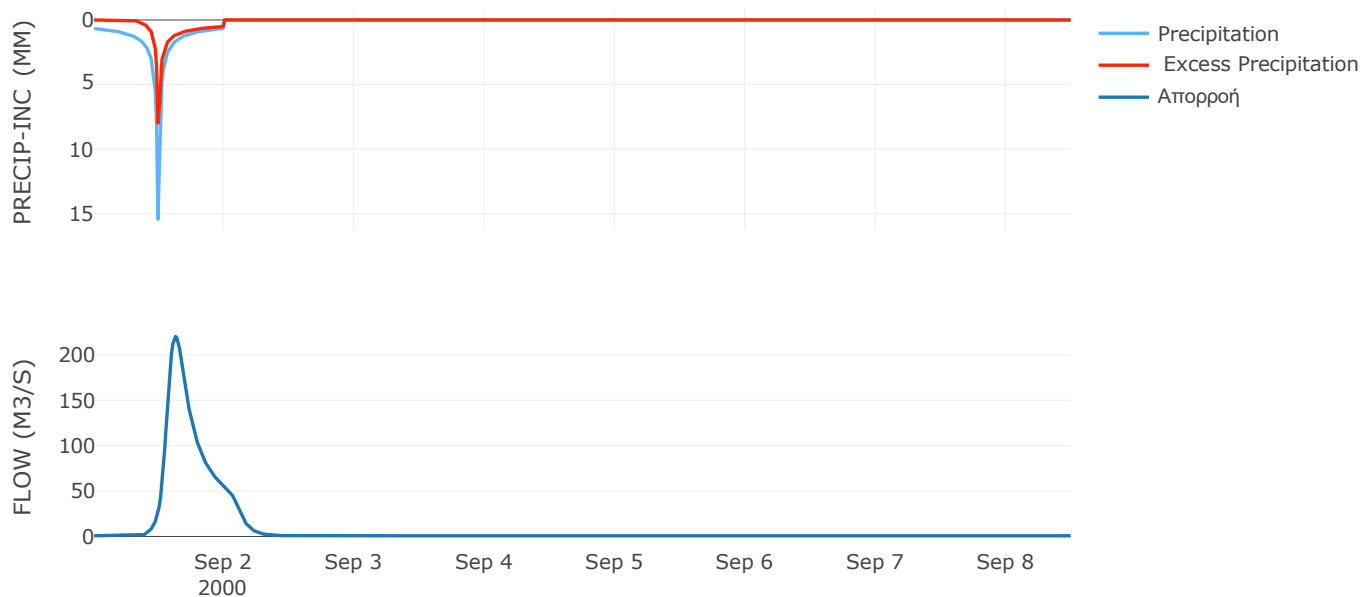
Μέθοδος Μετασχηματισμού:
Scs

Χρόνος Υστέρησης	154.62
------------------	--------

Αποτελέσματα:
EL0415FR0020001

Παροχή αιχμής (M3/S)	220.25
Χρονική στιγμή αιχμής	01Sep2000, 15:00
Όγκος (MM)	82.42
Όγκος βροχόπτωσης (M3)	1.28E7
Όγκος απωλειών (M3)	7.02E6
Ενεργός Όγκος (M3)	5.82E6
Όγκος άμεσης απορροής (M3)	5.82E6
Όγκος βασικής απορροής (M3)	4.96E5

Βροχόπτωση και Απορροή



Υπολεκάνη: EL0415FR0020002

Έκταση (KM2) : 39.41

Κατάντη : J2

Μέθοδος Απωλειών: SCS

Ποσοστό αδιαπέρατης επιφάνειας	0
Αριθμός Καμπύλης Απορροής-CN	64.14
Αρχικές Απώλειες	28.4

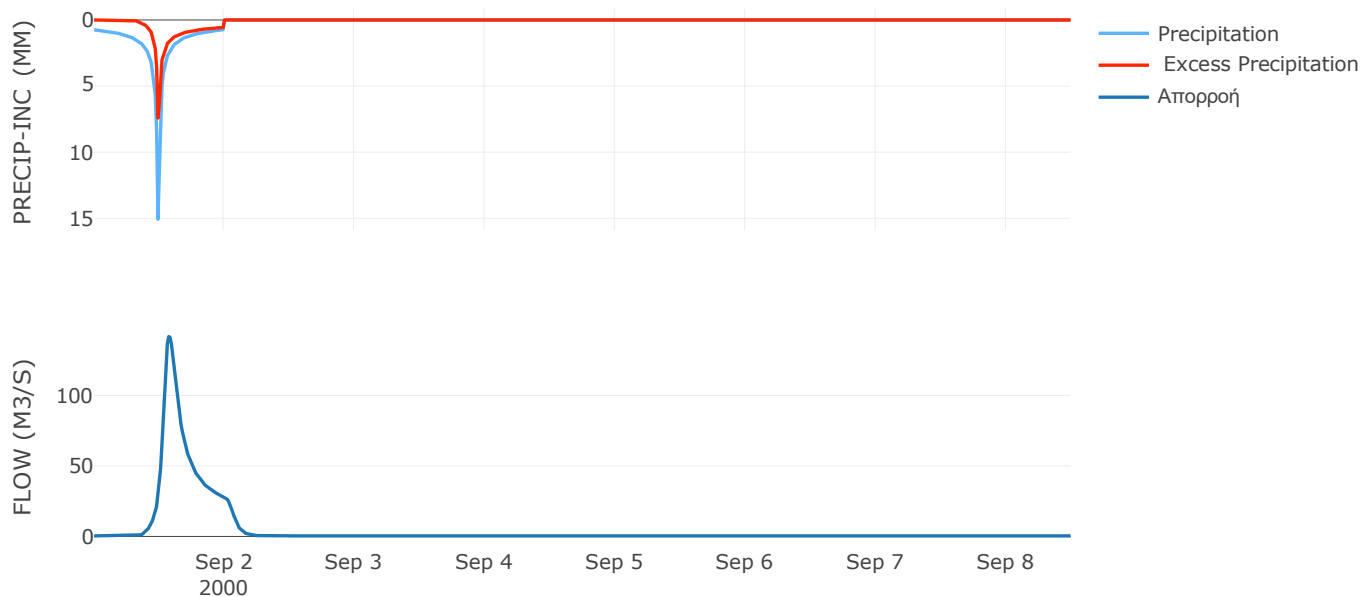
Μέθοδος Μετασχηματισμού:
Scs

Χρόνος Υστέρησης	95.14
------------------	-------

Αποτελέσματα:
EL0415FR0020002

Παροχή αιχμής (M3/S)	141.76
Χρονική στιγμή αιχμής	01Sep2000, 13:45
Όγκος (MM)	83.82
Όγκος βροχόπτωσης (M3)	7.05E6
Όγκος απωλειών (M3)	4E6
Ενεργός Όγκος (M3)	3.05E6
Όγκος άμεσης απορροής (M3)	3.05E6
Όγκος βασικής απορροής (M3)	2.55E5

Βροχόπτωση και Απορροή



Υπολεκάνη: EL0415FR0020003

Έκταση (KM2) : 14.18

Κατάντη : J3

Μέθοδος Απωλειών: SCS

Ποσοστό αδιαπέρατης επιφάνειας	0
Αριθμός Καμπύλης Απορροής-CN	62.72
Αρχικές Απώλειες	30.19

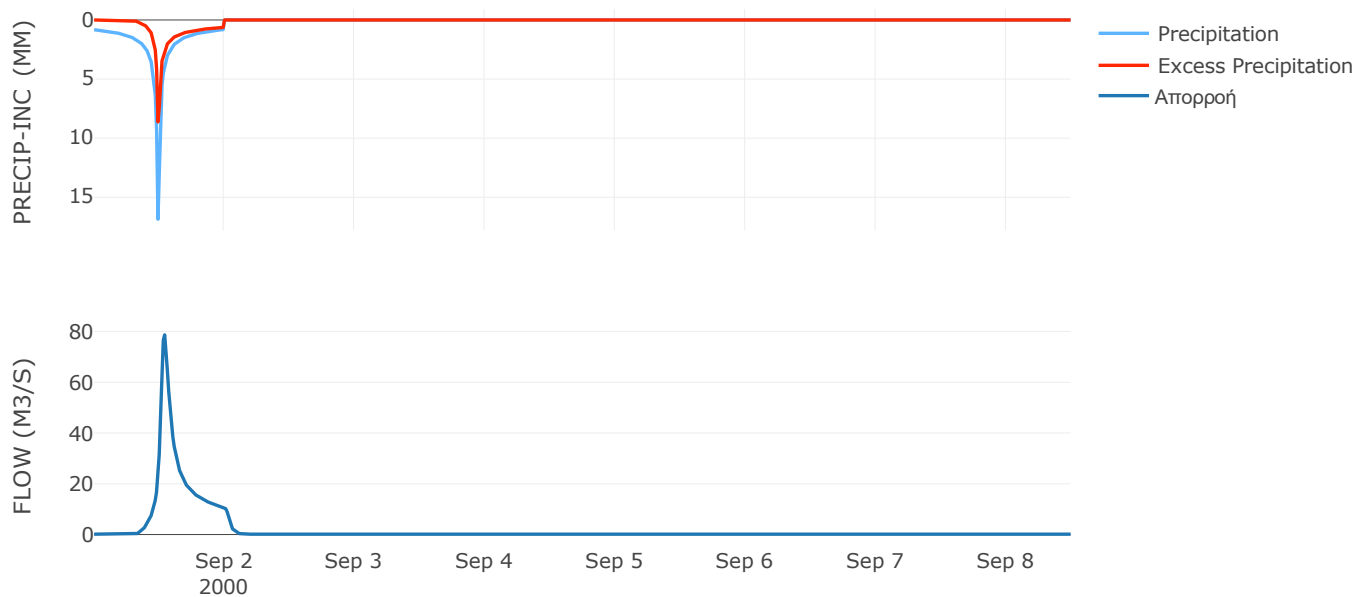
Μέθοδος Μετασχηματισμού:
Scs

Χρόνος Υστέρησης	49.51
------------------	-------

Αποτελέσματα:
EL0415FR0020003

Παροχή αιχμής (M3/S)	78.65
Χρονική στιγμή αιχμής	01Sep2000, 13:00
Όγκος (MM)	95.29
Όγκος βροχόπτωσης (M3)	2.82E6
Όγκος απωλειών (M3)	1.56E6
Ενεργός Όγκος (M3)	1.26E6
Όγκος άμεσης απορροής (M3)	1.26E6
Όγκος βασικής απορροής (M3)	91912.32

Βροχόπτωση και Απορροή



Υπολεκάνη: EL0415FR0020004

Έκταση (KM2) : 38.04

Κατάντη : J3

Μέθοδος Απωλειών: SCS

Ποσοστό αδιαπέρατης επιφάνειας	0
Αριθμός Καμπύλης Απορροής-CN	56.55
Αρχικές Απώλειες	39.03

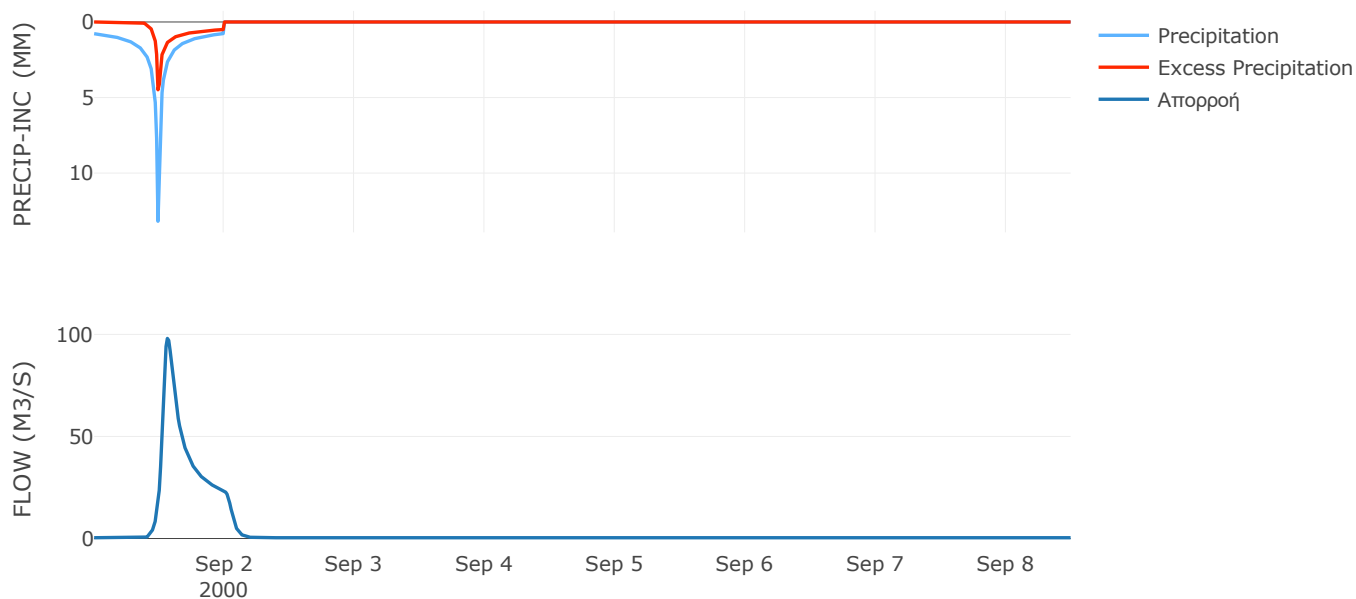
Μέθοδος Μετασχηματισμού:
Scs

Χρόνος Υστέρησης	76.05
------------------	-------

Αποτελέσματα:
EL0415FR0020004

Παροχή αιχμής (M3/S)	98.03
Χρονική στιγμή αιχμής	01Sep2000, 13:30
Όγκος (MM)	62.21
Όγκος βροχόπτωσης (M3)	6.65E6
Όγκος απωλειών (M3)	4.53E6
Ενεργός Όγκος (M3)	2.12E6
Όγκος άμεσης απορροής (M3)	2.12E6
Όγκος βασικής απορροής (M3)	2.46E5

Βροχόπτωση και Απορροή



Υπολεκάνη: EL0415FR0020005

Έκταση (KM2) : 14

Κατάντη : J3

Μέθοδος Απωλειών: SCS

Ποσοστό αδιαπέρατης επιφάνειας	0
Αριθμός Καμπύλης Απορροής-CN	62.77
Αρχικές Απώλειες	30.12

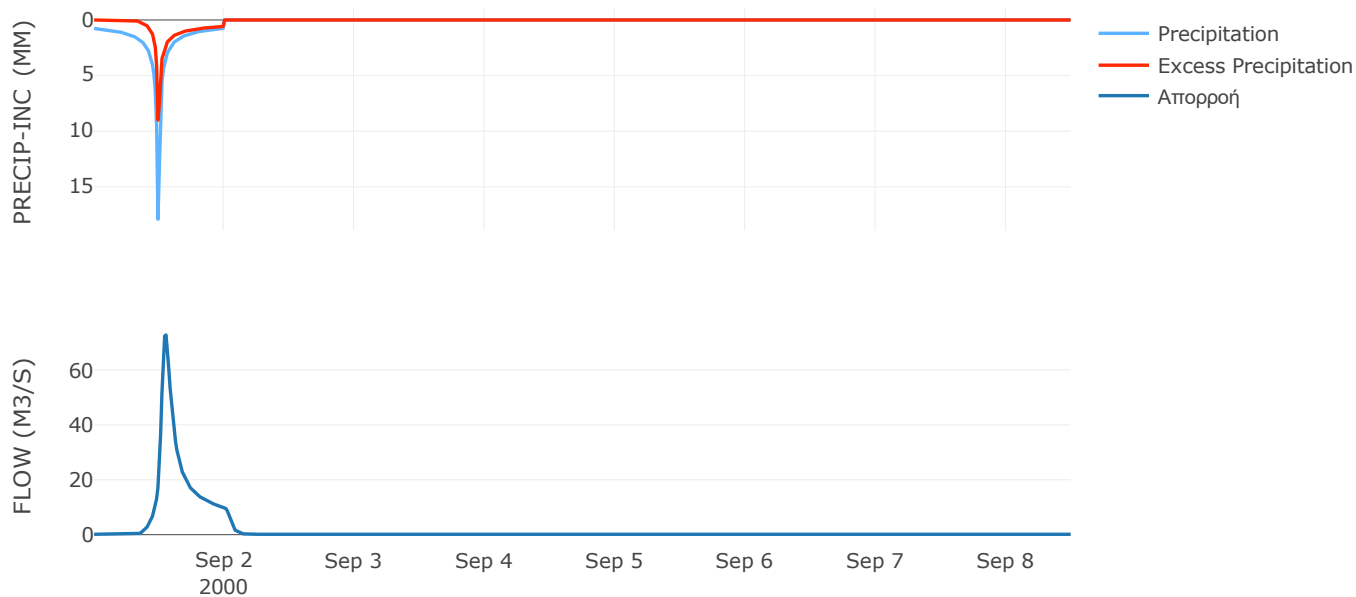
Μέθοδος Μετασχηματισμού:
Scs

Χρόνος Υστέρησης	60.01
------------------	-------

Αποτελέσματα:
EL0415FR0020005

Παροχή αιχμής (M3/S)	72.74
Χρονική στιγμή αιχμής	01Sep2000, 13:15
Όγκος (MM)	92.45
Όγκος βροχόπτωσης (M3)	2.73E6
Όγκος απωλειών (M3)	1.52E6
Ενεργός Όγκος (M3)	1.2E6
Όγκος άμεσης απορροής (M3)	1.2E6
Όγκος βασικής απορροής (M3)	90726.48

Βροχόπτωση και Απορροή



Υπολεκάνη: EL0415FR0020006

Έκταση (KM2) : 32.61

Κατάντη : J4

Μέθοδος Απωλειών: SCS

Ποσοστό αδιαπέρατης επιφάνειας	0
Αριθμός Καμπύλης Απορροής-CN	52.85
Αρχικές Απώλειες	45.32

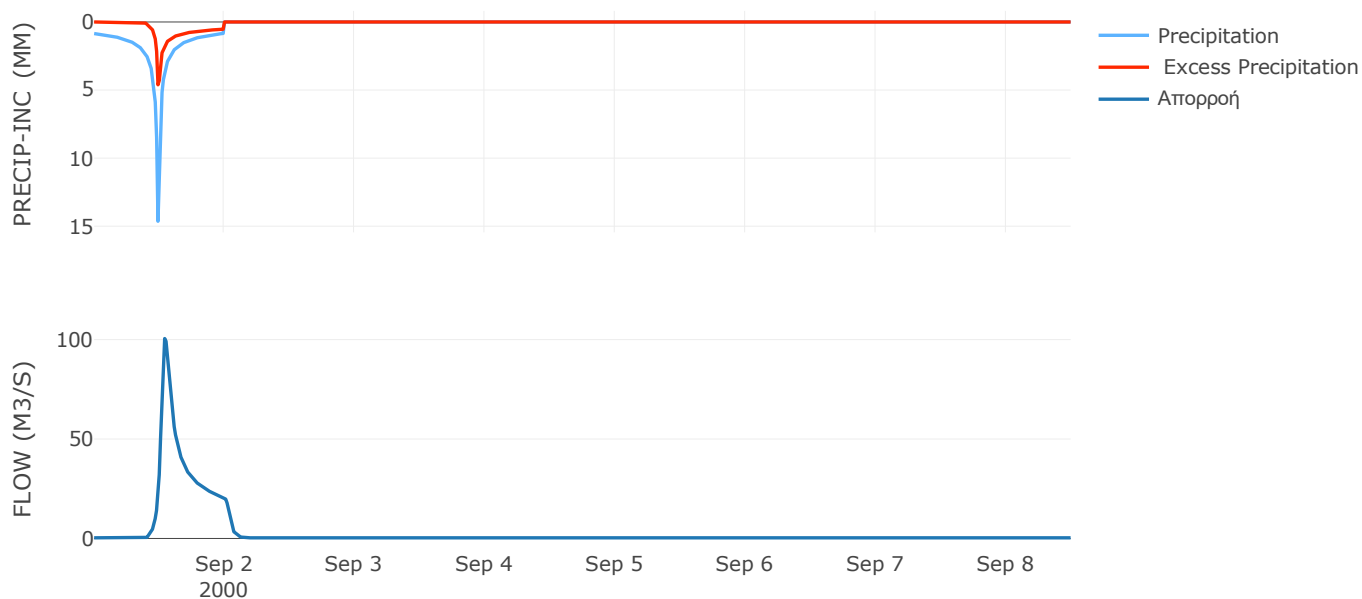
Μέθοδος Μετασχηματισμού:
Scs

Χρόνος Υστέρησης	52.2
------------------	------

Αποτελέσματα:
EL0415FR0020006

Παροχή αιχμής (M3/S)	100.54
Χρονική στιγμή αιχμής	01Sep2000, 13:00
Όγκος (MM)	64.37
Όγκος βροχόπτωσης (M3)	6.27E6
Όγκος απωλειών (M3)	4.39E6
Ενεργός Όγκος (M3)	1.89E6
Όγκος άμεσης απορροής (M3)	1.89E6
Όγκος βασικής απορροής (M3)	2.11E5

Βροχόπτωση και Απορροή



Υπολεκάνη: EL0415FR0020007

Έκταση (KM2) : 37.84

Κατάντη : J5

Μέθοδος Απωλειών: SCS

Ποσοστό αδιαπέρατης επιφάνειας	0
Αριθμός Καμπύλης Απορροής-CN	55.72
Αρχικές Απώλειες	40.36

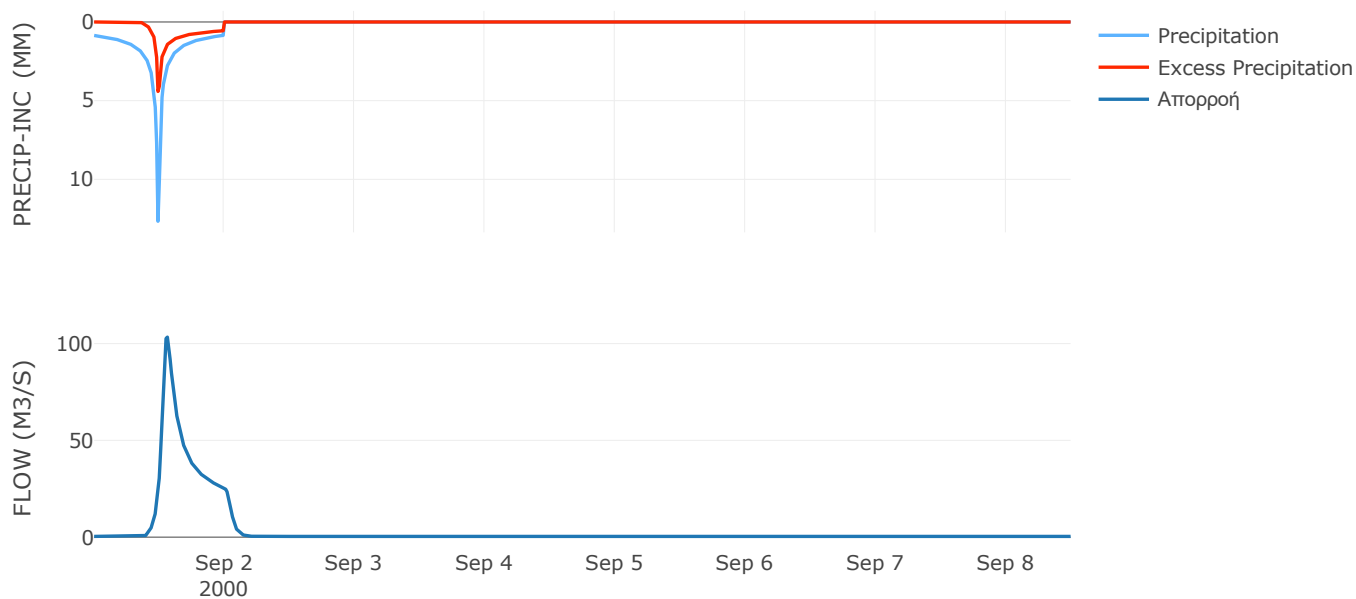
Μέθοδος Μετασχηματισμού:
Scs

Χρόνος Υστέρησης	68.16
------------------	-------

Αποτελέσματα:
EL0415FR0020007

Παροχή αιχμής (M3/S)	103.36
Χρονική στιγμή αιχμής	01Sep2000, 13:30
Όγκος (MM)	65.96
Όγκος βροχόπτωσης (M3)	6.95E6
Όγκος απωλειών (M3)	4.7E6
Ενεργός Όγκος (M3)	2.25E6
Όγκος άμεσης απορροής (M3)	2.25E6
Όγκος βασικής απορροής (M3)	2.45E5

Βροχόπτωση και Απορροή



Υπολεκάνη: EL0415FR0020008

Έκταση (KM2) : 42.76

Κατάντη : J6

Μέθοδος Απωλειών: SCS

Ποσοστό αδιαπέρατης επιφάνειας	0
Αριθμός Καμπύλης Απορροής-CN	54.62
Αρχικές Απώλειες	42.2

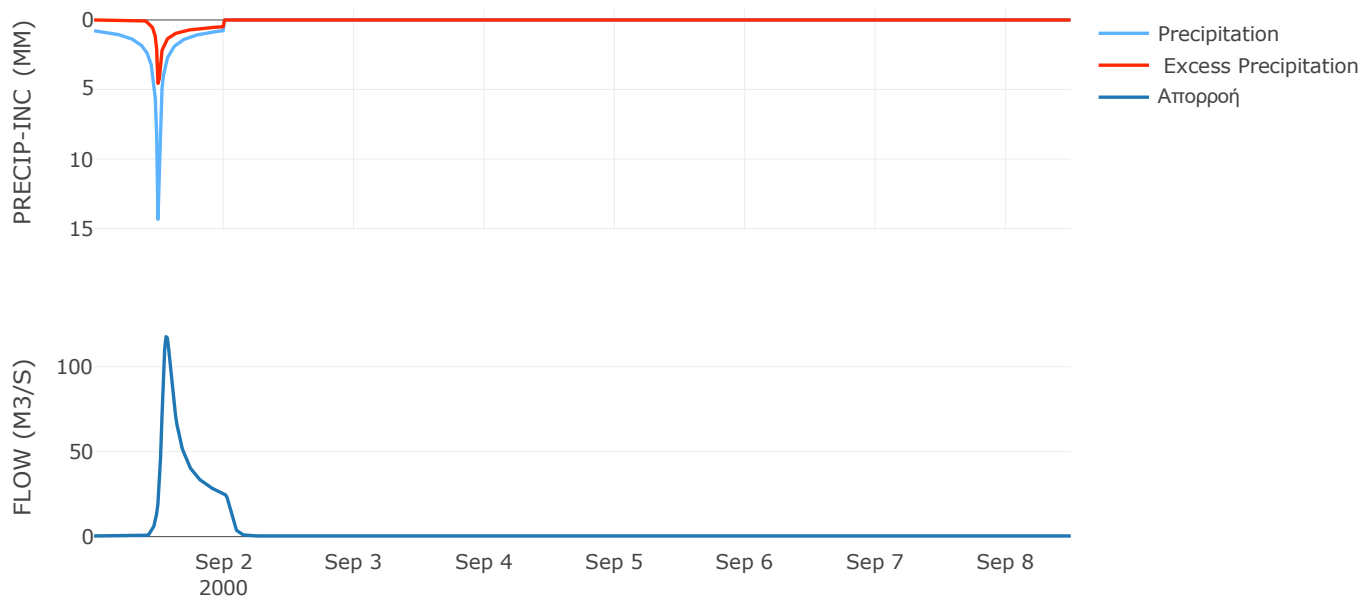
Μέθοδος Μετασχηματισμού:
Scs

Χρόνος Υστέρησης	65.04
------------------	-------

Αποτελέσματα:
EL0415FR0020008

Παροχή αιχμής (M3/S)	117.73
Χρονική στιγμή αιχμής	01Sep2000, 13:15
Όγκος (MM)	61.32
Όγκος βροχόπτωσης (M3)	7.72E6
Όγκος απωλειών (M3)	5.38E6
Ενεργός Όγκος (M3)	2.34E6
Όγκος άμεσης απορροής (M3)	2.34E6
Όγκος βασικής απορροής (M3)	2.77E5

Βροχόπτωση και Απορροή



Υπολεκάνη: EL0415FR0020009

Έκταση (KM2) : 58.35

Κατάντη : J7

Μέθοδος Απωλειών: SCS

Ποσοστό αδιαπέρατης επιφάνειας	0
Αριθμός Καμπύλης Απορροής-CN	49.65
Αρχικές Απώλειες	51.51

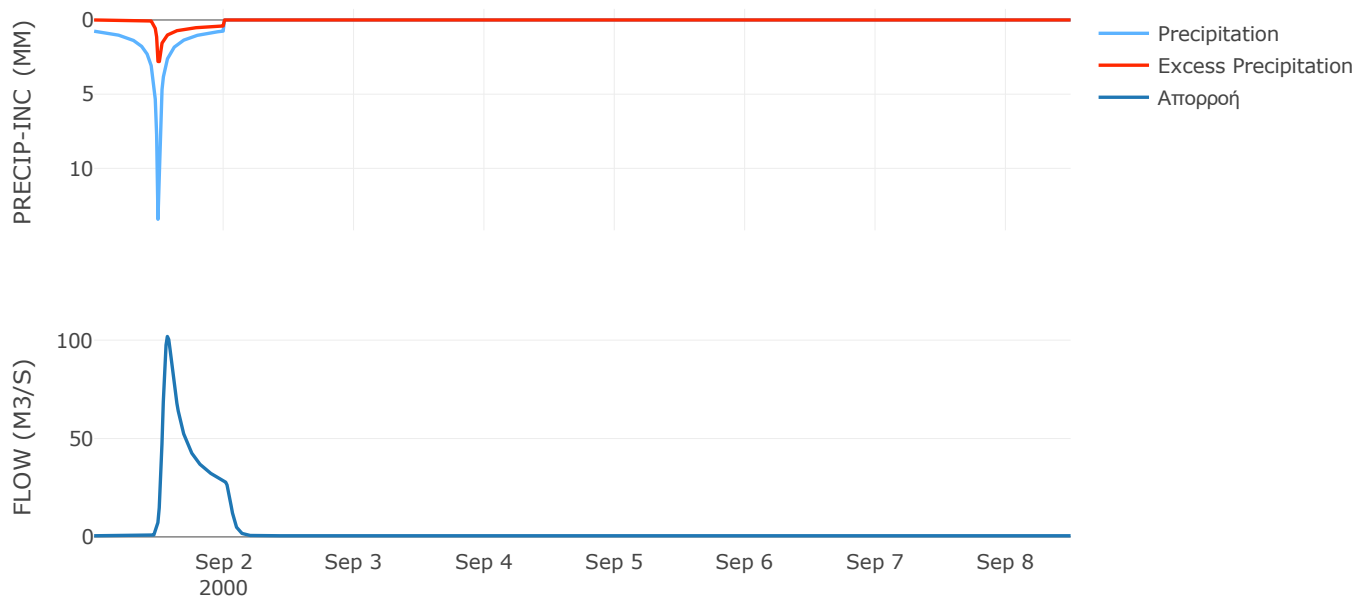
Μέθοδος Μετασχηματισμού:
Scs

Χρόνος Υστέρησης	69.04
------------------	-------

Αποτελέσματα:
EL0415FR0020009

Παροχή αιχμής (M3/S)	101.88
Χρονική στιγμή αιχμής	01Sep2000, 13:30
Όγκος (MM)	45.63
Όγκος βροχόπτωσης (M3)	1.01E7
Όγκος απωλειών (M3)	7.83E6
Ενεργός Όγκος (M3)	2.28E6
Όγκος άμεσης απορροής (M3)	2.28E6
Όγκος βασικής απορροής (M3)	3.78E5

Βροχόπτωση και Απορροή



3.2 Δεδομένα και υδρογραφήματα σχεδιασμού Κλάδων υδρογραφικού δικτύου

Κλάδος: R219

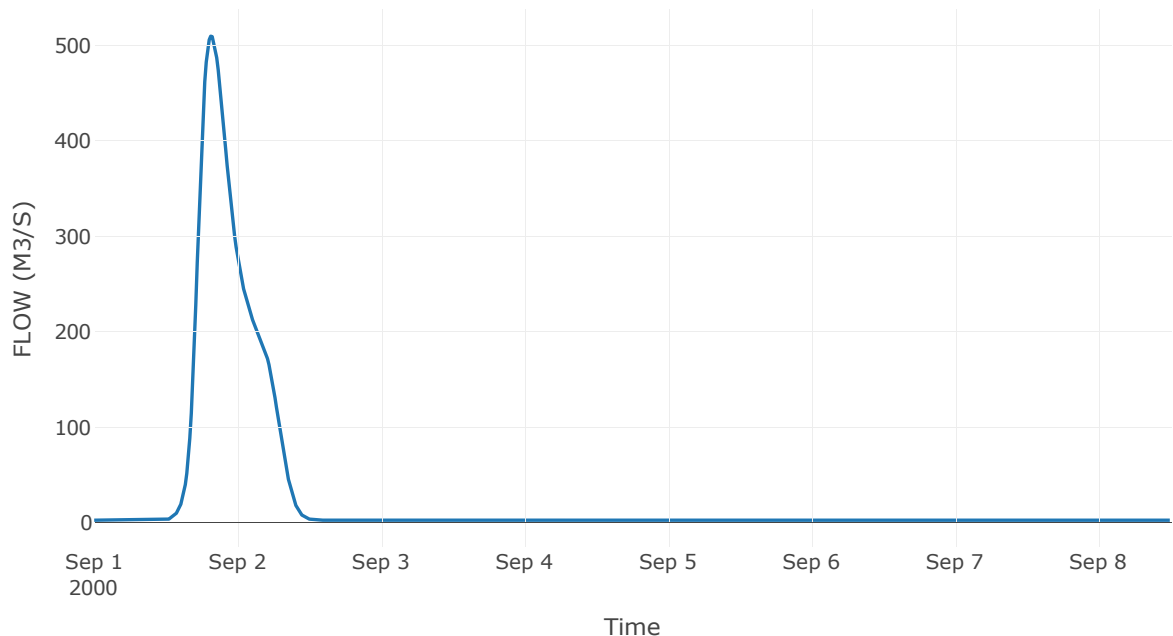
Κατάντη : J19

Μέθοδος Διόδευσης	Muskingum
Αρχική Μεταβλητή	Combined Inflow
Χρόνος Ροής K	4.13
Συντελεστής βάρους x	0.2
Πλήθος Υποκλάδων	17

Αποτελέσματα: R219

Παροχή Αιχμής(M3/S)	509.85
Χρονική στιγμή αιχμής	01Sep2000, 19:30
Όγκος(MM)	65.64
Παροχή Αιχμής Εισόδου (M3/S)	529.71
Όγκος Εισροής(M3)	1.82E7

Απορροή



Κλάδος: R32

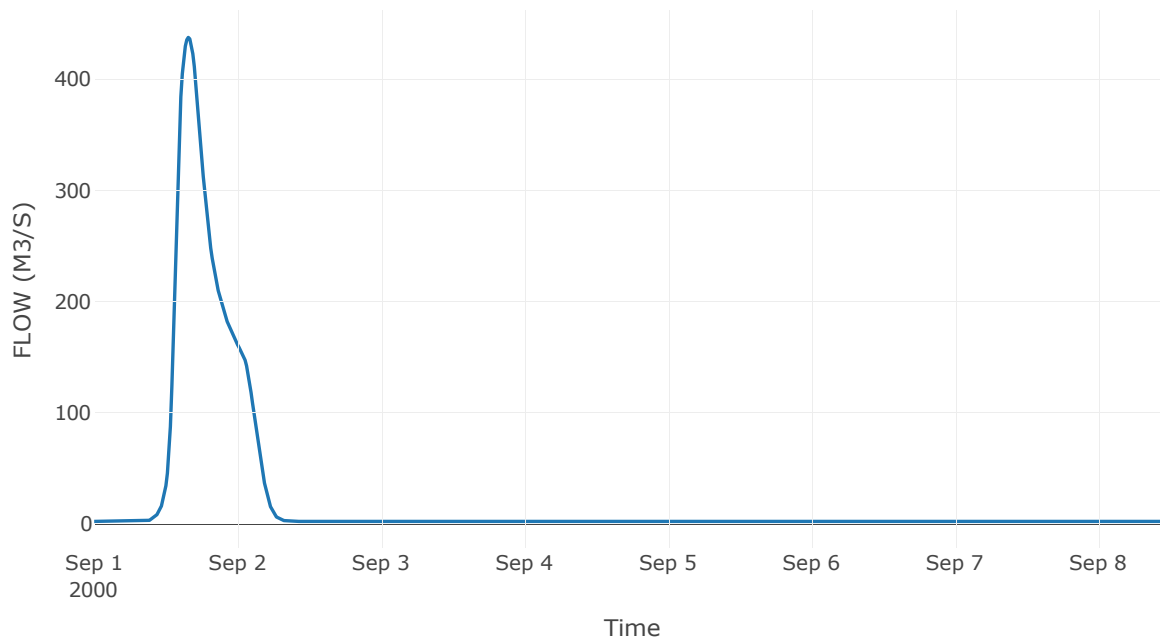
Κατάντη : J2

Μέθοδος Διόδευσης	Muskingum
Αρχική Μεταβλητή	Combined Inflow
Χρόνος Ροής K	0.94
Συντελεστής βάρους x	0.2
Πλήθος Υποκλάδων	4

Αποτελέσματα: R32

Παροχή Αιχμής(M3/S)	437.42
Χρονική στιγμή αιχμής	01Sep2000, 15:45
Όγκος(MM)	62.63
Παροχή Αιχμής Εισόδου (M3/S)	440.82
Όγκος Εισροής(M3)	1.49E7

Απορροή



Κλάδος: R43

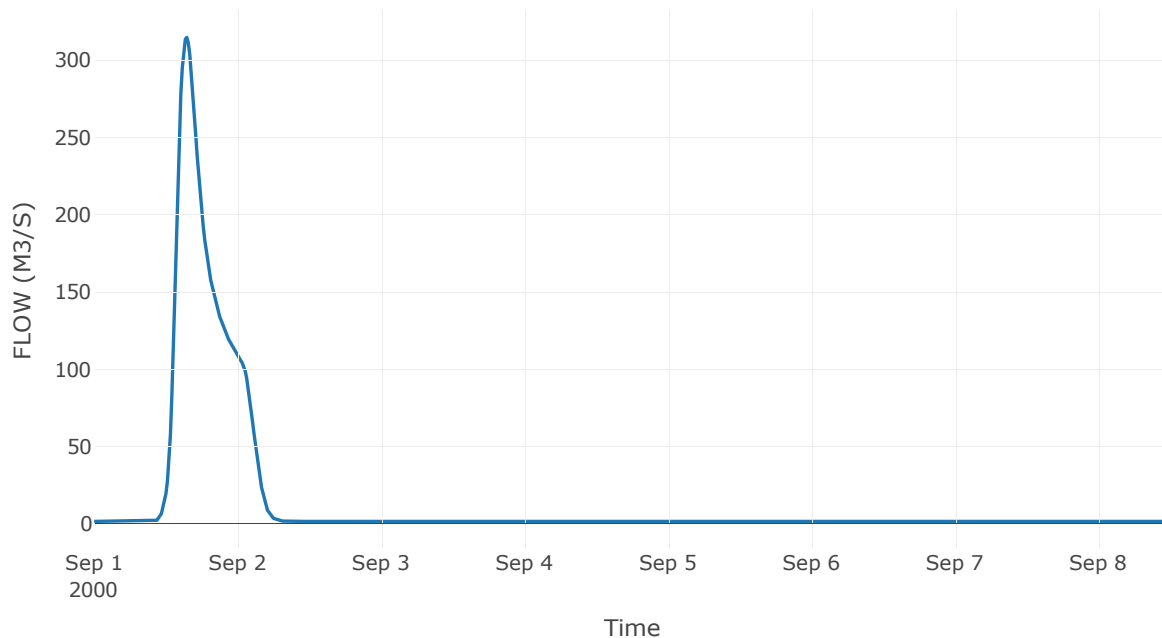
Κατάντη : J3

Μέθοδος Διόδευσης	Muskingum
Αρχική Μεταβλητή	Combined Inflow
Χρόνος Ροής K	0.89
Συντελεστής βάρους x	0.2
Πλήθος Υποκλάδων	4

Αποτελέσματα: R43

Παροχή Αιχμής(M3/S)	314.69
Χρονική στιγμή αιχμής	01Sep2000, 15:30
Όγκος(MM)	57.59
Παροχή Αιχμής Εισόδου (M3/S)	319.67
Όγκος Εισροής(M3)	9.88E6

Απορροή



Κλάδος: R54

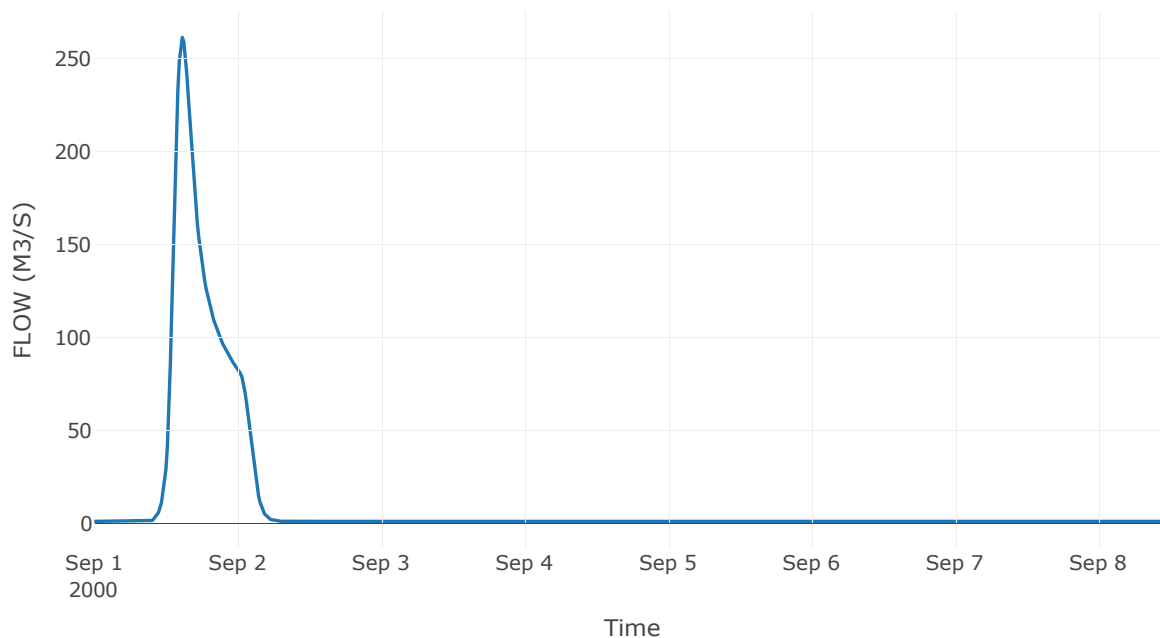
Κατάντη : J4

Μέθοδος Διόδευσης	Muskingum
Αρχική Μεταβλητή	Combined Inflow
Χρόνος Ροής K	0.27
Συντελεστής βάρους x	0.2
Πλήθος Υποκλάδων	1

Αποτελέσματα: R54

Παροχή Αιχμής(M3/S)	261.49
Χρονική στιγμή αιχμής	01Sep2000, 14:45
Όγκος(MM)	56
Παροχή Αιχμής Εισόδου (M3/S)	263.61
Όγκος Εισροής(M3)	7.78E6

Απορροή



Κλάδος: R65

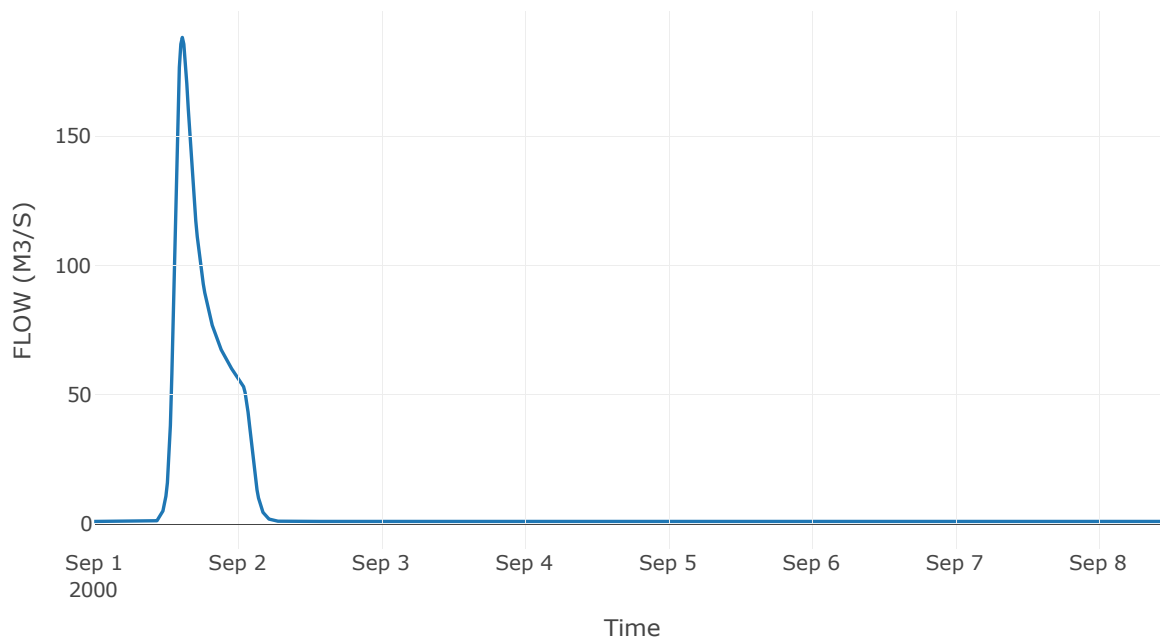
Κατάντη : J5

Μέθοδος Διόδευσης	Muskingum
Αρχική Μεταβλητή	Combined Inflow
Χρόνος Ροής K	0.76
Συντελεστής βάρους x	0.2
Πλήθος Υποκλάδων	3

Αποτελέσματα: R65

Παροχή Αιχμής(M3/S)	187.95
Χρονική στιγμή αιχμής	01Sep2000, 14:45
Όγκος(MM)	52.27
Παροχή Αιχμής Εισόδου (M3/S)	193.13
Όγκος Εισροής(M3)	5.28E6

Απορροή



Κλάδος: R76

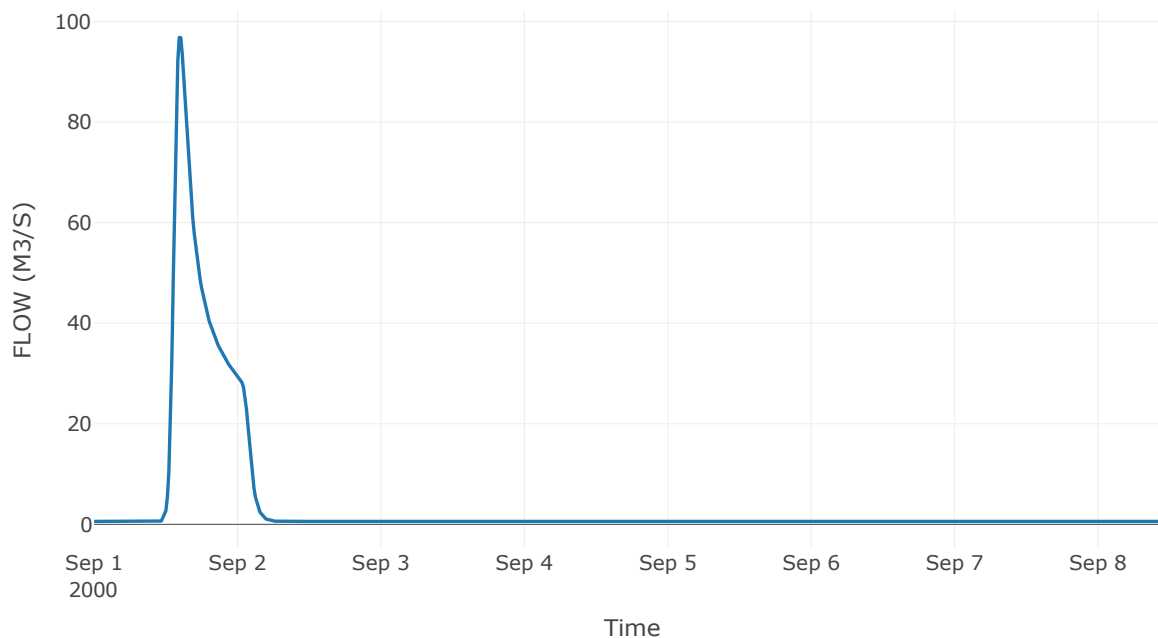
Κατάντη : J6

Μέθοδος Διόδευσης	Muskingum
Αρχική Μεταβλητή	Combined Inflow
Χρόνος Ροής K	0.75
Συντελεστής βάρους x	0.2
Πλήθος Υποκλάδων	3

Αποτελέσματα: R76

Παροχή Αιχμής(M3/S)	96.82
Χρονική στιγμή αιχμής	01Sep2000, 14:15
Όγκος(MM)	45.63
Παροχή Αιχμής Εισόδου (M3/S)	101.88
Όγκος Εισροής(M3)	2.66E6

Απορροή



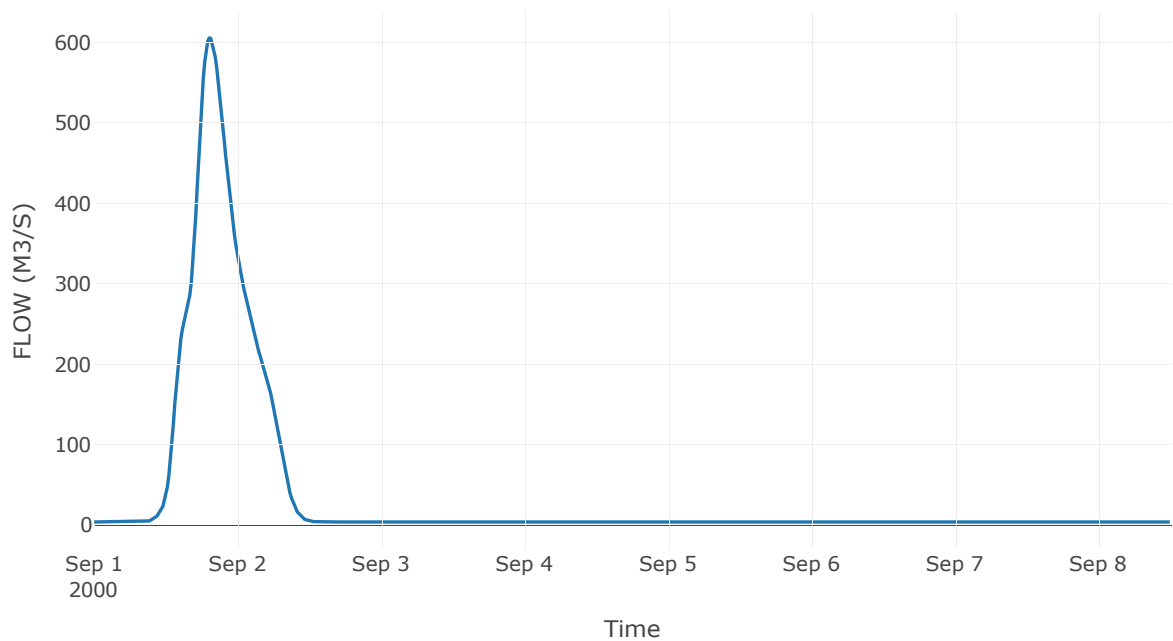
3.3 Δεδομένα και υδρογραφήματα σχεδιασμού Κόμβων υδρογραφικού δικτύου

Κόμβος εξόδου: J19

Αποτελέσματ
α: J19

Παροχή αιχμής (M3/S)	605.53
Χρονική στιγμή αιχμής	01Sep2000, 19:15
Όγκος (MM)	69.28

Απορροή



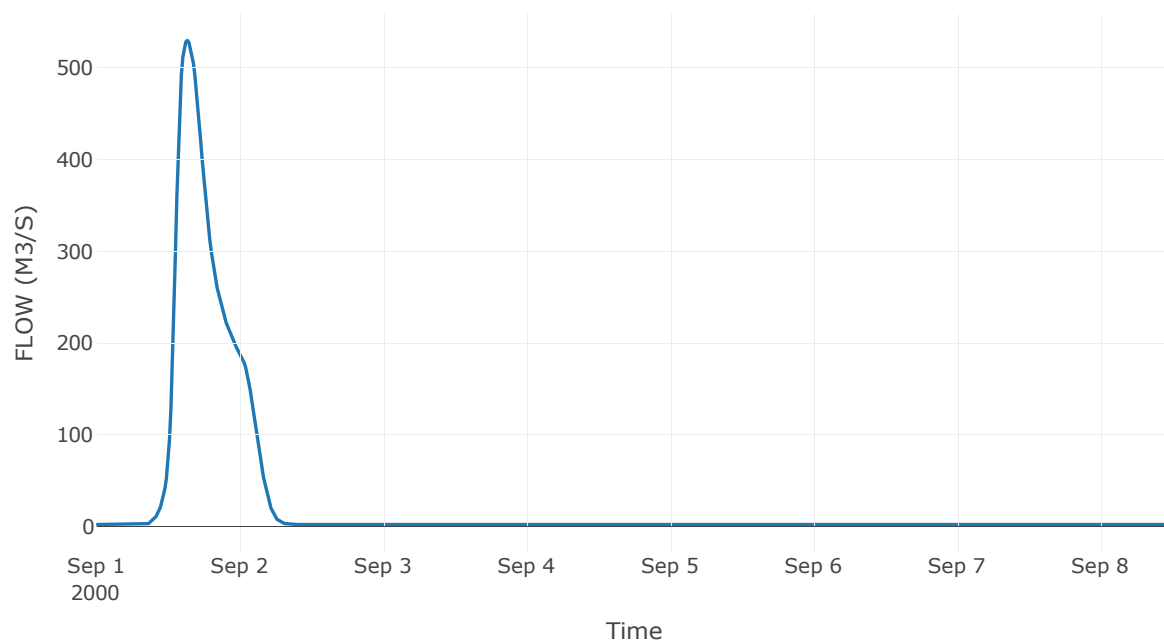
Κόμβος: J2

Κατάντη : R219

Αποτελέσματα: J2

Παροχή Αιχμής(M3/S)	529.71
Χρονική στιγμή αιχμής	01Sep2000, 15:15
Όγκος(MM)	65.64

Απορροή



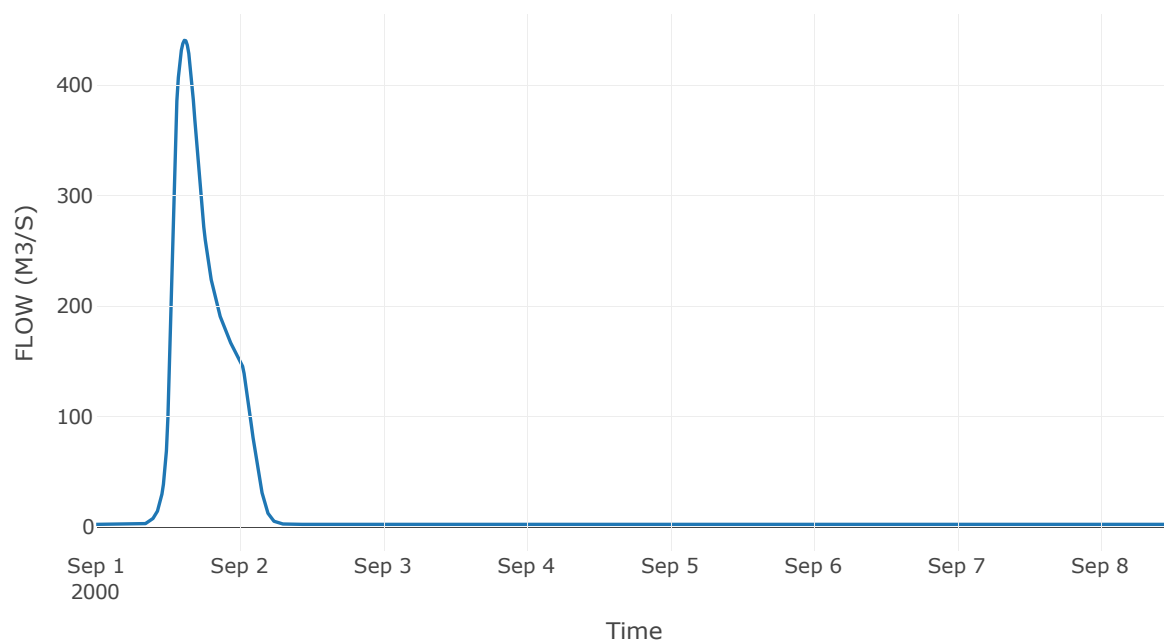
Κόμβος: J3

Κατάντη : R32

Αποτελέσματα: J3

Παροχή Αιχμής(M3/S)	440.82
Χρονική στιγμή αιχμής	01Sep2000, 14:45
Όγκος(MM)	62.63

Απορροή



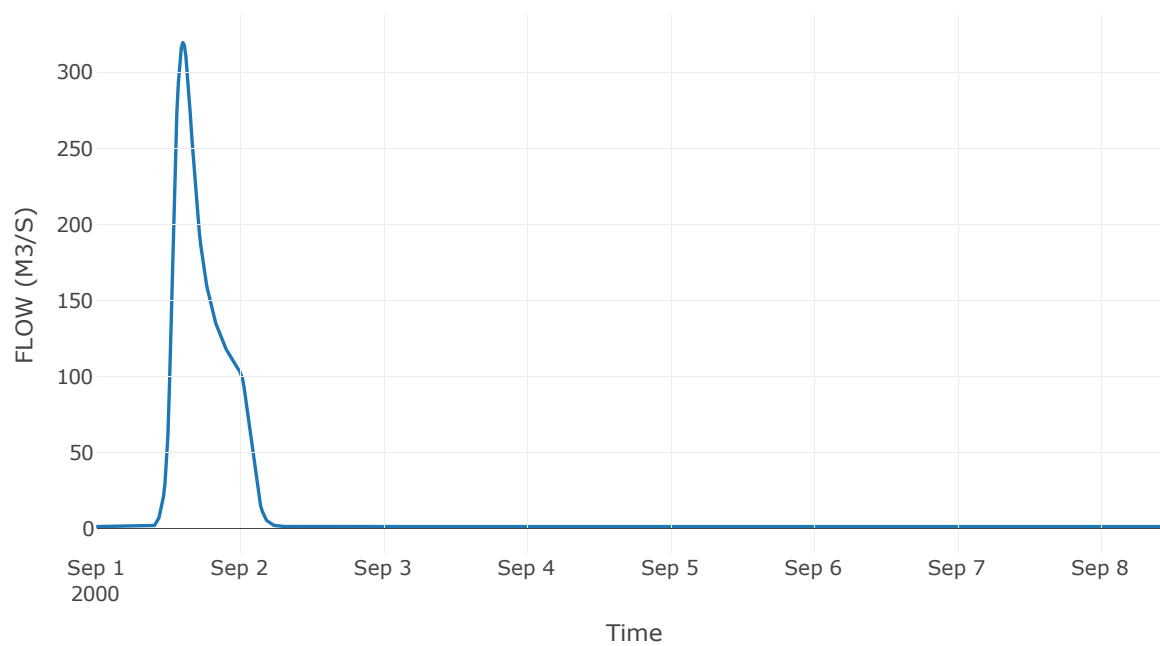
Κόμβος: J4

Κατάντη : R43

Αποτελέσματα: J4

Παροχή Αιχμής(M3/S)	319.67
Χρονική στιγμή αιχμής	01Sep2000, 14:30
Όγκος(MM)	57.59

Απορροή



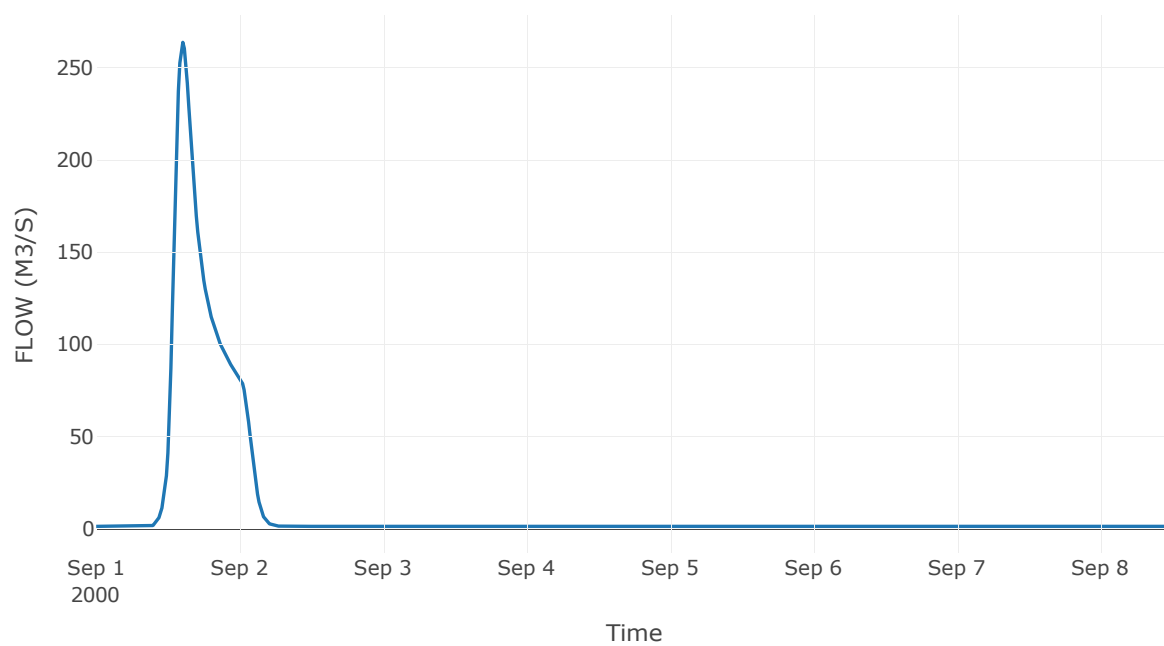
Κόμβος: J5

Κατάντη : R54

Αποτελέσματα: J5

Παροχή Αιχμής(M3/S)	263.61
Χρονική στιγμή αιχμής	01Sep2000, 14:30
Όγκος(MM)	56

Απορροή



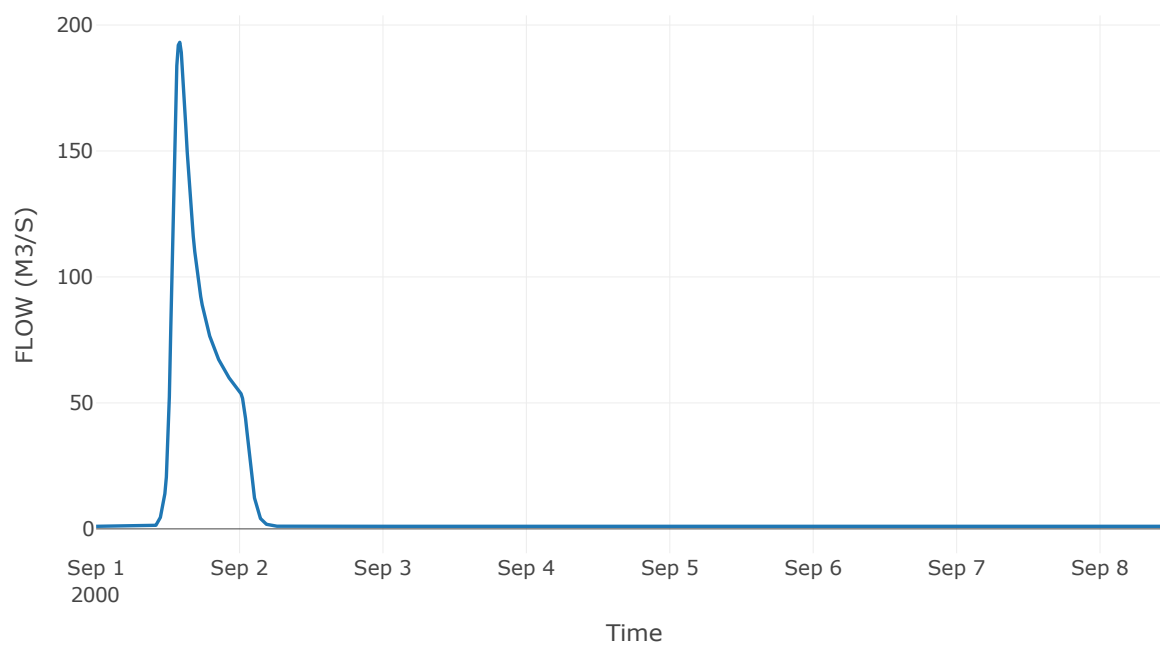
Κόμβος: J6

Κατάντη : R65

Αποτελέσματα: J6

Παροχή Αιχμής(M3/S)	193.13
Χρονική στιγμή αιχμής	01Sep2000, 14:00
Όγκος(MM)	52.27

Απορροή



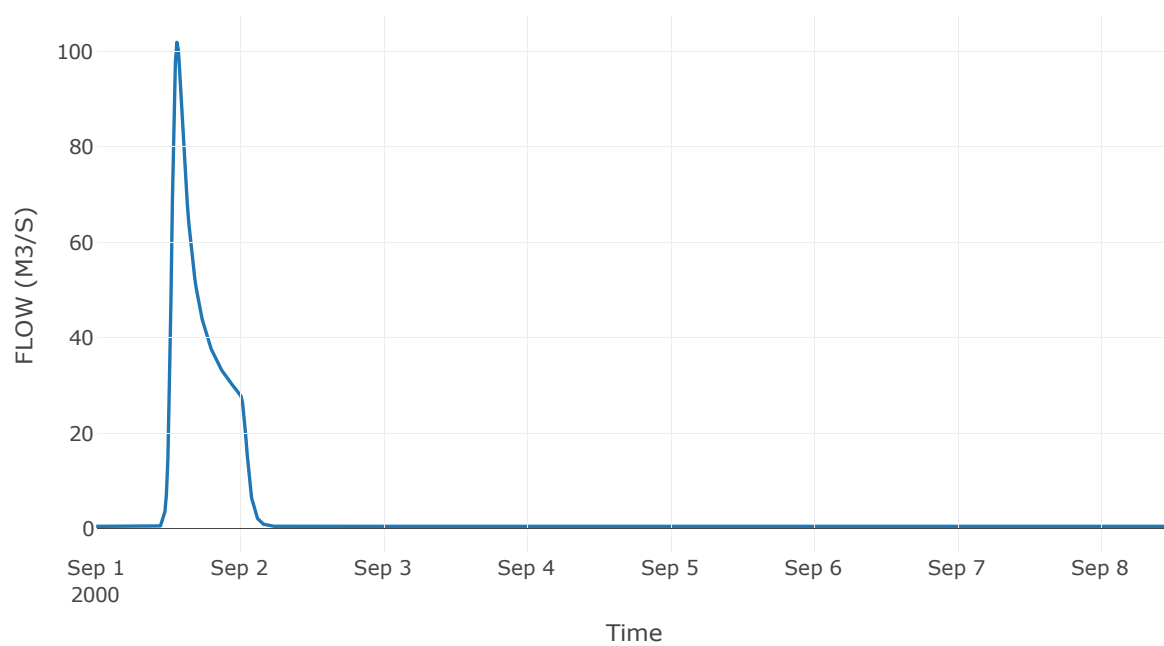
Κόμβος: J7

Κατάντη : R76

Αποτελέσματα: J7

Παροχή Αιχμής(M3/S)	101.88
Χρονική στιγμή αιχμής	01Sep2000, 13:30
Όγκος(MM)	45.63

Απορροή



4 Δεδομένα εισόδου και αποτελέσματα υδρολογικού σεναρίου T=50U

4.1 Αποτελέσματα, υετογραφήματα και υδρογραφήματα σχεδιασμού υπολεκανών

Υπολεκάνη: EL0415FR0020001

Έκταση (KM2) : 76.58

Κατάντη : J19

Μέθοδος Απωλειών: SCS

Ποσοστό αδιαπέρατης επιφάνειας	0
Αριθμός Καμπύλης Απορροής-CN	91.74
Αρχικές Απώλειες	4.57

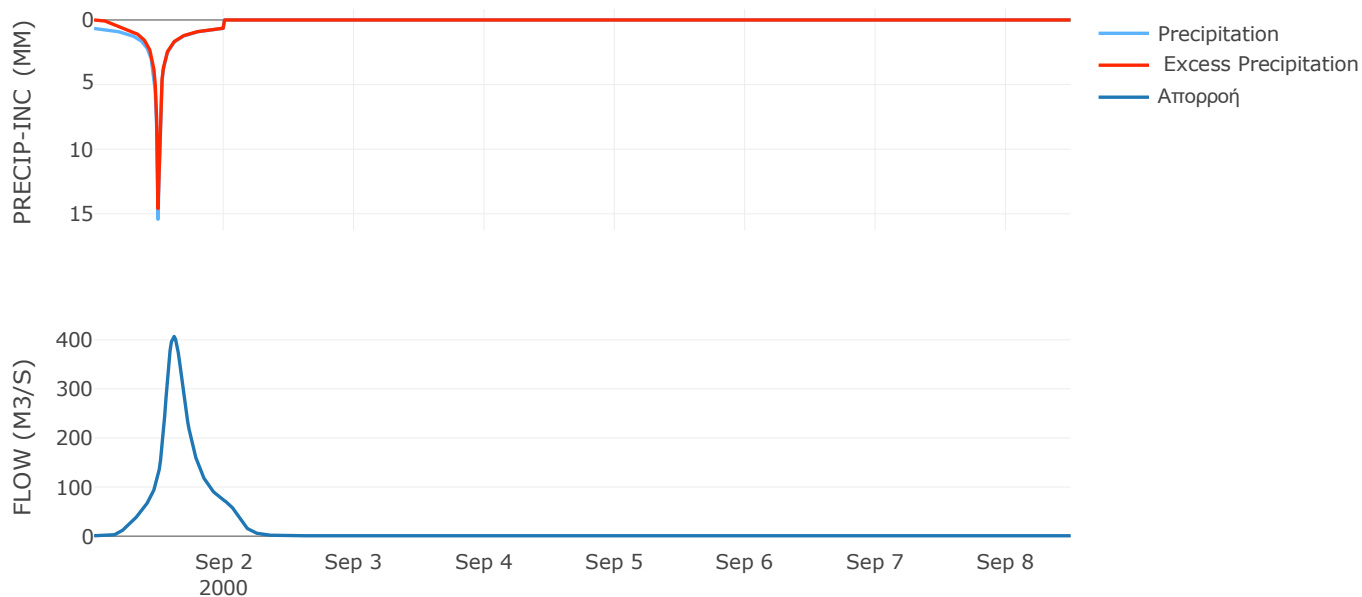
Μέθοδος Μετασχηματισμού:
Scs

Χρόνος Υστέρησης	154.62
------------------	--------

Αποτελέσματα:
EL0415FR0020001

Παροχή αιχμής (M3/S)	406.73
Χρονική στιγμή αιχμής	01Sep2000, 14:45
Όγκος (MM)	149.52
Όγκος βροχόπτωσης (M3)	1.28E7
Όγκος απωλειών (M3)	1.89E6
Ενεργός Όγκος (M3)	1.1E7
Όγκος άμεσης απορροής (M3)	1.1E7
Όγκος βασικής απορροής (M3)	4.96E5

Βροχόπτωση και Απορροή



Υπολεκάνη: EL0415FR0020002

Έκταση (KM2) : 39.41

Κατάντη : J2

Μέθοδος Απωλειών: SCS

Ποσοστό αδιαπέρατης επιφάνειας	0
Αριθμός Καμπύλης Απορροής-CN	90.74
Αρχικές Απώλειες	5.19

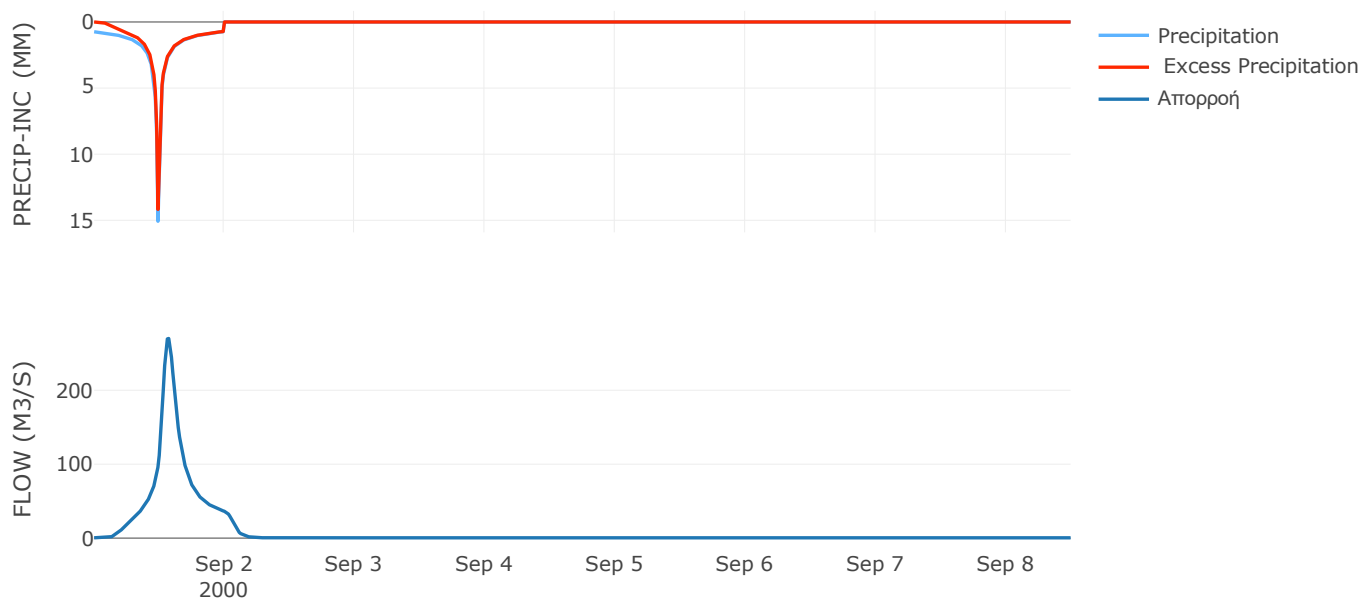
Μέθοδος Μετασχηματισμού:
Scs

Χρόνος Υστέρησης	95.14
------------------	-------

Αποτελέσματα:
EL0415FR0020002

Παροχή αιχμής (M3/S)	270.05
Χρονική στιγμή αιχμής	01Sep2000, 13:45
Όγκος (MM)	157.51
Όγκος βροχόπτωσης (M3)	7.05E6
Όγκος απωλειών (M3)	1.09E6
Ενεργός Όγκος (M3)	5.95E6
Όγκος άμεσης απορροής (M3)	5.95E6
Όγκος βασικής απορροής (M3)	2.55E5

Βροχόπτωση και Απορροή



Υπολεκάνη: EL0415FR0020003

Έκταση (KM2) : 14.18

Κατάντη : J3

Μέθοδος Απωλειών: SCS

Ποσοστό αδιαπέρατης επιφάνειας	0
Αριθμός Καμπύλης Απορροής-CN	90.21
Αρχικές Απώλειες	5.51

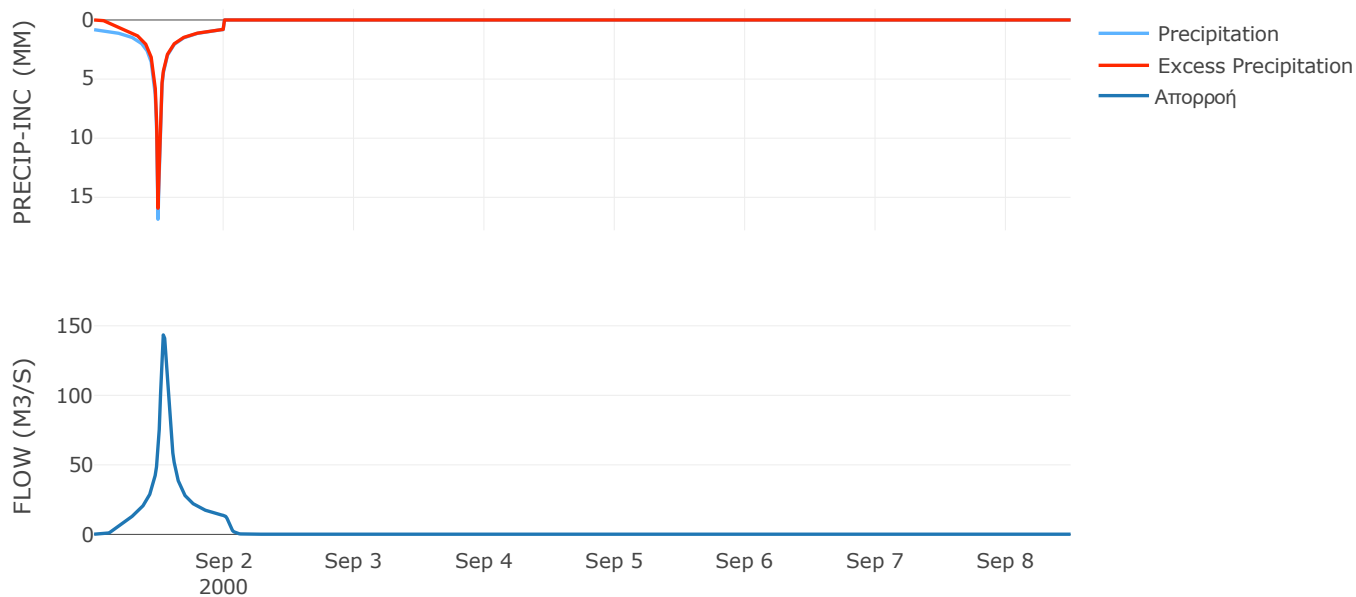
Μέθοδος Μετασχηματισμού:
Scs

Χρόνος Υστέρησης	49.51
------------------	-------

Αποτελέσματα:
EL0415FR0020003

Παροχή αιχμής (M3/S)	143.45
Χρονική στιγμή αιχμής	01Sep2000, 12:45
Όγκος (MM)	175.46
Όγκος βροχόπτωσης (M3)	2.82E6
Όγκος απωλειών (M3)	4.2E5
Ενεργός Όγκος (M3)	2.4E6
Όγκος άμεσης απορροής (M3)	2.4E6
Όγκος βασικής απορροής (M3)	91912.32

Βροχόπτωση και Απορροή



Υπολεκάνη: EL0415FR0020004

Έκταση (KM2) : 38.04

Κατάντη : J3

Μέθοδος Απωλειών: SCS

Ποσοστό αδιαπέρατης επιφάνειας	0
Αριθμός Καμπύλης Απορροής-CN	87.69
Αρχικές Απώλειες	7.13

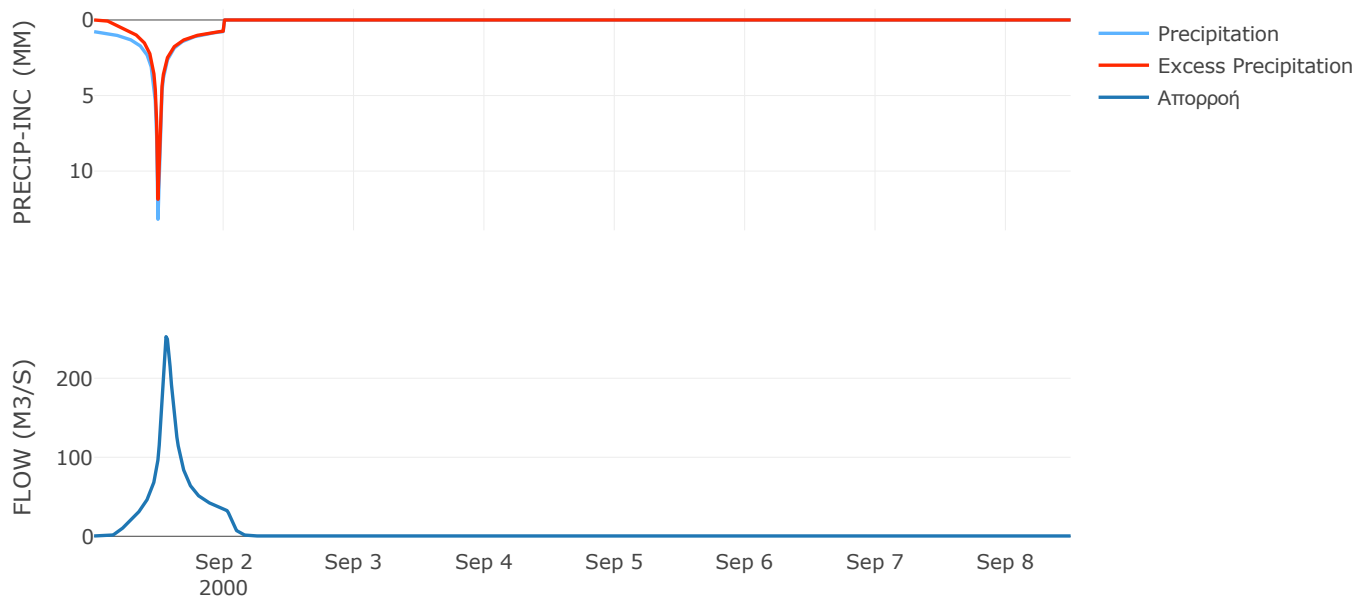
Μέθοδος Μετασχηματισμού:
Scs

Χρόνος Υστέρησης	76.05
------------------	-------

Αποτελέσματα:
EL0415FR0020004

Παροχή αιχμής (M3/S)	252.69
Χρονική στιγμή αιχμής	01Sep2000, 13:15
Όγκος (MM)	144.81
Όγκος βροχόπτωσης (M3)	6.65E6
Όγκος απωλειών (M3)	1.39E6
Ενεργός Όγκος (M3)	5.26E6
Όγκος άμεσης απορροής (M3)	5.26E6
Όγκος βασικής απορροής (M3)	2.46E5

Βροχόπτωση και Απορροή



Υπολεκάνη: EL0415FR0020005

Έκταση (KM2) : 14

Κατάντη : J3

Μέθοδος Απωλειών: SCS

Ποσοστό αδιαπέρατης επιφάνειας	0
Αριθμός Καμπύλης Απορροής-CN	90.23
Αρχικές Απώλειες	5.5

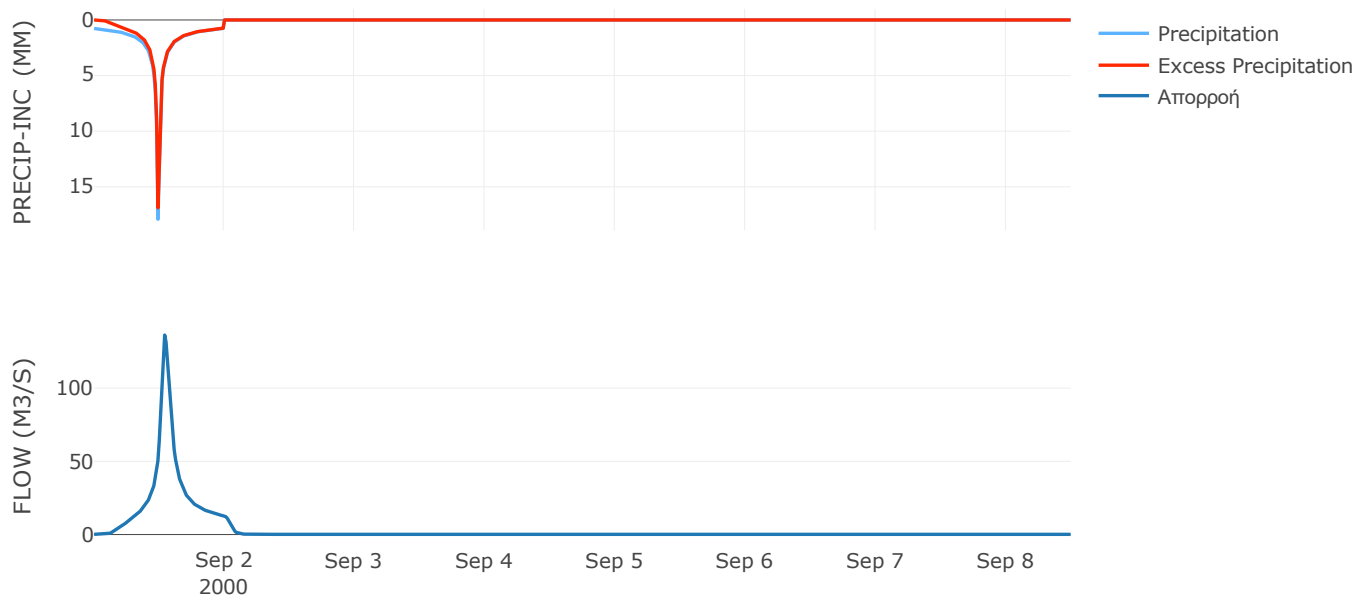
Μέθοδος Μετασχηματισμού:
Scs

Χρόνος Υστέρησης	60.01
------------------	-------

Αποτελέσματα:
EL0415FR0020005

Παροχή αιχμής (M3/S)	136.32
Χρονική στιγμή αιχμής	01Sep2000, 13:00
Όγκος (MM)	171.71
Όγκος βροχόπτωσης (M3)	2.73E6
Όγκος απωλειών (M3)	4.13E5
Ενεργός Όγκος (M3)	2.31E6
Όγκος άμεσης απορροής (M3)	2.31E6
Όγκος βασικής απορροής (M3)	90726.48

Βροχόπτωση και Απορροή



Υπολεκάνη: EL0415FR0020006

Έκταση (KM2) : 32.61

Κατάντη : J4

Μέθοδος Απωλειών: SCS

Ποσοστό αδιαπέρατης επιφάνειας	0
Αριθμός Καμπύλης Απορροής-CN	85.99
Αρχικές Απώλειες	8.28

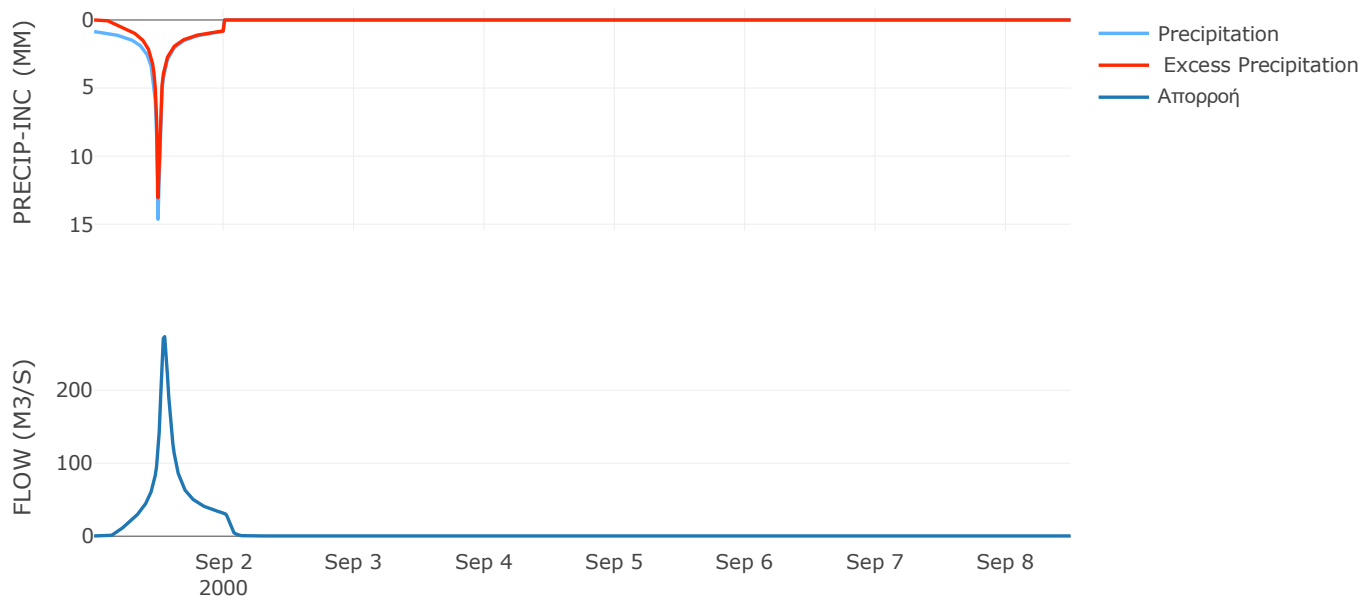
Μέθοδος Μετασχηματισμού:
Scs

Χρόνος Υστέρησης	52.2
------------------	------

Αποτελέσματα:
EL0415FR0020006

Παροχή αιχμής (M3/S)	273.47
Χρονική στιγμή αιχμής	01Sep2000, 13:00
Όγκος (MM)	156.82
Όγκος βροχόπτωσης (M3)	6.27E6
Όγκος απωλειών (M3)	1.37E6
Ενεργός Όγκος (M3)	4.9E6
Όγκος άμεσης απορροής (M3)	4.9E6
Όγκος βασικής απορροής (M3)	2.11E5

Βροχόπτωση και Απορροή



Υπολεκάνη: EL0415FR0020007

Έκταση (KM2) : 37.84

Κατάντη : J5

Μέθοδος Απωλειών: SCS

Ποσοστό αδιαπέρατης επιφάνειας	0
Αριθμός Καμπύλης Απορροής-CN	87.33
Αρχικές Απώλειες	7.37

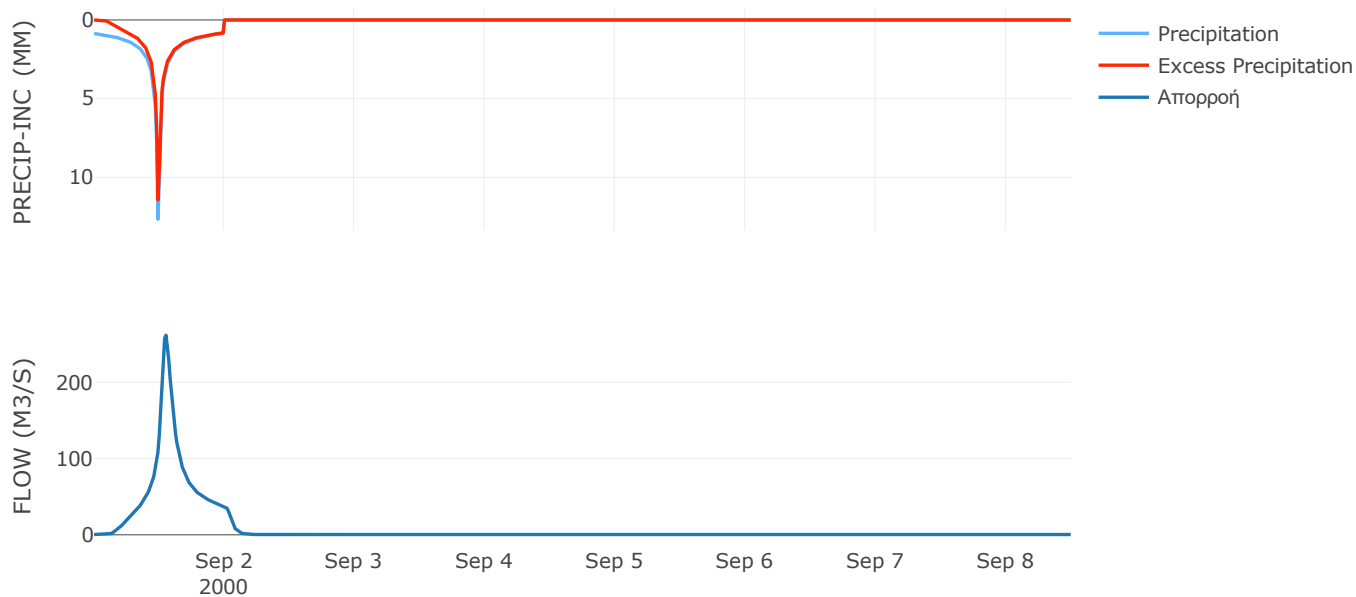
Μέθοδος Μετασχηματισμού:
Scs

Χρόνος Υστέρησης	68.16
------------------	-------

Αποτελέσματα:
EL0415FR0020007

Παροχή αιχμής (M3/S)	261.64
Χρονική στιγμή αιχμής	01Sep2000, 13:15
Όγκος (MM)	152.26
Όγκος βροχόπτωσης (M3)	6.95E6
Όγκος απωλειών (M3)	1.43E6
Ενεργός Όγκος (M3)	5.52E6
Όγκος άμεσης απορροής (M3)	5.52E6
Όγκος βασικής απορροής (M3)	2.45E5

Βροχόπτωση και Απορροή



Υπολεκάνη: EL0415FR0020008

Έκταση (KM2) : 42.76

Κατάντη : J6

Μέθοδος Απωλειών: SCS

Ποσοστό αδιαπέρατης επιφάνειας	0
Αριθμός Καμπύλης Απορροής-CN	86.83
Αρχικές Απώλειες	7.71

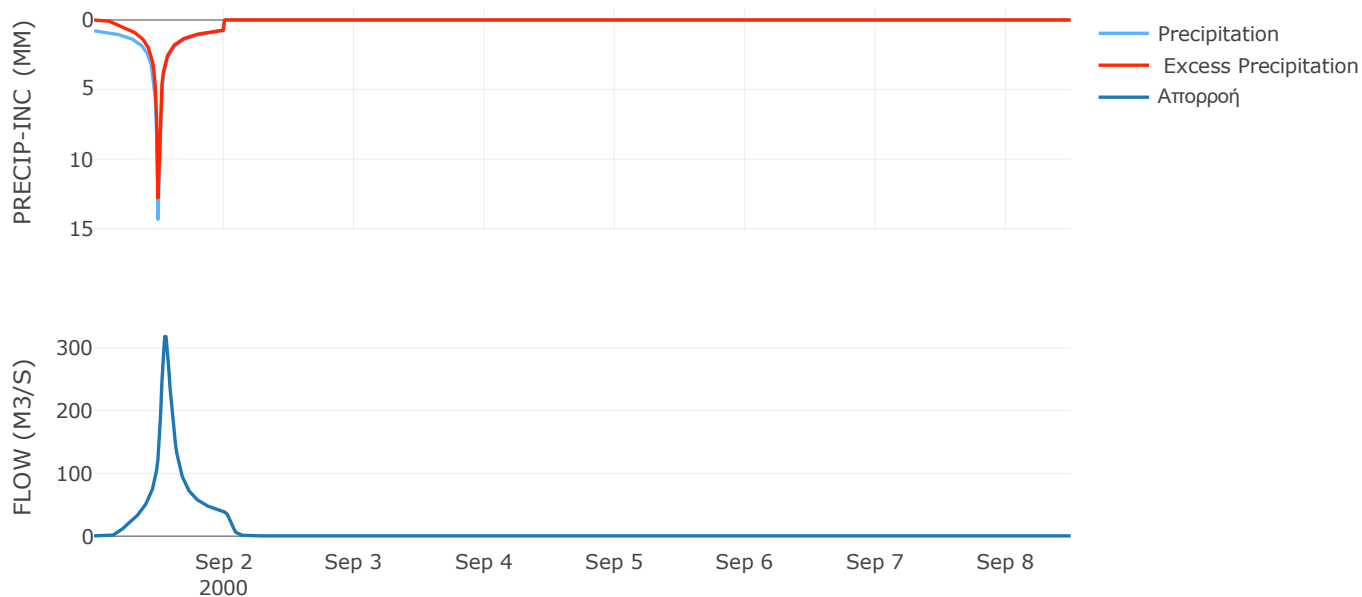
Μέθοδος Μετασχηματισμού:
Scs

Χρόνος Υστέρησης	65.04
------------------	-------

Αποτελέσματα:
EL0415FR0020008

Παροχή αιχμής (M3/S)	317.89
Χρονική στιγμή αιχμής	01Sep2000, 13:00
Όγκος (MM)	147.9
Όγκος βροχόπτωσης (M3)	7.72E6
Όγκος απωλειών (M3)	1.68E6
Ενεργός Όγκος (M3)	6.05E6
Όγκος άμεσης απορροής (M3)	6.05E6
Όγκος βασικής απορροής (M3)	2.77E5

Βροχόπτωση και Απορροή



Υπολεκάνη: EL0415FR0020009

Έκταση (KM2) : 58.35

Κατάντη : J7

Μέθοδος Απωλειών: SCS

Ποσοστό αδιαπέρατης επιφάνειας	0
Αριθμός Καμπύλης Απορροής-CN	84.38
Αρχικές Απώλειες	9.41

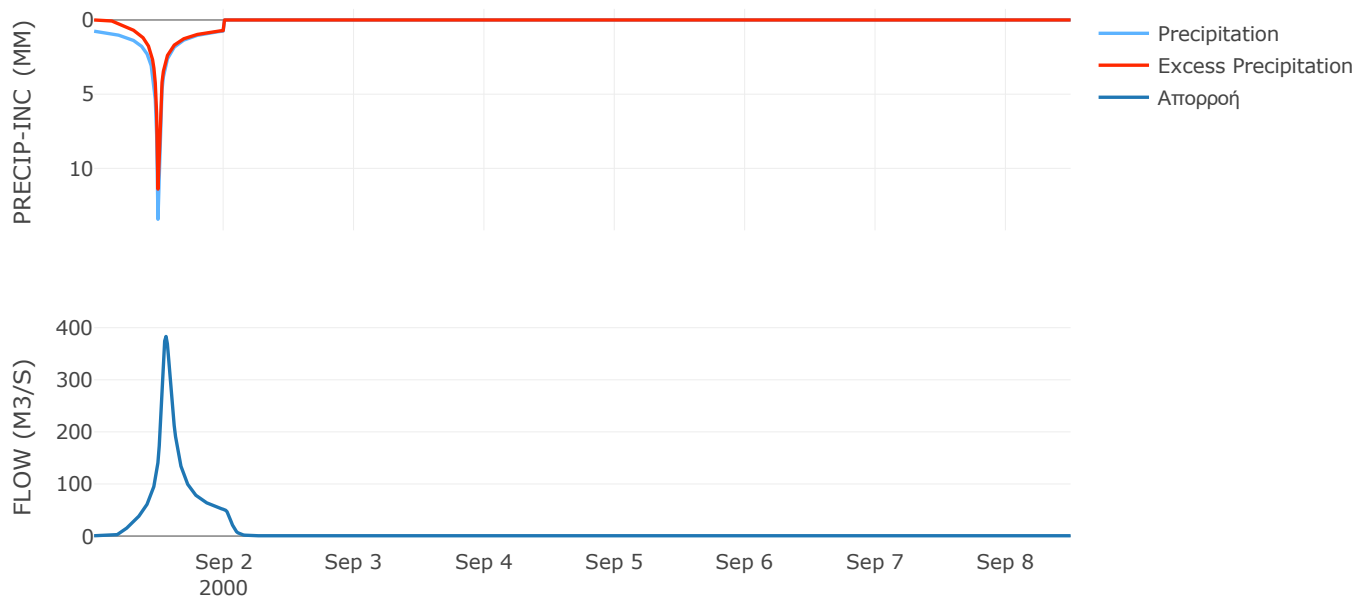
Μέθοδος Μετασχηματισμού:
Scs

Χρόνος Υστέρησης	69.04
------------------	-------

Αποτελέσματα:
EL0415FR0020009

Παροχή αιχμής (M3/S)	383.21
Χρονική στιγμή αιχμής	01Sep2000, 13:15
Όγκος (MM)	133.92
Όγκος βροχόπτωσης (M3)	1.01E7
Όγκος απωλειών (M3)	2.68E6
Ενεργός Όγκος (M3)	7.44E6
Όγκος άμεσης απορροής (M3)	7.44E6
Όγκος βασικής απορροής (M3)	3.78E5

Βροχόπτωση και Απορροή



4.2 Δεδομένα και υδρογραφήματα σχεδιασμού Κλάδων υδρογραφικού δικτύου

Κλάδος: R219

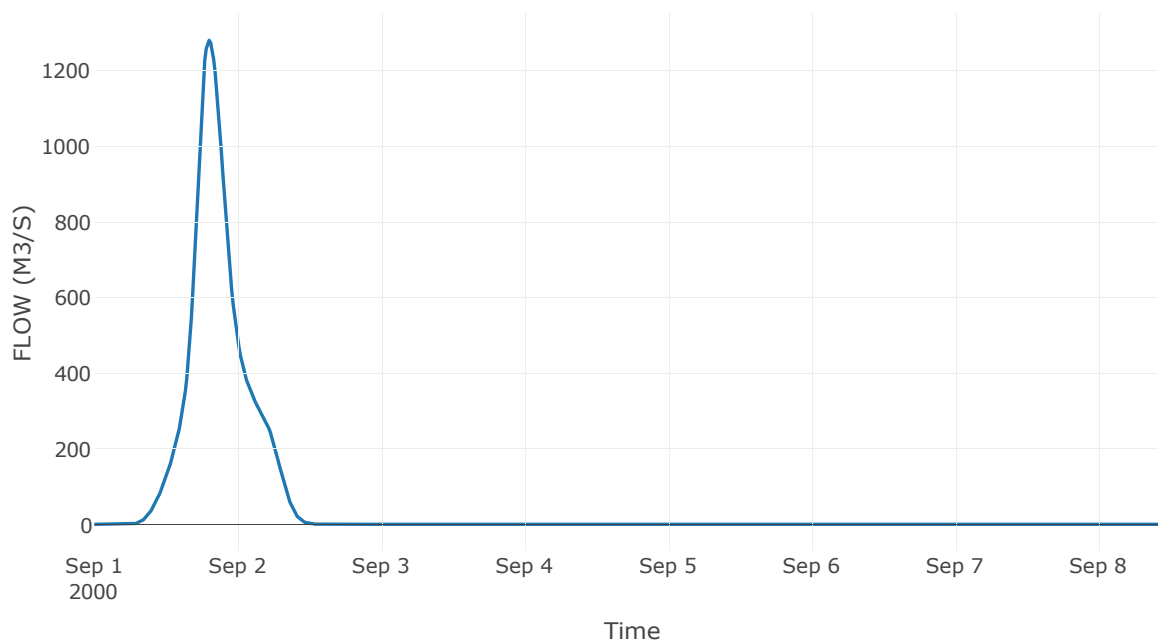
Κατάντη : J19

Μέθοδος Διόδευσης	Muskingum
Αρχική Μεταβλητή	Combined Inflow
Χρόνος Ροής K	4.13
Συντελεστής βάρους x	0.2
Πλήθος Υποκλάδων	17

Αποτελέσματα: R219

Παροχή Αιχμής(M3/S)	1281.13
Χρονική στιγμή αιχμής	01Sep2000, 19:15
Όγκος(MM)	150.16
Παροχή Αιχμής Εισόδου (M3/S)	1340.58
Όγκος Εισροής(M3)	4.16E7

Απορροή



Κλάδος: R32

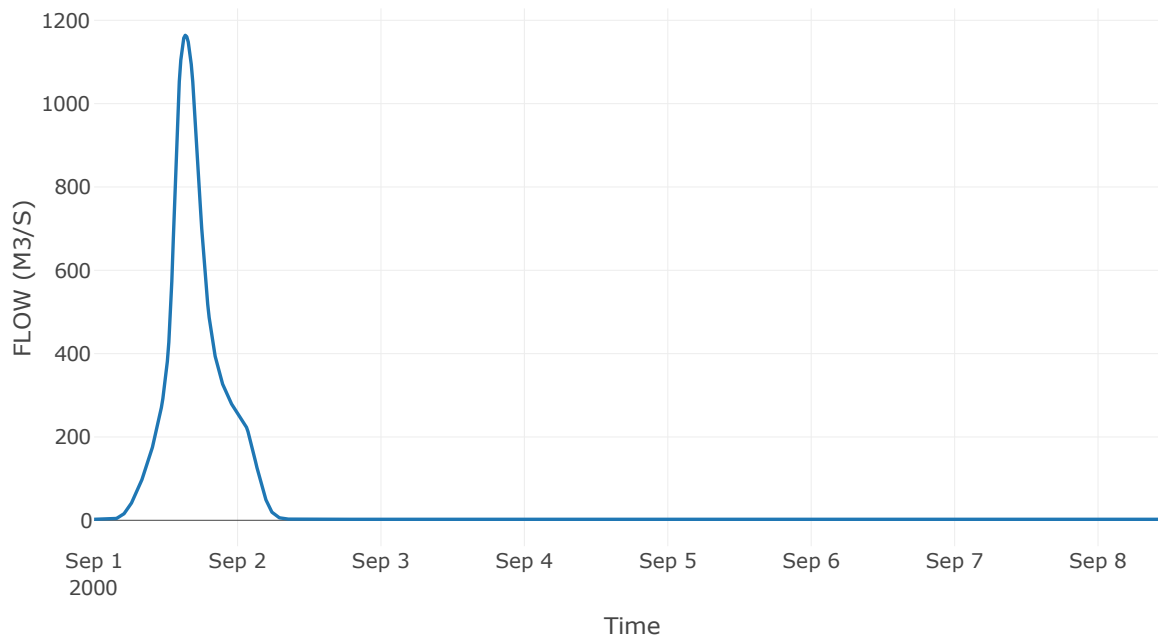
Κατάντη : J2

Μέθοδος Διόδευσης	Muskingum
Αρχική Μεταβλητή	Combined Inflow
Χρόνος Ροής K	0.94
Συντελεστής βάρους x	0.2
Πλήθος Υποκλάδων	4

Αποτελέσματα: R32

Παροχή Αιχμής(M3/S)	1164.05
Χρονική στιγμή αιχμής	01Sep2000, 15:15
Όγκος(MM)	148.94
Παροχή Αιχμής Εισόδου (M3/S)	1174.1
Όγκος Εισροής(M3)	3.54E7

Απορροή



Κλάδος: R43

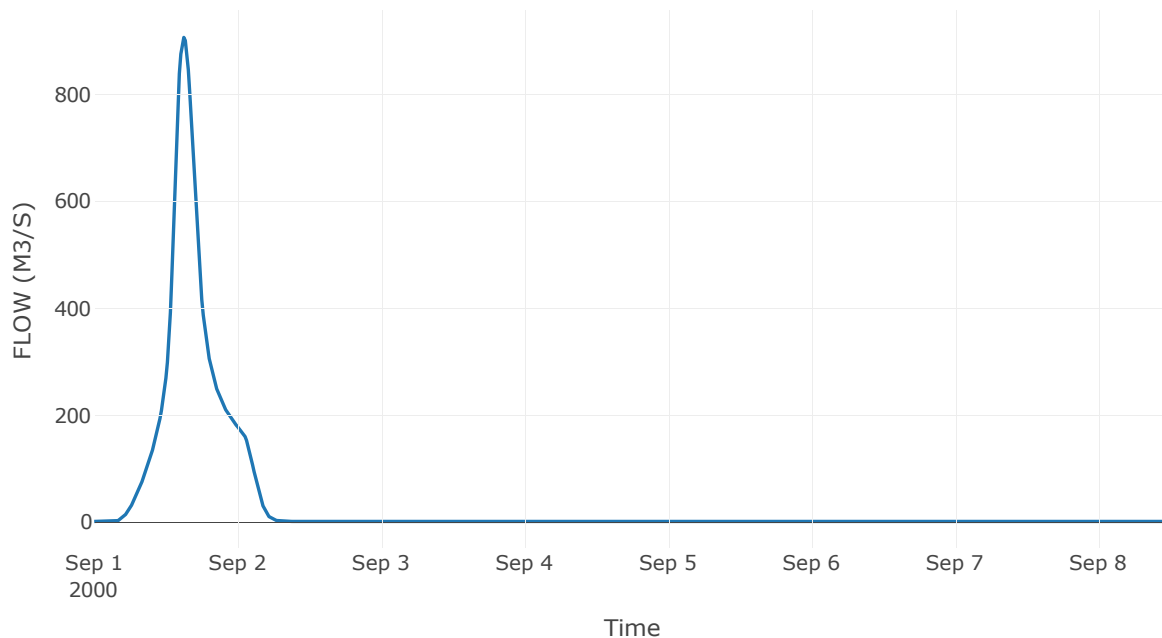
Κατάντη : J3

Μέθοδος Διόδευσης	Muskingum
Αρχική Μεταβλητή	Combined Inflow
Χρόνος Ροής K	0.89
Συντελεστής βάρους x	0.2
Πλήθος Υποκλάδων	4

Αποτελέσματα: R43

Παροχή Αιχμής(M3/S)	906.27
Χρονική στιγμή αιχμής	01Sep2000, 15:00
Όγκος(MM)	145.8
Παροχή Αιχμής Εισόδου (M3/S)	918.96
Όγκος Εισροής(M3)	2.5E7

Απορροή



Κλάδος: R54

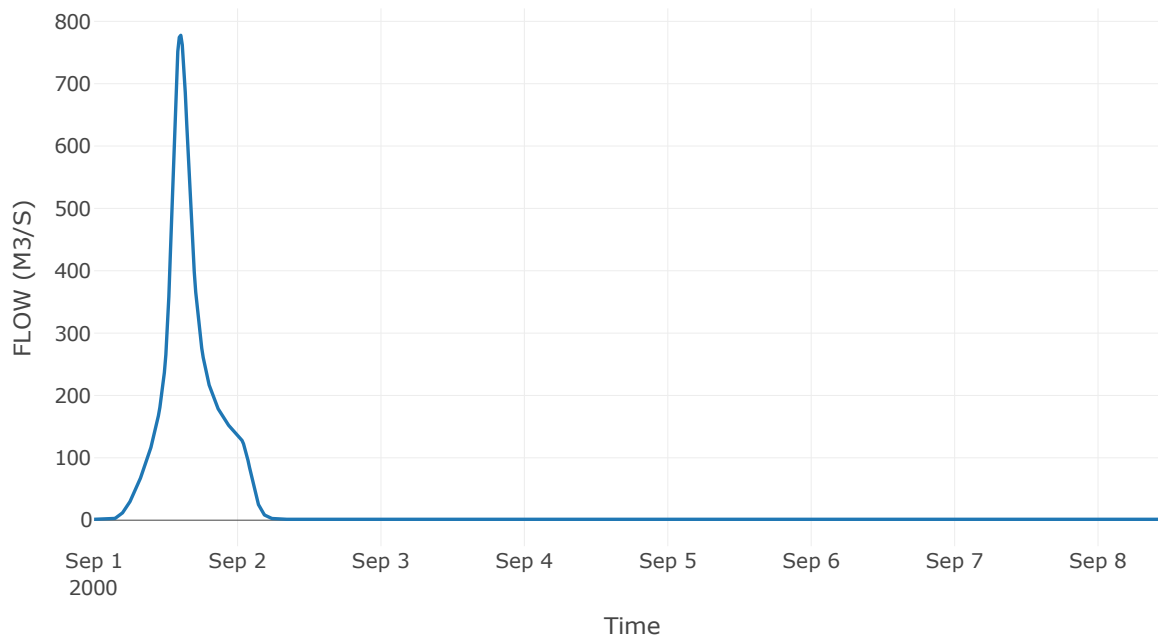
Κατάντη : J4

Μέθοδος Διόδευσης	Muskingum
Αρχική Μεταβλητή	Combined Inflow
Χρόνος Ροής K	0.27
Συντελεστής βάρους x	0.2
Πλήθος Υποκλάδων	1

Αποτελέσματα: R54

Παροχή Αιχμής(M3/S)	777.69
Χρονική στιγμή αιχμής	01Sep2000, 14:30
Όγκος(MM)	143.22
Παροχή Αιχμής Εισόδου (M3/S)	783.92
Όγκος Εισροής(M3)	1.99E7

Απορροή



Κλάδος: R65

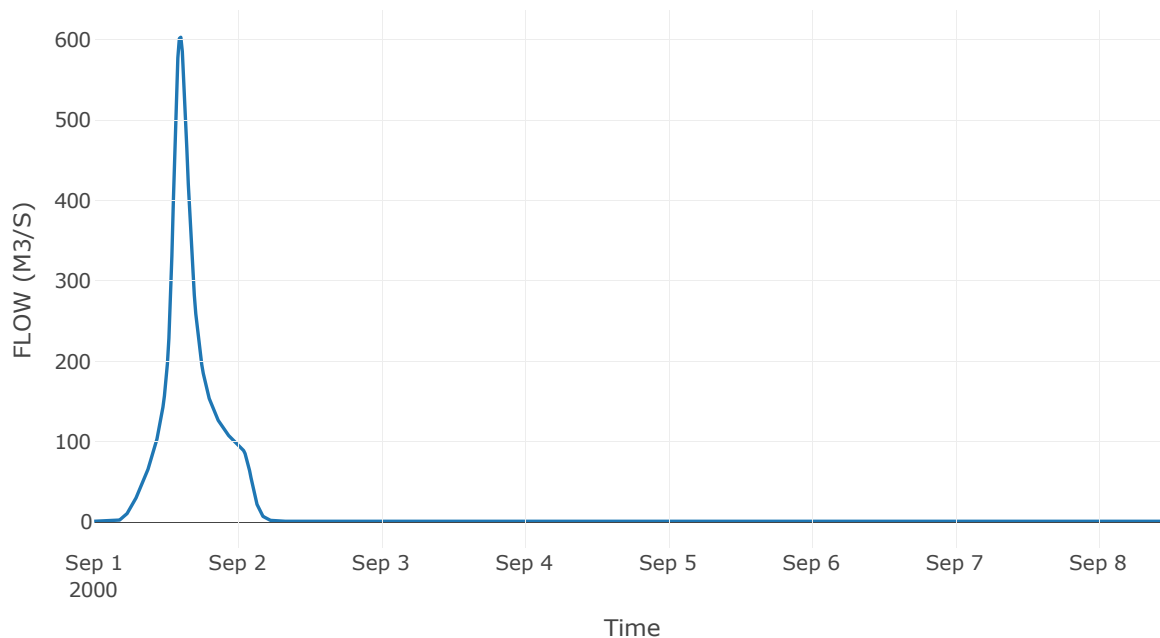
Κατάντη : J5

Μέθοδος Διόδευσης	Muskingum
Αρχική Μεταβλητή	Combined Inflow
Χρόνος Ροής K	0.76
Συντελεστής βάρους x	0.2
Πλήθος Υποκλάδων	3

Αποτελέσματα: R65

Παροχή Αιχμής(M3/S)	602.71
Χρονική στιγμή αιχμής	01Sep2000, 14:30
Όγκος(MM)	139.83
Παροχή Αιχμής Εισόδου (M3/S)	624.36
Όγκος Εισροής(M3)	1.41E7

Απορροή



Κλάδος: R76

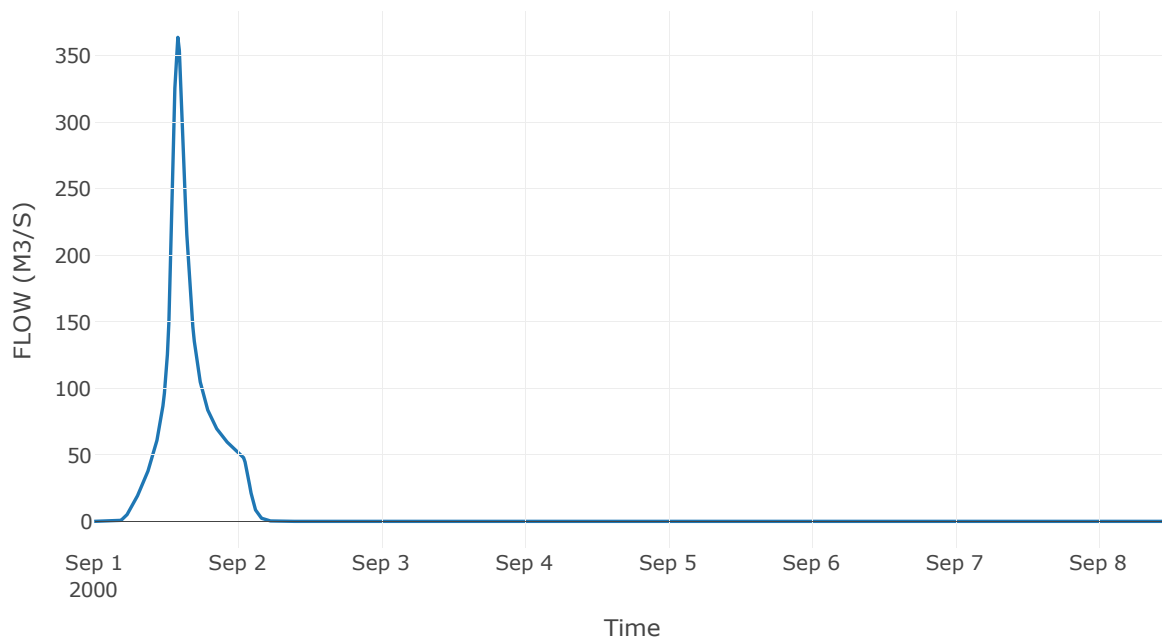
Κατάντη : J6

Μέθοδος Διόδευσης	Muskingum
Αρχική Μεταβλητή	Combined Inflow
Χρόνος Ροής K	0.75
Συντελεστής βάρους x	0.2
Πλήθος Υποκλάδων	3

Αποτελέσματα: R76

Παροχή Αιχμής(M3/S)	363.68
Χρονική στιγμή αιχμής	01Sep2000, 14:00
Όγκος(MM)	133.92
Παροχή Αιχμής Εισόδου (M3/S)	383.21
Όγκος Εισροής(M3)	7.81E6

Απορροή



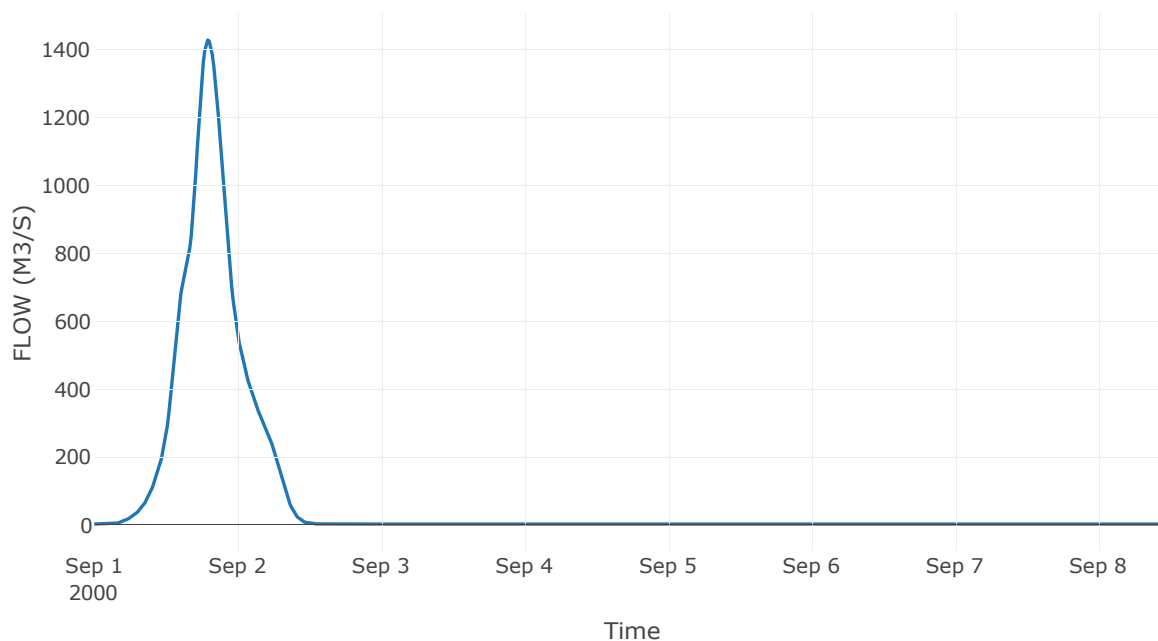
4.3 Δεδομένα και υδρογραφήματα σχεδιασμού Κόμβων υδρογραφικού δικτύου

Κόμβος εξόδου: J19

Αποτελέσματ
α: J19

Παροχή αιχμής (M3/S)	1427.77
Χρονική στιγμή αιχμής	01Sep2000, 19:00
Όγκος (MM)	150.02

Απορροή



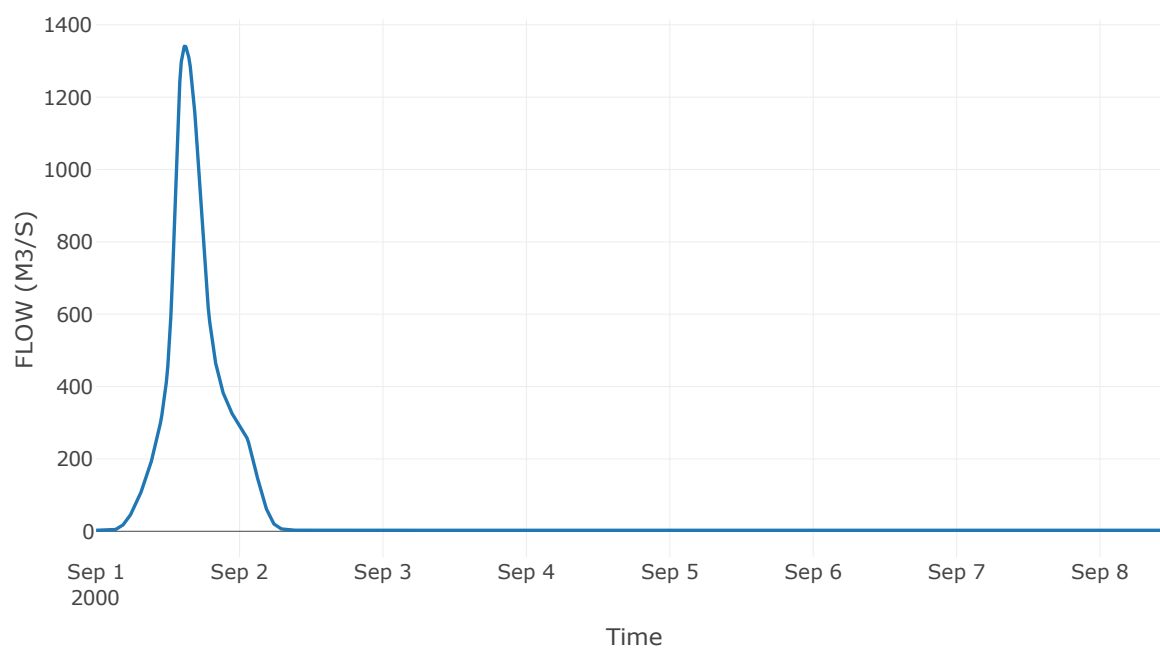
Κόμβος: J2

Κατάντη : R219

Αποτελέσματα: J2

Παροχή Αιχμής(M3/S)	1340.58
Χρονική στιγμή αιχμής	01Sep2000, 14:45
Όγκος(MM)	150.16

Απορροή



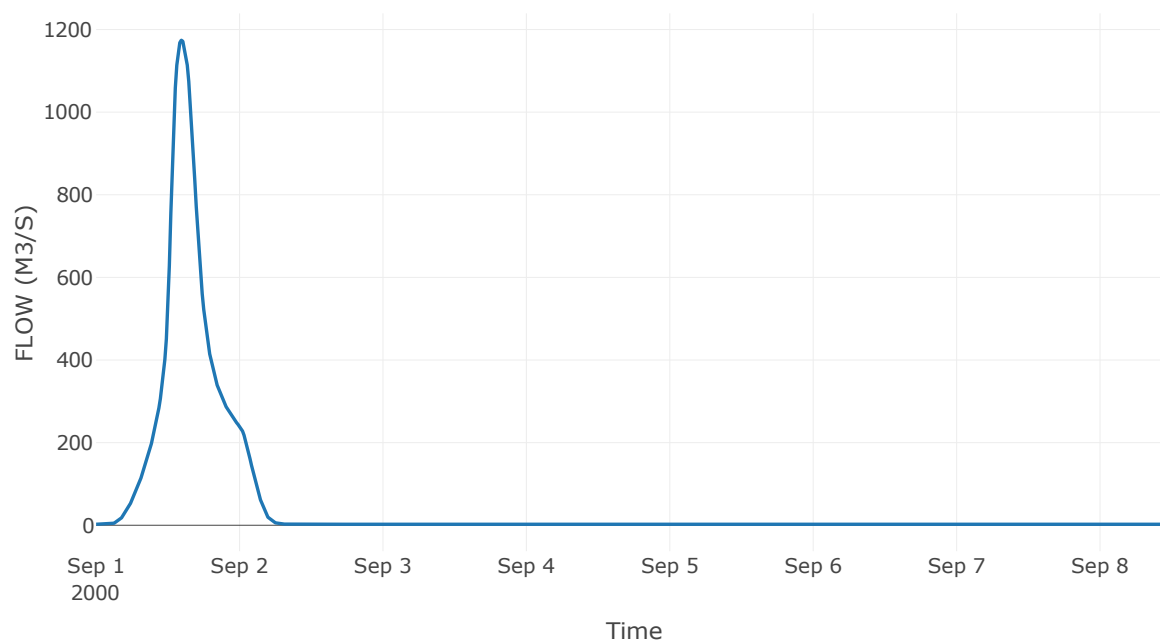
Κόμβος: J3

Κατάντη : R32

Αποτελέσματα: J3

Παροχή Αιχμής(M3/S)	1174.1
Χρονική στιγμή αιχμής	01Sep2000, 14:15
Όγκος(MM)	148.94

Απορροή



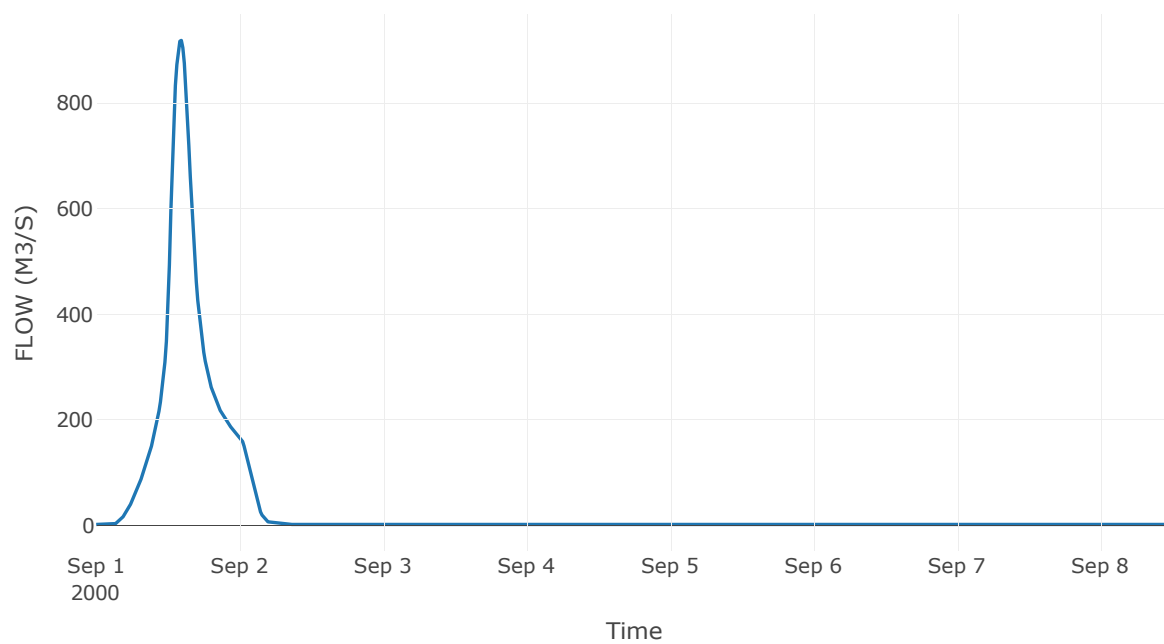
Κόμβος: J4

Κατάντη : R43

Αποτελέσματα: J4

Παροχή Αιχμής(M3/S)	918.96
Χρονική στιγμή αιχμής	01Sep2000, 14:15
Όγκος(MM)	145.8

Απορροή



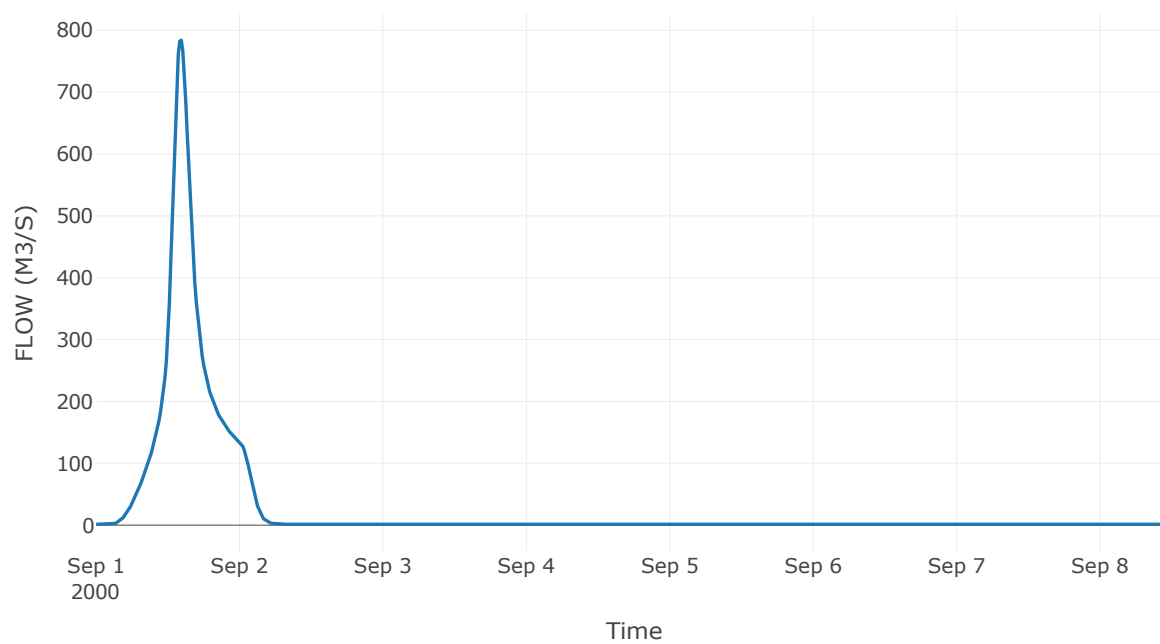
Κόμβος: J5

Κατάντη : R54

Αποτελέσματα: J5

Παροχή Αιχμής(M3/S)	783.92
Χρονική στιγμή αιχμής	01Sep2000, 14:15
Όγκος(MM)	143.22

Απορροή



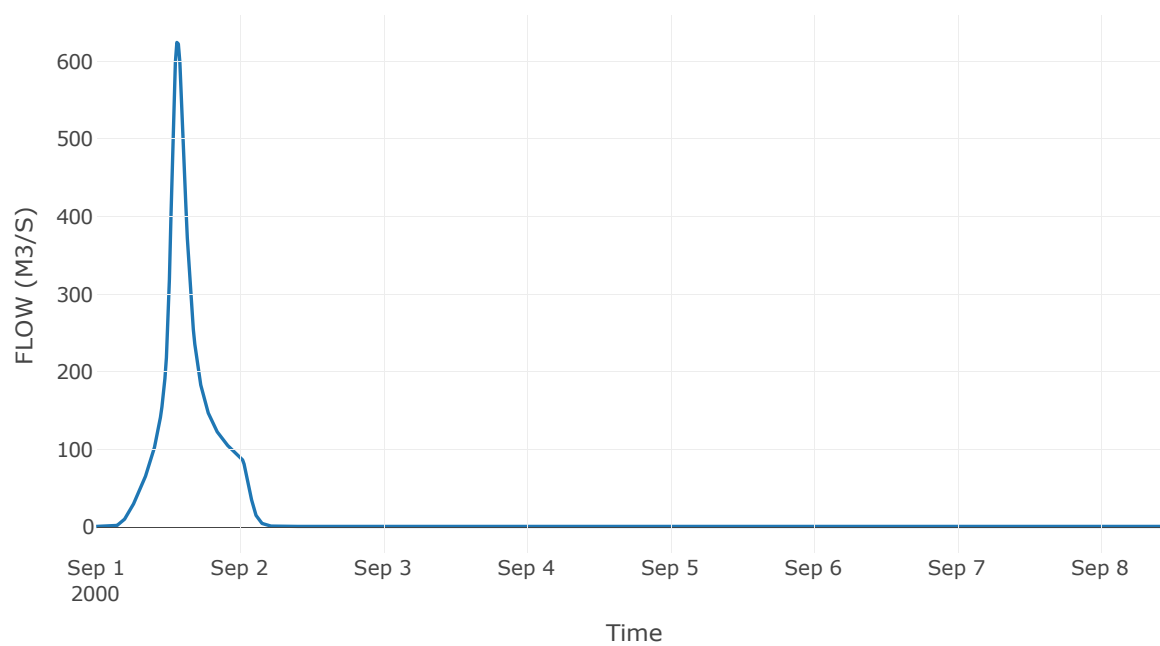
Κόμβος: J6

Κατάντη : R65

Αποτελέσματα: J6

Παροχή Αιχμής(M3/S)	624.36
Χρονική στιγμή αιχμής	01Sep2000, 13:30
Όγκος(MM)	139.83

Απορροή



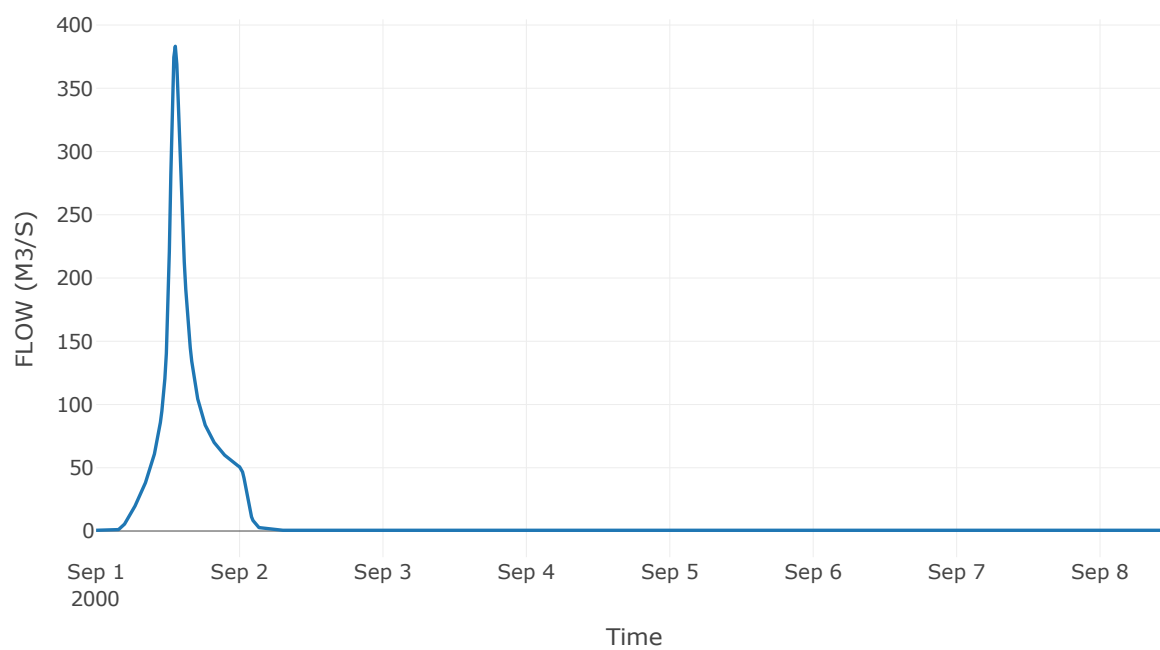
Κόμβος: J7

Κατάντη : R76

Αποτελέσματα: J7

Παροχή Αιχμής(M3/S)	383.21
Χρονική στιγμή αιχμής	01Sep2000, 13:15
Όγκος(MM)	133.92

Απορροή



5 Δεδομένα εισόδου και αποτελέσματα υδρολογικού σεναρίου T=100

5.1 Αποτελέσματα, υετογραφήματα και υδρογραφήματα σχεδιασμού υπολεκανών

Υπολεκάνη: EL0415FR0020001

Έκταση (KM2) : 76.58

Κατάντη : J19

Μέθοδος Απωλειών: SCS

Ποσοστό αδιαπέρατης επιφάνειας	0
Αριθμός Καμπύλης Απορροής-CN	82.85
Αρχικές Απώλειες	10.52

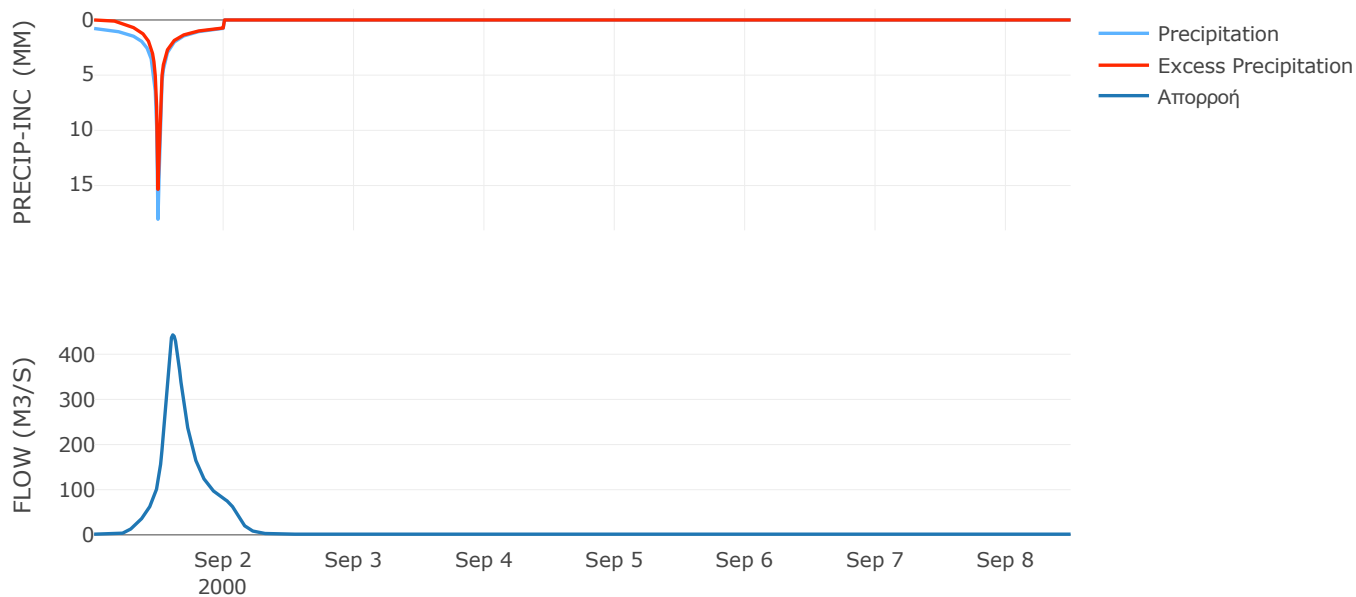
Μέθοδος Μετασχηματισμού:
Scs

Χρόνος Υστέρησης	142.89
------------------	--------

Αποτελέσματα:
EL0415FR0020001

Παροχή αιχμής (M3/S)	442.98
Χρονική στιγμή αιχμής	01Sep2000, 14:30
Όγκος (MM)	157.77
Όγκος βροχόπτωσης (M3)	1.5E7
Όγκος απωλειών (M3)	3.94E6
Ενεργός Όγκος (M3)	1.11E7
Όγκος άμεσης απορροής (M3)	1.11E7
Όγκος βασικής απορροής (M3)	9.92E5

Βροχόπτωση και Απορροή



Υπολεκάνη: EL0415FR0020002

Έκταση (KM2) : 39.41

Κατάντη : J2

Μέθοδος Απωλειών: SCS

Ποσοστό αδιαπέρατης επιφάνειας	0
Αριθμός Καμπύλης Απορροής-CN	80.98
Αρχικές Απώλειες	11.93

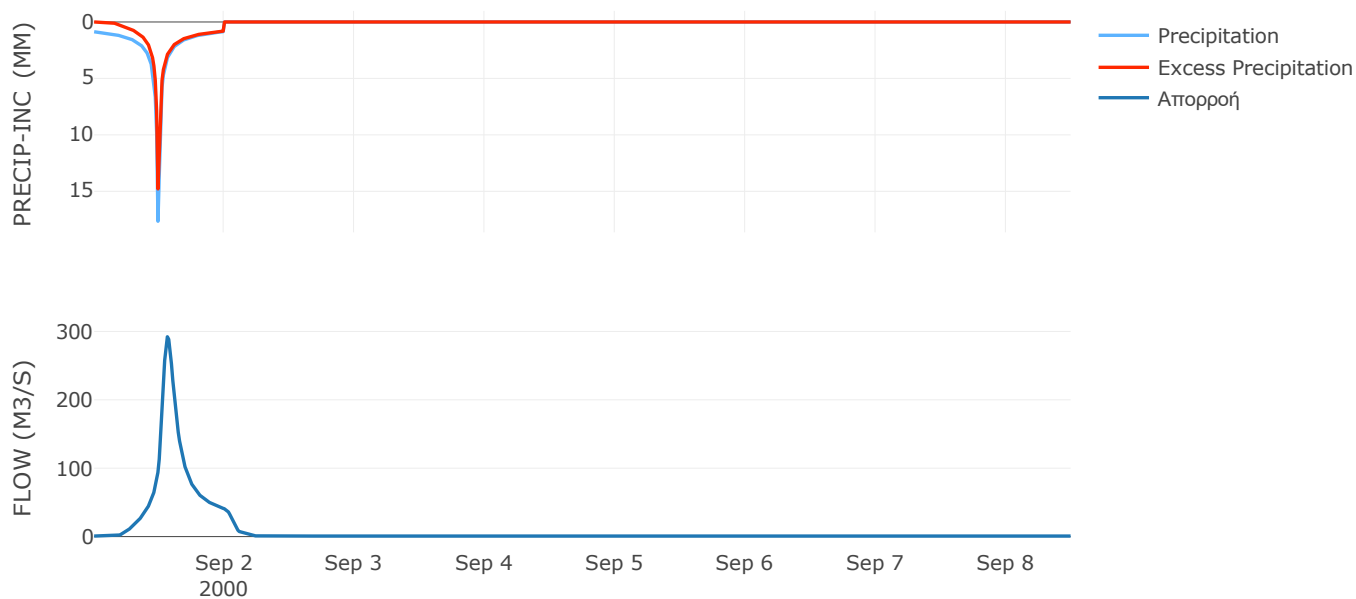
Μέθοδος Μετασχηματισμού:
Scs

Χρόνος Υστέρησης	87.92
------------------	-------

Αποτελέσματα:
EL0415FR0020002

Παροχή αιχμής (M3/S)	292.25
Χρονική στιγμή αιχμής	01Sep2000, 13:30
Όγκος (MM)	164.59
Όγκος βροχόπτωσης (M3)	8.25E6
Όγκος απωλειών (M3)	2.28E6
Ενεργός Όγκος (M3)	5.98E6
Όγκος άμεσης απορροής (M3)	5.98E6
Όγκος βασικής απορροής (M3)	5.11E5

Βροχόπτωση και Απορροή



Υπολεκάνη: EL0415FR0020003

Έκταση (KM2) : 14.18

Κατάντη : J3

Μέθοδος Απωλειών: SCS

Ποσοστό αδιαπέρατης επιφάνειας	0
Αριθμός Καμπύλης Απορροής-CN	80.02
Αρχικές Απώλειες	12.68

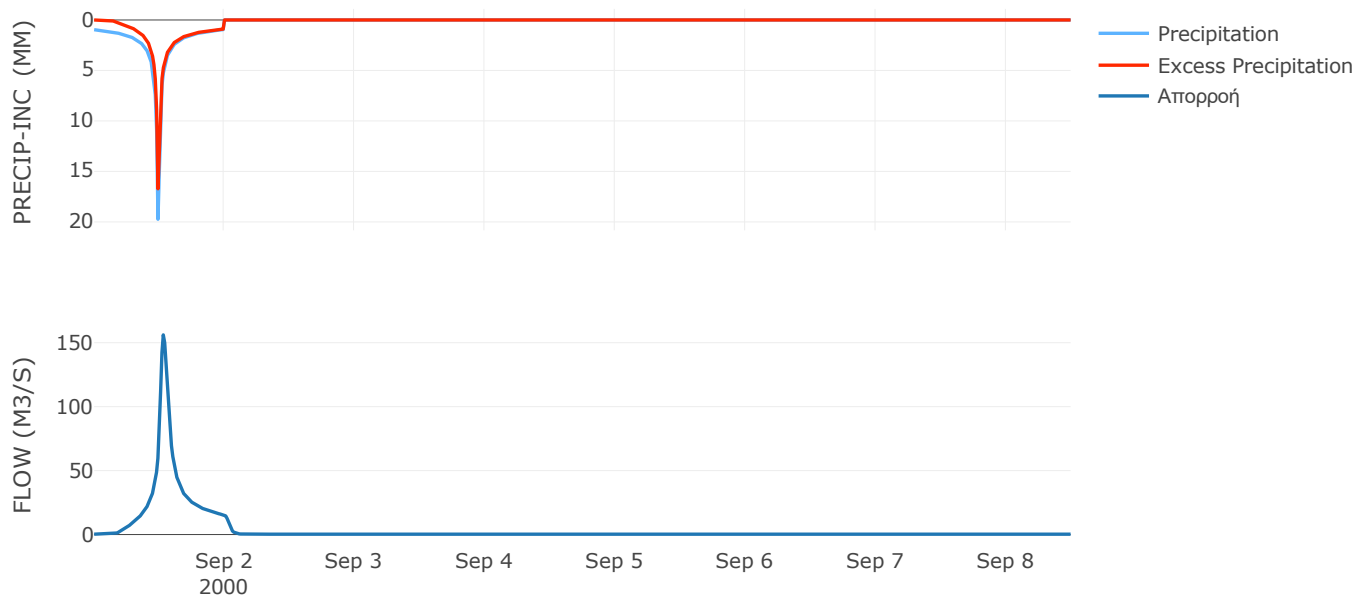
Μέθοδος Μετασχηματισμού:
Scs

Χρόνος Υστέρησης	45.76
------------------	-------

Αποτελέσματα:
EL0415FR0020003

Παροχή αιχμής (M3/S)	156.1
Χρονική στιγμή αιχμής	01Sep2000, 12:45
Όγκος (MM)	183.65
Όγκος βροχόπτωσης (M3)	3.3E6
Όγκος απωλειών (M3)	8.78E5
Ενεργός Όγκος (M3)	2.42E6
Όγκος άμεσης απορροής (M3)	2.42E6
Όγκος βασικής απορροής (M3)	1.84E5

Βροχόπτωση και Απορροή



Υπολεκάνη: EL0415FR0020004

Έκταση (KM2) : 38.04

Κατάντη : J3

Μέθοδος Απωλειών: SCS

Ποσοστό αδιαπέρατης επιφάνειας	0
Αριθμός Καμπύλης Απορροής-CN	75.6
Αρχικές Απώλειες	16.39

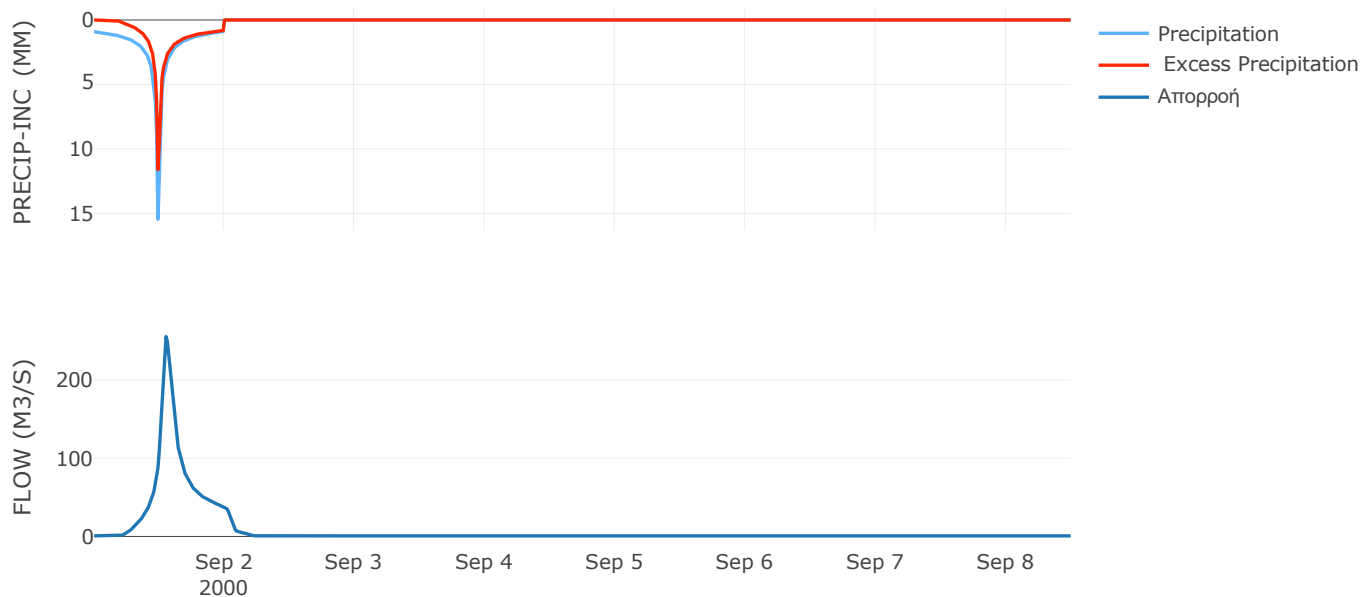
Μέθοδος Μετασχηματισμού:
Scs

Χρόνος Υστέρησης	70.26
------------------	-------

Αποτελέσματα:
EL0415FR0020004

Παροχή αιχμής (M3/S)	255.3
Χρονική στιγμή αιχμής	01Sep2000, 13:15
Όγκος (MM)	144.27
Όγκος βροχόπτωσης (M3)	7.79E6
Όγκος απωλειών (M3)	2.8E6
Ενεργός Όγκος (M3)	4.99E6
Όγκος άμεσης απορροής (M3)	4.99E6
Όγκος βασικής απορροής (M3)	4.93E5

Βροχόπτωση και Απορροή



Υπολεκάνη: EL0415FR0020005

Έκταση (KM2) : 14

Κατάντη : J3

Μέθοδος Απωλειών: SCS

Ποσοστό αδιαπέρατης επιφάνειας	0
Αριθμός Καμπύλης Απορροής-CN	80.06
Αρχικές Απώλειες	12.65

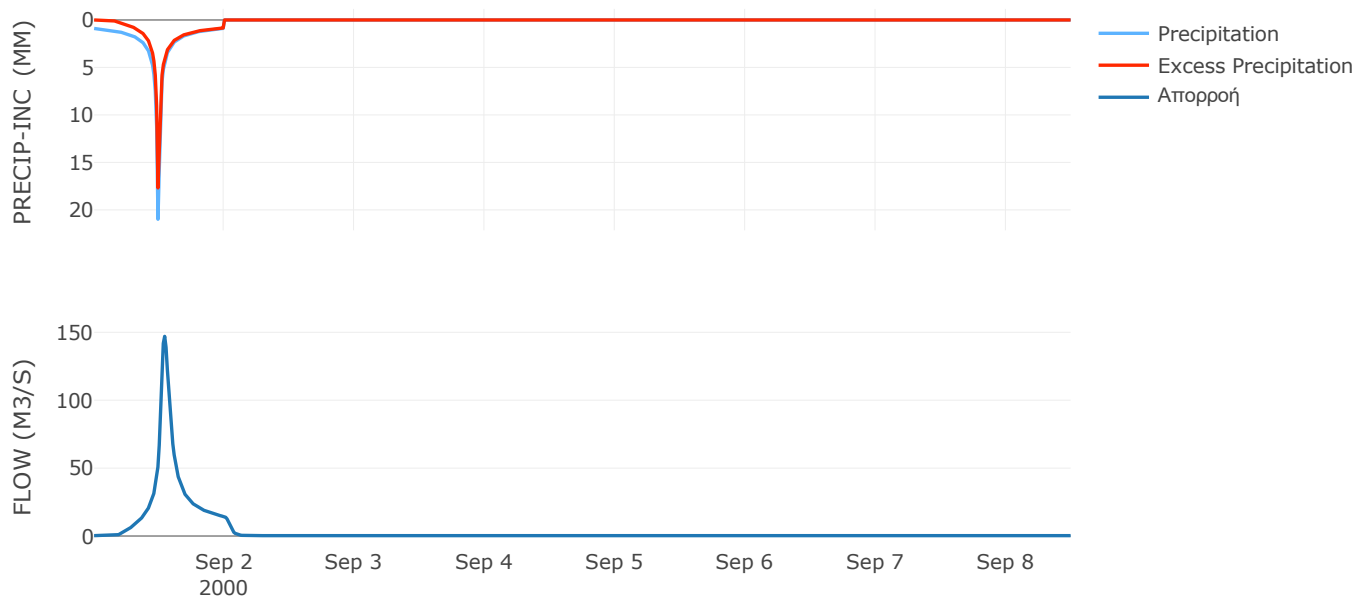
Μέθοδος Μετασχηματισμού:
Scs

Χρόνος Υστέρησης	55.45
------------------	-------

Αποτελέσματα:
EL0415FR0020005

Παροχή αιχμής (M3/S)	147.05
Χρονική στιγμή αιχμής	01Sep2000, 13:00
Όγκος (MM)	179.51
Όγκος βροχόπτωσης (M3)	3.19E6
Όγκος απωλειών (M3)	8.62E5
Ενεργός Όγκος (M3)	2.33E6
Όγκος άμεσης απορροής (M3)	2.33E6
Όγκος βασικής απορροής (M3)	1.81E5

Βροχόπτωση και Απορροή



Υπολεκάνη: EL0415FR0020006

Έκταση (KM2) : 32.61

Κατάντη : J4

Μέθοδος Απωλειών: SCS

Ποσοστό αδιαπέρατης επιφάνειας	0
Αριθμός Καμπύλης Απορροής-CN	72.74
Αρχικές Απώλειες	19.03

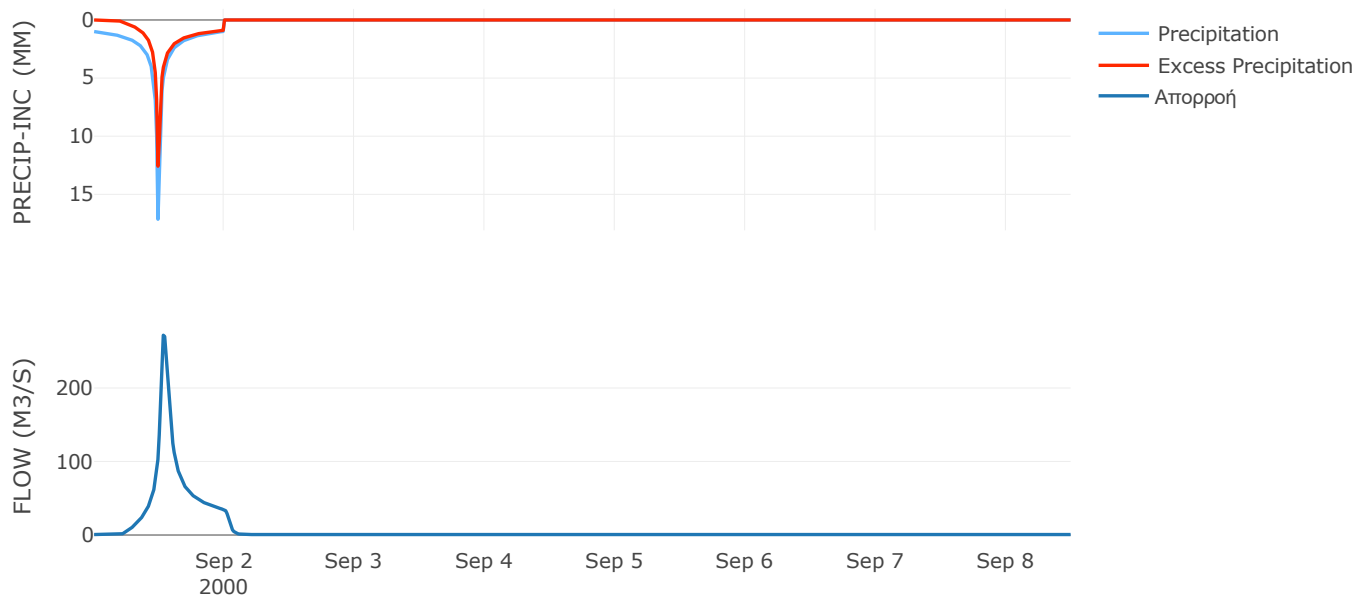
Μέθοδος Μετασχηματισμού:
Scs

Χρόνος Υστέρησης	48.23
------------------	-------

Αποτελέσματα:
EL0415FR0020006

Παροχή αιχμής (M3/S)	271.76
Χρονική στιγμή αιχμής	01Sep2000, 12:45
Όγκος (MM)	154.15
Όγκος βροχόπτωσης (M3)	7.35E6
Όγκος απωλειών (M3)	2.74E6
Ενεργός Όγκος (M3)	4.6E6
Όγκος άμεσης απορροής (M3)	4.6E6
Όγκος βασικής απορροής (M3)	4.23E5

Βροχόπτωση και Απορροή



Υπολεκάνη: EL0415FR0020007

Έκταση (KM2) : 37.84

Κατάντη : J5

Μέθοδος Απωλειών: SCS

Ποσοστό αδιαπέρατης επιφάνειας	0
Αριθμός Καμπύλης Απορροής-CN	74.98
Αρχικές Απώλειες	16.95

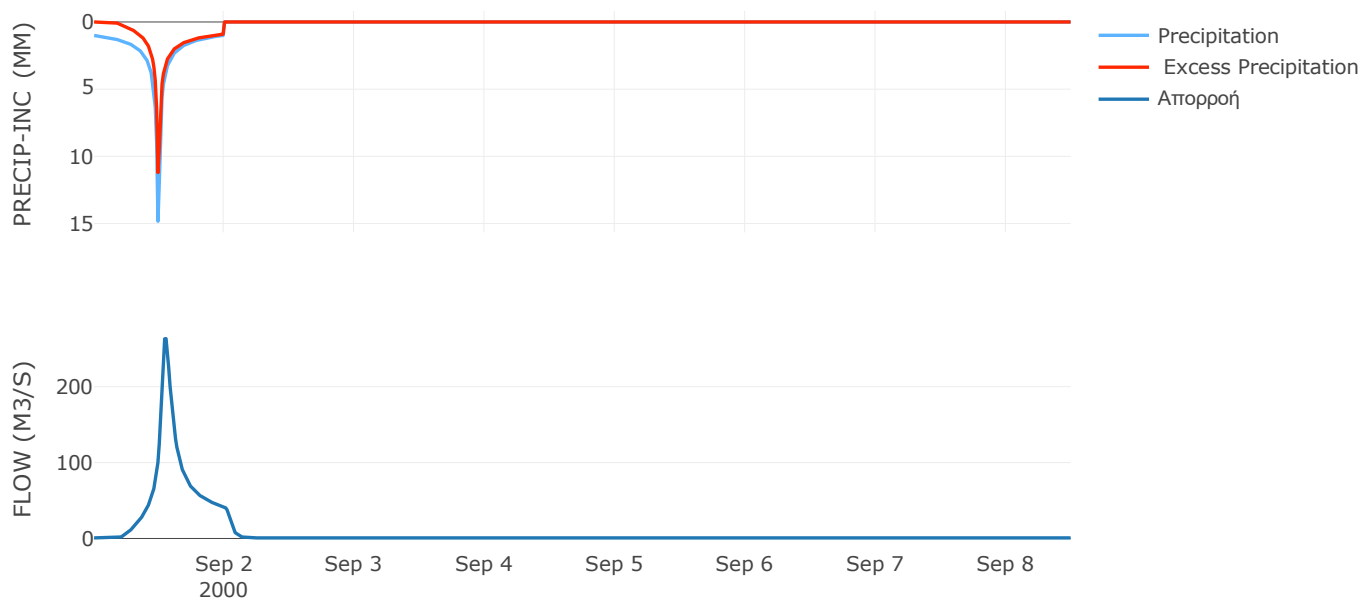
Μέθοδος Μετασχηματισμού:
Scs

Χρόνος Υστέρησης	62.98
------------------	-------

Αποτελέσματα:
EL0415FR0020007

Παροχή αιχμής (M3/S)	263.31
Χρονική στιγμή αιχμής	01Sep2000, 13:15
Όγκος (MM)	151.73
Όγκος βροχόπτωσης (M3)	8.14E6
Όγκος απωλειών (M3)	2.89E6
Ενεργός Όγκος (M3)	5.25E6
Όγκος άμεσης απορροής (M3)	5.25E6
Όγκος βασικής απορροής (M3)	4.9E5

Βροχόπτωση και Απορροή



Υπολεκάνη: EL0415FR0020008

Έκταση (KM2) : 42.76

Κατάντη : J6

Μέθοδος Απωλειών: SCS

Ποσοστό αδιαπέρατης επιφάνειας	0
Αριθμός Καμπύλης Απορροής-CN	74.13
Αρχικές Απώλειες	17.72

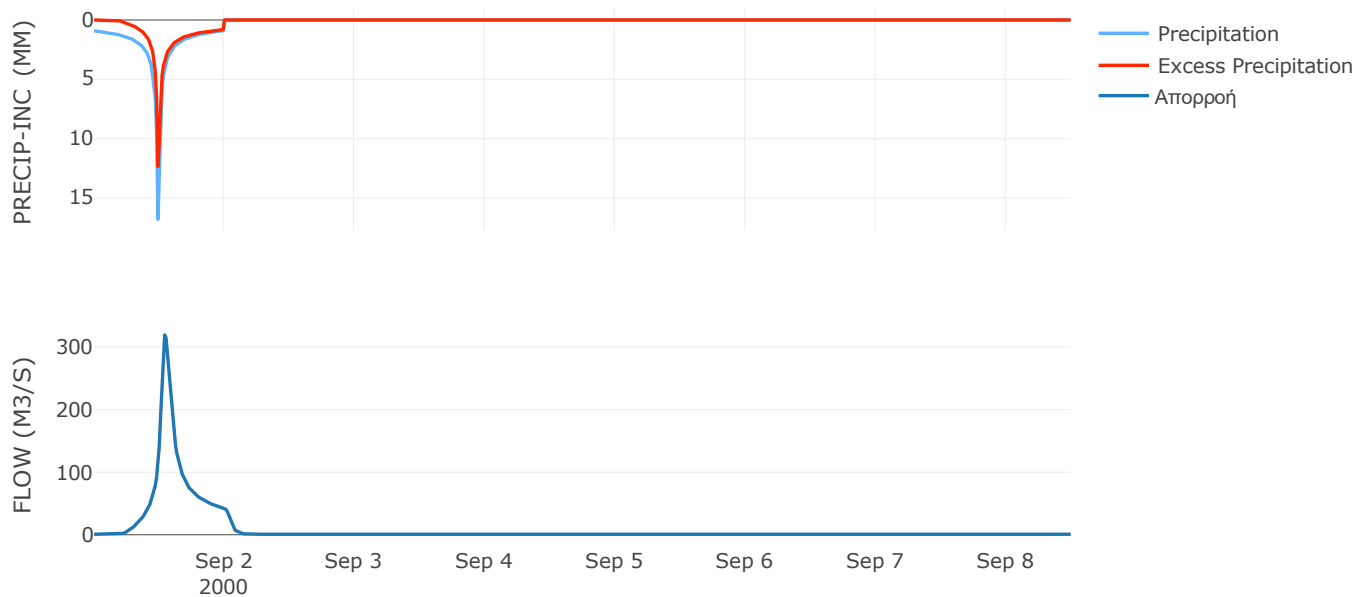
Μέθοδος Μετασχηματισμού:
Scs

Χρόνος Υστέρησης	60.1
------------------	------

Αποτελέσματα:
EL0415FR0020008

Παροχή αιχμής (M3/S)	319.3
Χρονική στιγμή αιχμής	01Sep2000, 13:00
Όγκος (MM)	145.98
Όγκος βροχόπτωσης (M3)	9.05E6
Όγκος απωλειών (M3)	3.36E6
Ενεργός Όγκος (M3)	5.69E6
Όγκος άμεσης απορροής (M3)	5.69E6
Όγκος βασικής απορροής (M3)	5.54E5

Βροχόπτωση και Απορροή



Υπολεκάνη: EL0415FR0020009

Έκταση (KM2) : 58.35

Κατάντη : J7

Μέθοδος Απωλειών: SCS

Ποσοστό αδιαπέρατης επιφάνειας	0
Αριθμός Καμπύλης Απορροής-CN	70.13
Αρχικές Απώλειες	21.63

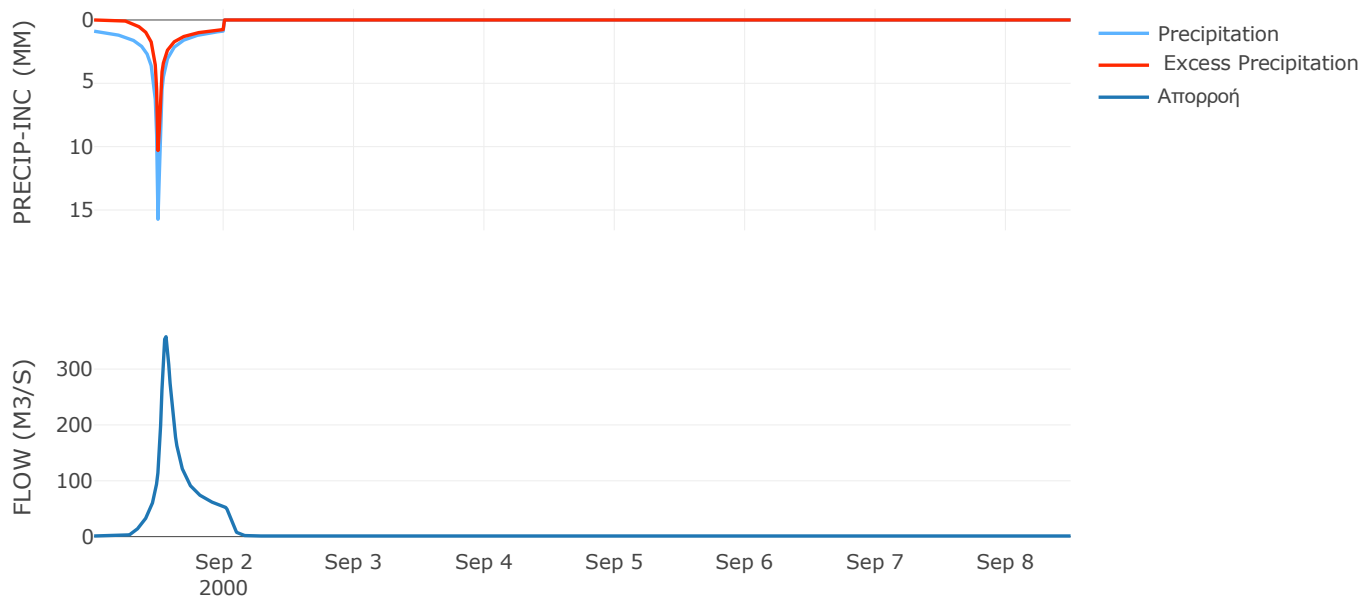
Μέθοδος Μετασχηματισμού:
Scs

Χρόνος Υστέρησης	63.79
------------------	-------

Αποτελέσματα:
EL0415FR0020009

Παροχή αιχμής (M3/S)	358.02
Χρονική στιγμή αιχμής	01Sep2000, 13:15
Όγκος (MM)	126.67
Όγκος βροχόπτωσης (M3)	1.19E7
Όγκος απωλειών (M3)	5.22E6
Ενεργός Όγκος (M3)	6.64E6
Όγκος άμεσης απορροής (M3)	6.64E6
Όγκος βασικής απορροής (M3)	7.56E5

Βροχόπτωση και Απορροή



5.2 Δεδομένα και υδρογραφήματα σχεδιασμού Κλάδων υδρογραφικού δικτύου

Κλάδος: R219

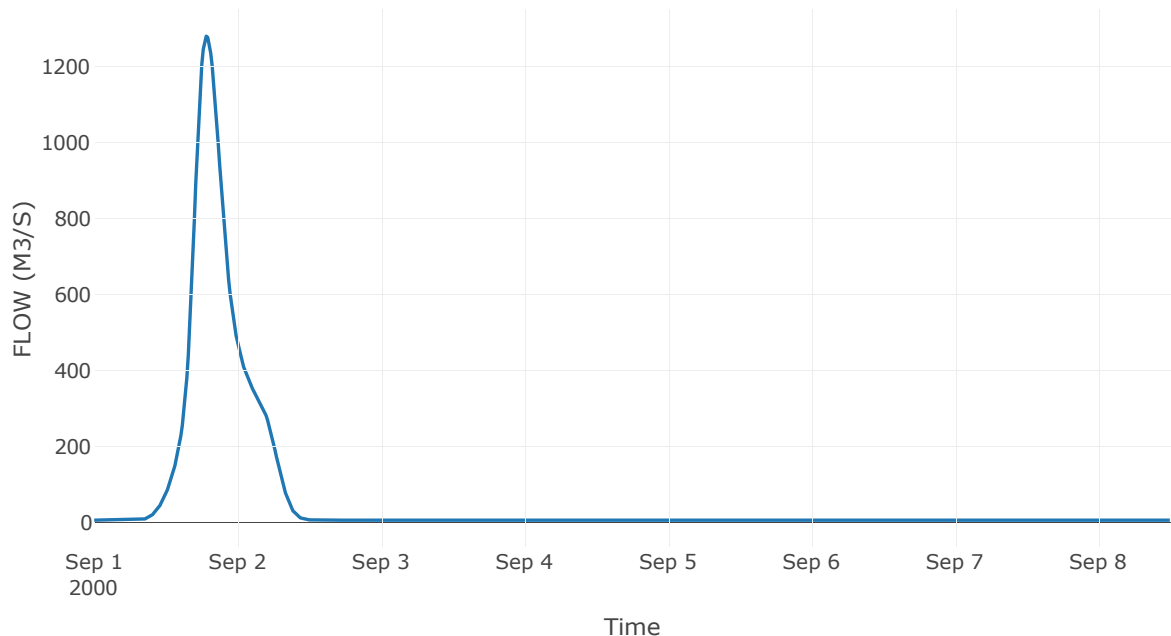
Κατάντη : J19

Μέθοδος Διόδευσης	Muskingum
Αρχική Μεταβλητή	Combined Inflow
Χρόνος Ροής Κ	3.86
Συντελεστής βάρους α	0.2
Πλήθος Υποκλάδων	15

Αποτελέσματα: R219

Παροχή Αιχμής(M3/S)	1280
Χρονική στιγμή αιχμής	01Sep2000, 18:45
Όγκος(MM)	149.69
Παροχή Αιχμής Εισόδου (M3/S)	1345.16
Όγκος Εισροής(M3)	4.15E7

Απορροή



Κλάδος: R32

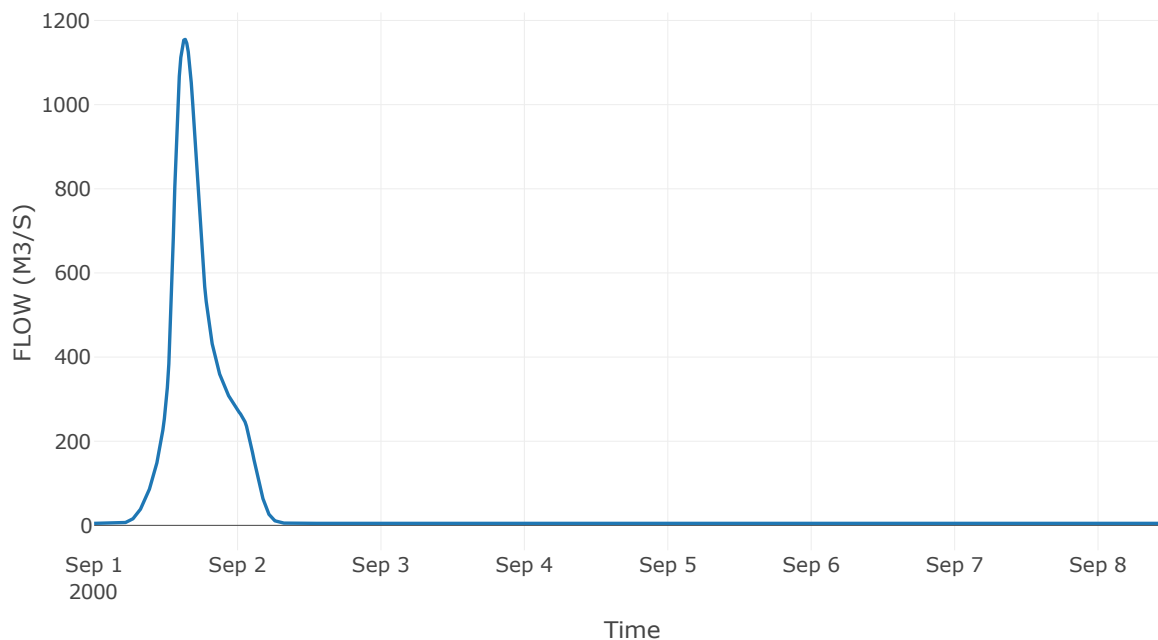
Κατάντη : J2

Μέθοδος Διόδευσης	Muskingum
Αρχική Μεταβλητή	Combined Inflow
Χρόνος Ροής K	0.87
Συντελεστής βάρους x	0.2
Πλήθος Υποκλάδων	3

Αποτελέσματα: R32

Παροχή Αιχμής(M3/S)	1155.17
Χρονική στιγμή αιχμής	01Sep2000, 15:15
Όγκος(MM)	147.22
Παροχή Αιχμής Εισόδου (M3/S)	1168.85
Όγκος Εισροής(M3)	3.5E7

Απορροή



Κλάδος: R43

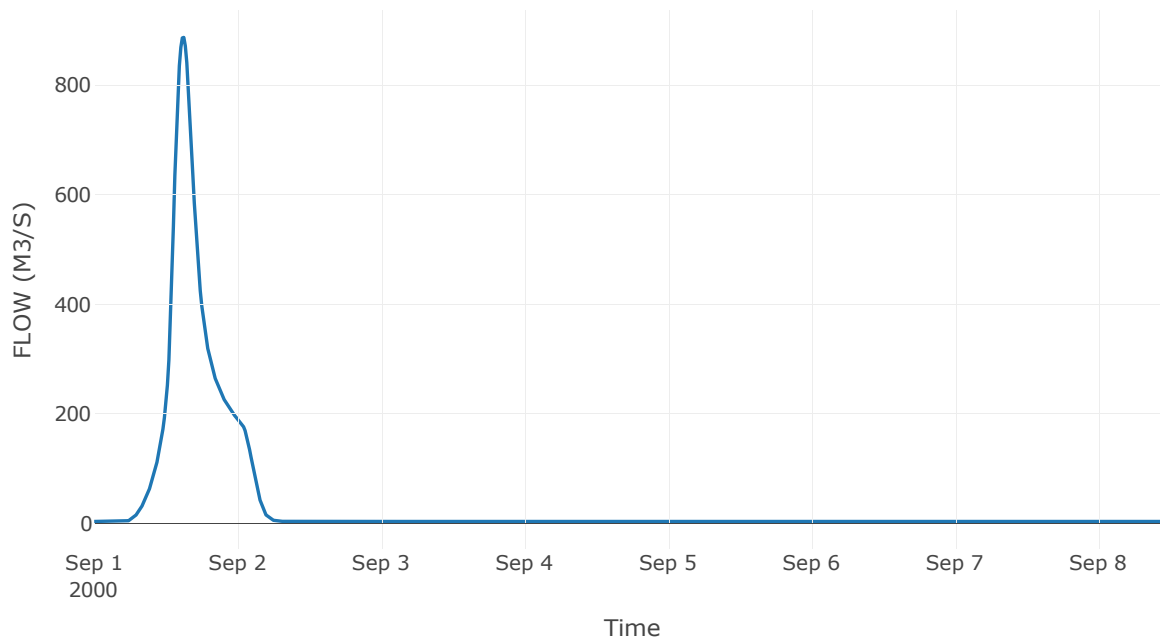
Κατάντη : J3

Μέθοδος Διόδευσης	Muskingum
Αρχική Μεταβλητή	Combined Inflow
Χρόνος Ροής K	0.83
Συντελεστής βάρους x	0.2
Πλήθος Υποκλάδων	3

Αποτελέσματα: R43

Παροχή Αιχμής(M3/S)	887.23
Χρονική στιγμή αιχμής	01Sep2000, 15:00
Όγκος(MM)	142.23
Παροχή Αιχμής Εισόδου (M3/S)	906.77
Όγκος Εισροής(M3)	2.44E7

Απορροή



Κλάδος: R54

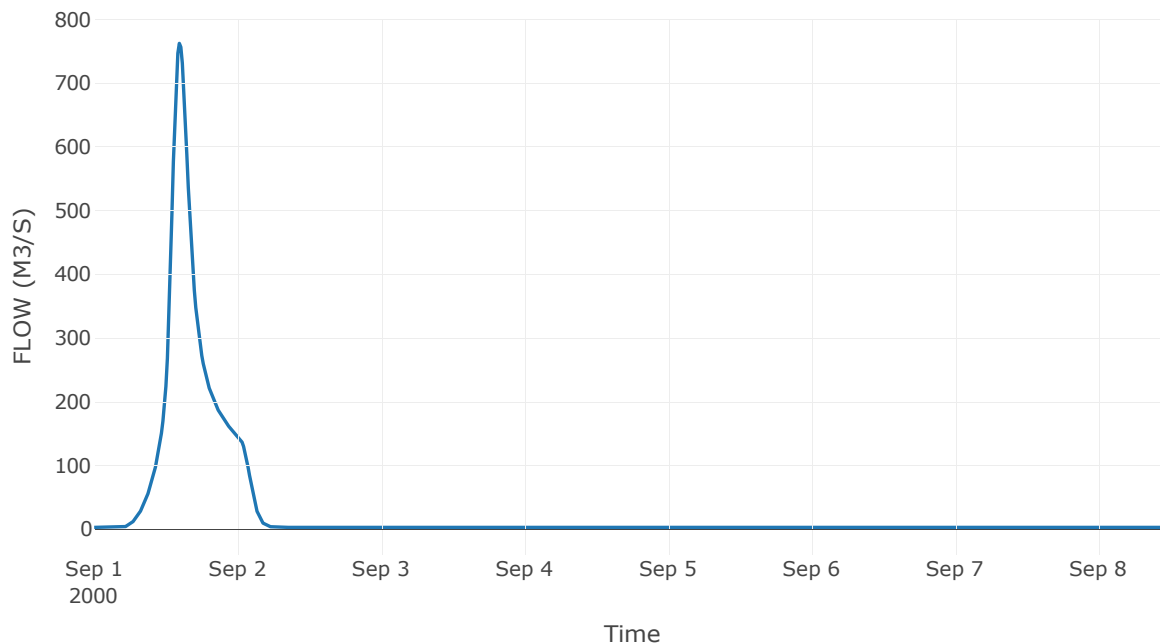
Κατάντη : J4

Μέθοδος Διόδευσης	Muskingum
Αρχική Μεταβλητή	Combined Inflow
Χρόνος Ροής K	0.26
Συντελεστής βάρους x	0.2
Πλήθος Υποκλάδων	1

Αποτελέσματα: R54

Παροχή Αιχμής(M3/S)	762.06
Χρονική στιγμή αιχμής	01Sep2000, 14:15
Όγκος(MM)	139.44
Παροχή Αιχμής Εισόδου (M3/S)	768.94
Όγκος Εισροής(M3)	1.94E7

Απορροή



Κλάδος: R65

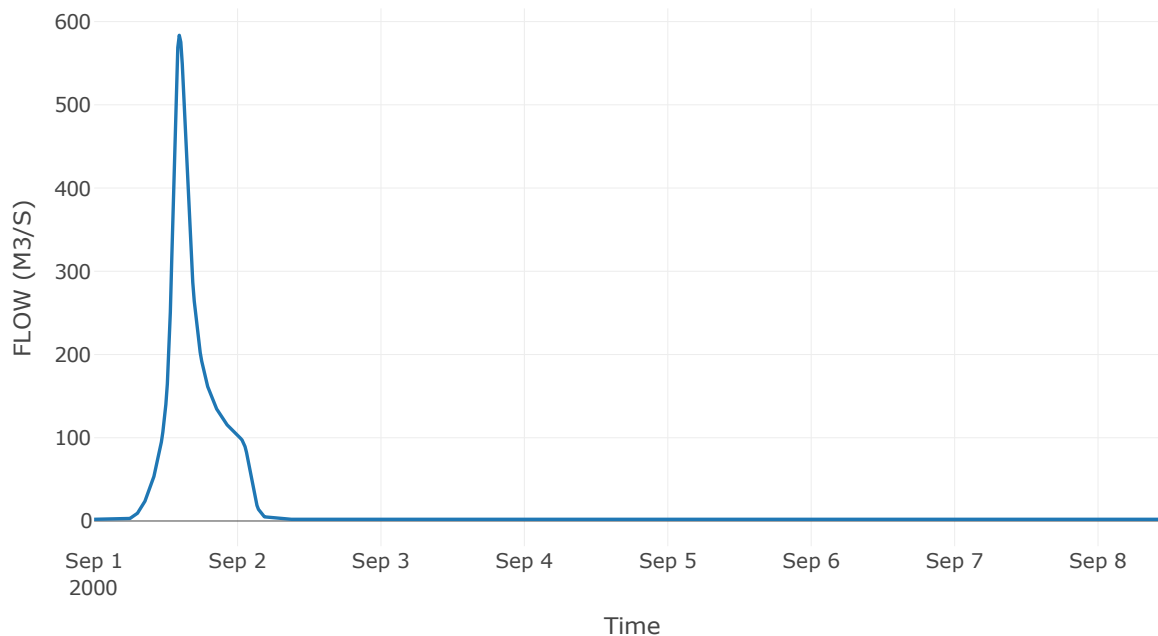
Κατάντη : J5

Μέθοδος Διόδευσης	Muskingum
Αρχική Μεταβλητή	Combined Inflow
Χρόνος Ροής K	0.71
Συντελεστής βάρους x	0.2
Πλήθος Υποκλάδων	3

Αποτελέσματα: R65

Παροχή Αιχμής(M3/S)	583.57
Χρονική στιγμή αιχμής	01Sep2000, 14:15
Όγκος(MM)	134.84
Παροχή Αιχμής Εισόδου (M3/S)	603.86
Όγκος Εισροής(M3)	1.36E7

Απορροή



Κλάδος: R76

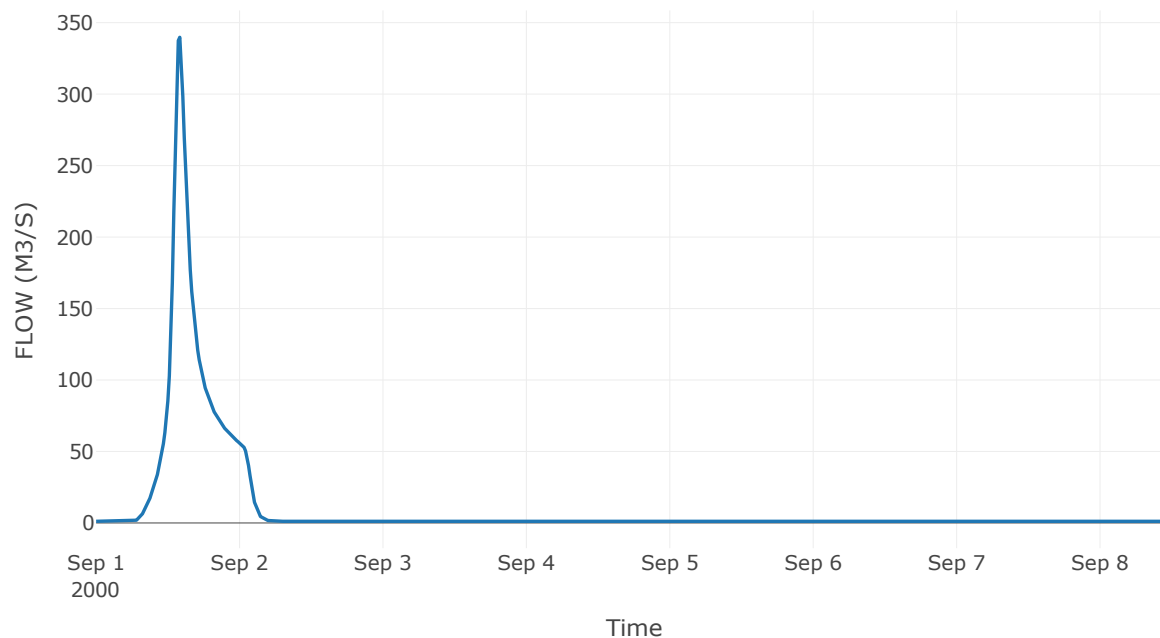
Κατάντη : J6

Μέθοδος Διόδευσης	Muskingum
Αρχική Μεταβλητή	Combined Inflow
Χρόνος Ροής K	0.7
Συντελεστής βάρους x	0.2
Πλήθος Υποκλάδων	3

Αποτελέσματα: R76

Παροχή Αιχμής(M3/S)	339.76
Χρονική στιγμή αιχμής	01Sep2000, 14:00
Όγκος(MM)	126.67
Παροχή Αιχμής Εισόδου (M3/S)	358.02
Όγκος Εισροής(M3)	7.39E6

Απορροή



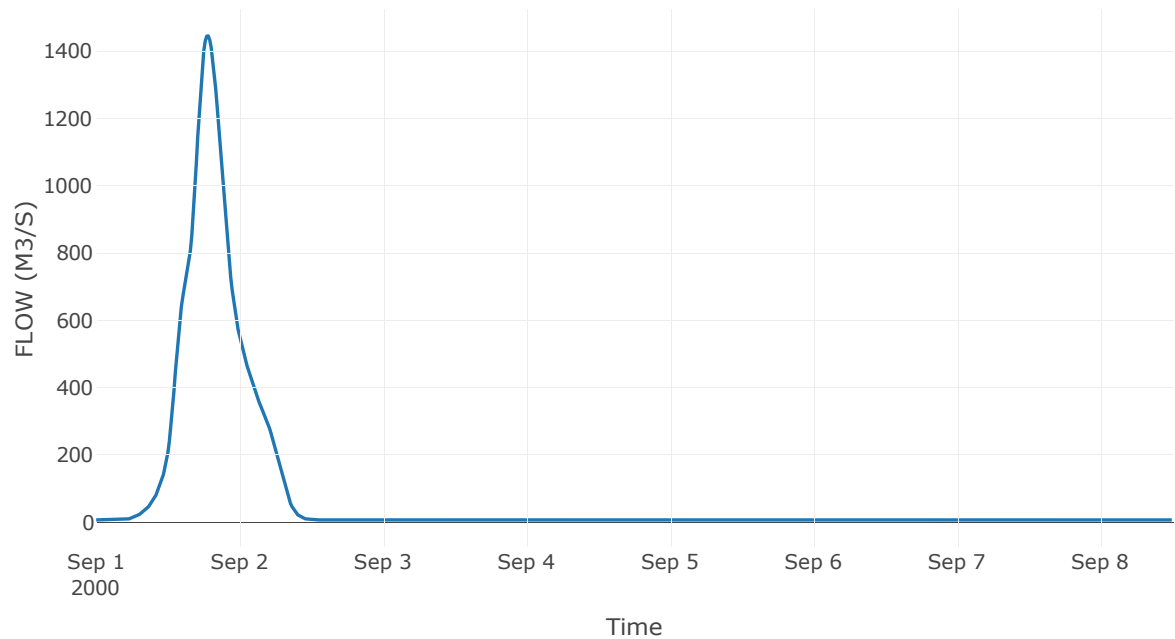
5.3 Δεδομένα και υδρογραφήματα σχεδιασμού Κόμβων υδρογραφικού δικτύου

Κόμβος εξόδου: J19

Αποτελέσματ
α: J19

Παροχή αιχμής (M3/S)	1444.71
Χρονική στιγμή αιχμής	01Sep2000, 18:45
Όγκος (MM)	151.44

Απορροή



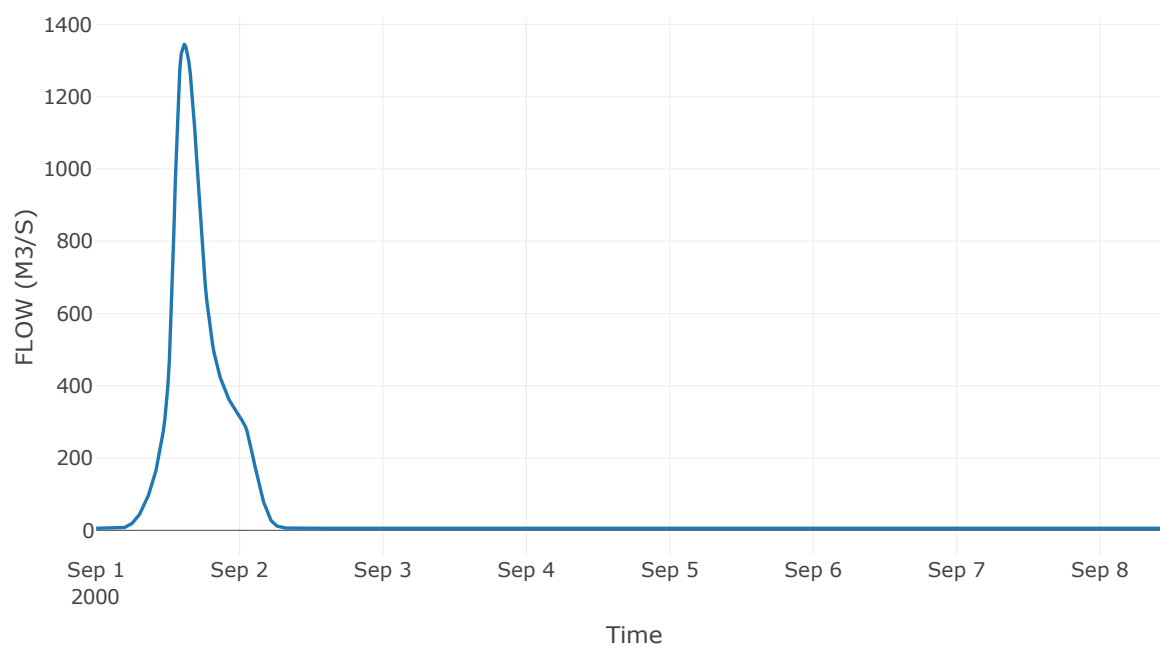
Κόμβος: J2

Κατάντη : R219

Αποτελέσματα: J2

Παροχή Αιχμής(M3/S)	1345.16
Χρονική στιγμή αιχμής	01Sep2000, 14:45
Όγκος(MM)	149.69

Απορροή



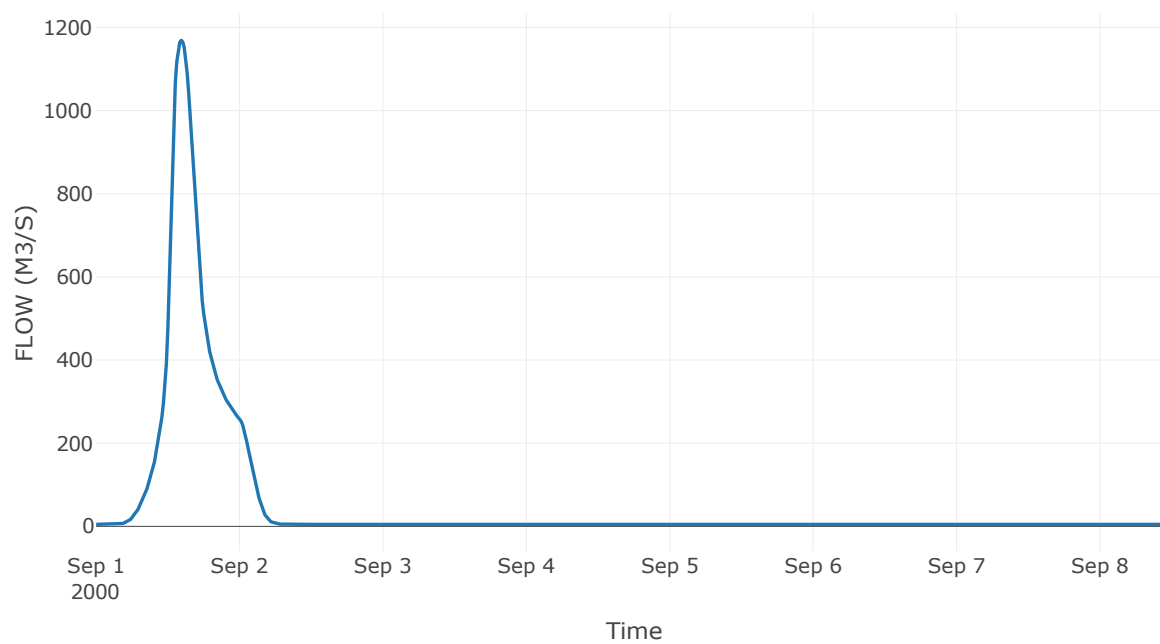
Κόμβος: J3

Κατάντη : R32

Αποτελέσματα: J3

Παροχή Αιχμής(M3/S)	1168.85
Χρονική στιγμή αιχμής	01Sep2000, 14:15
Όγκος(MM)	147.22

Απορροή



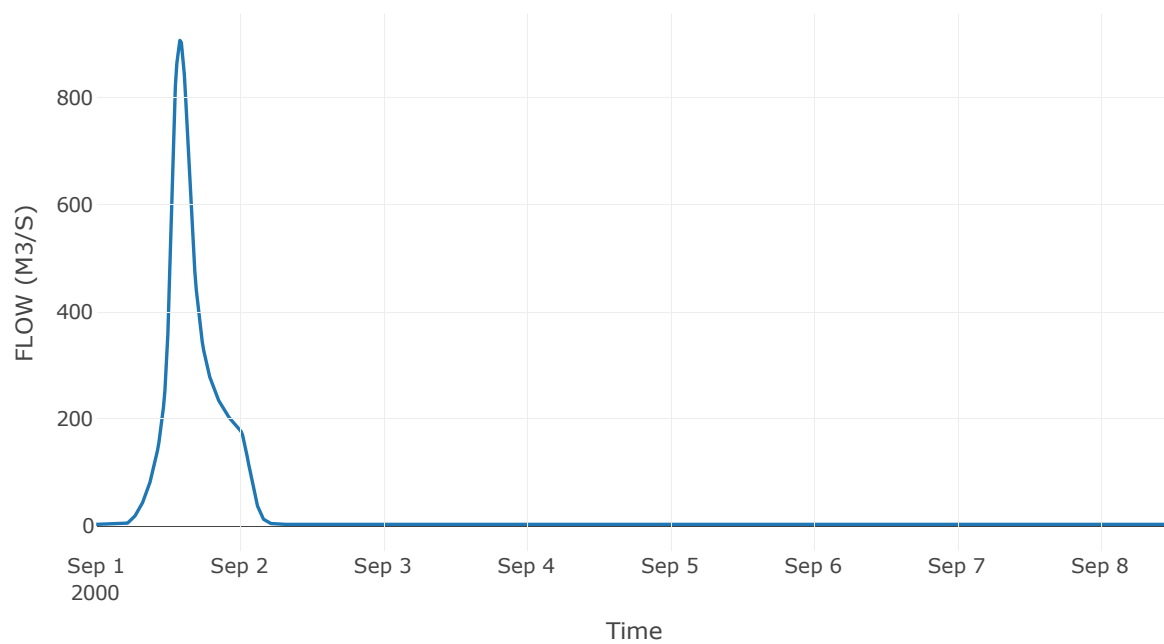
Κόμβος: J4

Κατάντη : R43

Αποτελέσματα: J4

Παροχή Αιχμής(M3/S)	906.77
Χρονική στιγμή αιχμής	01Sep2000, 14:00
Όγκος(MM)	142.23

Απορροή



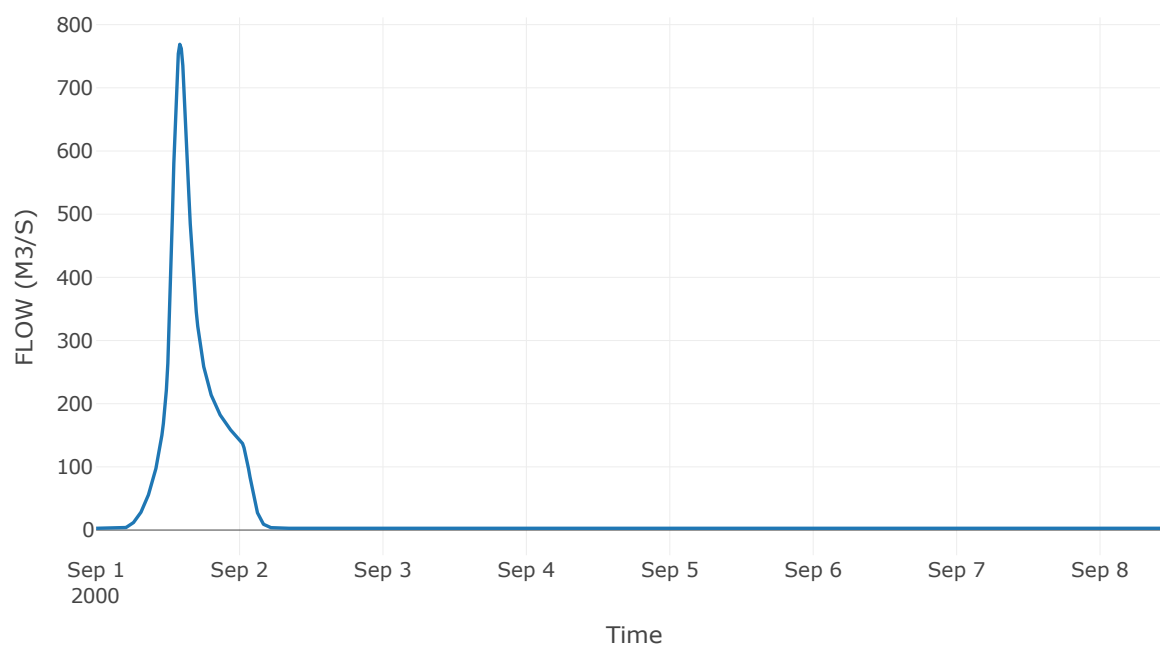
Κόμβος: J5

Κατάντη : R54

Αποτελέσματα: J5

Παροχή Αιχμής(M3/S)	768.94
Χρονική στιγμή αιχμής	01Sep2000, 14:00
Όγκος(MM)	139.44

Απορροή



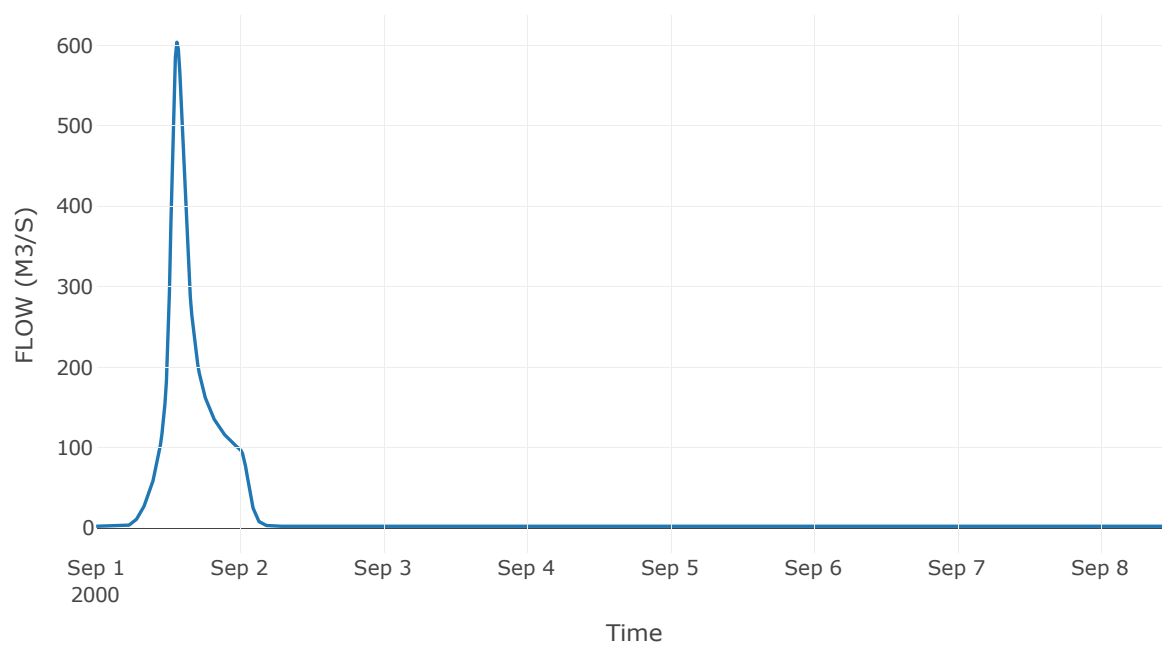
Κόμβος: J6

Κατάντη : R65

Αποτελέσματα: J6

Παροχή Αιχμής(M3/S)	603.86
Χρονική στιγμή αιχμής	01Sep2000, 13:30
Όγκος(MM)	134.84

Απορροή



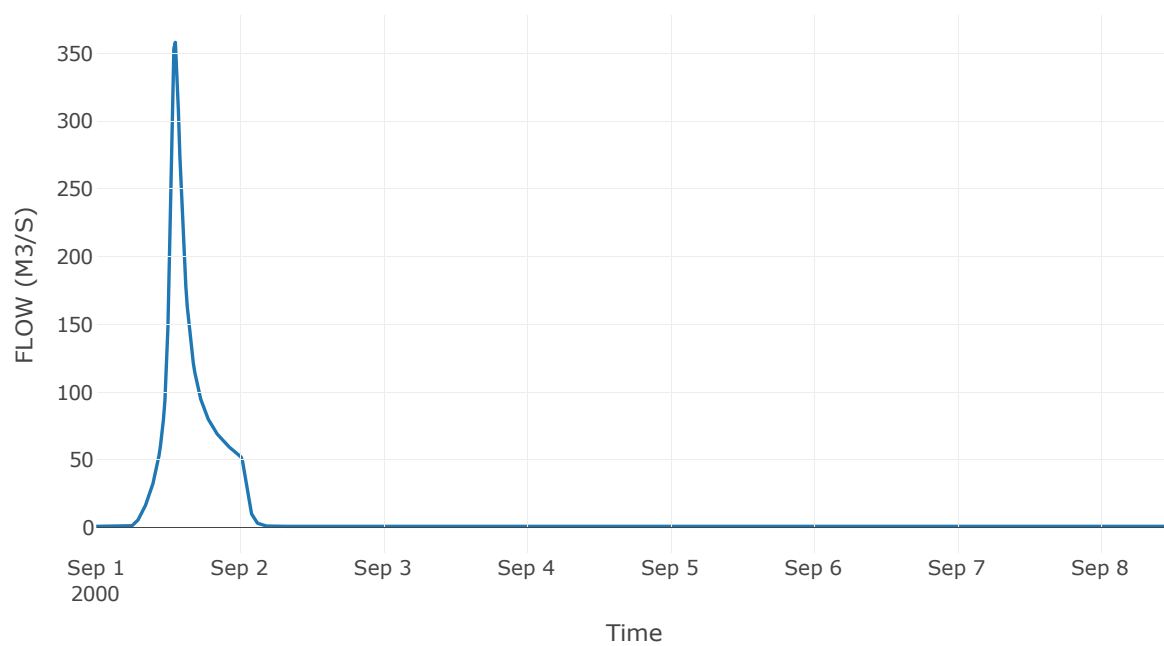
Κόμβος: J7

Κατάντη : R76

Αποτελέσματα: J7

Παροχή Αιχμής(M3/S)	358.02
Χρονική στιγμή αιχμής	01Sep2000, 13:15
Όγκος(MM)	126.67

Απορροή



6 Δεδομένα εισόδου και αποτελέσματα υδρολογικού σεναρίου T=100L

6.1 Αποτελέσματα, υετογραφήματα και υδρογραφήματα σχεδιασμού υπολεκανών

Υπολεκάνη: EL0415FR0020001

Έκταση (KM2) : 76.58

Κατάντη : J19

Μέθοδος Απωλειών: SCS

Ποσοστό αδιαπέρατης επιφάνειας	0
Αριθμός Καμπύλης Απορροής-CN	66.98
Αρχικές Απώλειες	25.05

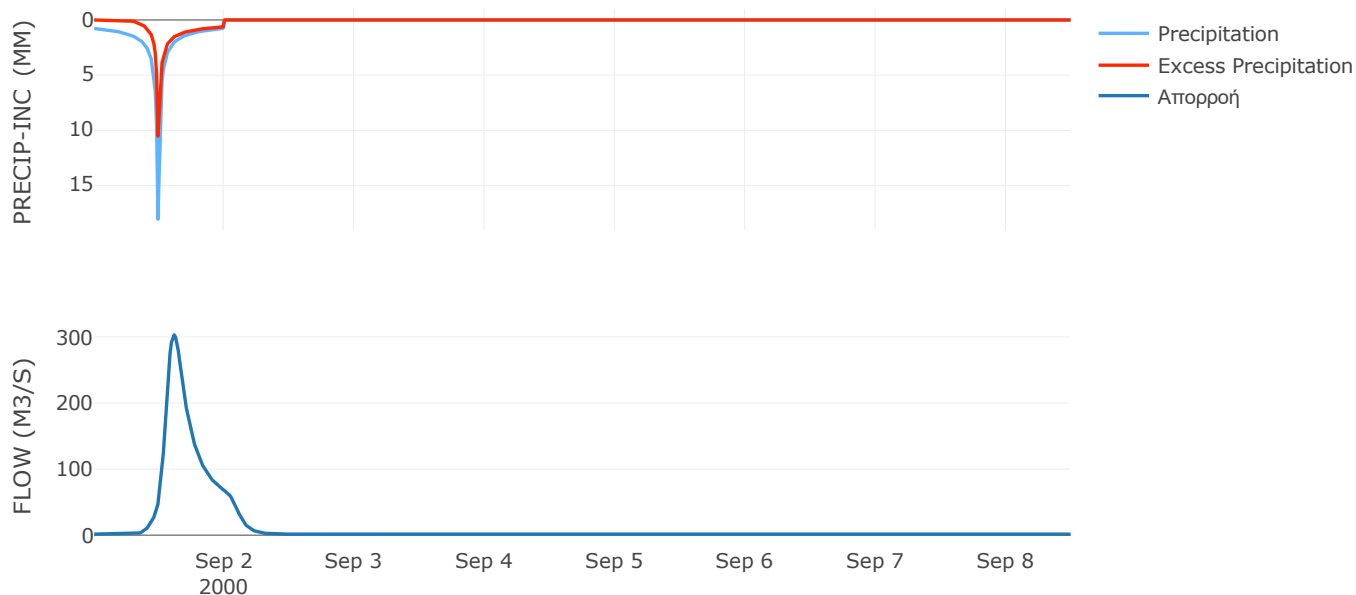
Μέθοδος Μετασχηματισμού:
Scs

Χρόνος Υστέρησης	142.89
------------------	--------

Αποτελέσματα:
EL0415FR0020001

Παροχή αιχμής (M3/S)	303.16
Χρονική στιγμή αιχμής	01Sep2000, 14:45
Όγκος (MM)	111.9
Όγκος βροχόπτωσης (M3)	1.5E7
Όγκος απωλειών (M3)	7.46E6
Ενεργός Όγκος (M3)	7.58E6
Όγκος άμεσης απορροής (M3)	7.58E6
Όγκος βασικής απορροής (M3)	9.92E5

Βροχόπτωση και Απορροή



Υπολεκάνη: EL0415FR0020002

Έκταση (KM2) : 39.41

Κατάντη : J2

Μέθοδος Απωλειών: SCS

Ποσοστό αδιαπέρατης επιφάνειας	0
Αριθμός Καμπύλης Απορροής-CN	64.14
Αρχικές Απώλειες	28.4

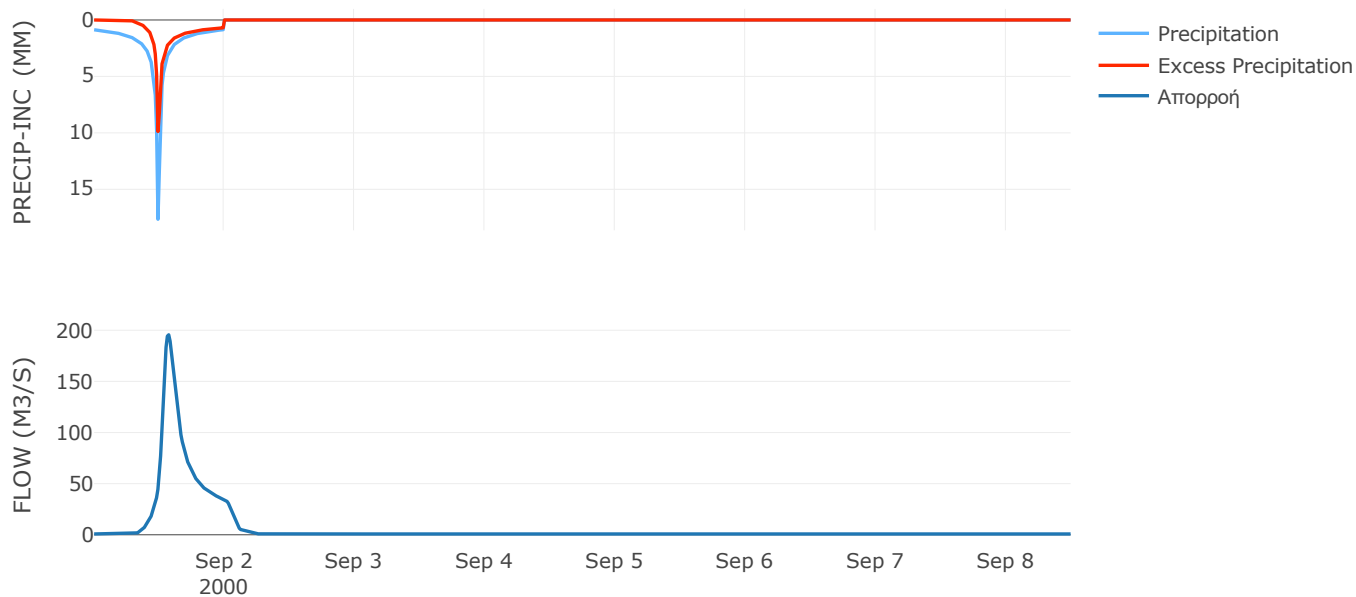
Μέθοδος Μετασχηματισμού:
Scs

Χρόνος Υστέρησης	87.92
------------------	-------

Αποτελέσματα:
EL0415FR0020002

Παροχή αιχμής (M3/S)	195.57
Χρονική στιγμή αιχμής	01Sep2000, 13:45
Όγκος (MM)	114.36
Όγκος βροχόπτωσης (M3)	8.25E6
Όγκος απωλειών (M3)	4.26E6
Ενεργός Όγκος (M3)	4E6
Όγκος άμεσης απορροής (M3)	4E6
Όγκος βασικής απορροής (M3)	5.11E5

Βροχόπτωση και Απορροή



Υπολεκάνη: EL0415FR0020003

Έκταση (KM2) : 14.18

Κατάντη : J3

Μέθοδος Απωλειών: SCS

Ποσοστό αδιαπέρατης επιφάνειας	0
Αριθμός Καμπύλης Απορροής-CN	62.72
Αρχικές Απώλειες	30.19

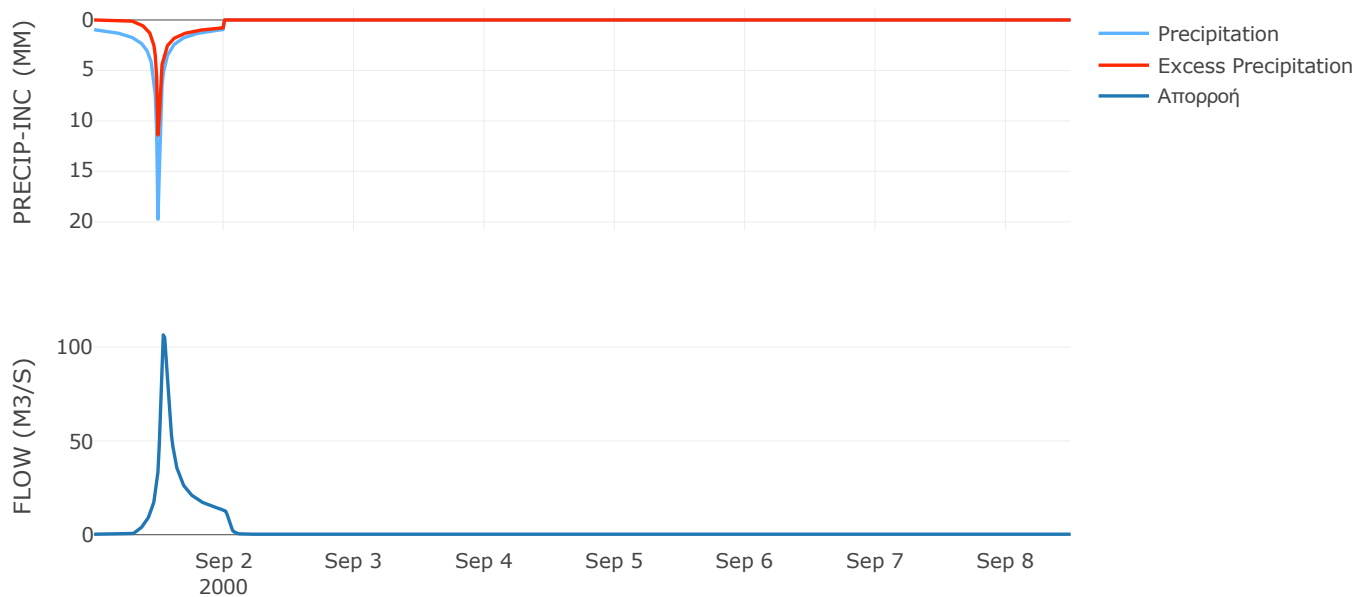
Μέθοδος Μετασχηματισμού:
Scs

Χρόνος Υστέρησης	45.76
------------------	-------

Αποτελέσματα:
EL0415FR0020003

Παροχή αιχμής (M3/S)	106.49
Χρονική στιγμή αιχμής	01Sep2000, 12:45
Όγκος (MM)	128.89
Όγκος βροχόπτωσης (M3)	3.3E6
Όγκος απωλειών (M3)	1.65E6
Ενεργός Όγκος (M3)	1.64E6
Όγκος άμεσης απορροής (M3)	1.64E6
Όγκος βασικής απορροής (M3)	1.84E5

Βροχόπτωση και Απορροή



Υπολεκάνη: EL0415FR0020004

Έκταση (KM2) : 38.04

Κατάντη : J3

Μέθοδος Απωλειών: SCS

Ποσοστό αδιαπέρατης επιφάνειας	0
Αριθμός Καμπύλης Απορροής-CN	56.55
Αρχικές Απώλειες	39.03

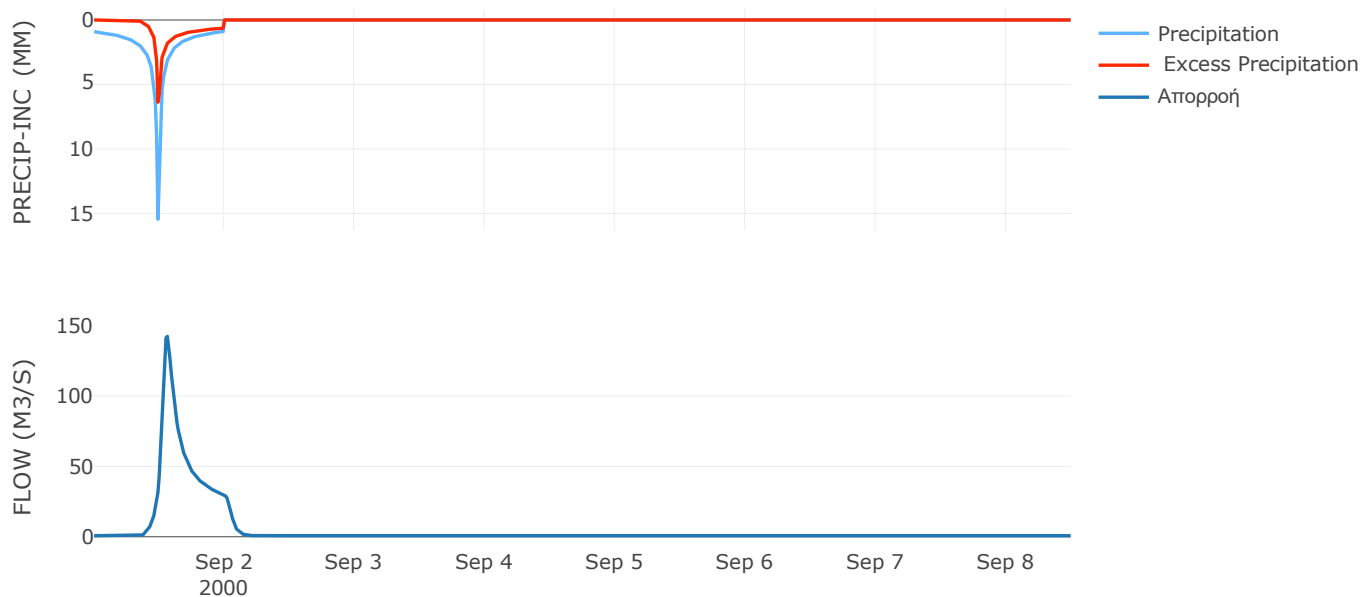
Μέθοδος Μετασχηματισμού:
Scs

Χρόνος Υστέρησης	70.26
------------------	-------

Αποτελέσματα:
EL0415FR0020004

Παροχή αιχμής (M3/S)	142.36
Χρονική στιγμή αιχμής	01Sep2000, 13:30
Όγκος (MM)	89.11
Όγκος βροχόπτωσης (M3)	7.79E6
Όγκος απωλειών (M3)	4.89E6
Ενεργός Όγκος (M3)	2.9E6
Όγκος άμεσης απορροής (M3)	2.9E6
Όγκος βασικής απορροής (M3)	4.93E5

Βροχόπτωση και Απορροή



Υπολεκάνη: EL0415FR0020005

Έκταση (KM2) : 14

Κατάντη : J3

Μέθοδος Απωλειών: SCS

Ποσοστό αδιαπέρατης επιφάνειας	0
Αριθμός Καμπύλης Απορροής-CN	62.77
Αρχικές Απώλειες	30.12

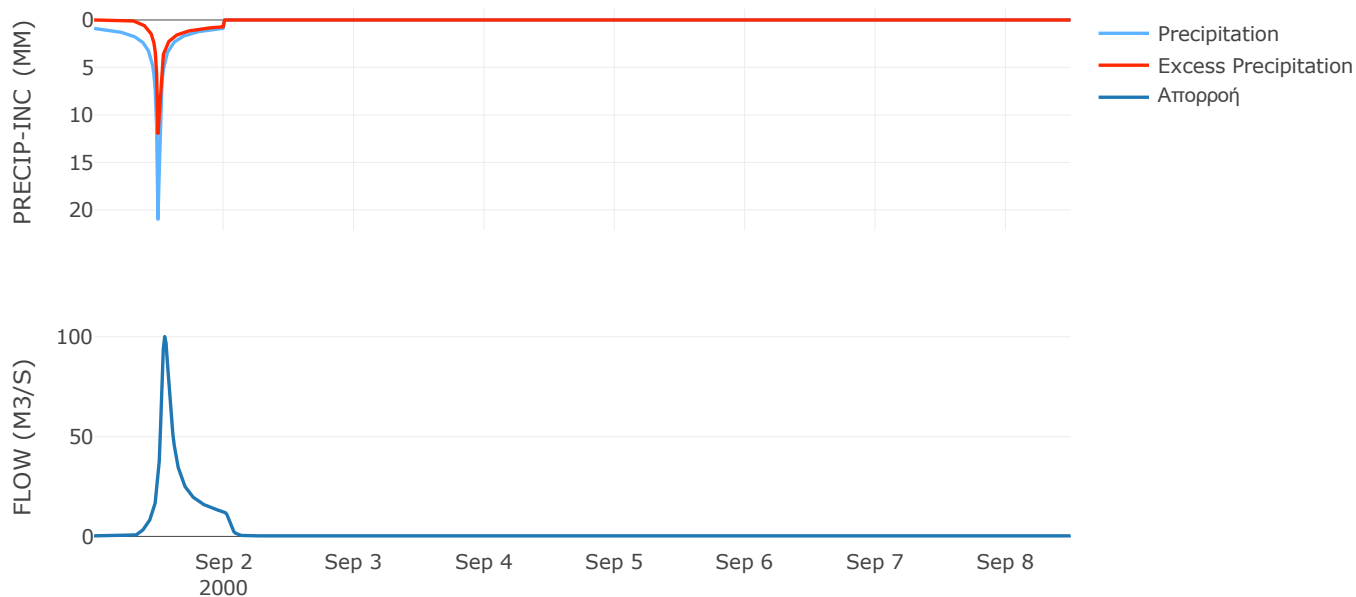
Μέθοδος Μετασχηματισμού:
Scs

Χρόνος Υστέρησης	55.45
------------------	-------

Αποτελέσματα:
EL0415FR0020005

Παροχή αιχμής (M3/S)	100.15
Χρονική στιγμή αιχμής	01Sep2000, 13:00
Όγκος (MM)	125.39
Όγκος βροχόπτωσης (M3)	3.19E6
Όγκος απωλειών (M3)	1.62E6
Ενεργός Όγκος (M3)	1.57E6
Όγκος άμεσης απορροής (M3)	1.57E6
Όγκος βασικής απορροής (M3)	1.81E5

Βροχόπτωση και Απορροή



Υπολεκάνη: EL0415FR0020006

Έκταση (KM2) : 32.61

Κατάντη : J4

Μέθοδος Απωλειών: SCS

Ποσοστό αδιαπέρατης επιφάνειας	0
Αριθμός Καμπύλης Απορροής-CN	52.85
Αρχικές Απώλειες	45.32

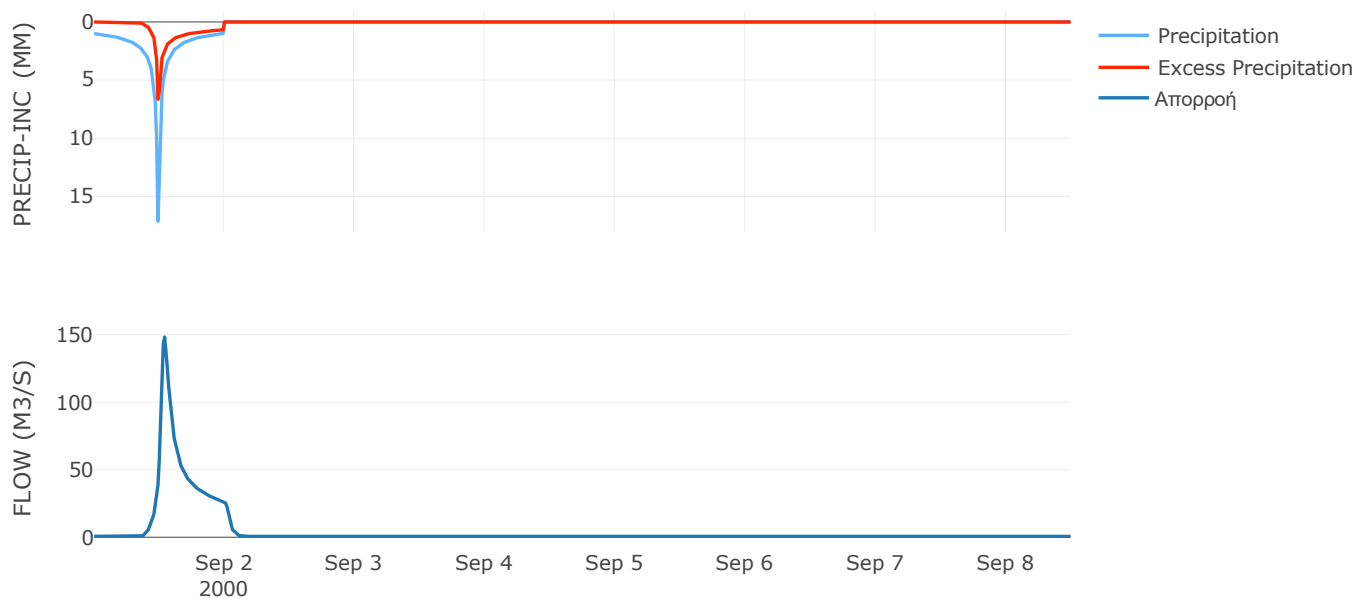
Μέθοδος Μετασχηματισμού:
Scs

Χρόνος Υστέρησης	48.23
------------------	-------

Αποτελέσματα:
EL0415FR0020006

Παροχή αιχμής (M3/S)	148.28
Χρονική στιγμή αιχμής	01Sep2000, 13:00
Όγκος (MM)	92.67
Όγκος βροχόπτωσης (M3)	7.35E6
Όγκος απωλειών (M3)	4.75E6
Ενεργός Όγκος (M3)	2.6E6
Όγκος άμεσης απορροής (M3)	2.6E6
Όγκος βασικής απορροής (M3)	4.23E5

Βροχόπτωση και Απορροή



Υπολεκάνη: EL0415FR0020007

Έκταση (KM2) : 37.84

Κατάντη : J5

Μέθοδος Απωλειών: SCS

Ποσοστό αδιαπέρατης επιφάνειας	0
Αριθμός Καμπύλης Απορροής-CN	55.72
Αρχικές Απώλειες	40.36

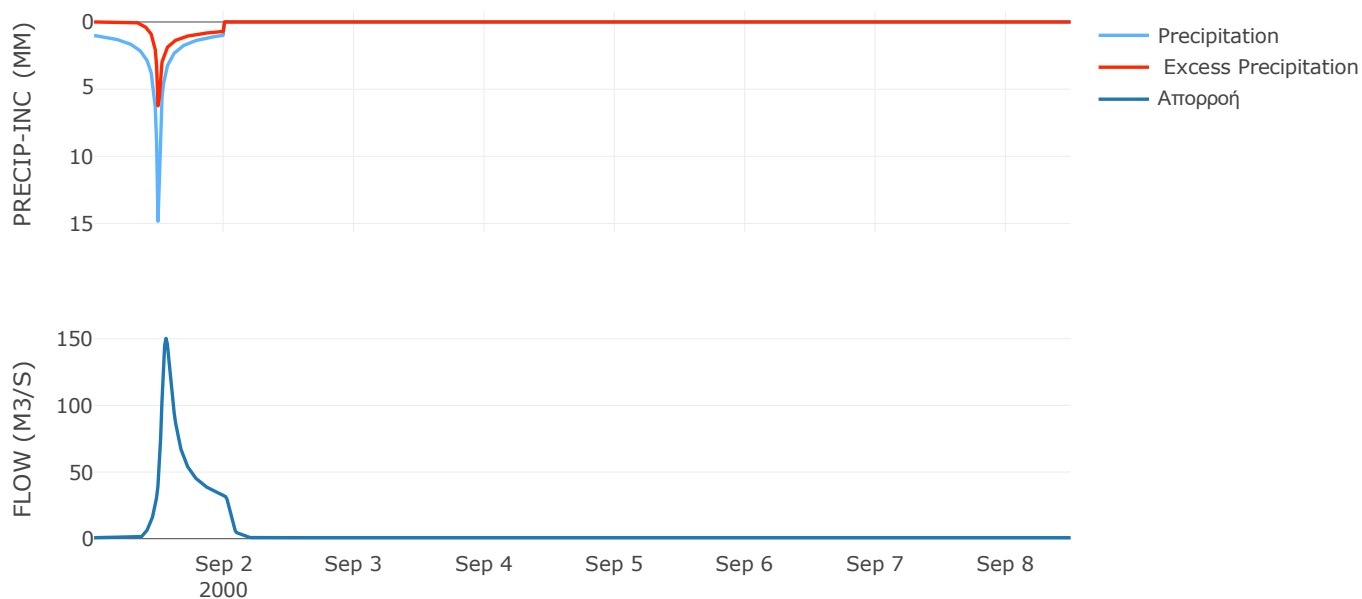
Μέθοδος Μετασχηματισμού:
Scs

Χρόνος Υστέρησης	62.98
------------------	-------

Αποτελέσματα:
EL0415FR0020007

Παροχή αιχμής (M3/S)	150.25
Χρονική στιγμή αιχμής	01Sep2000, 13:15
Όγκος (MM)	94.04
Όγκος βροχόπτωσης (M3)	8.14E6
Όγκος απωλειών (M3)	5.07E6
Ενεργός Όγκος (M3)	3.07E6
Όγκος άμεσης απορροής (M3)	3.07E6
Όγκος βασικής απορροής (M3)	4.9E5

Βροχόπτωση και Απορροή



Υπολεκάνη: EL0415FR0020008

Έκταση (KM2) : 42.76

Κατάντη : J6

Μέθοδος Απωλειών: SCS

Ποσοστό αδιαπέρατης επιφάνειας	0
Αριθμός Καμπύλης Απορροής-CN	54.62
Αρχικές Απώλειες	42.2

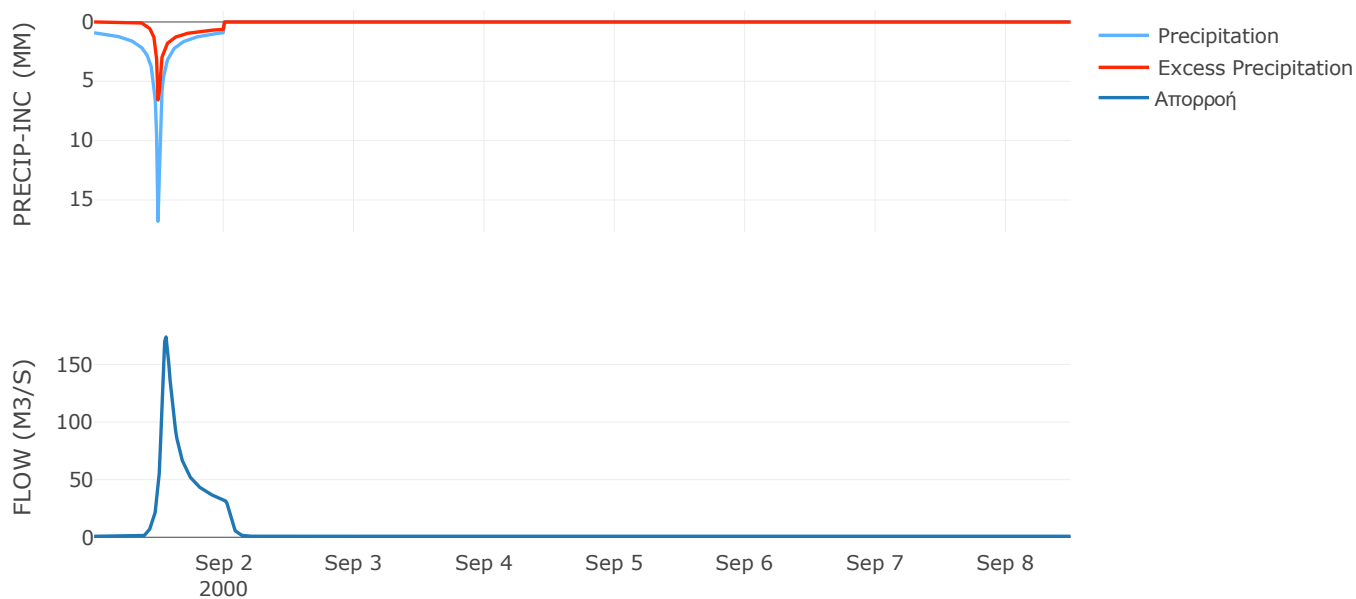
Μέθοδος Μετασχηματισμού:
Scs

Χρόνος Υστέρησης	60.1
------------------	------

Αποτελέσματα:
EL0415FR0020008

Παροχή αιχμής (M3/S)	173.77
Χρονική στιγμή αιχμής	01Sep2000, 13:15
Όγκος (MM)	88.37
Όγκος βροχόπτωσης (M3)	9.05E6
Όγκος απωλειών (M3)	5.82E6
Ενεργός Όγκος (M3)	3.22E6
Όγκος άμεσης απορροής (M3)	3.22E6
Όγκος βασικής απορροής (M3)	5.54E5

Βροχόπτωση και Απορροή



Υπολεκάνη: EL0415FR0020009

Έκταση (KM2) : 58.35

Κατάντη : J7

Μέθοδος Απωλειών: SCS

Ποσοστό αδιαπέρατης επιφάνειας	0
Αριθμός Καμπύλης Απορροής-CN	49.65
Αρχικές Απώλειες	51.51

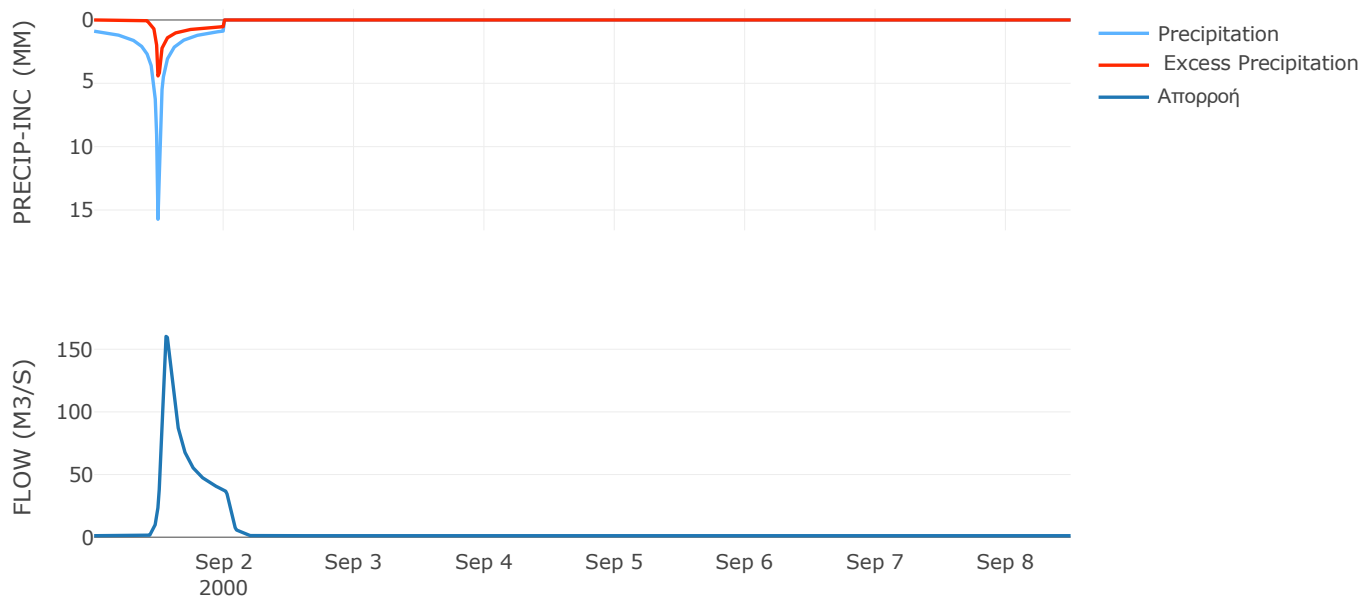
Μέθοδος Μετασχηματισμού:
Scs

Χρόνος Υστέρησης	63.79
------------------	-------

Αποτελέσματα:
EL0415FR0020009

Παροχή αιχμής (M3/S)	160.26
Χρονική στιγμή αιχμής	01Sep2000, 13:15
Όγκος (MM)	69.14
Όγκος βροχόπτωσης (M3)	1.19E7
Όγκος απωλειών (M3)	8.57E6
Ενεργός Όγκος (M3)	3.28E6
Όγκος άμεσης απορροής (M3)	3.28E6
Όγκος βασικής απορροής (M3)	7.56E5

Βροχόπτωση και Απορροή



6.2 Δεδομένα και υδρογραφήματα σχεδιασμού Κλάδων υδρογραφικού δικτύου

Κλάδος: R219

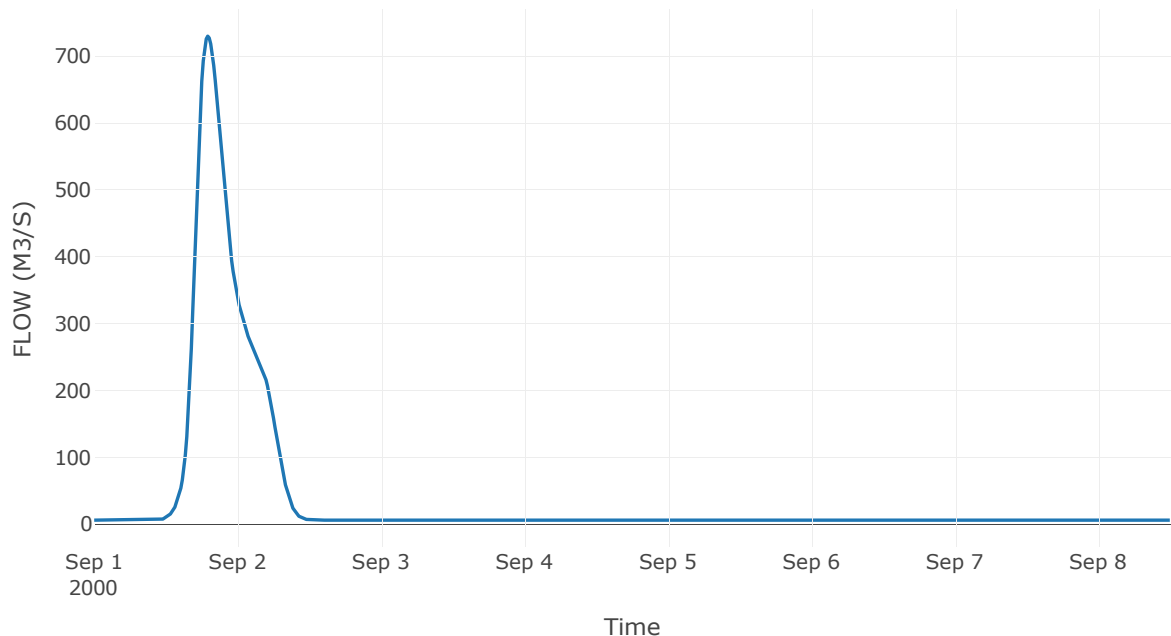
Κατάντη : J19

Μέθοδος Διόδευσης	Muskingum
Αρχική Μεταβλητή	Combined Inflow
Χρόνος Ροής Κ	3.86
Συντελεστής βάρους α	0.2
Πλήθος Υποκλάδων	15

Αποτελέσματα: R219

Παροχή Αιχμής(M3/S)	729.82
Χρονική στιγμή αιχμής	01Sep2000, 19:00
Όγκος(MM)	93.34
Παροχή Αιχμής Εισόδου (M3/S)	762.79
Όγκος Εισροής(M3)	2.59E7

Απορροή



Κλάδος: R32

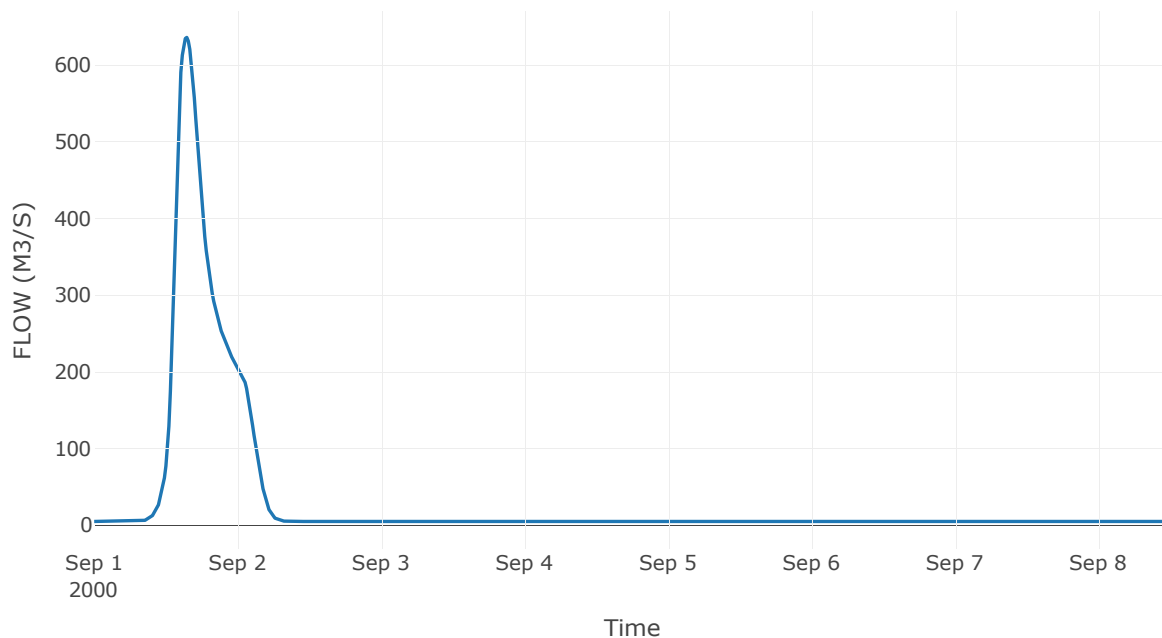
Κατάντη : J2

Μέθοδος Διόδευσης	Muskingum
Αρχική Μεταβλητή	Combined Inflow
Χρόνος Ροής K	0.87
Συντελεστής βάρους x	0.2
Πλήθος Υποκλάδων	3

Αποτελέσματα: R32

Παροχή Αιχμής(M3/S)	635.98
Χρονική στιγμή αιχμής	01Sep2000, 15:30
Όγκος(MM)	89.86
Παροχή Αιχμής Εισόδου (M3/S)	643.28
Όγκος Εισροής(M3)	2.14E7

Απορροή



Κλάδος: R43

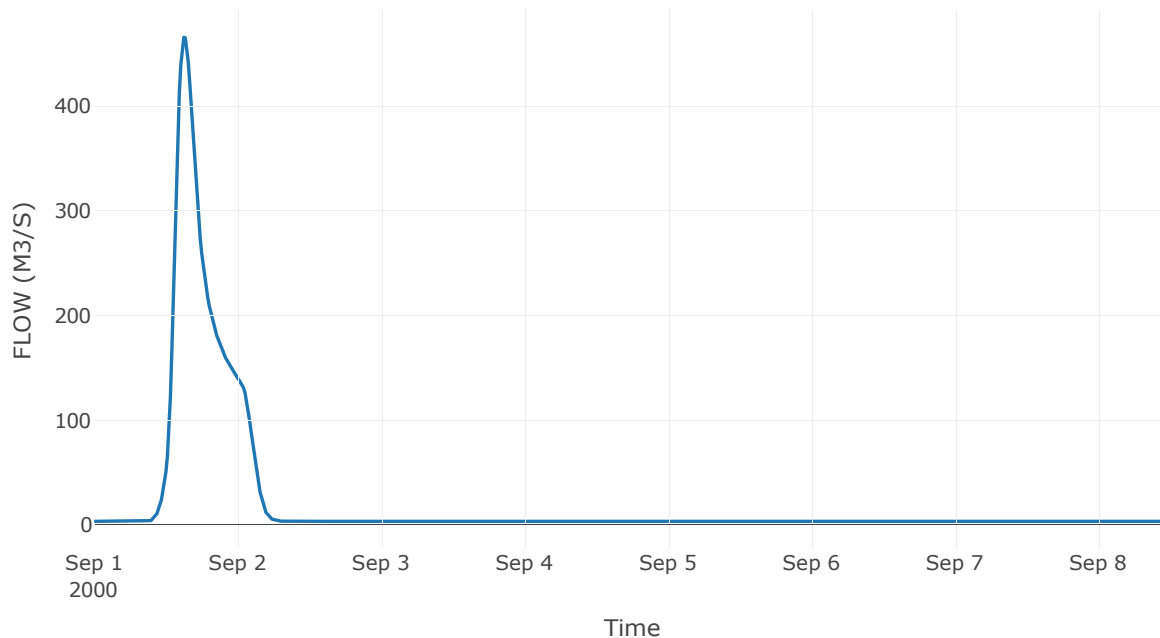
Κατάντη : J3

Μέθοδος Διόδευσης	Muskingum
Αρχική Μεταβλητή	Combined Inflow
Χρόνος Ροής K	0.83
Συντελεστής βάρους x	0.2
Πλήθος Υποκλάδων	3

Αποτελέσματα: R43

Παροχή Αιχμής(M3/S)	465.7
Χρονική στιγμή αιχμής	01Sep2000, 15:00
Όγκος(MM)	83.89
Παροχή Αιχμής Εισόδου (M3/S)	476.42
Όγκος Εισροής(M3)	1.44E7

Απορροή



Κλάδος: R54

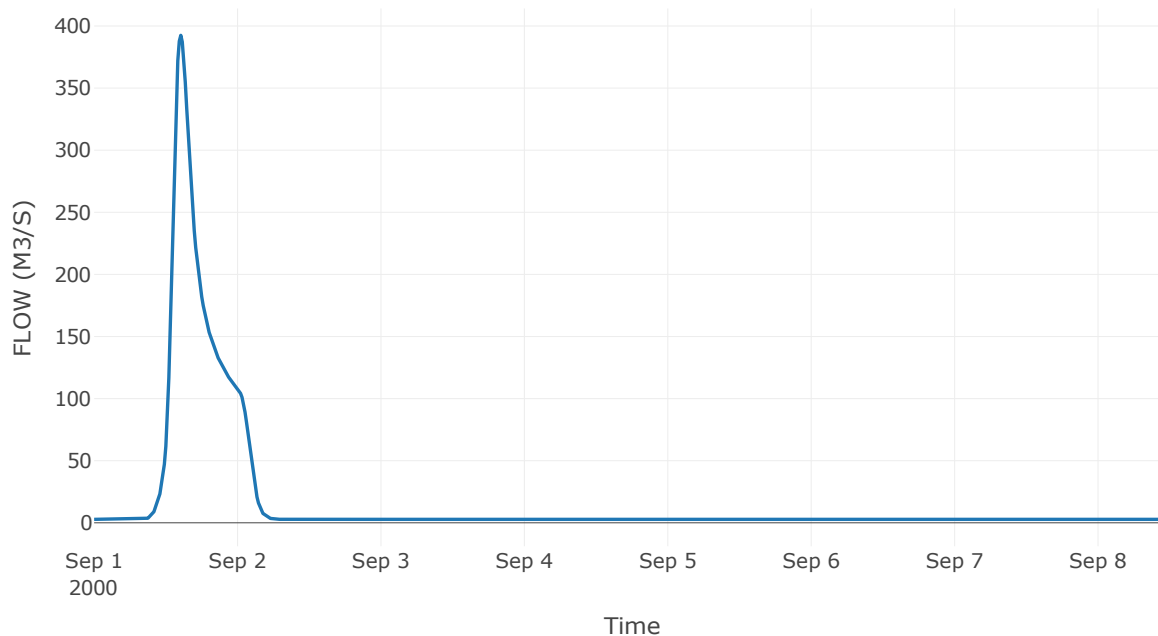
Κατάντη : J4

Μέθοδος Διόδευσης	Muskingum
Αρχική Μεταβλητή	Combined Inflow
Χρόνος Ροής K	0.26
Συντελεστής βάρους x	0.2
Πλήθος Υποκλάδων	1

Αποτελέσματα: R54

Παροχή Αιχμής(M3/S)	392.48
Χρονική στιγμή αιχμής	01Sep2000, 14:30
Όγκος(MM)	81.84
Παροχή Αιχμής Εισόδου (M3/S)	395.76
Όγκος Εισροής(M3)	1.14E7

Απορροή



Κλάδος: R65

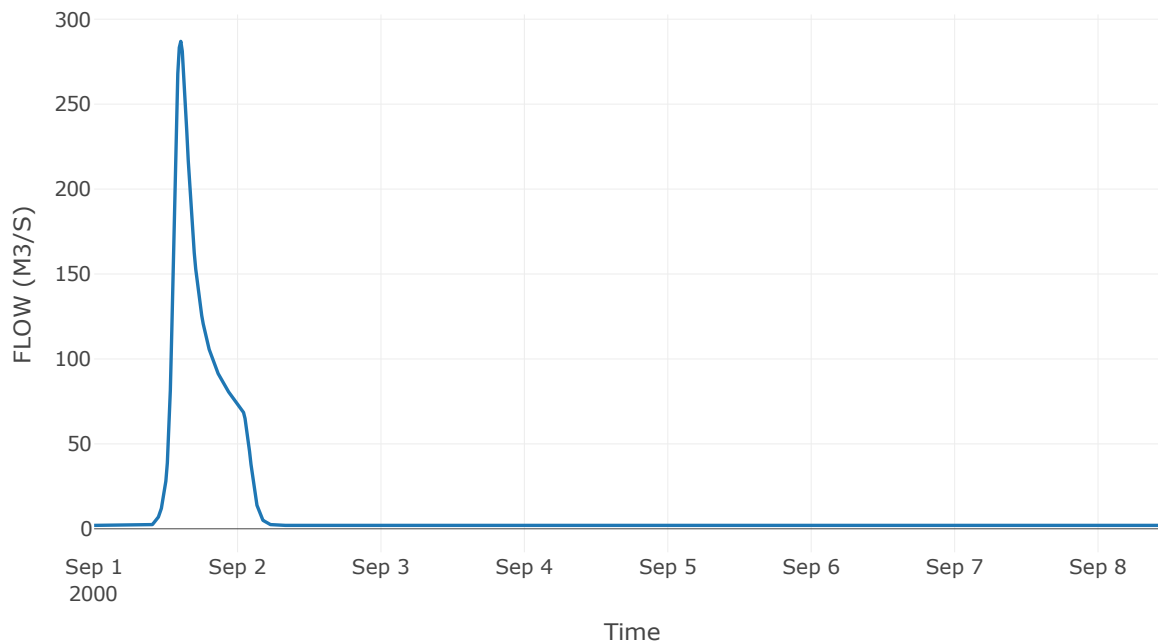
Κατάντη : J5

Μέθοδος Διόδευσης	Muskingum
Αρχική Μεταβλητή	Combined Inflow
Χρόνος Ροής K	0.71
Συντελεστής βάρους x	0.2
Πλήθος Υποκλάδων	3

Αποτελέσματα: R65

Παροχή Αιχμής(M3/S)	286.96
Χρονική στιγμή αιχμής	01Sep2000, 14:30
Όγκος(MM)	77.27
Παροχή Αιχμής Εισόδου (M3/S)	295.75
Όγκος Εισροής(M3)	7.81E6

Απορροή



Κλάδος: R76

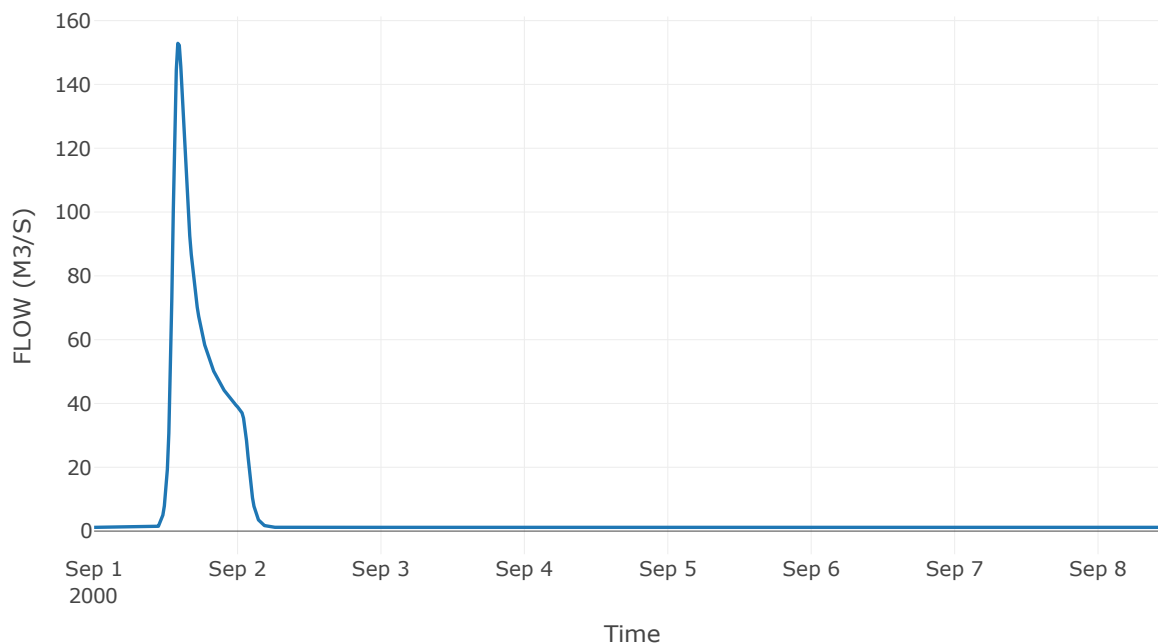
Κατάντη : J6

Μέθοδος Διόδευσης	Muskingum
Αρχική Μεταβλητή	Combined Inflow
Χρόνος Ροής K	0.7
Συντελεστής βάρους x	0.2
Πλήθος Υποκλάδων	3

Αποτελέσματα: R76

Παροχή Αιχμής(M3/S)	152.88
Χρονική στιγμή αιχμής	01Sep2000, 14:00
Όγκος(MM)	69.14
Παροχή Αιχμής Εισόδου (M3/S)	160.26
Όγκος Εισροής(M3)	4.03E6

Απορροή



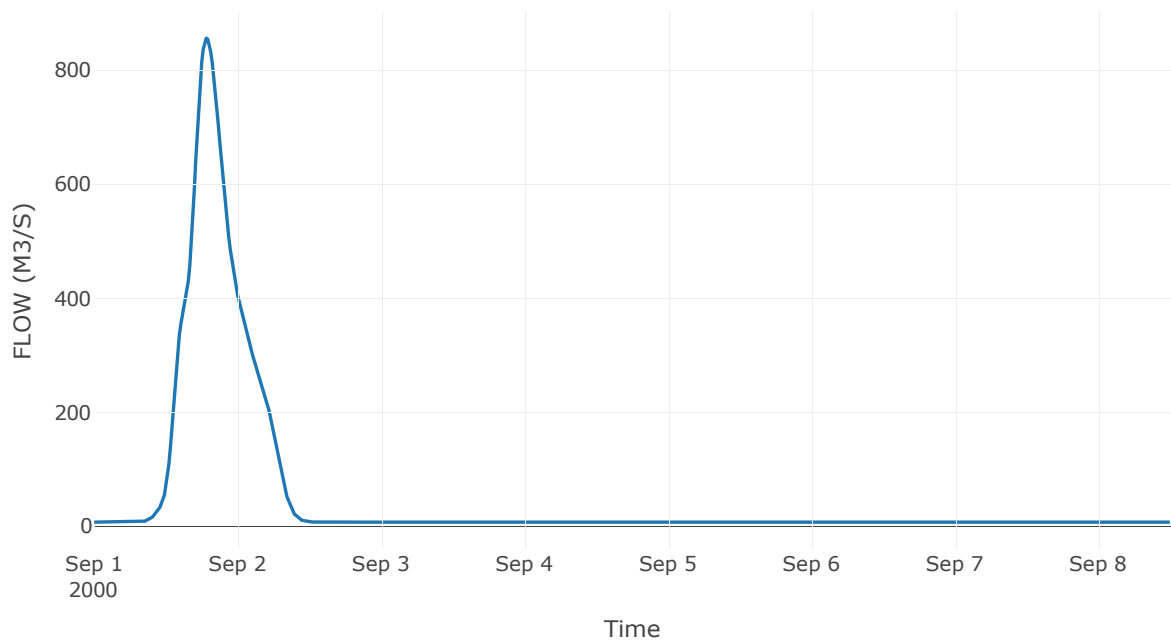
6.3 Δεδομένα και υδρογραφήματα σχεδιασμού Κόμβων υδρογραφικού δικτύου

Κόμβος εξόδου: J19

Αποτελέσματ
α: J19

Παροχή αιχμής (M3/S)	856.66
Χρονική στιγμή αιχμής	01Sep2000, 18:45
Όγκος (MM)	97.36

Απορροή



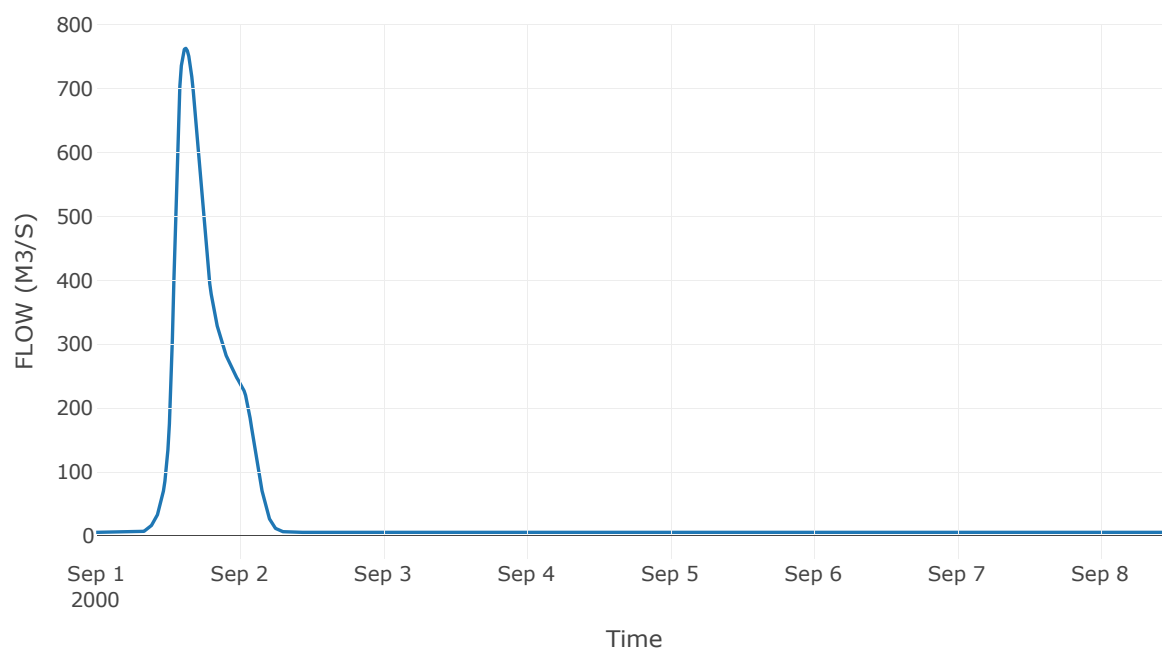
Κόμβος: J2

Κατάντη : R219

Αποτελέσματα: J2

Παροχή Αιχμής(M3/S)	762.79
Χρονική στιγμή αιχμής	01Sep2000, 15:00
Όγκος(MM)	93.34

Απορροή



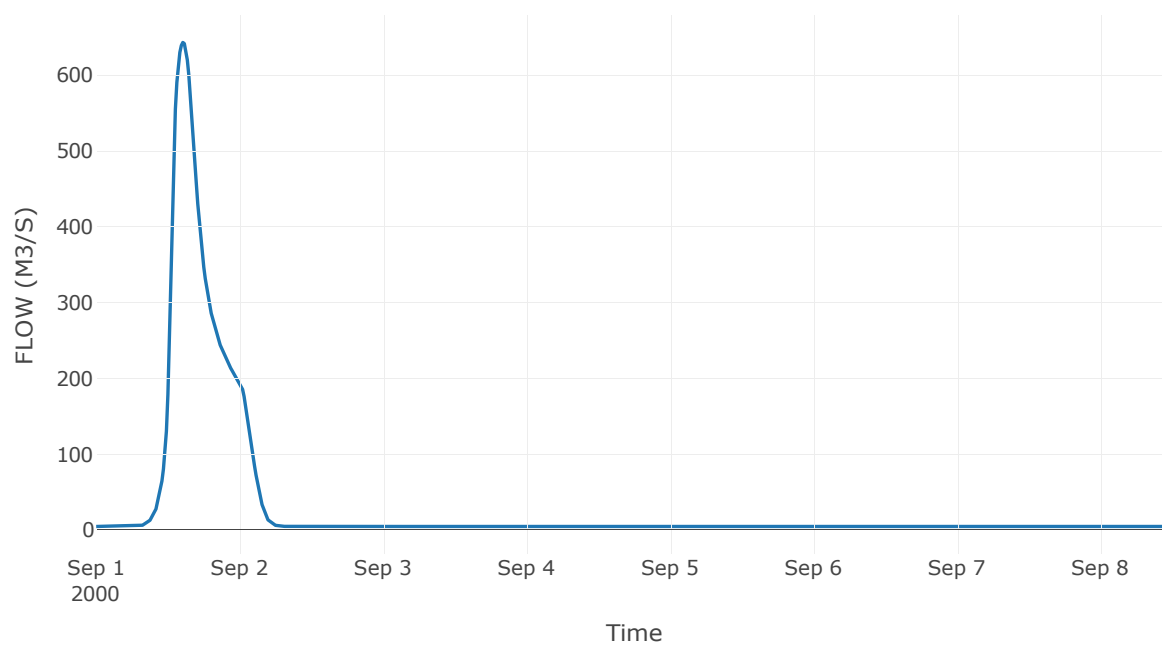
Κόμβος: J3

Κατάντη : R32

Αποτελέσματα: J3

Παροχή Αιχμής(M3/S)	643.28
Χρονική στιγμή αιχμής	01Sep2000, 14:30
Όγκος(MM)	89.86

Απορροή



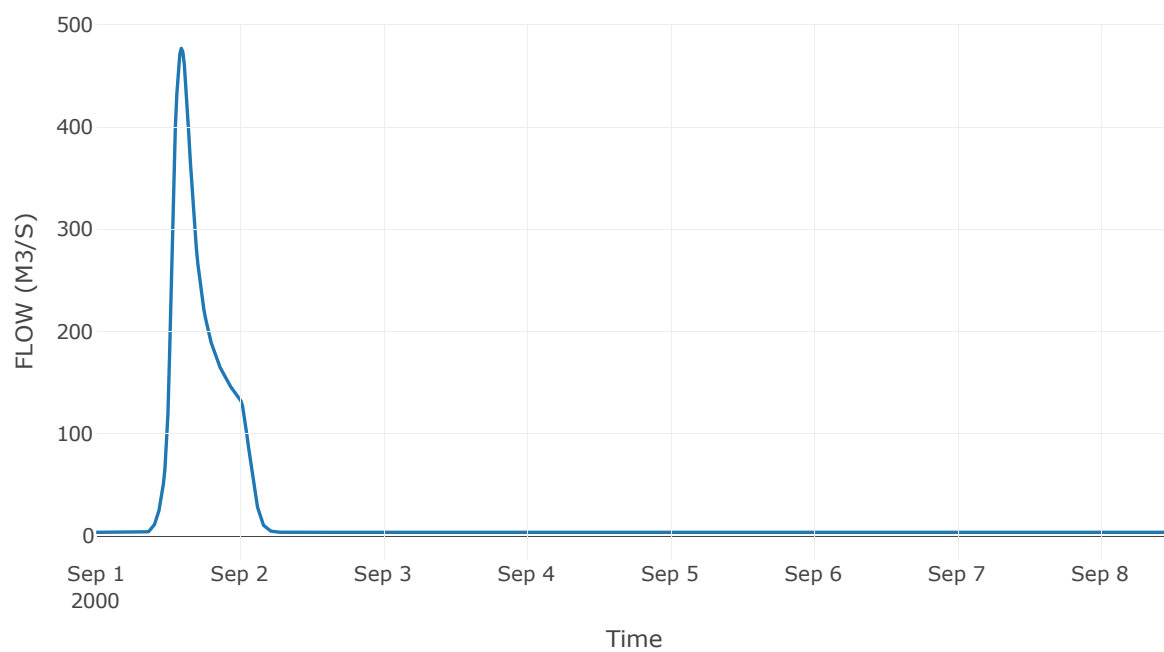
Κόμβος: J4

Κατάντη : R43

Αποτελέσματα: J4

Παροχή Αιχμής(M3/S)	476.42
Χρονική στιγμή αιχμής	01Sep2000, 14:15
Όγκος(MM)	83.89

Απορροή



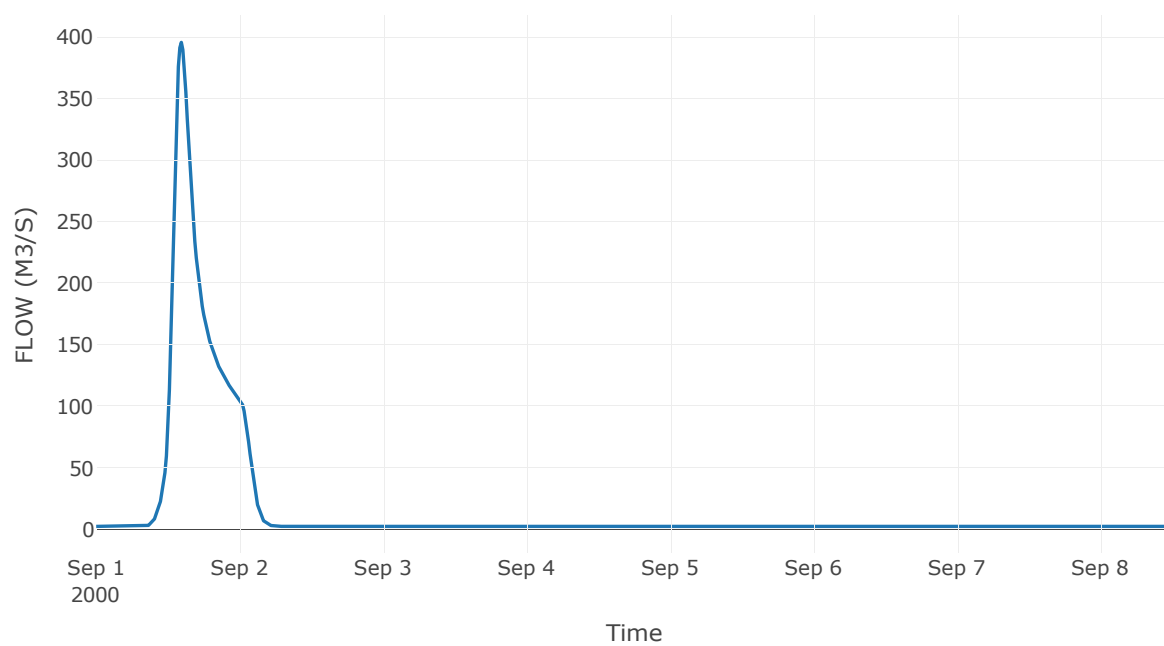
Κόμβος: J5

Κατάντη : R54

Αποτελέσματα: J5

Παροχή Αιχμής(M3/S)	395.76
Χρονική στιγμή αιχμής	01Sep2000, 14:15
Όγκος(MM)	81.84

Απορροή



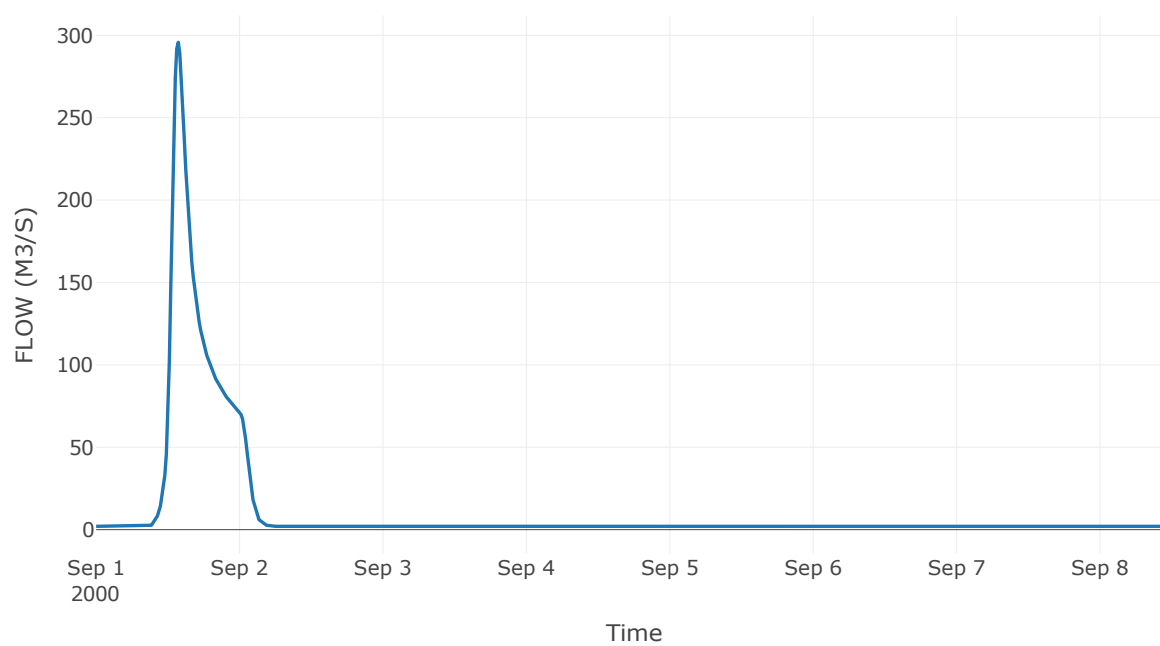
Κόμβος: J6

Κατάντη : R65

Αποτελέσματα: J6

Παροχή Αιχμής(M3/S)	295.75
Χρονική στιγμή αιχμής	01Sep2000, 13:45
Όγκος(MM)	77.27

Απορροή



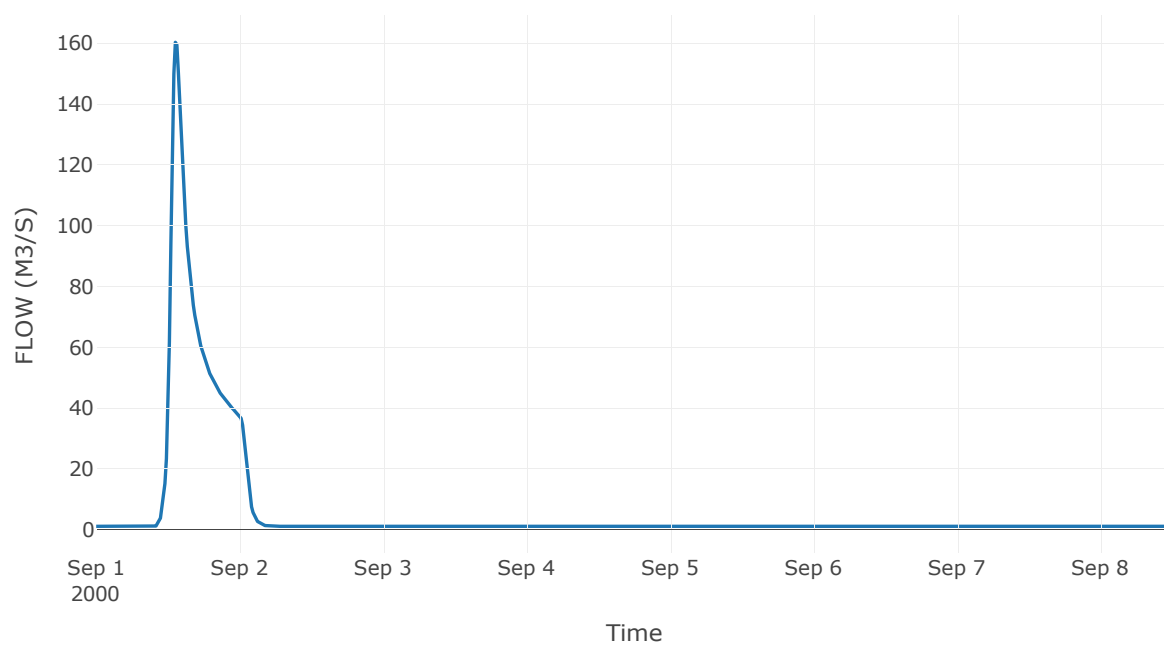
Κόμβος: J7

Κατάντη : R76

Αποτελέσματα: J7

Παροχή Αιχμής(M3/S)	160.26
Χρονική στιγμή αιχμής	01Sep2000, 13:15
Όγκος(MM)	69.14

Απορροή



7 Δεδομένα εισόδου και αποτελέσματα υδρολογικού σεναρίου $T=100U$

7.1 Αποτελέσματα, υετογραφήματα και υδρογραφήματα σχεδιασμού υπολεκανών

Υπολεκάνη: EL0415FR0020001

Έκταση (KM2) : 76.58

Κατάντη : J19

Μέθοδος Απωλειών: SCS

Ποσοστό αδιαπέρατης επιφάνειας	0
Αριθμός Καμπύλης Απορροής-CN	91.74
Αρχικές Απώλειες	4.57

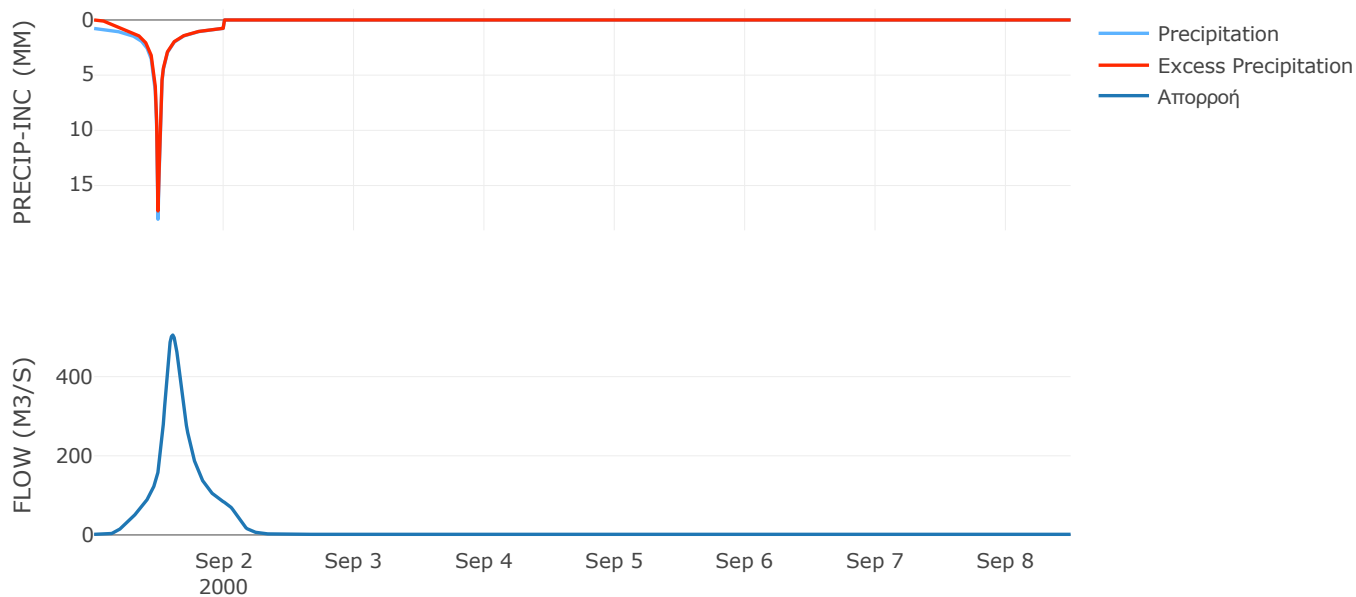
Μέθοδος Μετασχηματισμού:
Scs

Χρόνος Υστέρησης	142.89
------------------	--------

Αποτελέσματα:
EL0415FR0020001

Παροχή αιχμής (M3/S)	505.2
Χρονική στιγμή αιχμής	01Sep2000, 14:30
Όγκος (MM)	184.27
Όγκος βροχόπτωσης (M3)	1.5E7
Όγκος απωλειών (M3)	1.91E6
Ενεργός Όγκος (M3)	1.31E7
Όγκος άμεσης απορροής (M3)	1.31E7
Όγκος βασικής απορροής (M3)	9.92E5

Βροχόπτωση και Απορροή



Υπολεκάνη: EL0415FR0020002

Έκταση (KM2) : 39.41

Κατάντη : J2

Μέθοδος Απωλειών: SCS

Ποσοστό αδιαπέρατης επιφάνειας	0
Αριθμός Καμπύλης Απορροής-CN	90.74
Αρχικές Απώλειες	5.19

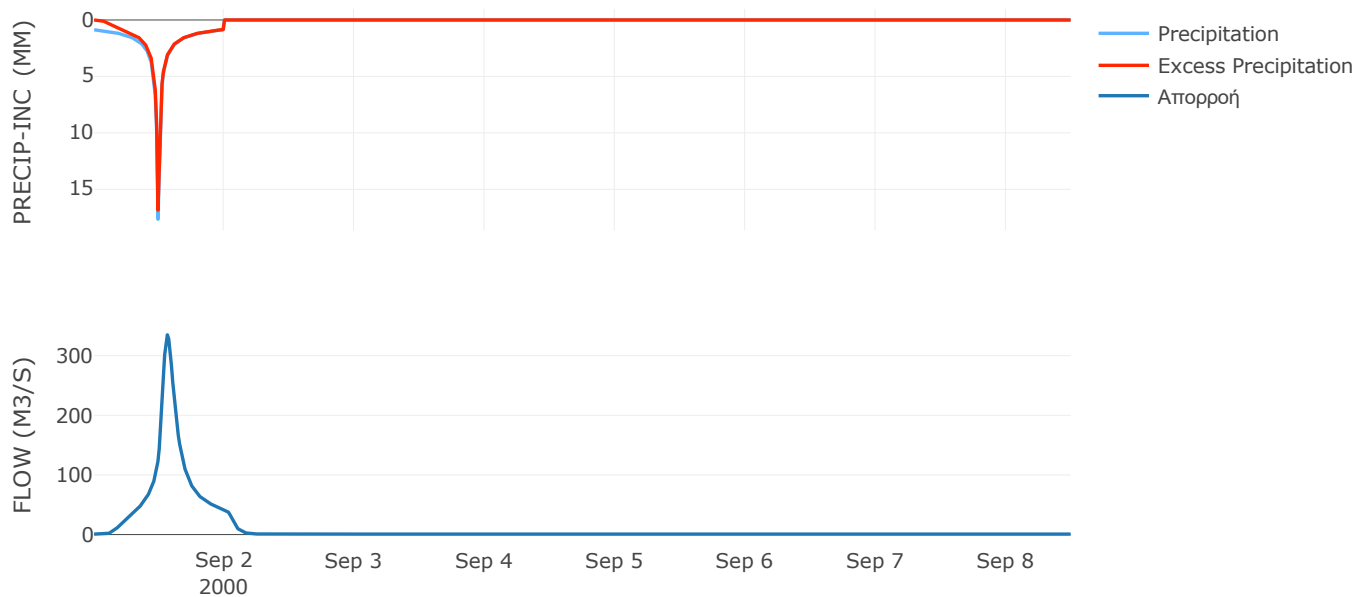
Μέθοδος Μετασχηματισμού:
Scs

Χρόνος Υστέρησης	87.92
------------------	-------

Αποτελέσματα:
EL0415FR0020002

Παροχή αιχμής (M3/S)	335.04
Χρονική στιγμή αιχμής	01Sep2000, 13:30
Όγκος (MM)	194.13
Όγκος βροχόπτωσης (M3)	8.25E6
Όγκος απωλειών (M3)	1.11E6
Ενεργός Όγκος (M3)	7.14E6
Όγκος άμεσης απορροής (M3)	7.14E6
Όγκος βασικής απορροής (M3)	5.11E5

Βροχόπτωση και Απορροή



Υπολεκάνη: EL0415FR0020003

Έκταση (KM2) : 14.18

Κατάντη : J3

Μέθοδος Απωλειών: SCS

Ποσοστό αδιαπέρατης επιφάνειας	0
Αριθμός Καμπύλης Απορροής-CN	90.21
Αρχικές Απώλειες	5.51

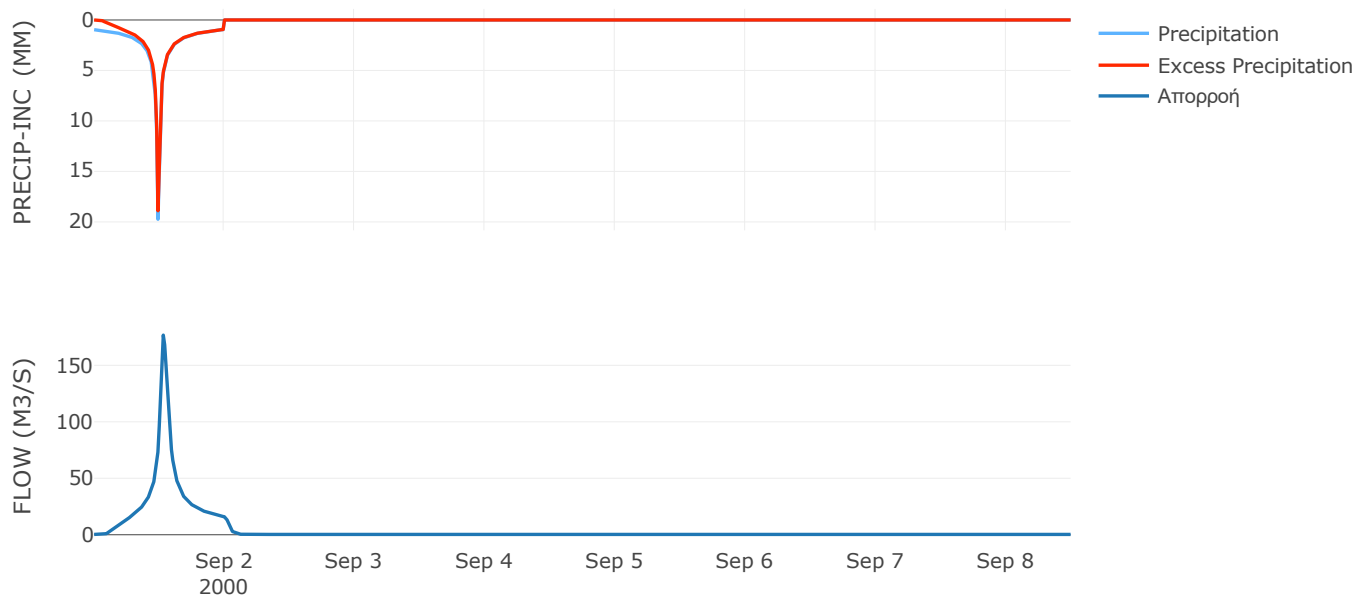
Μέθοδος Μετασχηματισμού:
Scs

Χρόνος Υστέρησης	45.76
------------------	-------

Αποτελέσματα:
EL0415FR0020003

Παροχή αιχμής (M3/S)	176.76
Χρονική στιγμή αιχμής	01Sep2000, 12:45
Όγκος (MM)	215.45
Όγκος βροχόπτωσης (M3)	3.3E6
Όγκος απωλειών (M3)	4.27E5
Ενεργός Όγκος (M3)	2.87E6
Όγκος άμεσης απορροής (M3)	2.87E6
Όγκος βασικής απορροής (M3)	1.84E5

Βροχόπτωση και Απορροή



Υπολεκάνη: EL0415FR0020004

Έκταση (KM2) : 38.04

Κατάνη : J3

Μέθοδος Απωλειών: SCS

Ποσοστό αδιαπέρατης επιφάνειας	0
Αριθμός Καμπύλης Απορροής-CN	87.69
Αρχικές Απώλειες	7.13

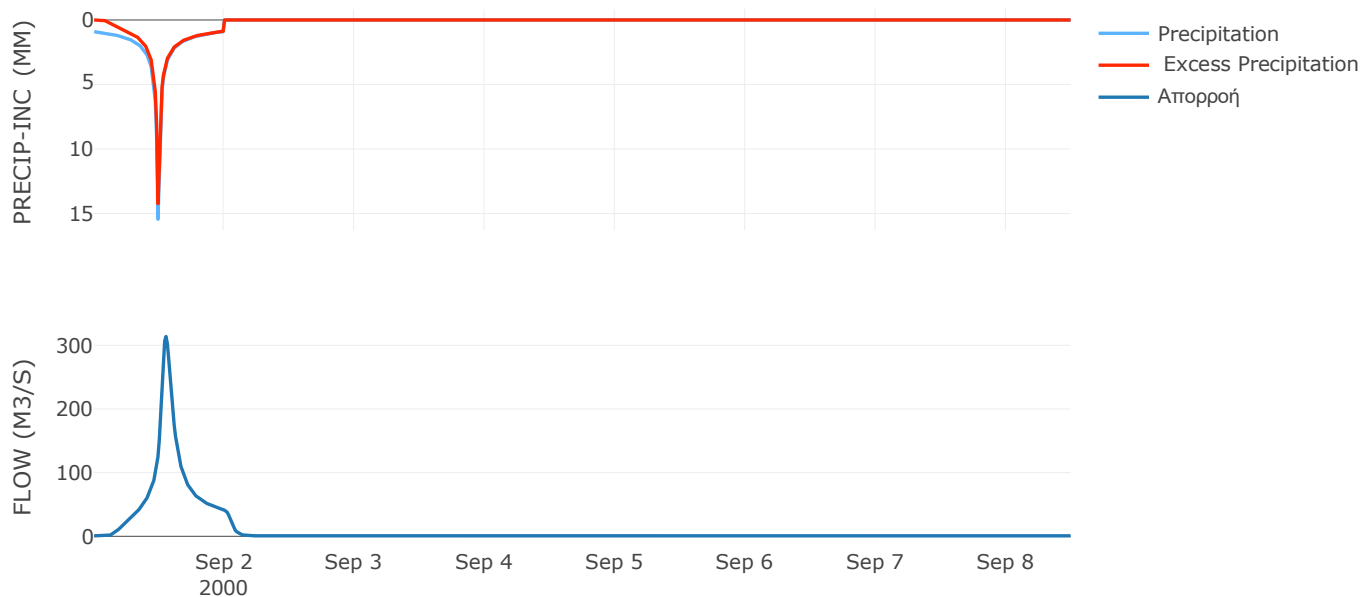
Μέθοδος Μετασχηματισμού:
Scs

Χρόνος Υστέρησης	70.26
------------------	-------

Αποτελέσματα:
EL0415FR0020004

Παροχή αιχμής (M3/S)	313.85
Χρονική στιγμή αιχμής	01Sep2000, 13:15
Όγκος (MM)	180.46
Όγκος βροχόπτωσης (M3)	7.79E6
Όγκος απωλειών (M3)	1.42E6
Ενεργός Όγκος (M3)	6.37E6
Όγκος άμεσης απορροής (M3)	6.37E6
Όγκος βασικής απορροής (M3)	4.93E5

Βροχόπτωση και Απορροή



Υπολεκάνη: EL0415FR0020005

Έκταση (KM2) : 14

Κατάντη : J3

Μέθοδος Απωλειών: SCS

Ποσοστό αδιαπέρατης επιφάνειας	0
Αριθμός Καμπύλης Απορροής-CN	90.23
Αρχικές Απώλειες	5.5

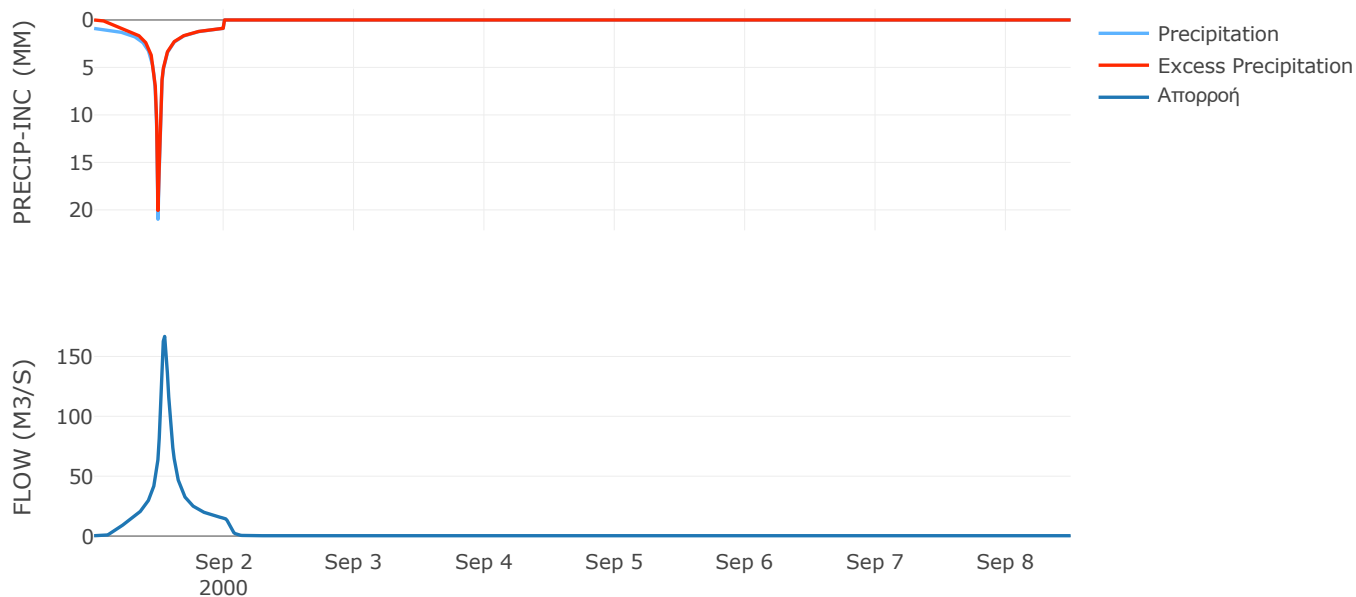
Μέθοδος Μετασχηματισμού:
Scs

Χρόνος Υστέρησης	55.45
------------------	-------

Αποτελέσματα:
EL0415FR0020005

Παροχή αιχμής (M3/S)	166.73
Χρονική στιγμή αιχμής	01Sep2000, 13:00
Όγκος (MM)	211.08
Όγκος βροχόπτωσης (M3)	3.19E6
Όγκος απωλειών (M3)	4.2E5
Ενεργός Όγκος (M3)	2.77E6
Όγκος άμεσης απορροής (M3)	2.77E6
Όγκος βασικής απορροής (M3)	1.81E5

Βροχόπτωση και Απορροή



Υπολεκάνη: EL0415FR0020006

Έκταση (KM2) : 32.61

Κατάντη : J4

Μέθοδος Απωλειών: SCS

Ποσοστό αδιαπέρατης επιφάνειας	0
Αριθμός Καμπύλης Απορροής-CN	85.99
Αρχικές Απώλειες	8.28

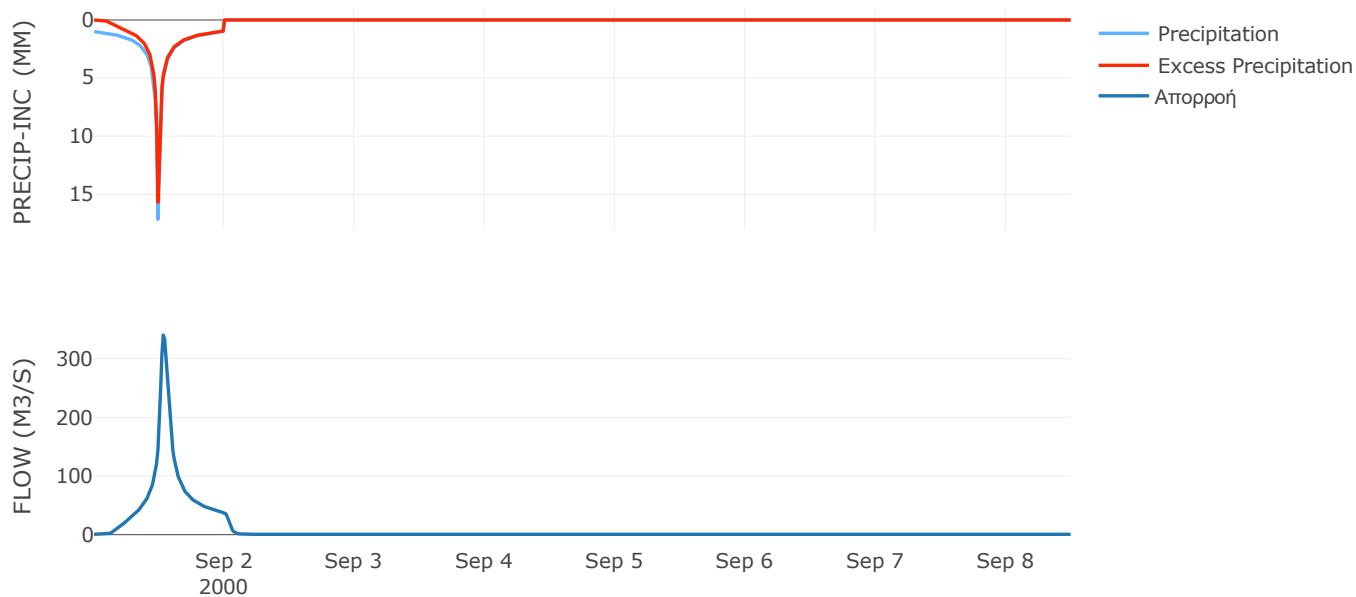
Μέθοδος Μετασχηματισμού:
Scs

Χρόνος Υστέρησης	48.23
------------------	-------

Αποτελέσματα:
EL0415FR0020006

Παροχή αιχμής (M3/S)	340.29
Χρονική στιγμή αιχμής	01Sep2000, 12:45
Όγκος (MM)	195.28
Όγκος βροχόπτωσης (M3)	7.35E6
Όγκος απωλειών (M3)	1.4E6
Ενεργός Όγκος (M3)	5.94E6
Όγκος άμεσης απορροής (M3)	5.94E6
Όγκος βασικής απορροής (M3)	4.23E5

Βροχόπτωση και Απορροή



Υπολεκάνη: EL0415FR0020007

Έκταση (KM2) : 37.84

Κατάντη : J5

Μέθοδος Απωλειών: SCS

Ποσοστό αδιαπέρατης επιφάνειας	0
Αριθμός Καμπύλης Απορροής-CN	87.33
Αρχικές Απώλειες	7.37

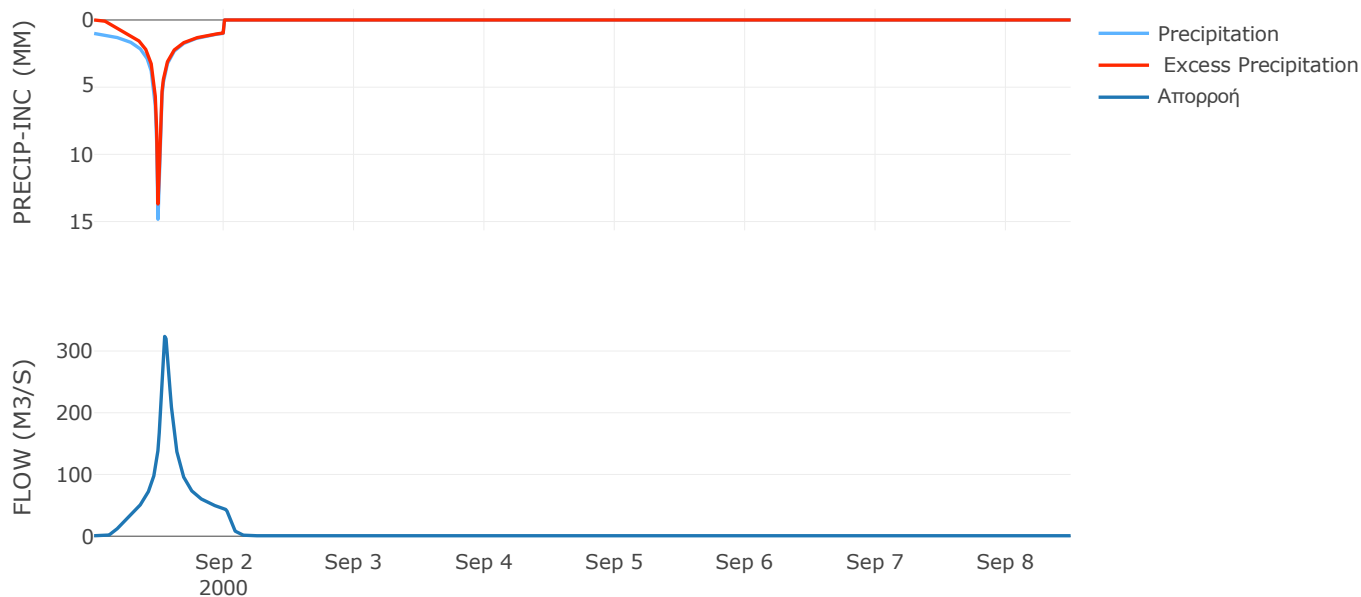
Μέθοδος Μετασχηματισμού:
Scs

Χρόνος Υστέρησης	62.98
------------------	-------

Αποτελέσματα:
EL0415FR0020007

Παροχή αιχμής (M3/S)	323.6
Χρονική στιγμή αιχμής	01Sep2000, 13:00
Όγκος (MM)	189.38
Όγκος βροχόπτωσης (M3)	8.14E6
Όγκος απωλειών (M3)	1.46E6
Ενεργός Όγκος (M3)	6.68E6
Όγκος άμεσης απορροής (M3)	6.68E6
Όγκος βασικής απορροής (M3)	4.9E5

Βροχόπτωση και Απορροή



Υπολεκάνη: EL0415FR0020008

Έκταση (KM2) : 42.76

Κατάντη : J6

Μέθοδος Απωλειών: SCS

Ποσοστό αδιαπέρατης επιφάνειας	0
Αριθμός Καμπύλης Απορροής-CN	86.83
Αρχικές Απώλειες	7.71

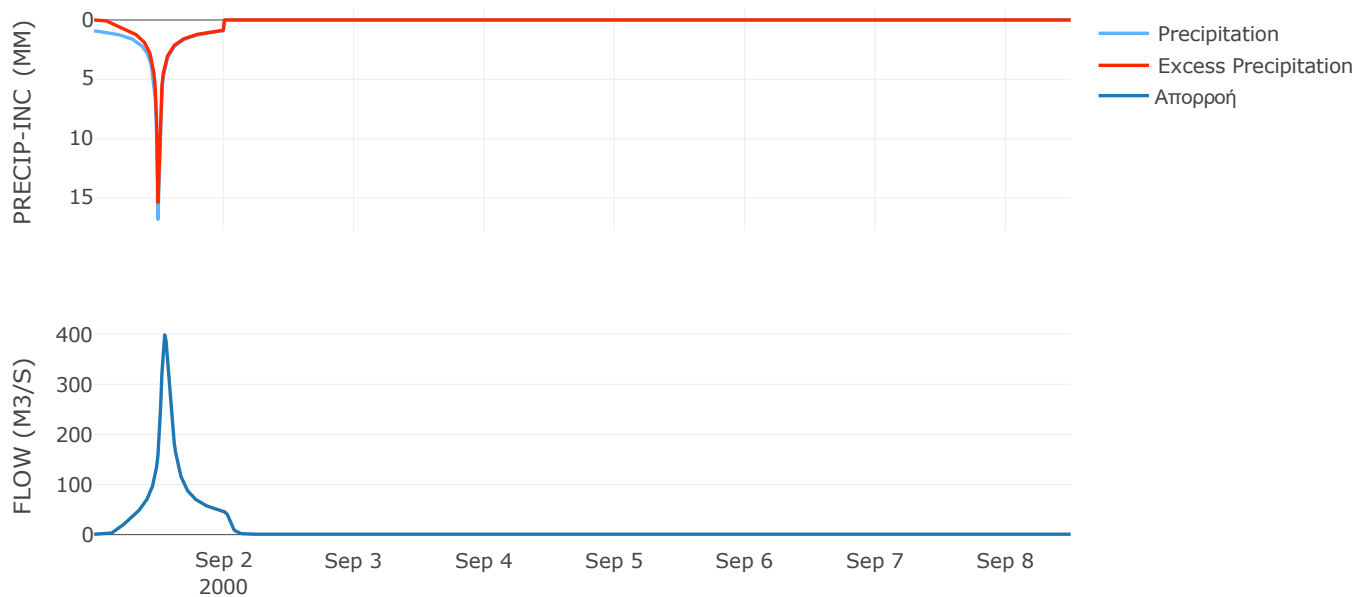
Μέθοδος Μετασχηματισμού:
Scs

Χρόνος Υστέρησης	60.1
------------------	------

Αποτελέσματα:
EL0415FR0020008

Παροχή αιχμής (M3/S)	398.52
Χρονική στιγμή αιχμής	01Sep2000, 13:00
Όγκος (MM)	184.41
Όγκος βροχόπτωσης (M3)	9.05E6
Όγκος απωλειών (M3)	1.72E6
Ενεργός Όγκος (M3)	7.33E6
Όγκος άμεσης απορροής (M3)	7.33E6
Όγκος βασικής απορροής (M3)	5.54E5

Βροχόπτωση και Απορροή



Υπολεκάνη: EL0415FR0020009

Έκταση (KM2) : 58.35

Κατάνη : J7

Μέθοδος Απωλειών: SCS

Ποσοστό αδιαπέρατης επιφάνειας	0
Αριθμός Καμπύλης Απορροής-CN	84.38
Αρχικές Απώλειες	9.41

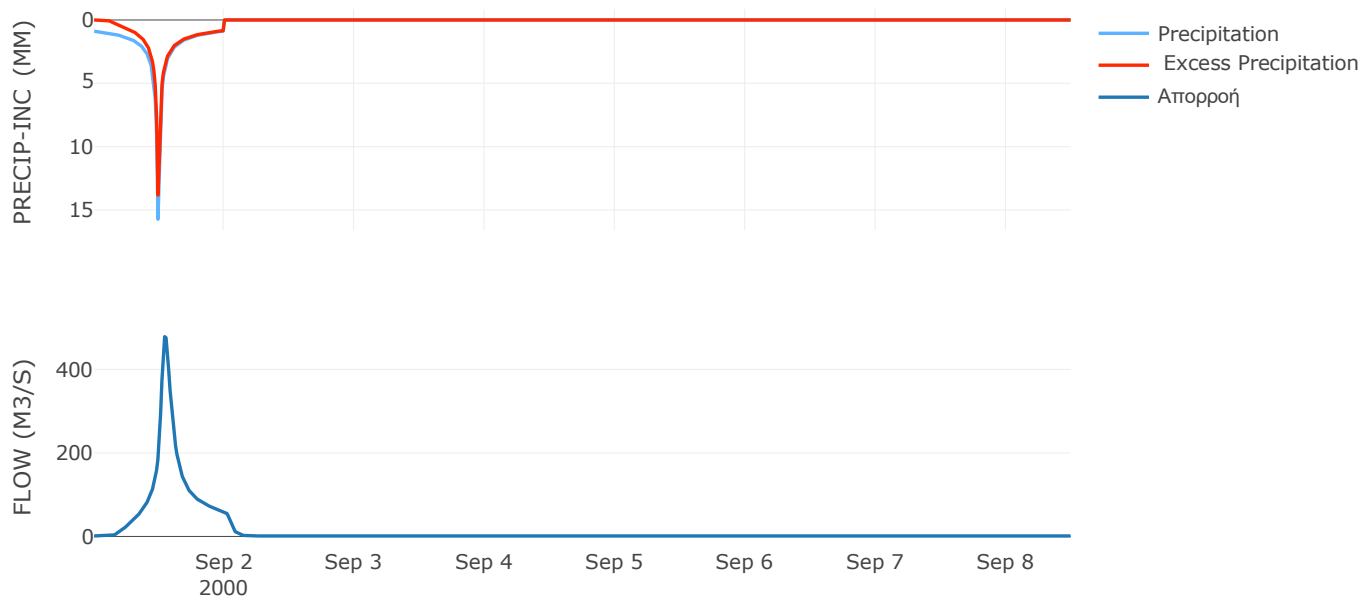
Μέθοδος Μετασχηματισμού:
Scs

Χρόνος Υστέρησης	63.79
------------------	-------

Αποτελέσματα:
EL0415FR0020009

Παροχή αιχμής (M3/S)	478.56
Χρονική στιγμή αιχμής	01Sep2000, 13:00
Όγκος (MM)	168.83
Όγκος βροχόπτωσης (M3)	1.19E7
Όγκος απωλειών (M3)	2.76E6
Ενεργός Όγκος (M3)	9.1E6
Όγκος άμεσης απορροής (M3)	9.1E6
Όγκος βασικής απορροής (M3)	7.56E5

Βροχόπτωση και Απορροή



7.2 Δεδομένα και υδρογραφήματα σχεδιασμού Κλάδων υδρογραφικού δικτύου

Κλάδος: R219

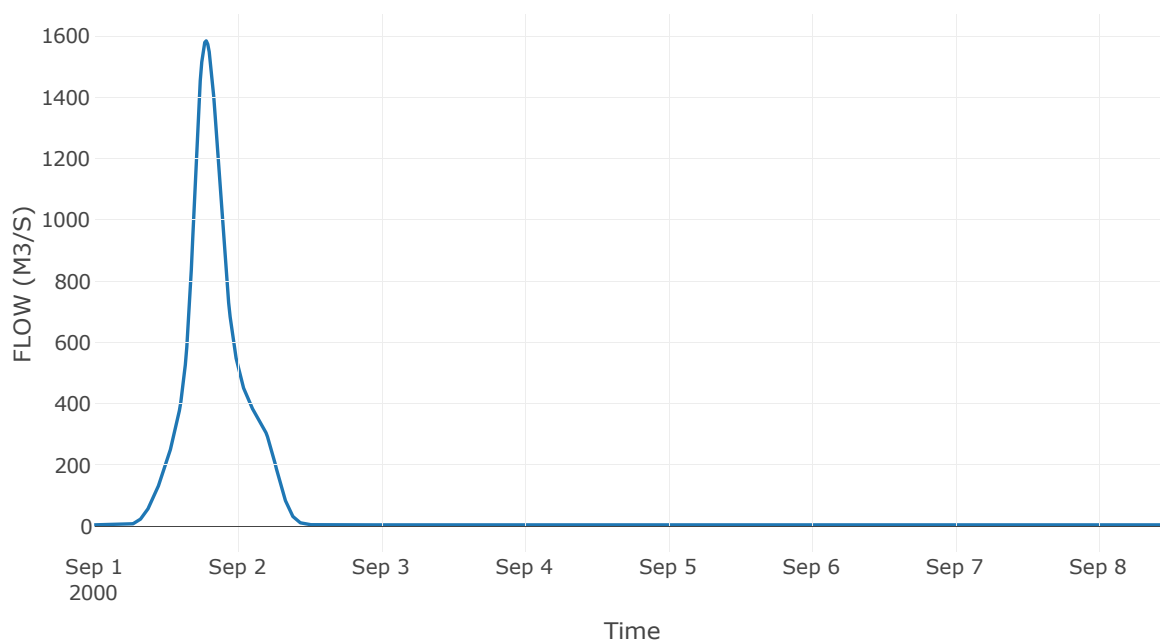
Κατάντη : J19

Μέθοδος Διόδευσης	Muskingum
Αρχική Μεταβλητή	Combined Inflow
Χρόνος Ροής K	3.86
Συντελεστής βάρους x	0.2
Πλήθος Υποκλάδων	15

Αποτελέσματα: R219

Παροχή Αιχμής(M3/S)	1583.72
Χρονική στιγμή αιχμής	01Sep2000, 18:45
Όγκος(MM)	186.86
Παροχή Αιχμής Εισόδου (M3/S)	1665.17
Όγκος Εισροής(M3)	5.18E7

Απορροή



Κλάδος: R32

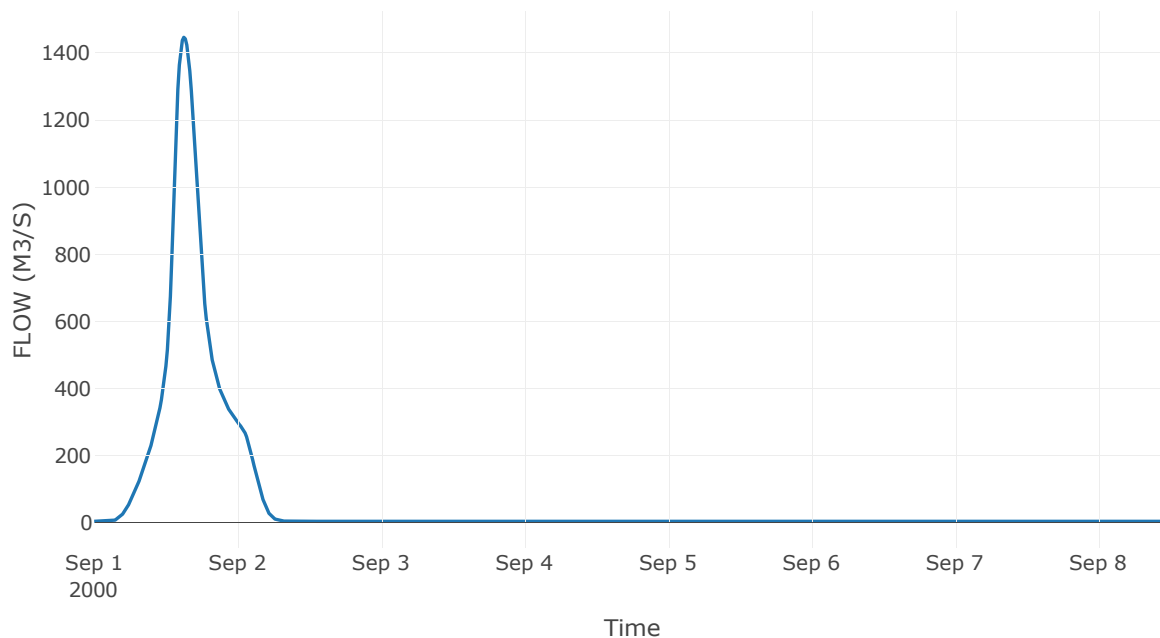
Κατάντη : J2

Μέθοδος Διόδευσης	Muskingum
Αρχική Μεταβλητή	Combined Inflow
Χρόνος Ροής Κ	0.87
Συντελεστής βάρους α	0.2
Πλήθος Υποκλάδων	3

Αποτελέσματα: R32

Παροχή Αιχμής(M3/S)	1446.24
Χρονική στιγμή αιχμής	01Sep2000, 15:00
Όγκος(MM)	185.66
Παροχή Αιχμής Εισόδου (M3/S)	1462.76
Όγκος Εισροής(M3)	4.41E7

Απορροή



Κλάδος: R43

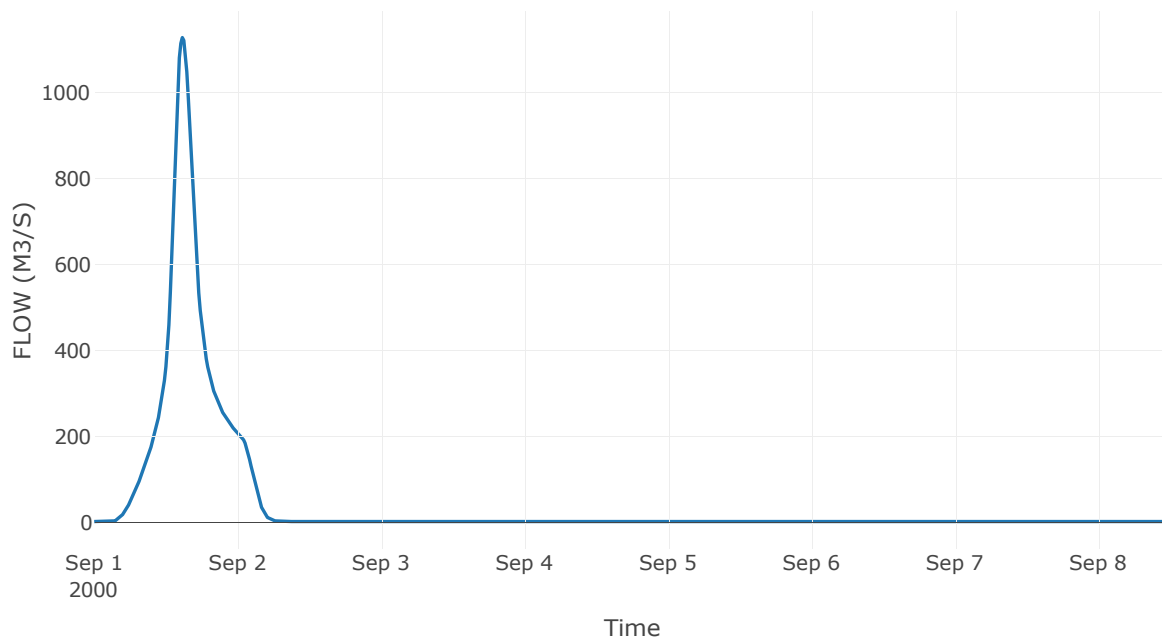
Κατάντη : J3

Μέθοδος Διόδευσης	Muskingum
Αρχική Μεταβλητή	Combined Inflow
Χρόνος Ροής K	0.83
Συντελεστής βάρους x	0.2
Πλήθος Υποκλάδων	3

Αποτελέσματα: R43

Παροχή Αιχμής(M3/S)	1128.11
Χρονική στιγμή αιχμής	01Sep2000, 14:45
Όγκος(MM)	182.27
Παροχή Αιχμής Εισόδου (M3/S)	1150.74
Όγκος Εισροής(M3)	3.13E7

Απορροή



Κλάδος: R54

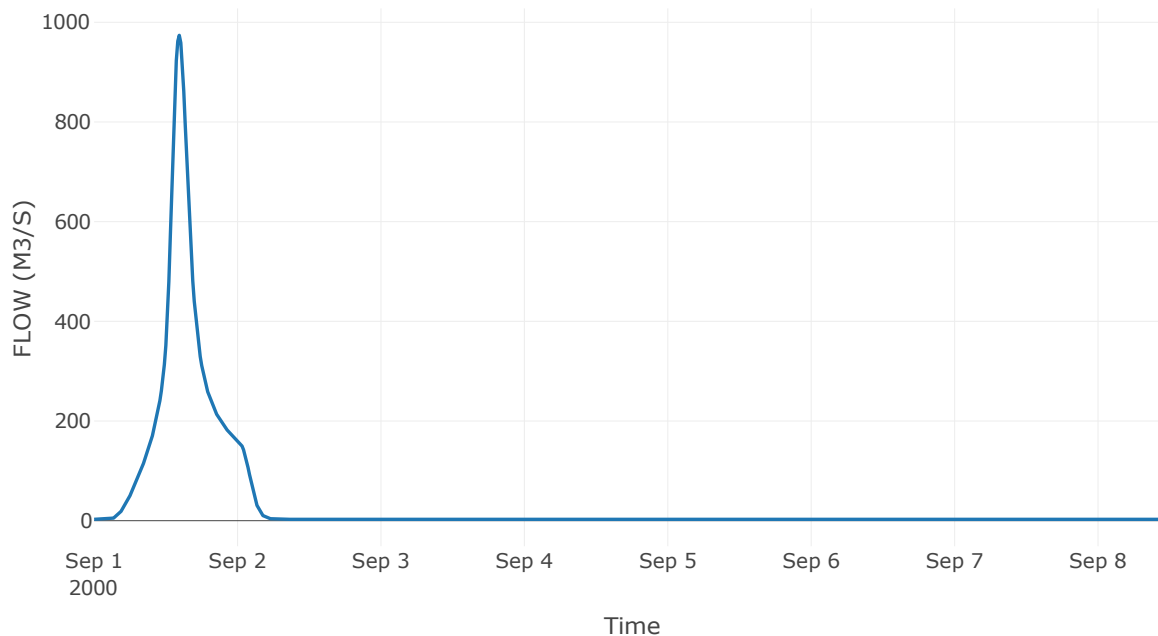
Κατάντη : J4

Μέθοδος Διόδευσης	Muskingum
Αρχική Μεταβλητή	Combined Inflow
Χρόνος Ροής K	0.26
Συντελεστής βάρους x	0.2
Πλήθος Υποκλάδων	1

Αποτελέσματα: R54

Παροχή Αιχμής(M3/S)	973.91
Χρονική στιγμή αιχμής	01Sep2000, 14:15
Όγκος(MM)	179.22
Παροχή Αιχμής Εισόδου (M3/S)	982.44
Όγκος Εισροής(M3)	2.49E7

Απορροή



Κλάδος: R65

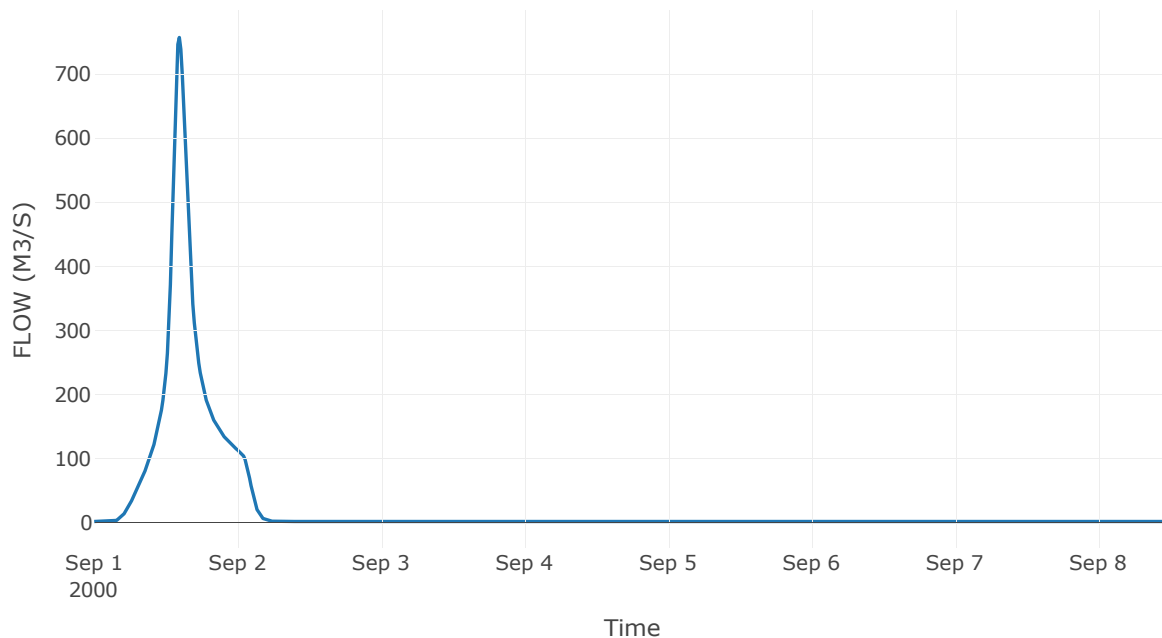
Κατάντη : J5

Μέθοδος Διόδευσης	Muskingum
Αρχική Μεταβλητή	Combined Inflow
Χρόνος Ροής K	0.71
Συντελεστής βάρους x	0.2
Πλήθος Υποκλάδων	3

Αποτελέσματα: R65

Παροχή Αιχμής(M3/S)	757.38
Χρονική στιγμή αιχμής	01Sep2000, 14:15
Όγκος(MM)	175.42
Παροχή Αιχμής Εισόδου (M3/S)	784.59
Όγκος Εισροής(M3)	1.77E7

Απορροή



Κλάδος: R76

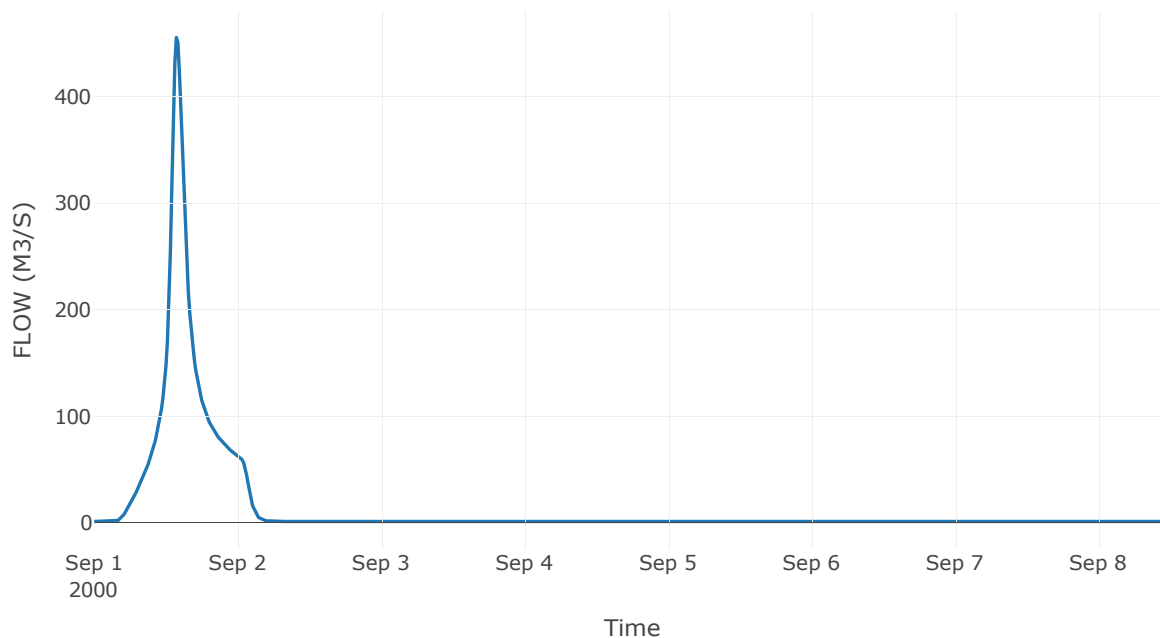
Κατάντη : J6

Μέθοδος Διόδευσης	Muskingum
Αρχική Μεταβλητή	Combined Inflow
Χρόνος Ροής K	0.7
Συντελεστής βάρους x	0.2
Πλήθος Υποκλάδων	3

Αποτελέσματα: R76

Παροχή Αιχμής(M3/S)	455.52
Χρονική στιγμή αιχμής	01Sep2000, 13:45
Όγκος(MM)	168.83
Παροχή Αιχμής Εισόδου (M3/S)	478.56
Όγκος Εισροής(M3)	9.85E6

Απορροή



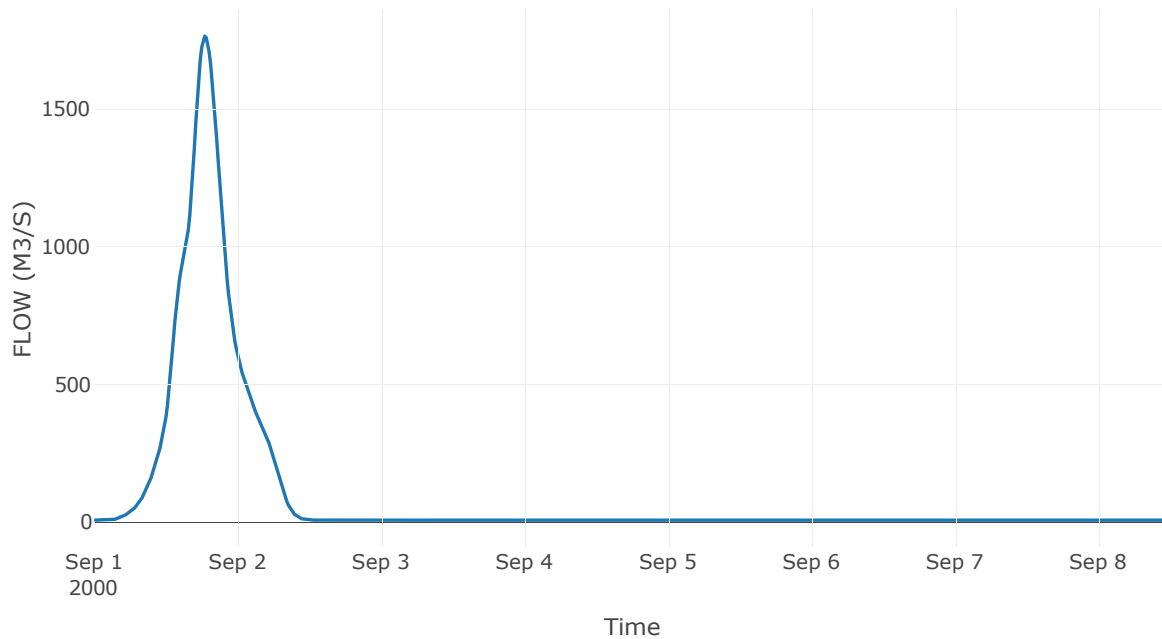
7.3 Δεδομένα και υδρογραφήματα σχεδιασμού Κόμβων υδρογραφικού δικτύου

Κόμβος εξόδου: J19

Αποτελέσματ
α: J19

Παροχή αιχμής (M3/S)	1765.65
Χρονική στιγμή αιχμής	01Sep2000, 18:30
Όγκος (MM)	186.3

Απορροή



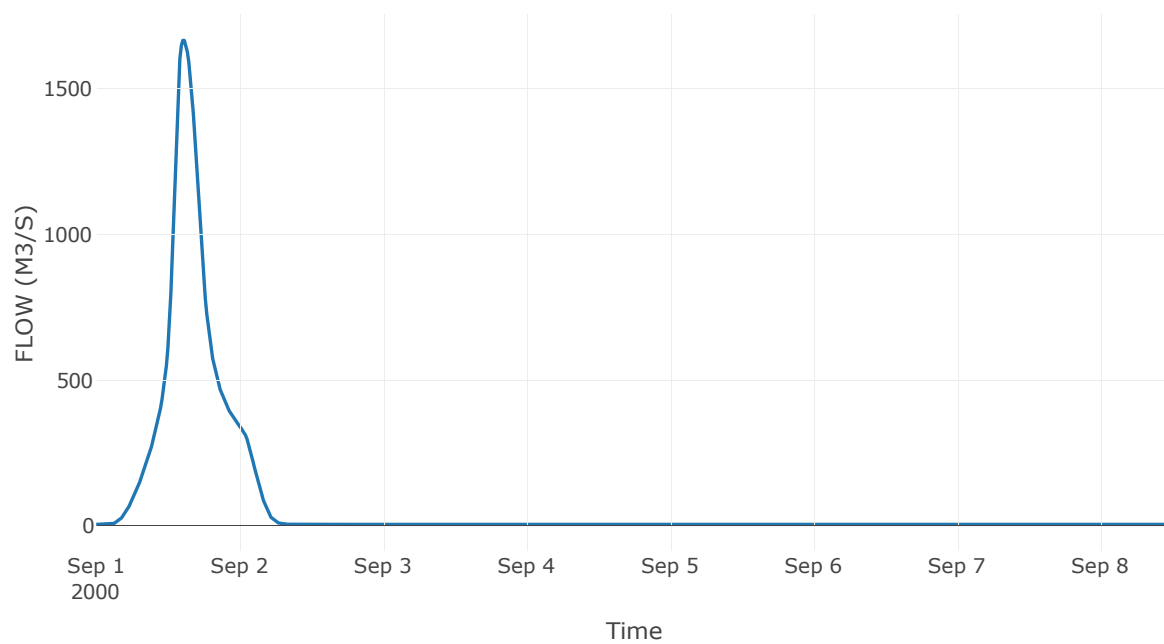
Κόμβος: J2

Κατάντη : R219

Αποτελέσματα: J2

Παροχή Αιχμής(M3/S)	1665.17
Χρονική στιγμή αιχμής	01Sep2000, 14:30
Όγκος(MM)	186.86

Απορροή



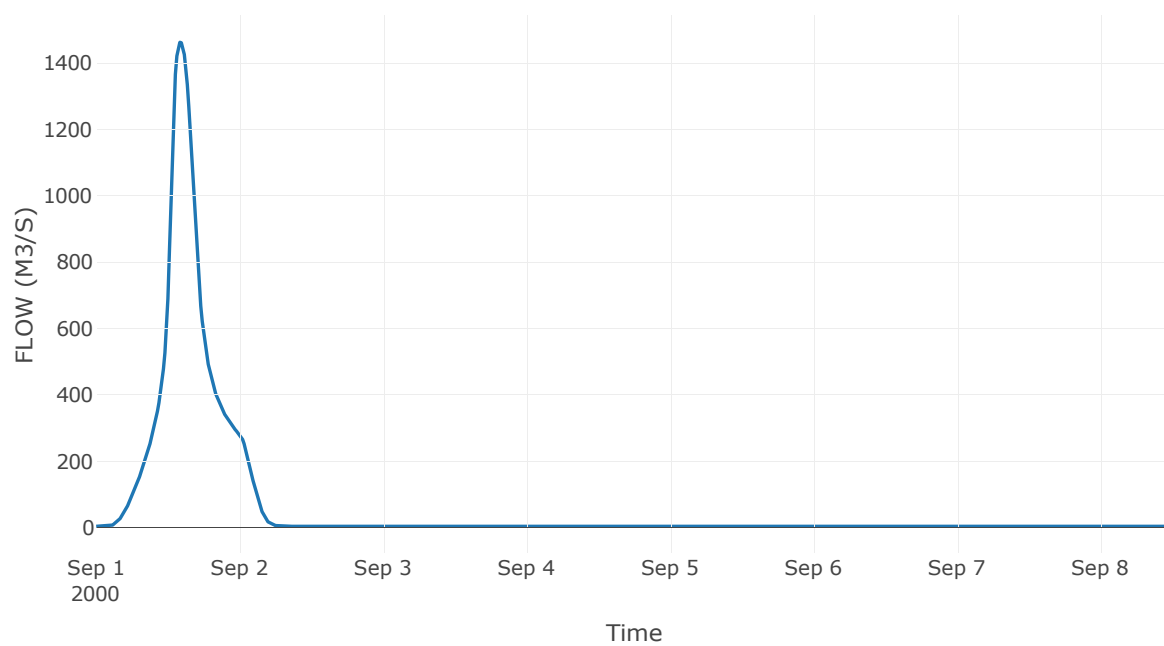
Κόμβος: J3

Κατάντη : R32

Αποτελέσματα: J3

Παροχή Αιχμής(M3/S)	1462.76
Χρονική στιγμή αιχμής	01Sep2000, 14:00
Όγκος(MM)	185.66

Απορροή



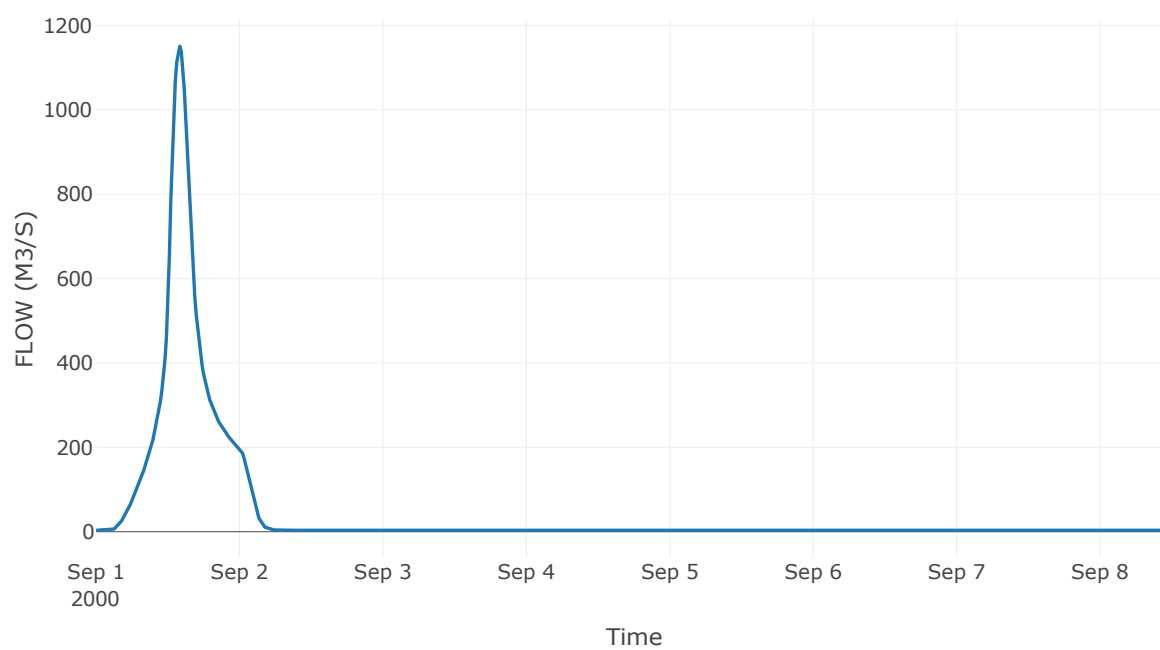
Κόμβος: J4

Κατάντη : R43

Αποτελέσματα: J4

Παροχή Αιχμής(M3/S)	1150.74
Χρονική στιγμή αιχμής	01Sep2000, 14:00
Όγκος(MM)	182.27

Απορροή



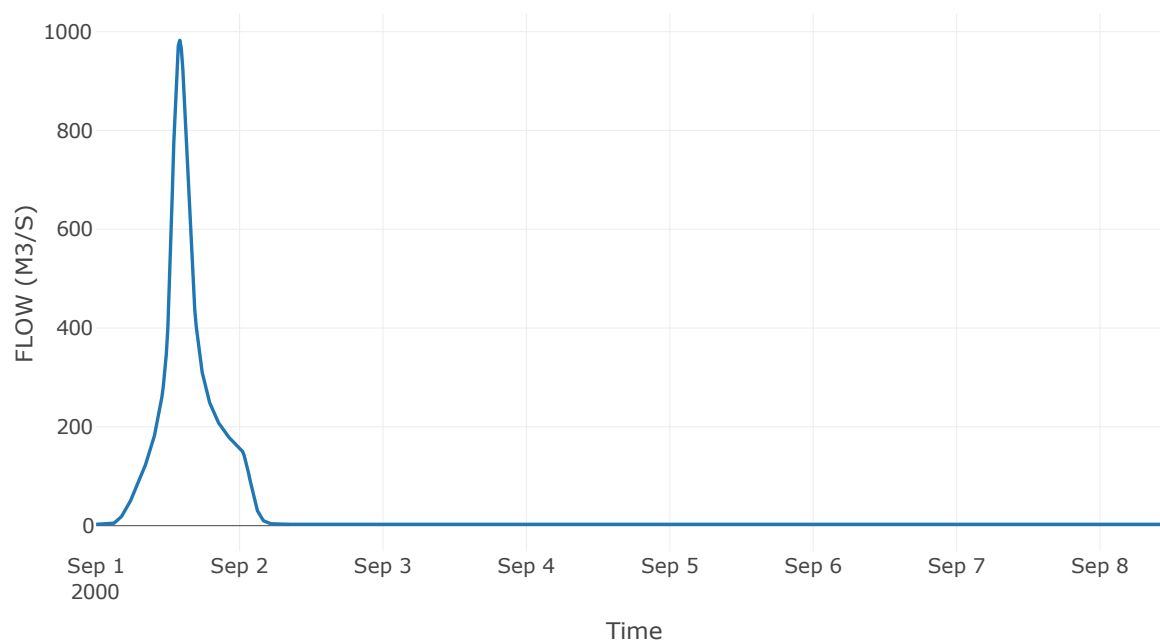
Κόμβος: J5

Κατάντη : R54

Αποτελέσματα: J5

Παροχή Αιχμής(M3/S)	982.44
Χρονική στιγμή αιχμής	01Sep2000, 14:00
Όγκος(MM)	179.22

Απορροή



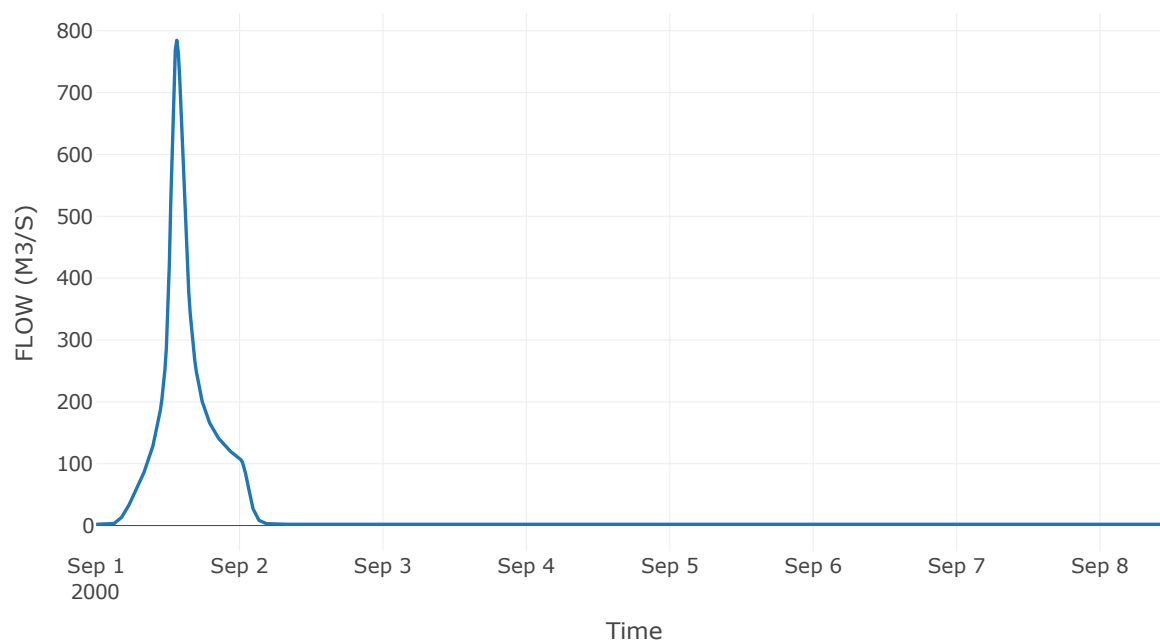
Κόμβος: J6

Κατάντη : R65

Αποτελέσματα: J6

Παροχή Αιχμής(M3/S)	784.59
Χρονική στιγμή αιχμής	01Sep2000, 13:30
Όγκος(MM)	175.42

Απορροή



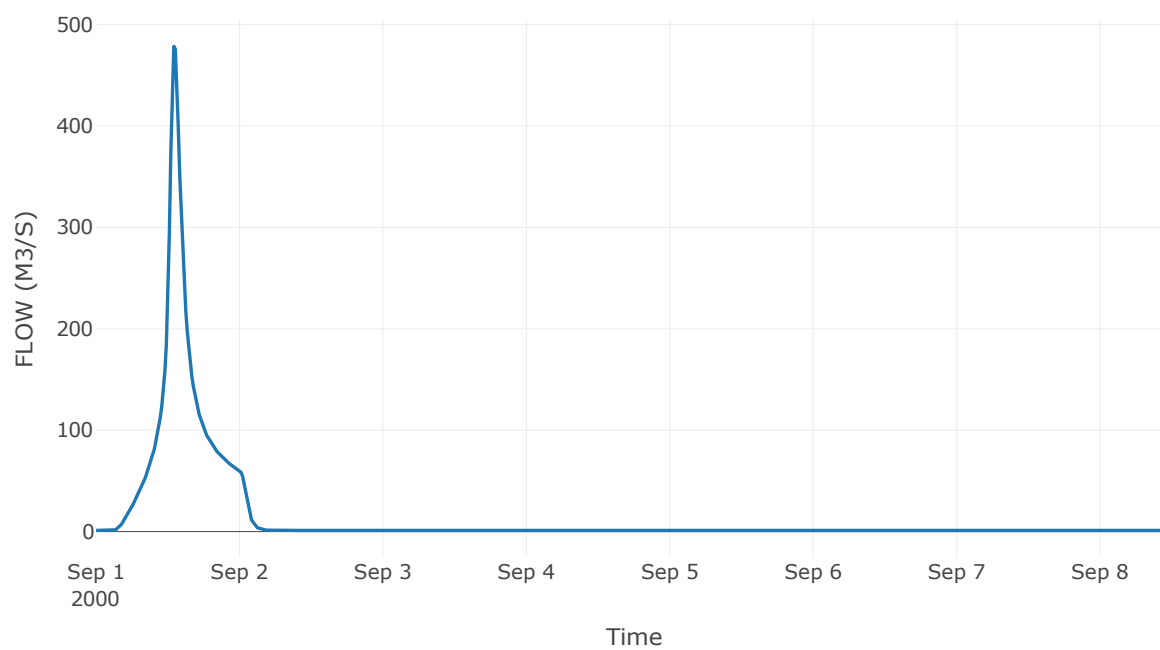
Κόμβος: J7

Κατάντη : R76

Αποτελέσματα: J7

Παροχή Αιχμής(M3/S)	478.56
Χρονική στιγμή αιχμής	01Sep2000, 13:00
Όγκος(MM)	168.83

Απορροή



8 Δεδομένα εισόδου και αποτελέσματα υδρολογικού σεναρίου $T=1000$

8.1 Αποτελέσματα, υετογραφήματα και υδρογραφήματα σχεδιασμού υπολεκανών

Υπολεκάνη: EL0415FR0020001

Έκταση (KM2) : 76.58

Κατάντη : J19

Μέθοδος Απωλειών: SCS

Ποσοστό αδιαπέρατης επιφάνειας	0
Αριθμός Καμπύλης Απορροής-CN	82.85
Αρχικές Απώλειες	10.52

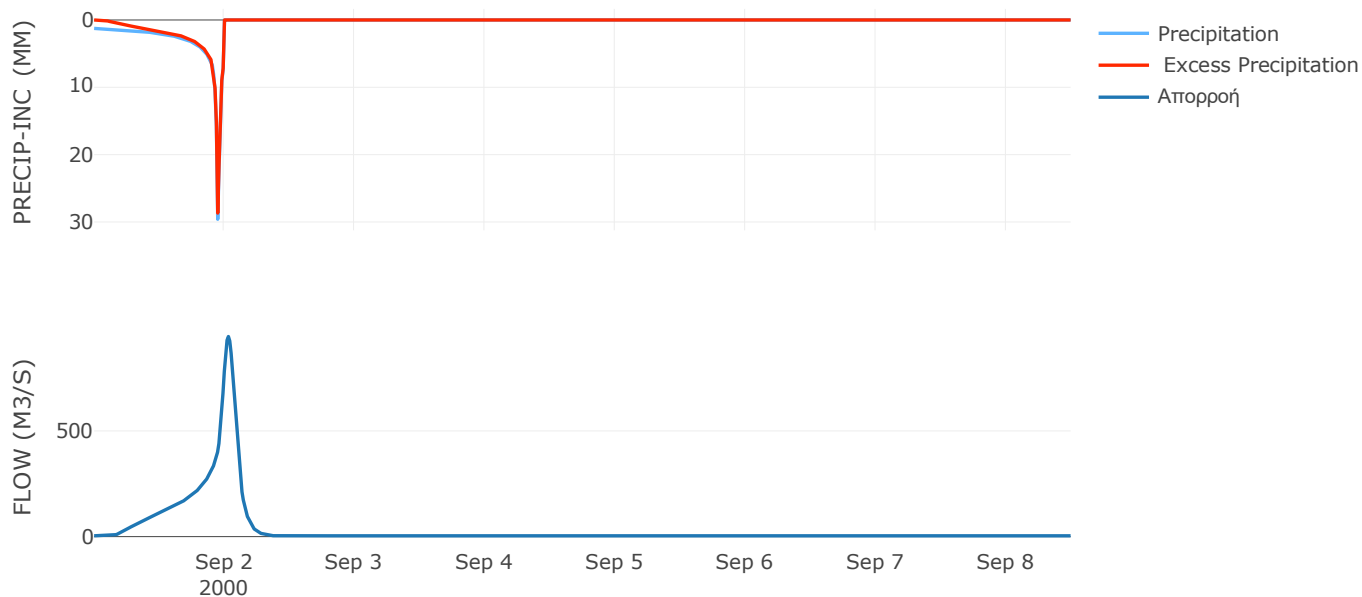
Μέθοδος Μετασχηματισμού:
Scs

Χρόνος Υστέρησης	111.61
------------------	--------

Αποτελέσματα:
EL0415FR0020001

Παροχή αιχμής (M3/S)	946.86
Χρονική στιγμή αιχμής	02Sep2000, 00:45
Όγκος (MM)	298.67
Όγκος βροχόπτωσης (M3)	2.46E7
Όγκος απωλειών (M3)	4.25E6
Ενεργός Όγκος (M3)	2.04E7
Όγκος άμεσης απορροής (M3)	2.04E7
Όγκος βασικής απορροής (M3)	2.48E6

Βροχόπτωση και Απορροή



Υπολεκάνη: EL0415FR0020002

Έκταση (KM2) : 39.41

Κατάντη : J2

Μέθοδος Απωλειών: SCS

Ποσοστό αδιαπέρατης επιφάνειας	0
Αριθμός Καμπύλης Απορροής-CN	80.98
Αρχικές Απώλειες	11.93

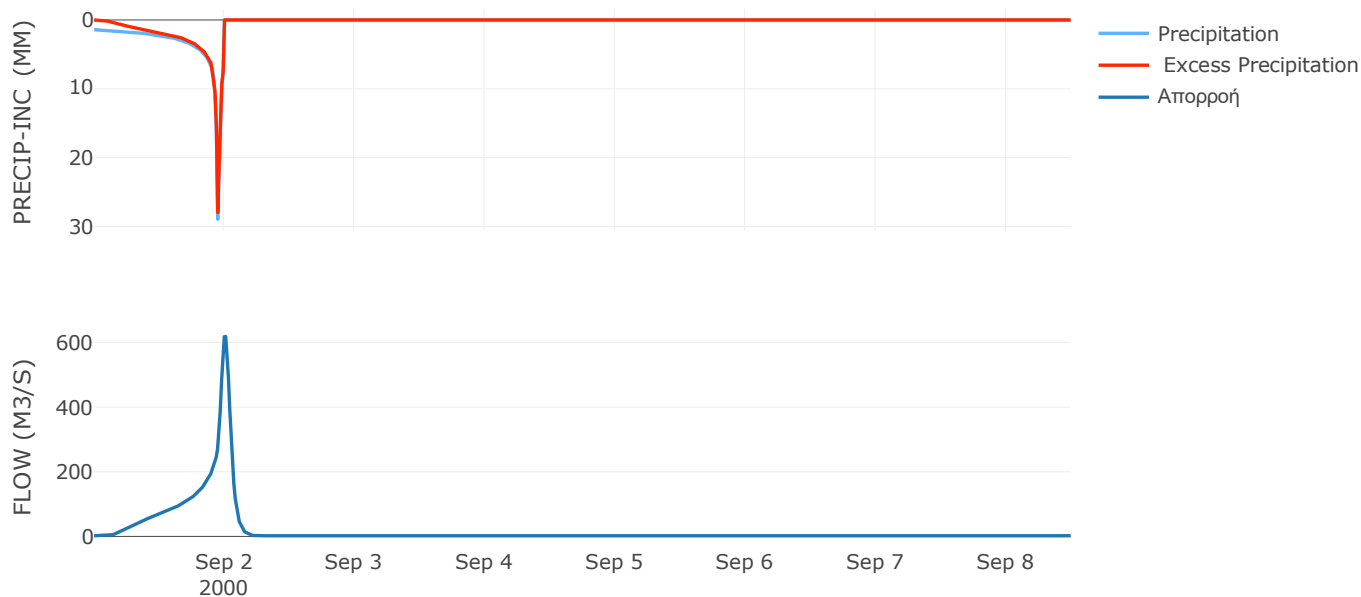
Μέθοδος Μετασχηματισμού:
Scs

Χρόνος Υστέρησης	68.66
------------------	-------

Αποτελέσματα:
EL0415FR0020002

Παροχή αιχμής (M3/S)	618.48
Χρονική στιγμή αιχμής	02Sep2000, 00:15
Όγκος (MM)	313.23
Όγκος βροχόπτωσης (M3)	1.35E7
Όγκος απωλειών (M3)	2.46E6
Ενεργός Όγκος (M3)	1.11E7
Όγκος άμεσης απορροής (M3)	1.11E7
Όγκος βασικής απορροής (M3)	1.28E6

Βροχόπτωση και Απορροή



Υπολεκάνη: EL0415FR0020003

Έκταση (KM2) : 14.18

Κατάντη : J3

Μέθοδος Απωλειών: SCS

Ποσοστό αδιαπέρατης επιφάνειας	0
Αριθμός Καμπύλης Απορροής-CN	80.02
Αρχικές Απώλειες	12.68

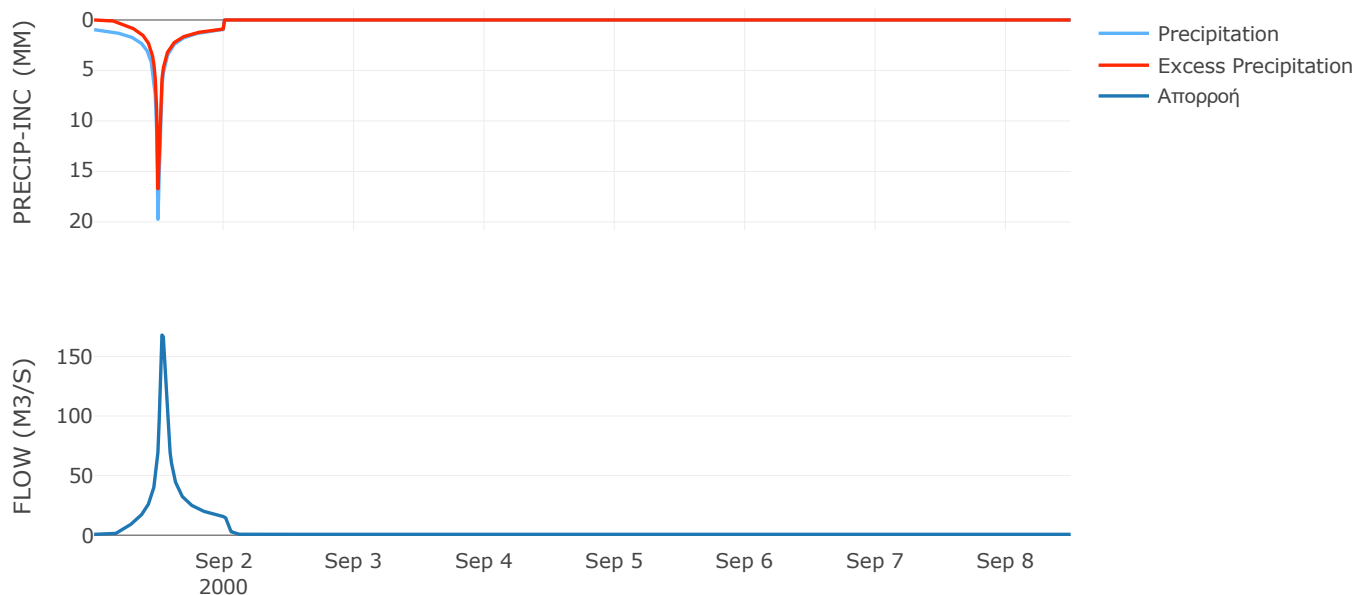
Μέθοδος Μετασχηματισμού:
Scs

Χρόνος Υστέρησης	35.73
------------------	-------

Αποτελέσματα:
EL0415FR0020003

Παροχή αιχμής (M3/S)	168
Χρονική στιγμή αιχμής	01Sep2000, 12:30
Όγκος (MM)	203.09
Όγκος βροχόπτωσης (M3)	3.3E6
Όγκος απωλειών (M3)	8.78E5
Ενεργός Όγκος (M3)	2.42E6
Όγκος άμεσης απορροής (M3)	2.42E6
Όγκος βασικής απορροής (M3)	4.6E5

Βροχόπτωση και Απορροή



Υπολεκάνη: EL0415FR0020004

Έκταση (KM2) : 38.04

Κατάντη : J3

Μέθοδος Απωλειών: SCS

Ποσοστό αδιαπέρατης επιφάνειας	0
Αριθμός Καμπύλης Απορροής-CN	75.6
Αρχικές Απώλειες	16.39

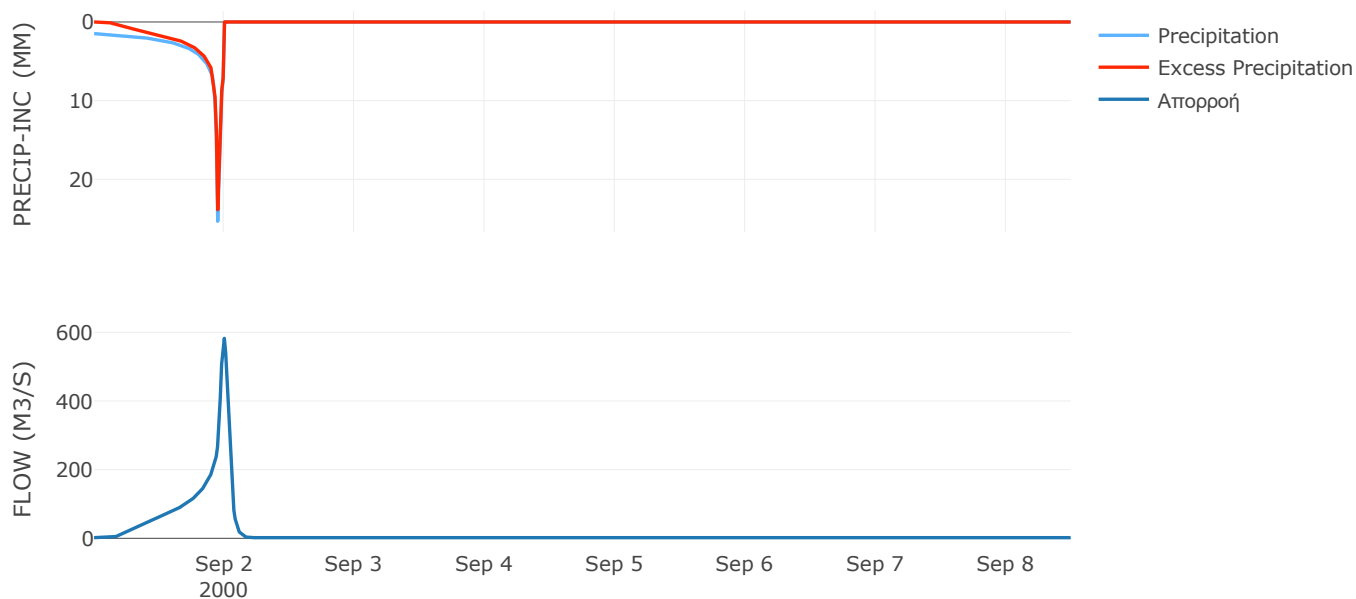
Μέθοδος Μετασχηματισμού:
Scs

Χρόνος Υστέρησης	54.86
------------------	-------

Αποτελέσματα:
EL0415FR0020004

Παροχή αιχμής (M3/S)	582.32
Χρονική στιγμή αιχμής	01Sep2000, 24:00
Όγκος (MM)	286.8
Όγκος βροχόπτωσης (M3)	1.28E7
Όγκος απωλειών (M3)	3.11E6
Ενεργός Όγκος (M3)	9.68E6
Όγκος άμεσης απορροής (M3)	9.68E6
Όγκος βασικής απορροής (M3)	1.23E6

Βροχόπτωση και Απορροή



Υπολεκάνη: EL0415FR0020005

Έκταση (KM2) : 14

Κατάντη : J3

Μέθοδος Απωλειών: SCS

Ποσοστό αδιαπέρατης επιφάνειας	0
Αριθμός Καμπύλης Απορροής-CN	80.06
Αρχικές Απώλειες	12.65

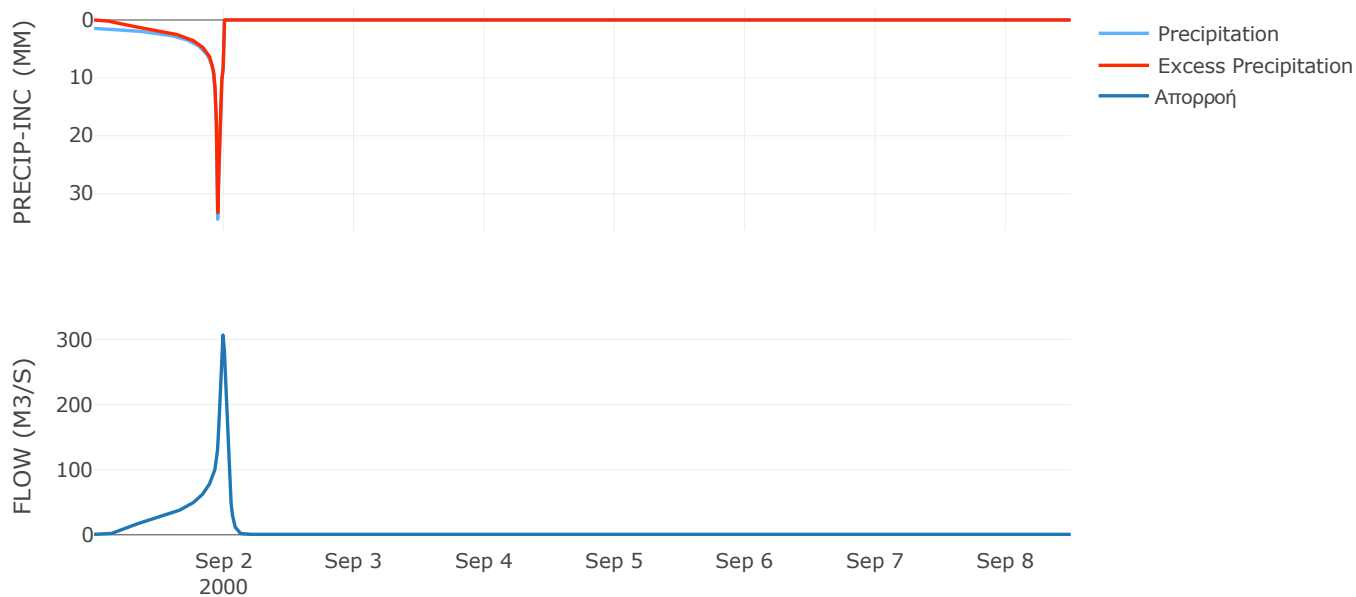
Μέθοδος Μετασχηματισμού:
Scs

Χρόνος Υστέρησης	43.3
------------------	------

Αποτελέσματα:
EL0415FR0020005

Παροχή αιχμής (M3/S)	306.63
Χρονική στιγμή αιχμής	01Sep2000, 23:45
Όγκος (MM)	340.03
Όγκος βροχόπτωσης (M3)	5.24E6
Όγκος απωλειών (M3)	9.31E5
Ενεργός Όγκος (M3)	4.31E6
Όγκος άμεσης απορροής (M3)	4.31E6
Όγκος βασικής απορροής (M3)	4.54E5

Βροχόπτωση και Απορροή



Υπολεκάνη: EL0415FR0020006

Έκταση (KM2) : 32.61

Κατάντη : J4

Μέθοδος Απωλειών: SCS

Ποσοστό αδιαπέρατης επιφάνειας	0
Αριθμός Καμπύλης Απορροής-CN	72.74
Αρχικές Απώλειες	19.03

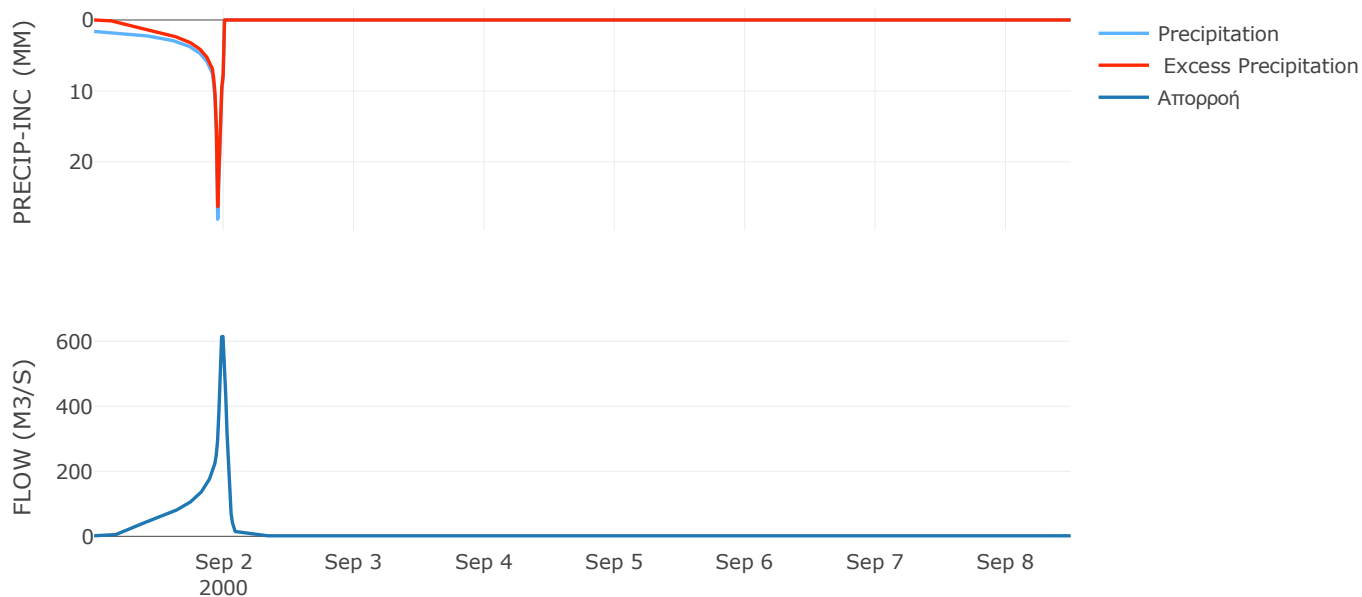
Μέθοδος Μετασχηματισμού:
Scs

Χρόνος Υστέρησης	37.66
------------------	-------

Αποτελέσματα:
EL0415FR0020006

Παροχή αιχμής (M3/S)	614.72
Χρονική στιγμή αιχμής	01Sep2000, 23:45
Όγκος (MM)	308.12
Όγκος βροχόπτωσης (M3)	1.21E7
Όγκος απωλειών (M3)	3.06E6
Ενεργός Όγκος (M3)	8.99E6
Όγκος άμεσης απορροής (M3)	8.99E6
Όγκος βασικής απορροής (M3)	1.06E6

Βροχόπτωση και Απορροή



Υπολεκάνη: EL0415FR0020007

Έκταση (KM2) : 37.84

Κατάντη : J5

Μέθοδος Απωλειών: SCS

Ποσοστό αδιαπέρατης επιφάνειας	0
Αριθμός Καμπύλης Απορροής-CN	74.98
Αρχικές Απώλειες	16.95

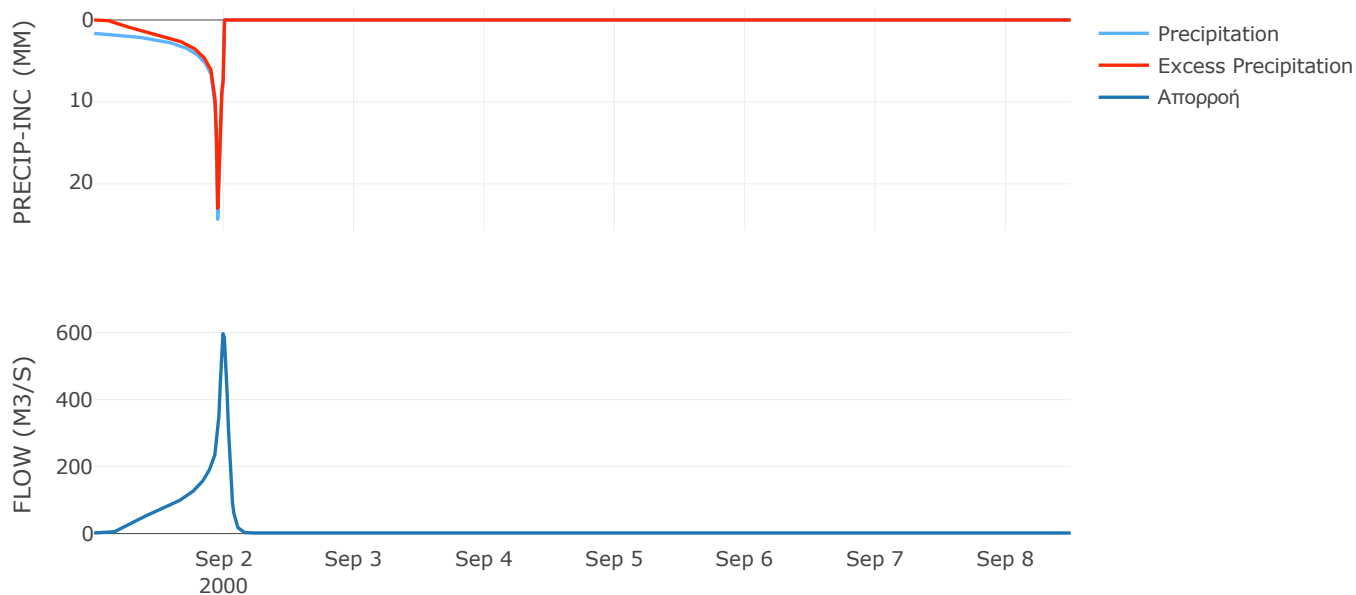
Μέθοδος Μετασχηματισμού:
Scs

Χρόνος Υστέρησης	49.17
------------------	-------

Αποτελέσματα:
EL0415FR0020007

Παροχή αιχμής (M3/S)	596.7
Χρονική στιγμή αιχμής	01Sep2000, 23:45
Όγκος (MM)	300.59
Όγκος βροχόπτωσης (M3)	1.34E7
Όγκος απωλειών (M3)	3.2E6
Ενεργός Όγκος (M3)	1.01E7
Όγκος άμεσης απορροής (M3)	1.01E7
Όγκος βασικής απορροής (M3)	1.23E6

Βροχόπτωση και Απορροή



Υπολεκάνη: EL0415FR0020008

Έκταση (KM2) : 42.76

Κατάντη : J6

Μέθοδος Απωλειών: SCS

Ποσοστό αδιαπέρατης επιφάνειας	0
Αριθμός Καμπύλης Απορροής-CN	74.13
Αρχικές Απώλειες	17.72

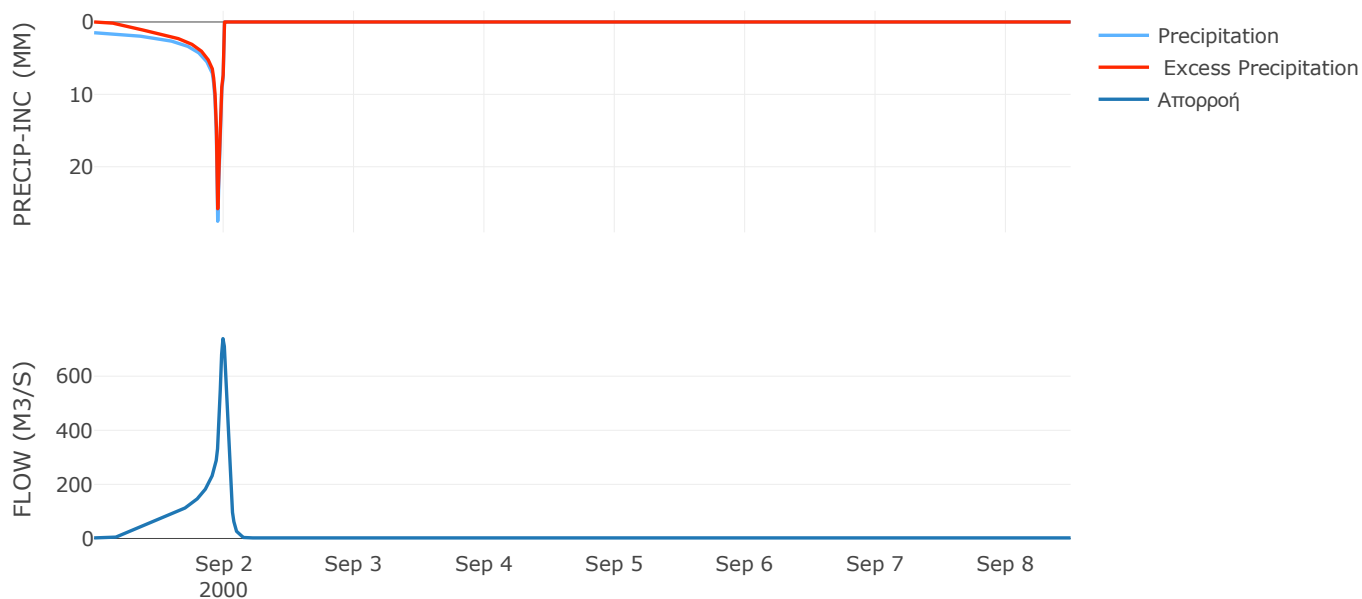
Μέθοδος Μετασχηματισμού:
Scs

Χρόνος Υστέρησης	46.93
------------------	-------

Αποτελέσματα:
EL0415FR0020008

Παροχή αιχμής (M3/S)	739.01
Χρονική στιγμή αιχμής	01Sep2000, 23:45
Όγκος (MM)	291.82
Όγκος βροχόπτωσης (M3)	1.48E7
Όγκος απωλειών (M3)	3.74E6
Ενεργός Όγκος (M3)	1.11E7
Όγκος άμεσης απορροής (M3)	1.11E7
Όγκος βασικής απορροής (M3)	1.39E6

Βροχόπτωση και Απορροή



Υπολεκάνη: EL0415FR0020009

Έκταση (KM2) : 58.35

Κατάντη : J7

Μέθοδος Απωλειών: SCS

Ποσοστό αδιαπέρατης επιφάνειας	0
Αριθμός Καμπύλης Απορροής-CN	70.13
Αρχικές Απώλειες	21.63

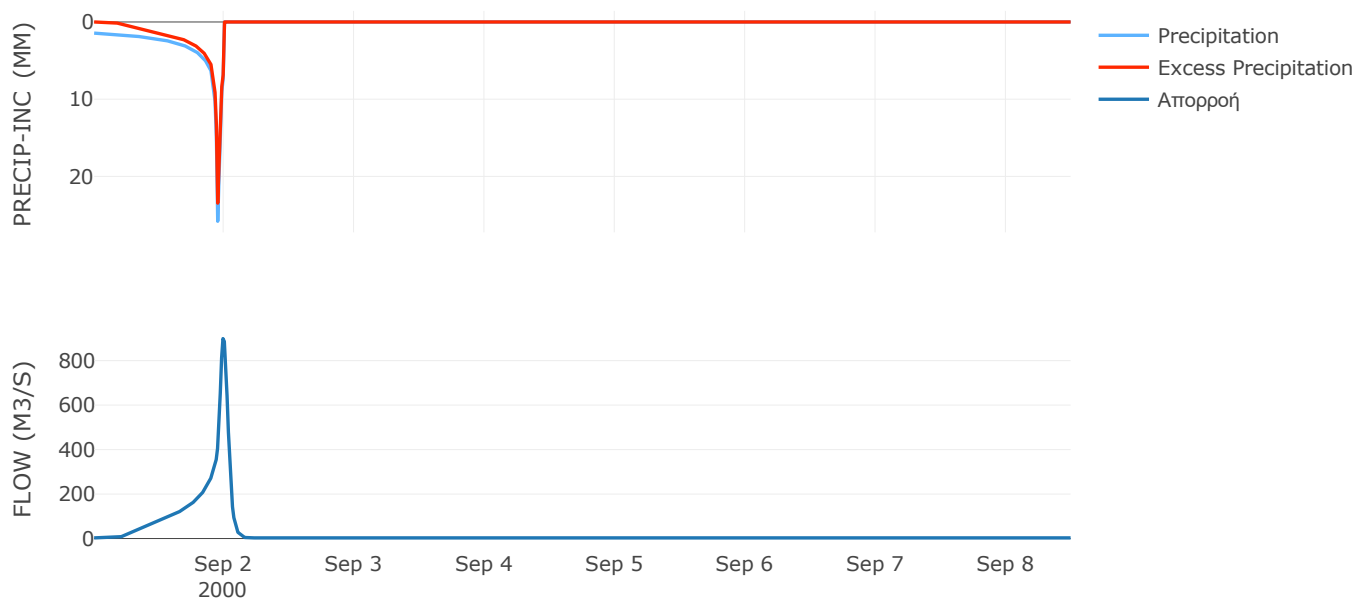
Μέθοδος Μετασχηματισμού:
Scs

Χρόνος Υστέρησης	49.8
------------------	------

Αποτελέσματα:
EL0415FR0020009

Παροχή αιχμής (M3/S)	899.04
Χρονική στιγμή αιχμής	01Sep2000, 23:45
Όγκος (MM)	263.71
Όγκος βροχόπτωσης (M3)	1.94E7
Όγκος απωλειών (M3)	5.95E6
Ενεργός Όγκος (M3)	1.35E7
Όγκος άμεσης απορροής (M3)	1.35E7
Όγκος βασικής απορροής (M3)	1.89E6

Βροχόπτωση και Απορροή



8.2 Δεδομένα και υδρογραφήματα σχεδιασμού Κλάδων υδρογραφικού δικτύου

Κλάδος: R219

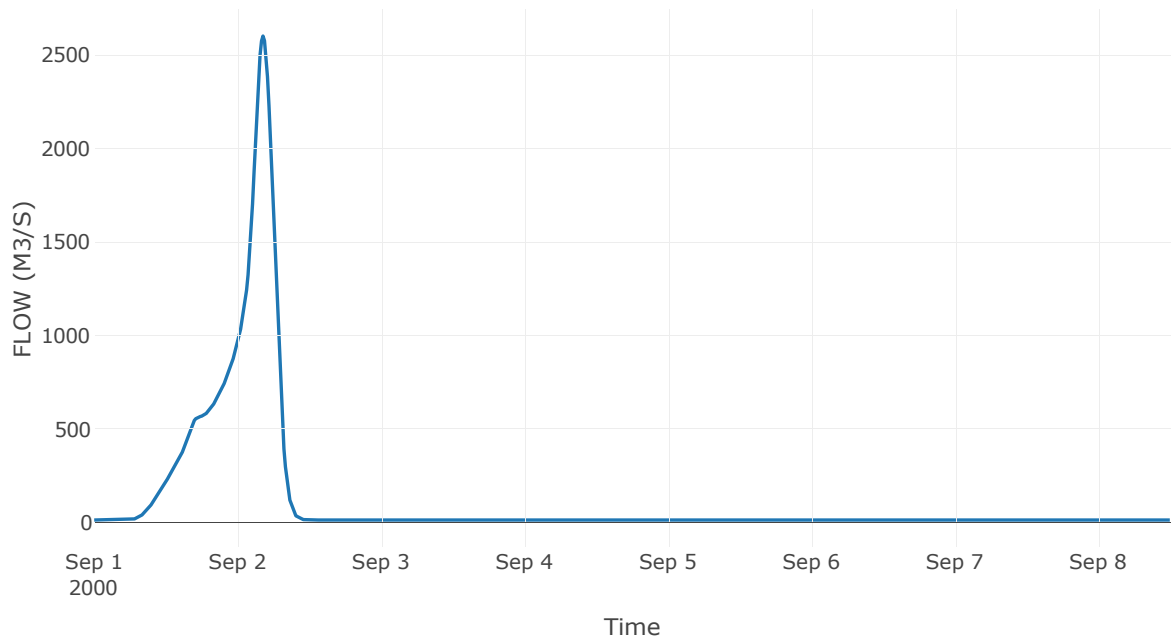
Κατάντη : J19

Μέθοδος Διόδευσης	Muskingum
Αρχική Μεταβλητή	Combined Inflow
Χρόνος Ροής Κ	3.31
Συντελεστής βάρους α	0.2
Πλήθος Υποκλάδων	13

Αποτελέσματα: R219

Παροχή Αιχμής(M3/S)	2600.4
Χρονική στιγμή αιχμής	02Sep2000, 04:15
Όγκος(MM)	289.27
Παροχή Αιχμής Εισόδου (M3/S)	2851.56
Όγκος Εισροής(M3)	8.02E7

Απορροή



Κλάδος: R32

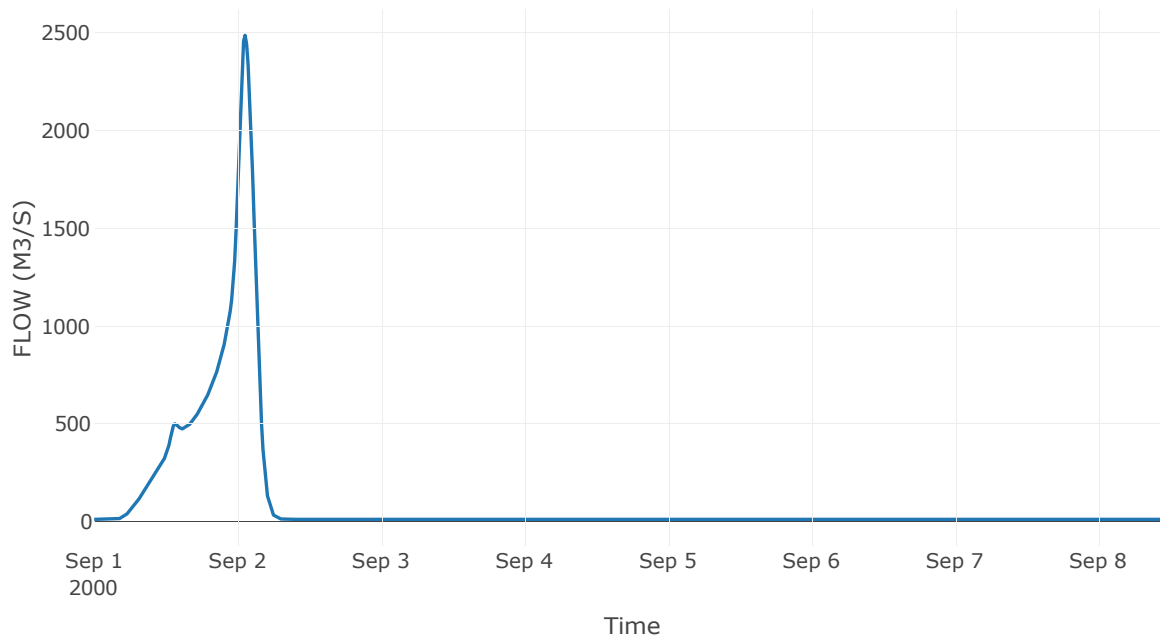
Κατάντη : J2

Μέθοδος Διόδευσης	Muskingum
Αρχική Μεταβλητή	Combined Inflow
Χρόνος Ροής K	0.75
Συντελεστής βάρους x	0.2
Πλήθος Υποκλάδων	3

Αποτελέσματα: R32

Παροχή Αιχμής(M3/S)	2486.66
Χρονική στιγμή αιχμής	02Sep2000, 01:15
Όγκος(MM)	285.3
Παροχή Αιχμής Εισόδου (M3/S)	2558.61
Όγκος Εισροής(M3)	6.78E7

Απορροή



Κλάδος: R43

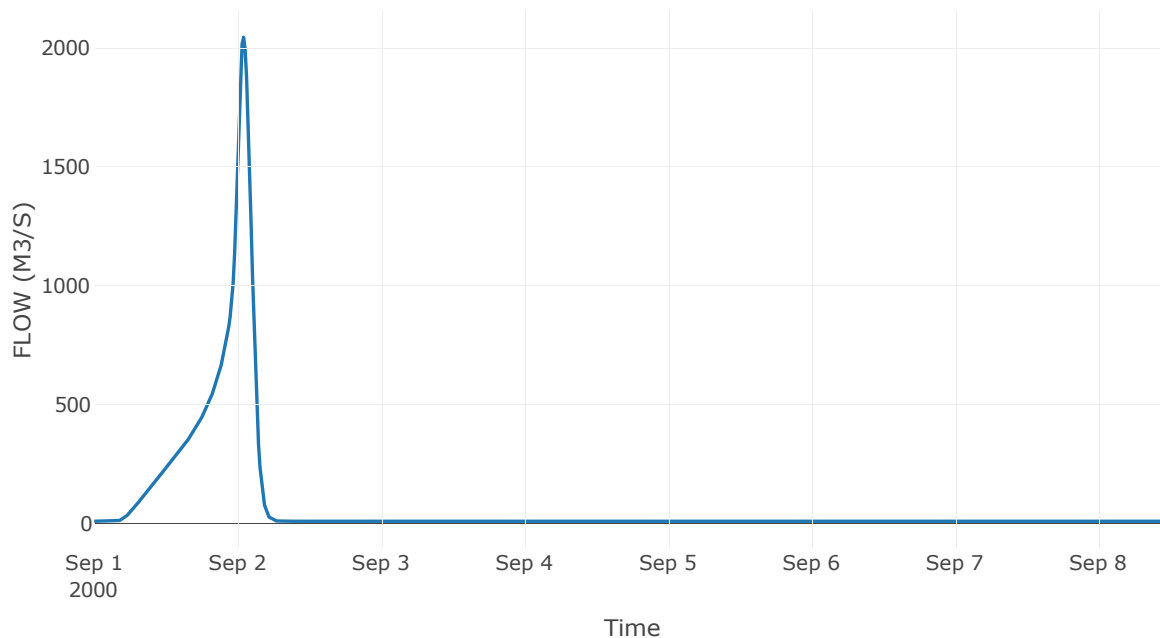
Κατάντη : J3

Μέθοδος Διόδευσης	Muskingum
Αρχική Μεταβλητή	Combined Inflow
Χρόνος Ροής K	0.71
Συντελεστής βάρους x	0.2
Πλήθος Υποκλάδων	3

Αποτελέσματα: R43

Παροχή Αιχμής(M3/S)	2043.8
Χρονική στιγμή αιχμής	02Sep2000, 01:00
Όγκος(MM)	287.29
Παροχή Αιχμής Εισόδου (M3/S)	2110.45
Όγκος Εισροής(M3)	4.93E7

Απορροή



Κλάδος: R54

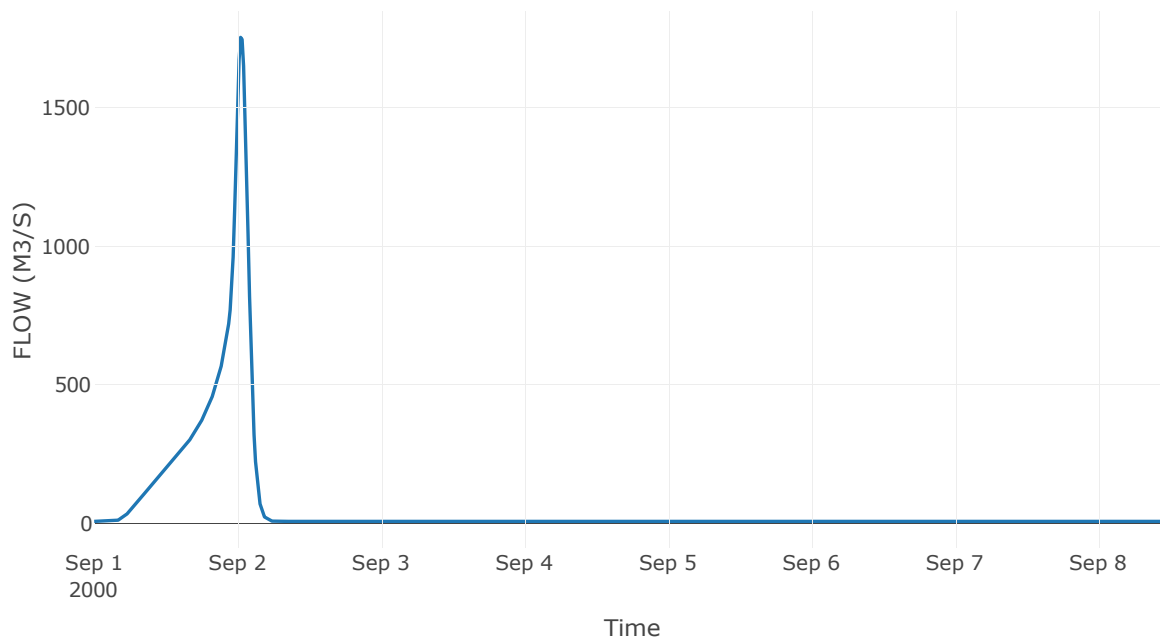
Κατάντη : J4

Μέθοδος Διόδευσης	Muskingum
Αρχική Μεταβλητή	Combined Inflow
Χρόνος Ροής K	0.22
Συντελεστής βάρους x	0.2
Πλήθος Υποκλάδων	1

Αποτελέσματα: R54

Παροχή Αιχμής(M3/S)	1754.15
Χρονική στιγμή αιχμής	02Sep2000, 00:30
Όγκος(MM)	282.4
Παροχή Αιχμής Εισόδου (M3/S)	1773.95
Όγκος Εισροής(M3)	3.92E7

Απορροή



Κλάδος: R65

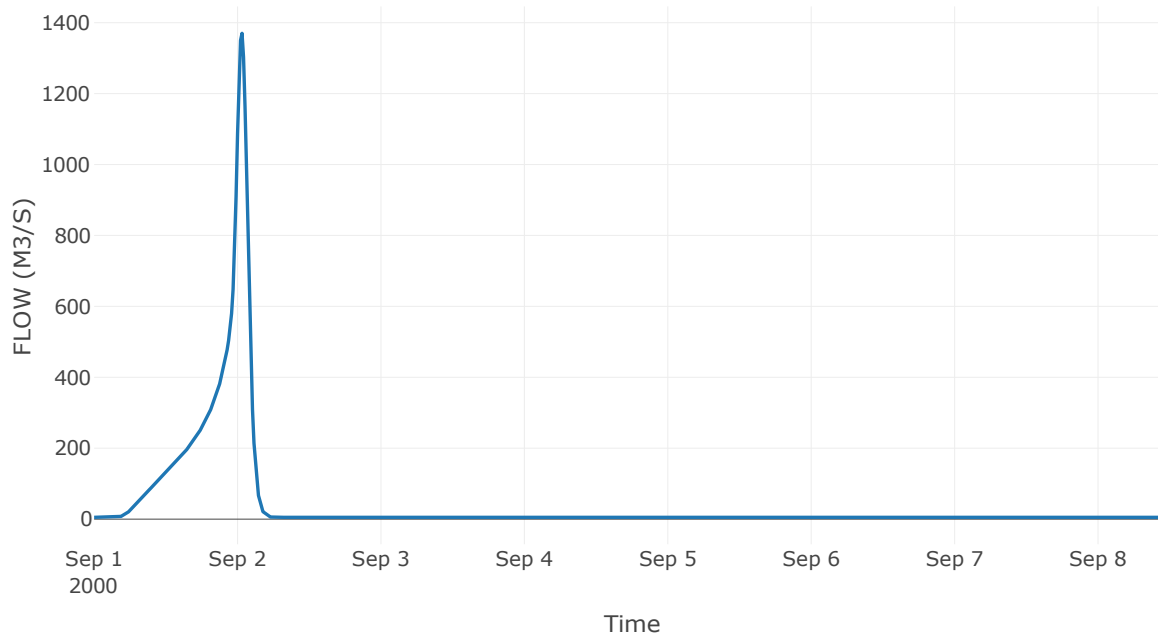
Κατάντη : J5

Μέθοδος Διόδευσης	Muskingum
Αρχική Μεταβλητή	Combined Inflow
Χρόνος Ροής K	0.61
Συντελεστής βάρους x	0.2
Πλήθος Υποκλάδων	2

Αποτελέσματα: R65

Παροχή Αιχμής(M3/S)	1370.02
Χρονική στιγμή αιχμής	02Sep2000, 00:45
Όγκος(MM)	275.6
Παροχή Αιχμής Εισόδου (M3/S)	1447.63
Όγκος Εισροής(M3)	2.79E7

Απορροή



Κλάδος: R76

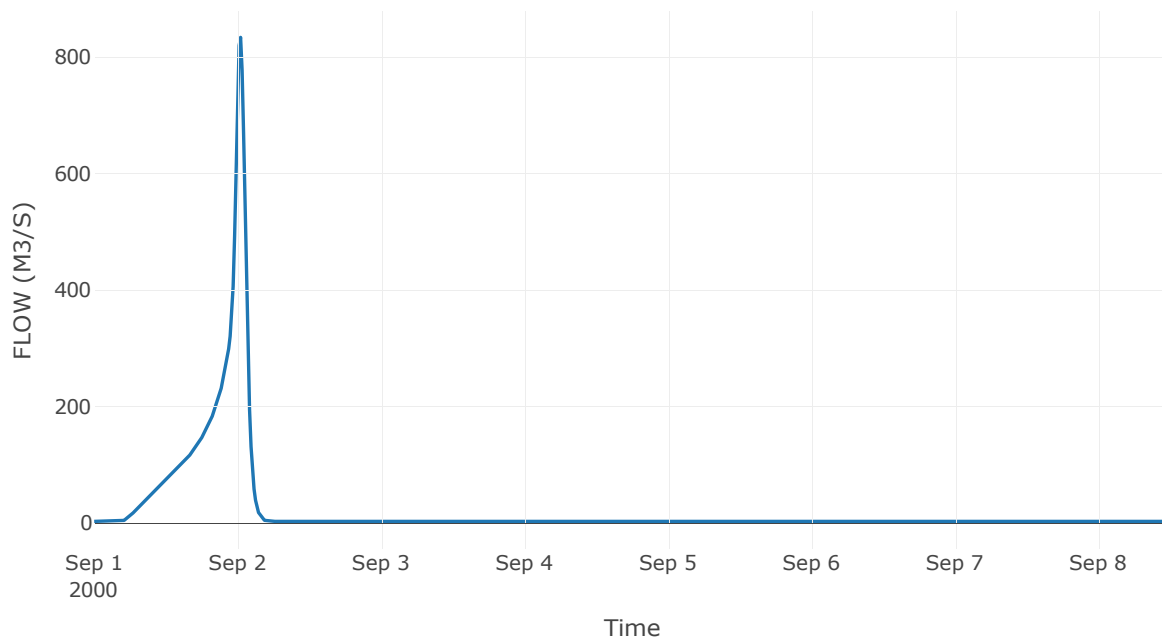
Κατάντη : J6

Μέθοδος Διόδευσης	Muskingum
Αρχική Μεταβλητή	Combined Inflow
Χρόνος Ροής K	0.6
Συντελεστής βάρους x	0.2
Πλήθος Υποκλάδων	2

Αποτελέσματα: R76

Παροχή Αιχμής(M3/S)	833.67
Χρονική στιγμή αιχμής	02Sep2000, 00:30
Όγκος(MM)	263.71
Παροχή Αιχμής Εισόδου (M3/S)	899.04
Όγκος Εισροής(M3)	1.54E7

Απορροή



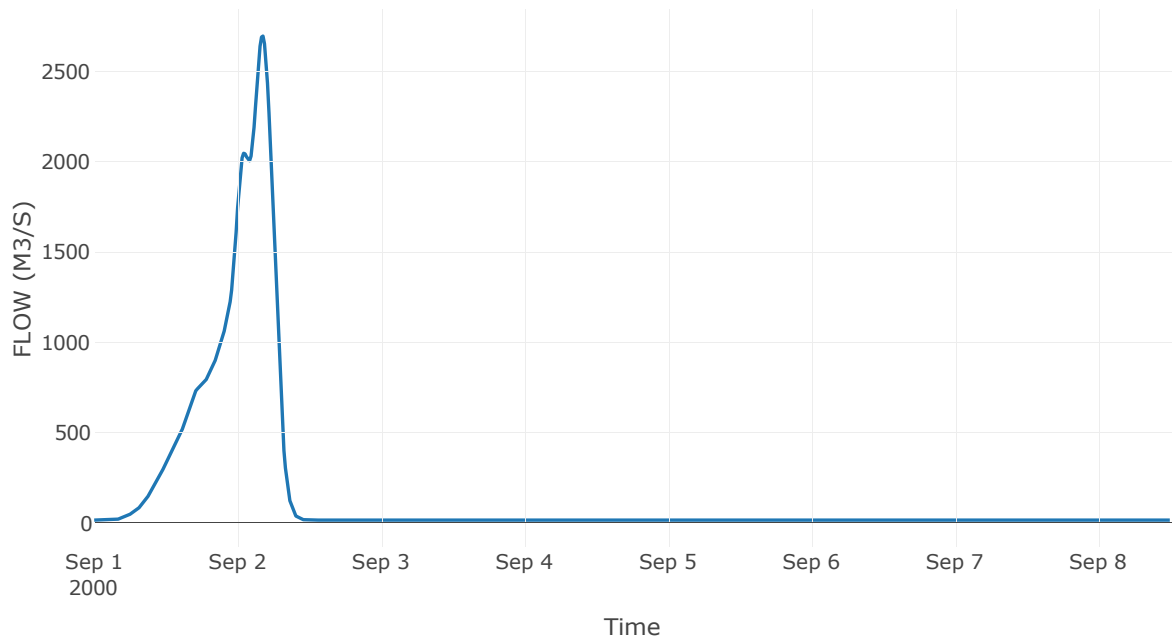
8.3 Δεδομένα και υδρογραφήματα σχεδιασμού Κόμβων υδρογραφικού δικτύου

Κόμβος εξόδου: J19

Αποτελέσματ
α: J19

Παροχή αιχμής (M3/S)	2695.63
Χρονική στιγμή αιχμής	02Sep2000, 04:15
Όγκος (MM)	291.3

Απορροή



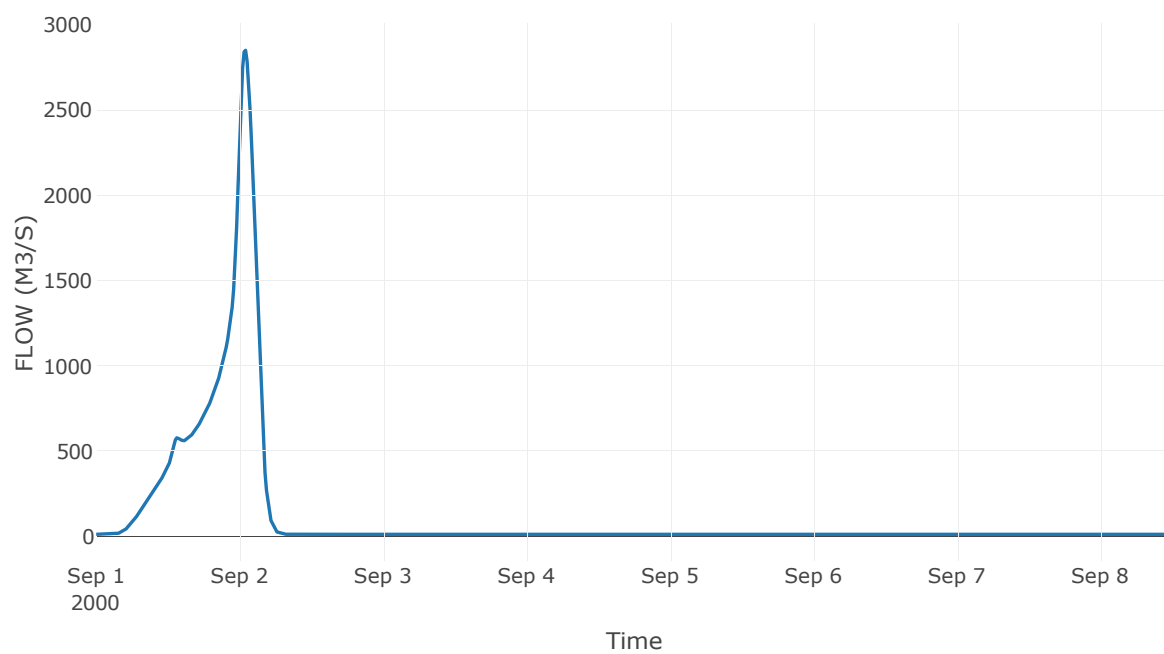
Κόμβος: J2

Κατάντη : R219

Αποτελέσματα: J2

Παροχή Αιχμής(M3/S)	2851.56
Χρονική στιγμή αιχμής	02Sep2000, 01:00
Όγκος(MM)	289.27

Απορροή



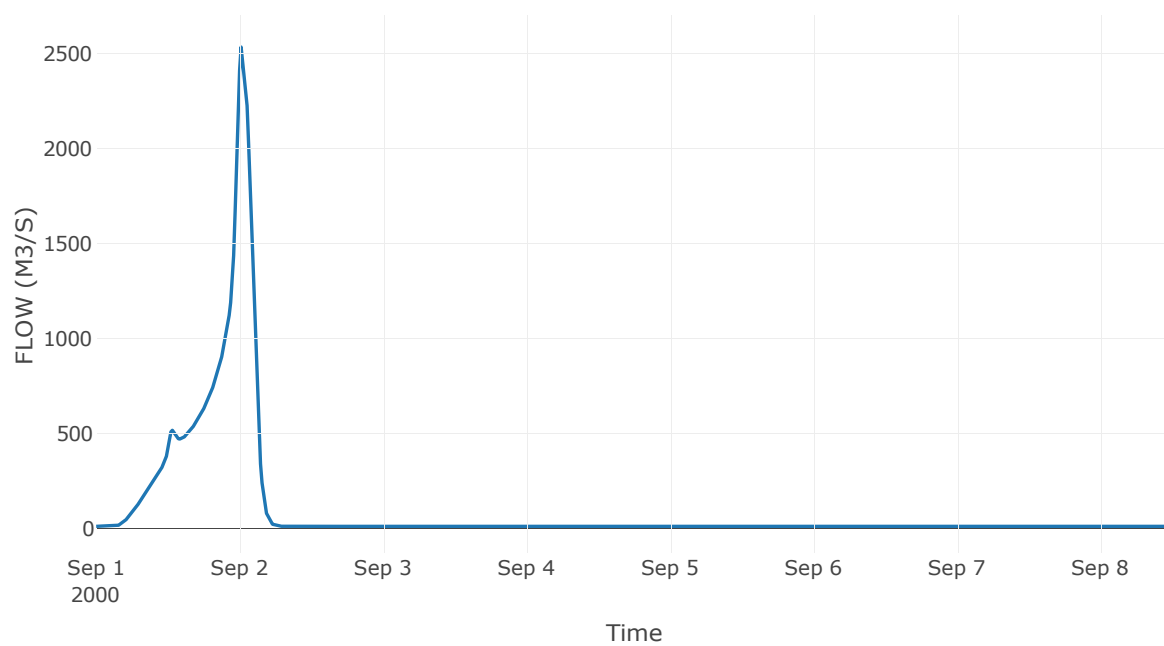
Κόμβος: J3

Κατάντη : R32

Αποτελέσματα: J3

Παροχή Αιχμής(M3/S)	2558.61
Χρονική στιγμή αιχμής	02Sep2000, 00:30
Όγκος(MM)	285.3

Απορροή



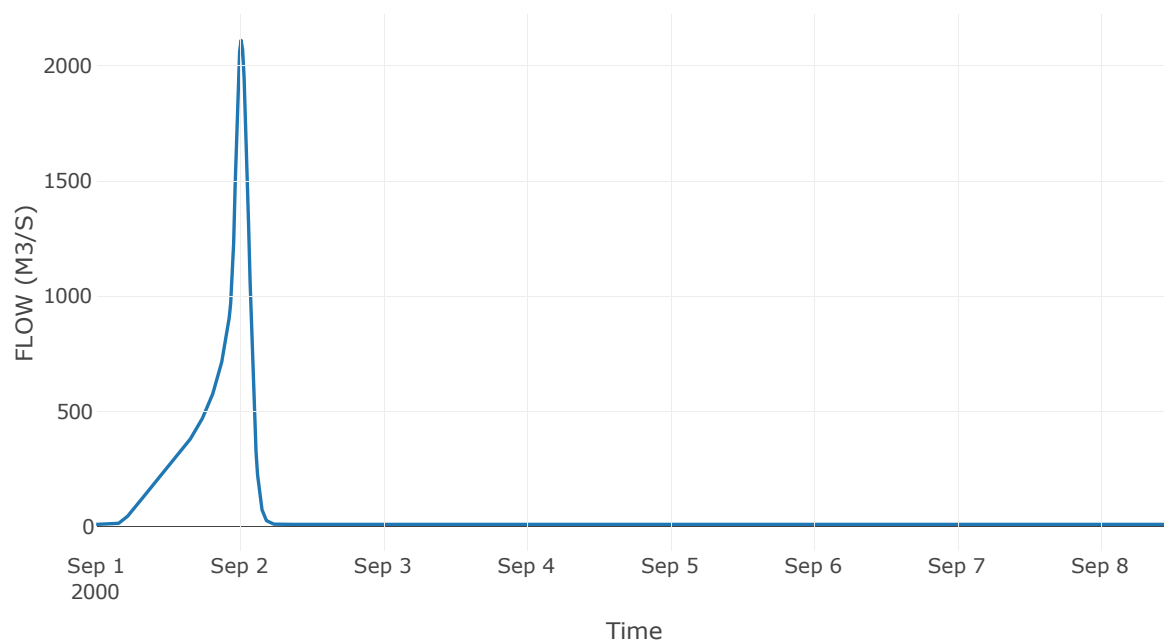
Κόμβος: J4

Κατάντη : R43

Αποτελέσματα: J4

Παροχή Αιχμής(M3/S)	2110.45
Χρονική στιγμή αιχμής	02Sep2000, 00:15
Όγκος(MM)	287.29

Απορροή



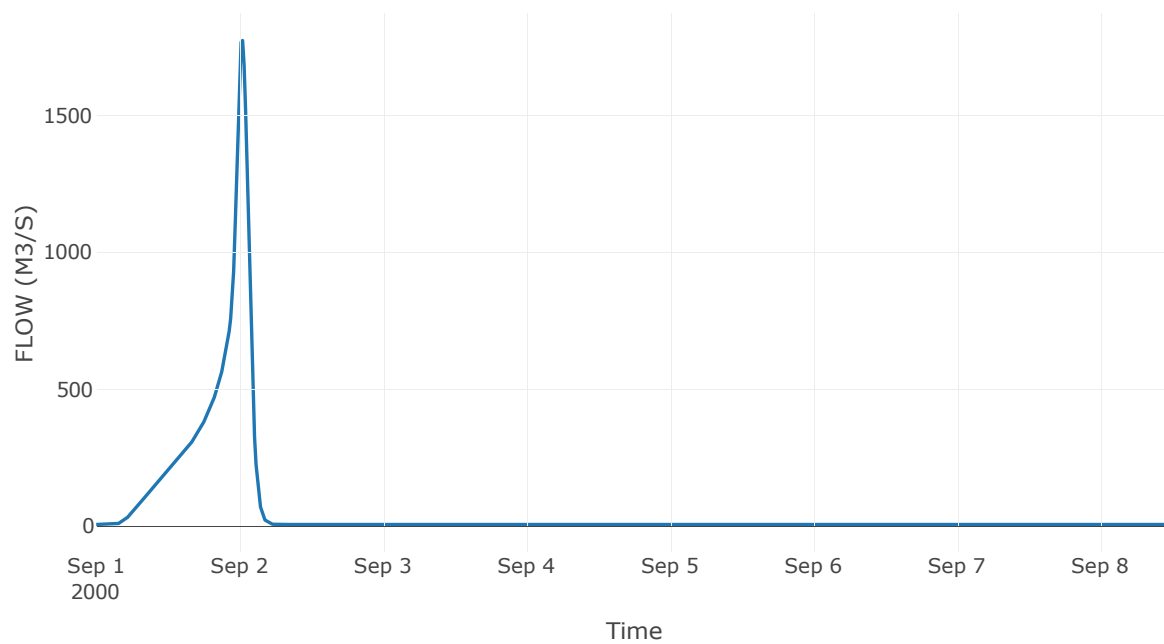
Κόμβος: J5

Κατάντη : R54

Αποτελέσματα: J5

Παροχή Αιχμής(M3/S)	1773.95
Χρονική στιγμή αιχμής	02Sep2000, 00:30
Όγκος(MM)	282.4

Απορροή



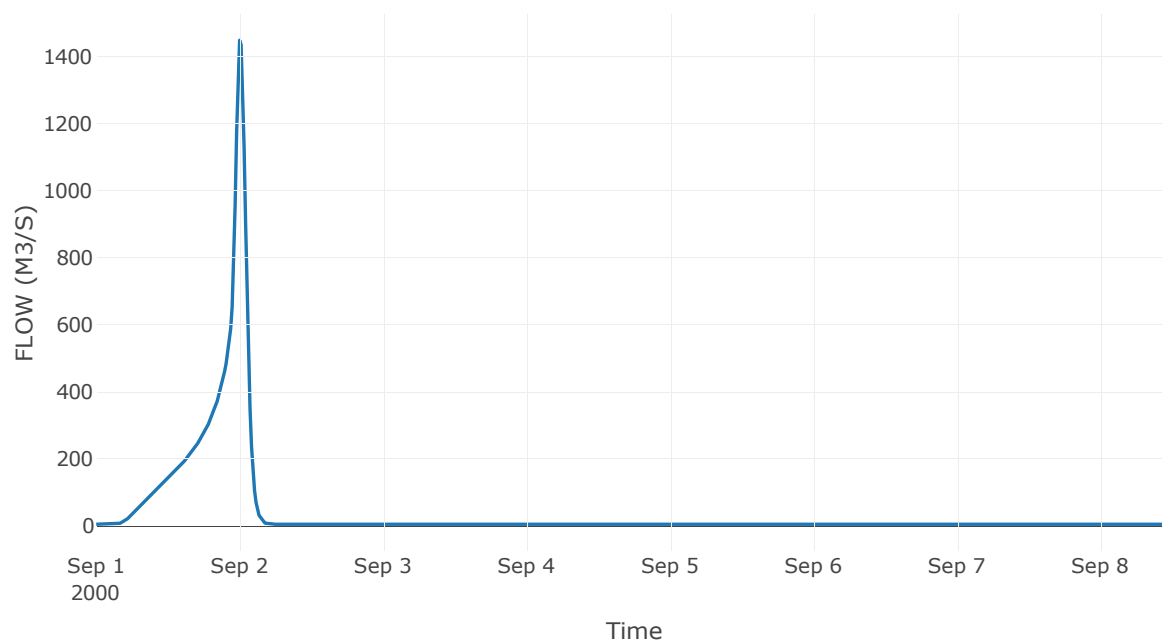
Κόμβος: J6

Κατάντη : R65

Αποτελέσματα: J6

Παροχή Αιχμής(M3/S)	1447.63
Χρονική στιγμή αιχμής	01Sep2000, 24:00
Όγκος(MM)	275.6

Απορροή



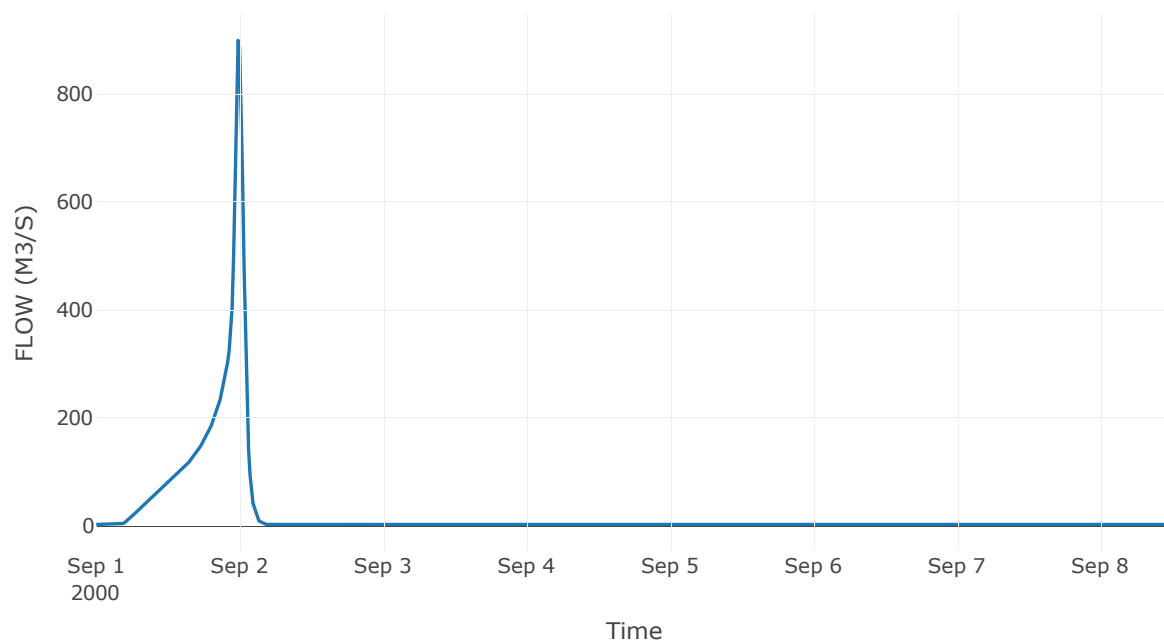
Κόμβος: J7

Κατάντη : R76

Αποτελέσματα: J7

Παροχή Αιχμής(M3/S)	899.04
Χρονική στιγμή αιχμής	01Sep2000, 23:45
Όγκος(MM)	263.71

Απορροή



9 Δεδομένα εισόδου και αποτελέσματα υδρολογικού σεναρίου T=1000L

9.1 Αποτελέσματα, υετογραφήματα και υδρογραφήματα σχεδιασμού υπολεκανών

Υπολεκάνη: EL0415FR0020001

Έκταση (KM2) : 76.58

Κατάντη : J19

Μέθοδος Απωλειών: SCS

Ποσοστό αδιαπέρατης επιφάνειας	0
Αριθμός Καμπύλης Απορροής-CN	66.98
Αρχικές Απώλειες	25.05

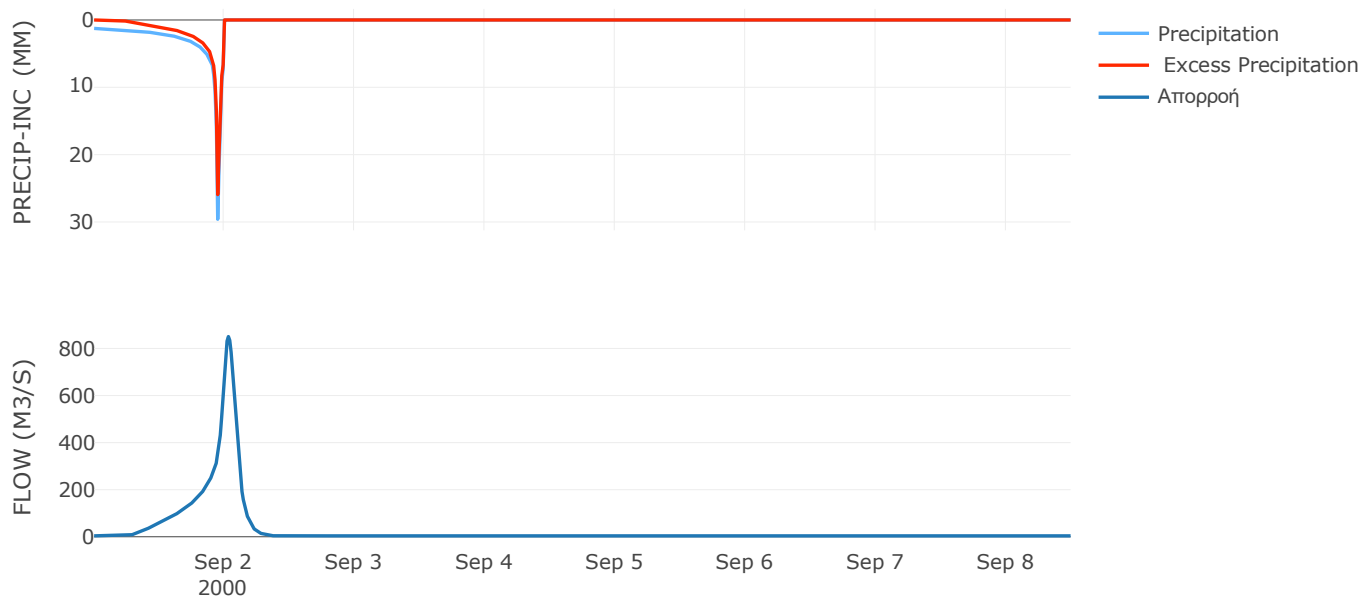
Μέθοδος Μετασχηματισμού:
Scs

Χρόνος Υστέρησης	111.61
------------------	--------

Αποτελέσματα:
EL0415FR0020001

Παροχή αιχμής (M3/S)	850.54
Χρονική στιγμή αιχμής	02Sep2000, 00:45
Όγκος (MM)	241.07
Όγκος βροχόπτωσης (M3)	2.46E7
Όγκος απωλειών (M3)	8.66E6
Ενεργός Όγκος (M3)	1.6E7
Όγκος άμεσης απορροής (M3)	1.6E7
Όγκος βασικής απορροής (M3)	2.48E6

Βροχόπτωση και Απορροή



Υπολεκάνη: EL0415FR0020002

Έκταση (KM2) : 39.41

Κατάντη : J2

Μέθοδος Απωλειών: SCS

Ποσοστό αδιαπέρατης επιφάνειας	0
Αριθμός Καμπύλης Απορροής-CN	64.14
Αρχικές Απώλειες	28.4

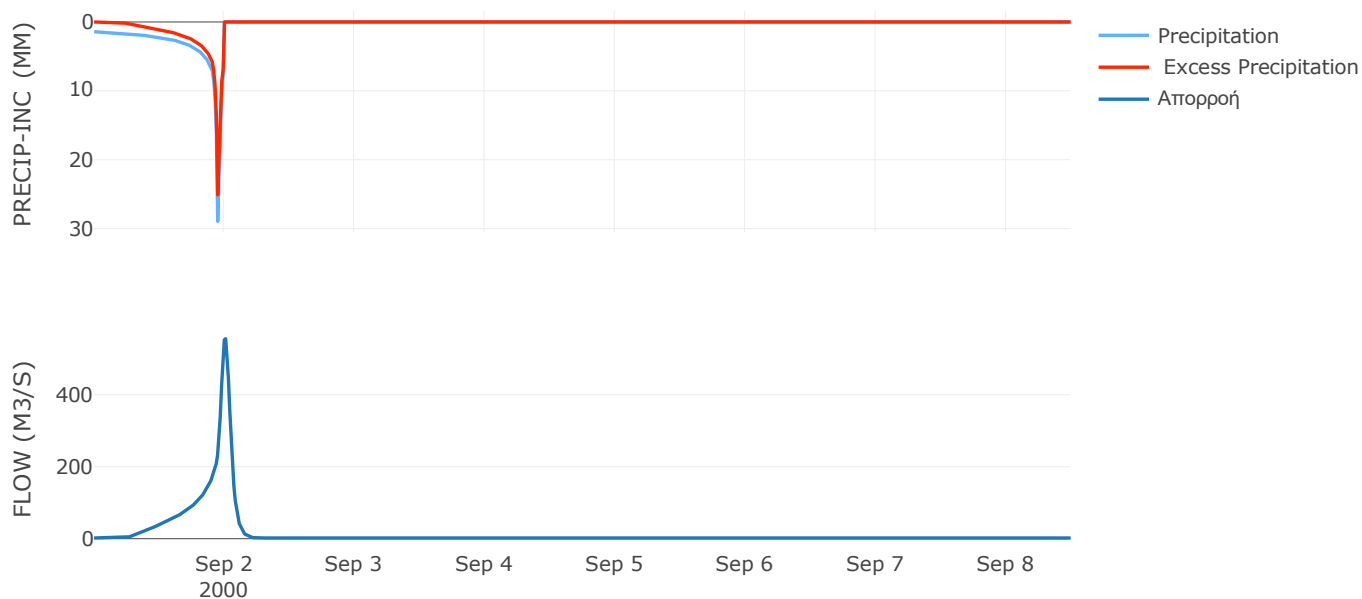
Μέθοδος Μετασχηματισμού:
Scs

Χρόνος Υστέρησης	68.66
------------------	-------

Αποτελέσματα:
EL0415FR0020002

Παροχή αιχμής (M3/S)	555.62
Χρονική στιγμή αιχμής	02Sep2000, 00:15
Όγκος (MM)	249.43
Όγκος βροχόπτωσης (M3)	1.35E7
Όγκος απωλειών (M3)	4.98E6
Ενεργός Όγκος (M3)	8.55E6
Όγκος άμεσης απορροής (M3)	8.55E6
Όγκος βασικής απορροής (M3)	1.28E6

Βροχόπτωση και Απορροή



Υπολεκάνη: EL0415FR0020003

Έκταση (KM2) : 14.18

Κατάντη : J3

Μέθοδος Απωλειών: SCS

Ποσοστό αδιαπέρατης επιφάνειας	0
Αριθμός Καμπύλης Απορροής-CN	62.72
Αρχικές Απώλειες	30.19

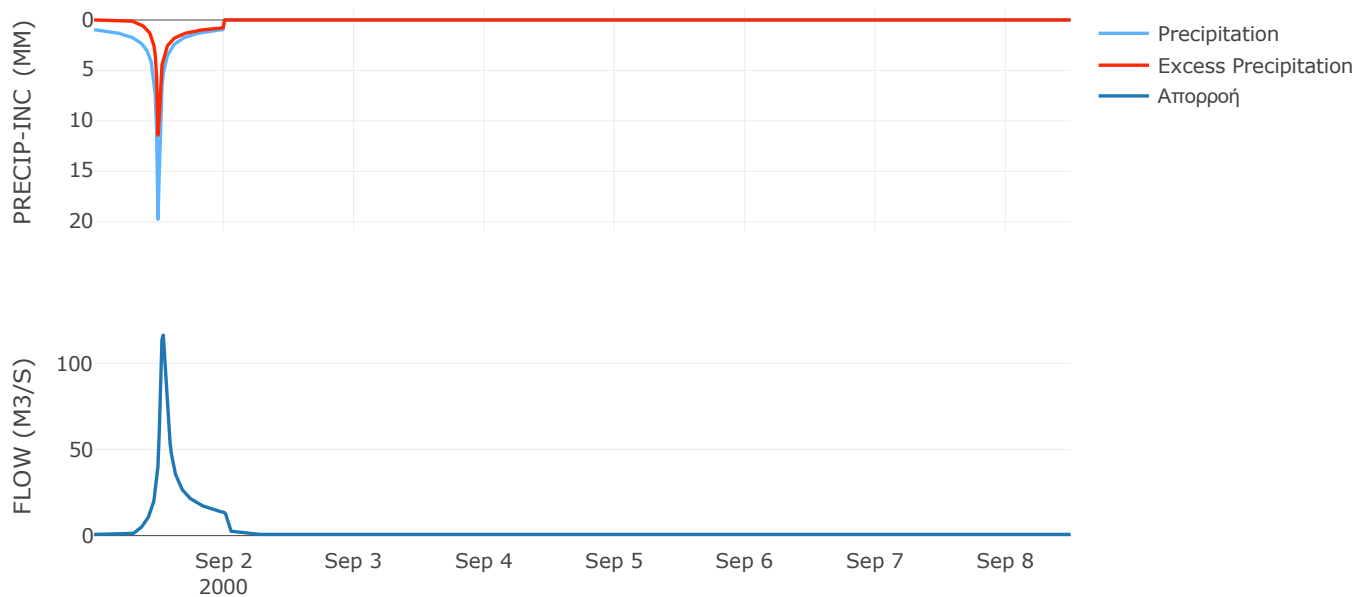
Μέθοδος Μετασχηματισμού:
Scs

Χρόνος Υστέρησης	35.73
------------------	-------

Αποτελέσματα:
EL0415FR0020003

Παροχή αιχμής (M3/S)	116.4
Χρονική στιγμή αιχμής	01Sep2000, 12:45
Όγκος (MM)	148.33
Όγκος βροχόπτωσης (M3)	3.3E6
Όγκος απωλειών (M3)	1.65E6
Ενεργός Όγκος (M3)	1.64E6
Όγκος άμεσης απορροής (M3)	1.64E6
Όγκος βασικής απορροής (M3)	4.6E5

Βροχόπτωση και Απορροή



Υπολεκάνη: EL0415FR0020004

Έκταση (KM2) : 38.04

Κατάντη : J3

Μέθοδος Απωλειών: SCS

Ποσοστό αδιαπέρατης επιφάνειας	0
Αριθμός Καμπύλης Απορροής-CN	56.55
Αρχικές Απώλειες	39.03

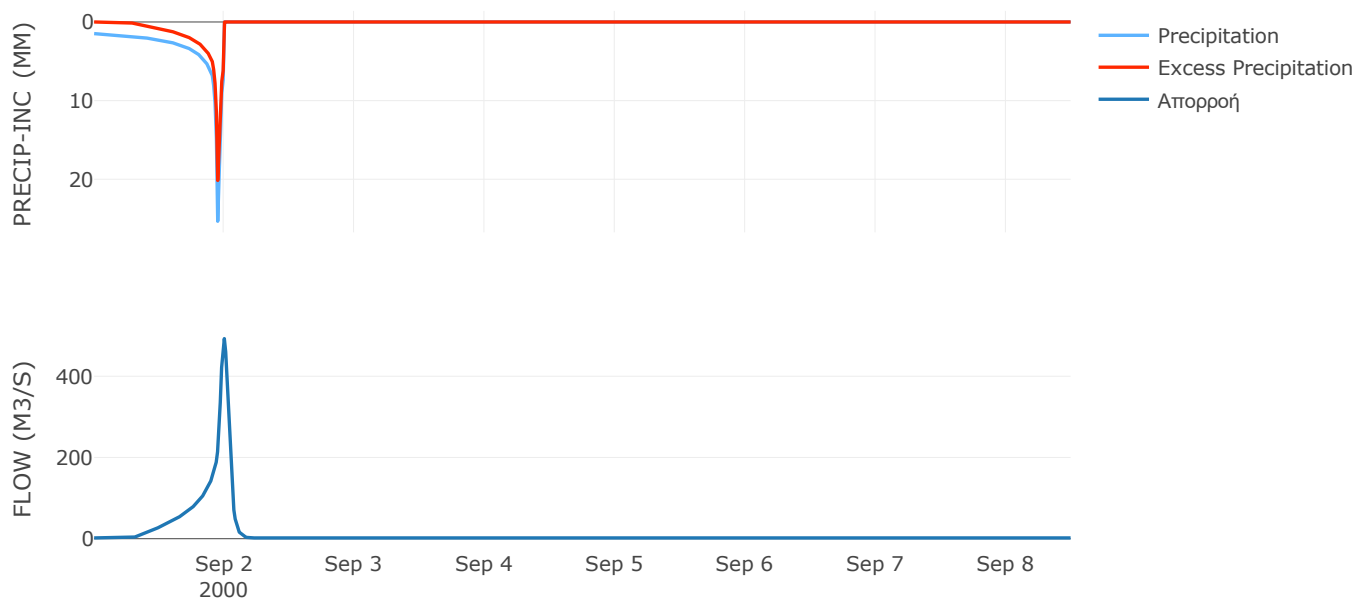
Μέθοδος Μετασχηματισμού:
Scs

Χρόνος Υστέρησης	54.86
------------------	-------

Αποτελέσματα:
EL0415FR0020004

Παροχή αιχμής (M3/S)	492.6
Χρονική στιγμή αιχμής	01Sep2000, 24:00
Όγκος (MM)	211.63
Όγκος βροχόπτωσης (M3)	1.28E7
Όγκος απωλειών (M3)	5.96E6
Ενεργός Όγκος (M3)	6.82E6
Όγκος άμεσης απορροής (M3)	6.82E6
Όγκος βασικής απορροής (M3)	1.23E6

Βροχόπτωση και Απορροή



Υπολεκάνη: EL0415FR0020005

Έκταση (KM2) : 14

Κατάντη : J3

Μέθοδος Απωλειών: SCS

Ποσοστό αδιαπέρατης επιφάνειας	0
Αριθμός Καμπύλης Απορροής-CN	62.77
Αρχικές Απώλειες	30.12

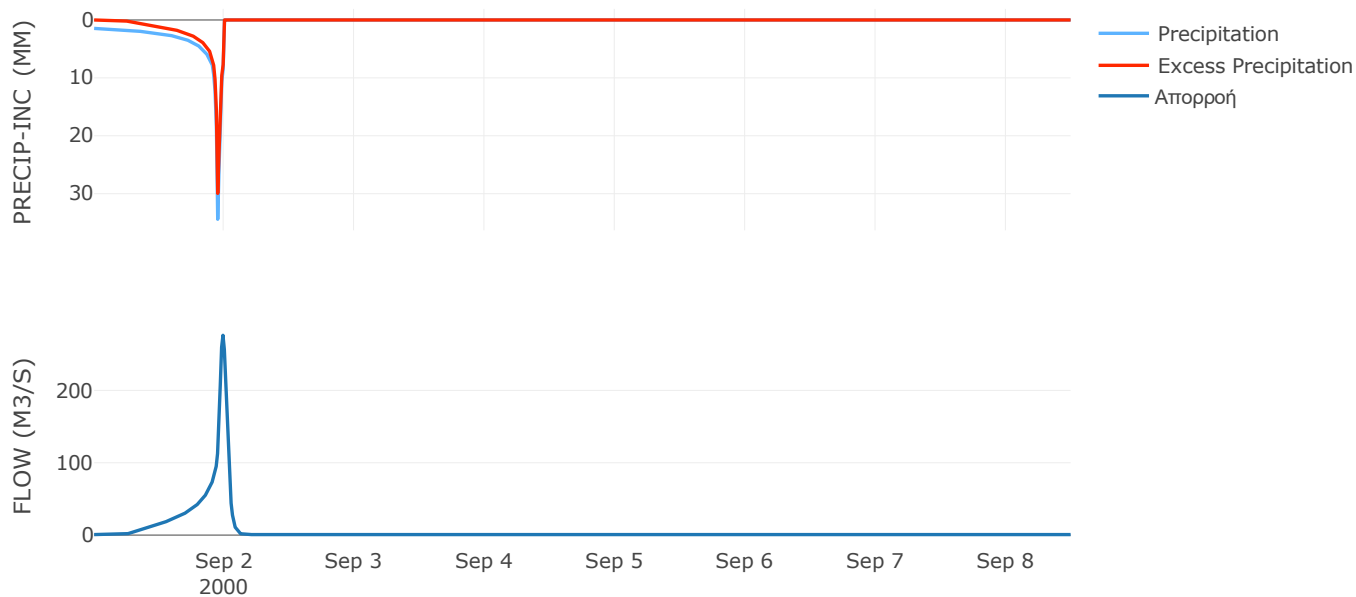
Μέθοδος Μετασχηματισμού:
Scs

Χρόνος Υστέρησης	43.3
------------------	------

Αποτελέσματα:
EL0415FR0020005

Παροχή αιχμής (M3/S)	276.25
Χρονική στιγμή αιχμής	01Sep2000, 23:45
Όγκος (MM)	271.64
Όγκος βροχόπτωσης (M3)	5.24E6
Όγκος απωλειών (M3)	1.89E6
Ενεργός Όγκος (M3)	3.35E6
Όγκος άμεσης απορροής (M3)	3.35E6
Όγκος βασικής απορροής (M3)	4.54E5

Βροχόπτωση και Απορροή



Υπολεκάνη: EL0415FR0020006

Έκταση (KM2) : 32.61

Κατάντη : J4

Μέθοδος Απωλειών: SCS

Ποσοστό αδιαπέρατης επιφάνειας	0
Αριθμός Καμπύλης Απορροής-CN	52.85
Αρχικές Απώλειες	45.32

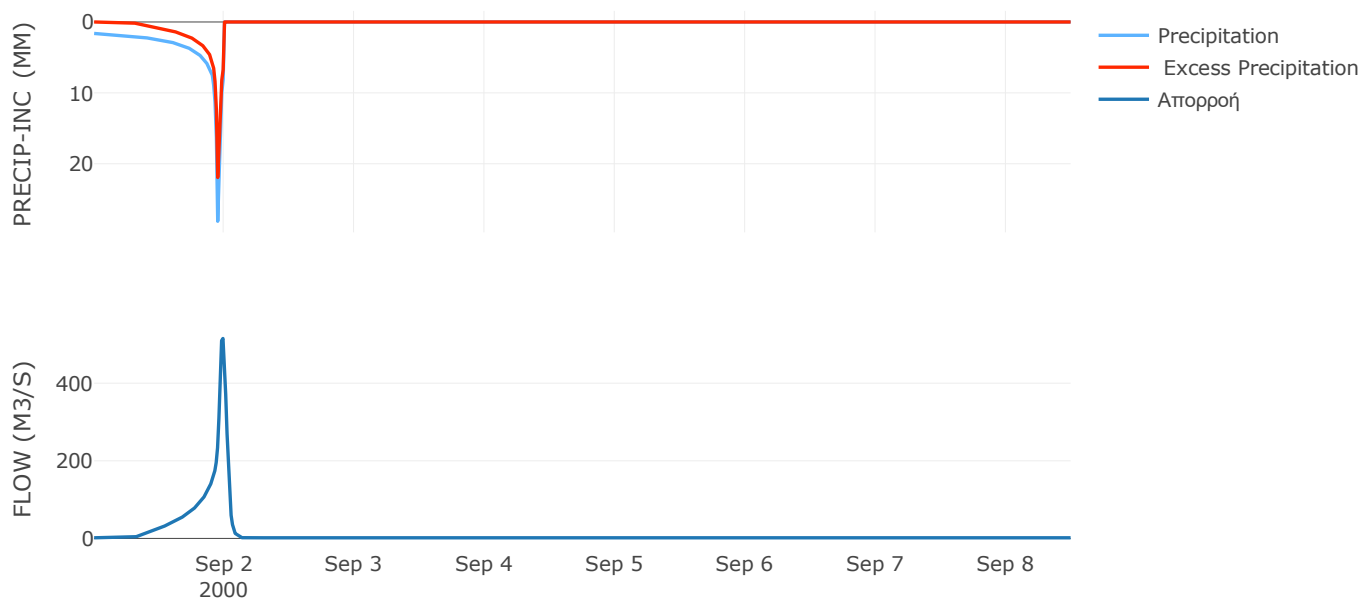
Μέθοδος Μετασχηματισμού:
Scs

Χρόνος Υστέρησης	37.66
------------------	-------

Αποτελέσματα:
EL0415FR0020006

Παροχή αιχμής (M3/S)	515.18
Χρονική στιγμή αιχμής	01Sep2000, 23:45
Όγκος (MM)	223.3
Όγκος βροχόπτωσης (M3)	1.21E7
Όγκος απωλειών (M3)	5.83E6
Ενεργός Όγκος (M3)	6.22E6
Όγκος άμεσης απορροής (M3)	6.22E6
Όγκος βασικής απορροής (M3)	1.06E6

Βροχόπτωση και Απορροή



Υπολεκάνη: EL0415FR0020007

Έκταση (KM2) : 37.84

Κατάντη : J5

Μέθοδος Απωλειών: SCS

Ποσοστό αδιαπέρατης επιφάνειας	0
Αριθμός Καμπύλης Απορροής-CN	55.72
Αρχικές Απώλειες	40.36

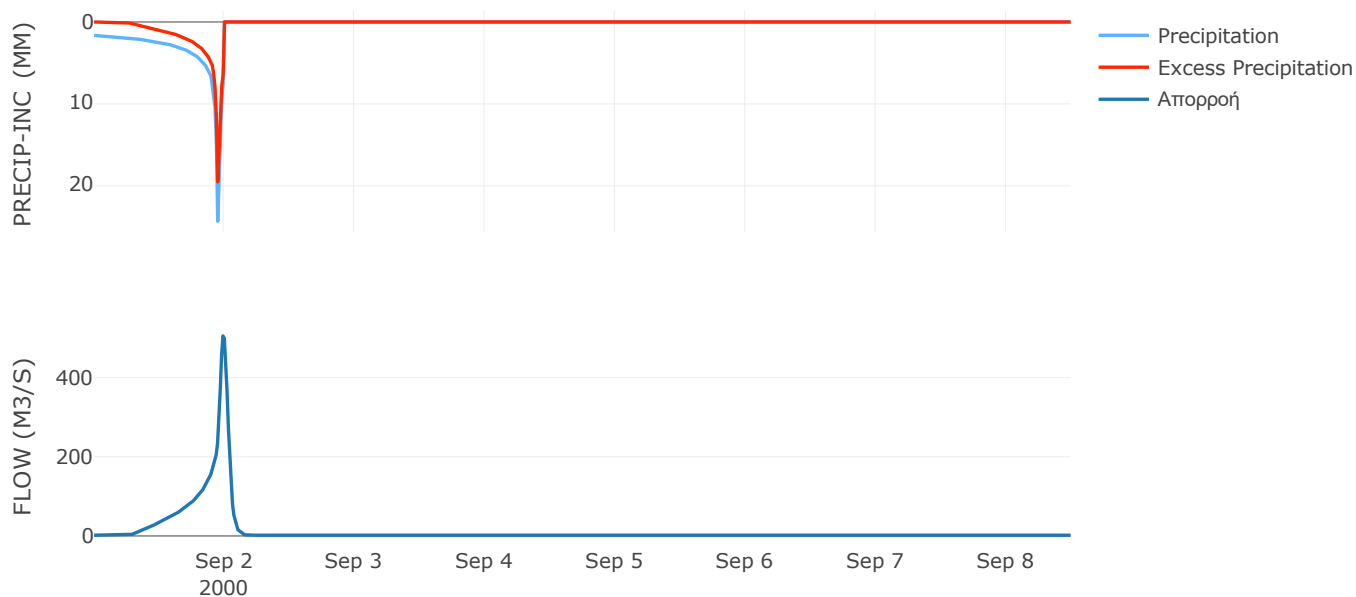
Μέθοδος Μετασχηματισμού:
Scs

Χρόνος Υστέρησης	49.17
------------------	-------

Αποτελέσματα:
EL0415FR0020007

Παροχή αιχμής (M3/S)	505.66
Χρονική στιγμή αιχμής	01Sep2000, 23:45
Όγκος (MM)	222.25
Όγκος βροχόπτωσης (M3)	1.34E7
Όγκος απωλειών (M3)	6.17E6
Ενεργός Όγκος (M3)	7.18E6
Όγκος άμεσης απορροής (M3)	7.18E6
Όγκος βασικής απορροής (M3)	1.23E6

Βροχόπτωση και Απορροή



Υπολεκάνη: EL0415FR0020008

Έκταση (KM2) : 42.76

Κατάντη : J6

Μέθοδος Απωλειών: SCS

Ποσοστό αδιαπέρατης επιφάνειας	0
Αριθμός Καμπύλης Απορροής-CN	54.62
Αρχικές Απώλειες	42.2

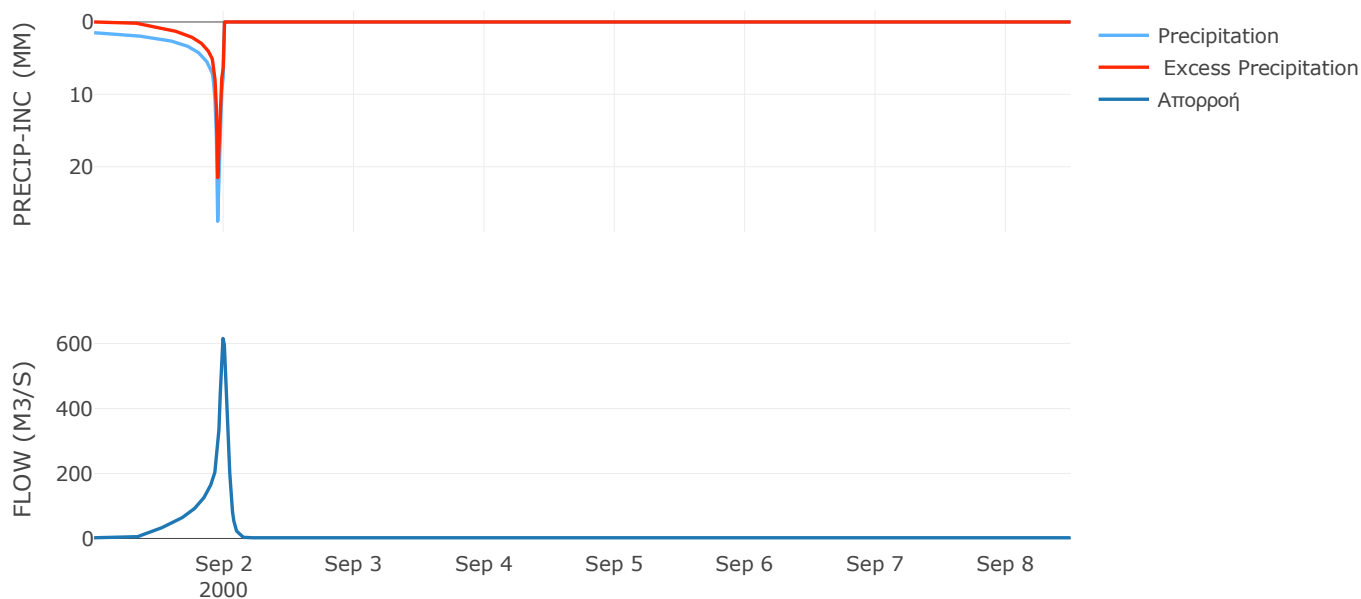
Μέθοδος Μετασχηματισμού:
Scs

Χρόνος Υστέρησης	46.93
------------------	-------

Αποτελέσματα:
EL0415FR0020008

Παροχή αιχμής (M3/S)	615.66
Χρονική στιγμή αιχμής	01Sep2000, 23:45
Όγκος (MM)	212.48
Όγκος βροχόπτωσης (M3)	1.48E7
Όγκος απωλειών (M3)	7.14E6
Ενεργός Όγκος (M3)	7.7E6
Όγκος άμεσης απορροής (M3)	7.7E6
Όγκος βασικής απορροής (M3)	1.39E6

Βροχόπτωση και Απορροή



Υπολεκάνη: EL0415FR0020009

Έκταση (KM2) : 58.35

Κατάντη : J7

Μέθοδος Απωλειών: SCS

Ποσοστό αδιαπέρατης επιφάνειας	0
Αριθμός Καμπύλης Απορροής-CN	49.65
Αρχικές Απώλειες	51.51

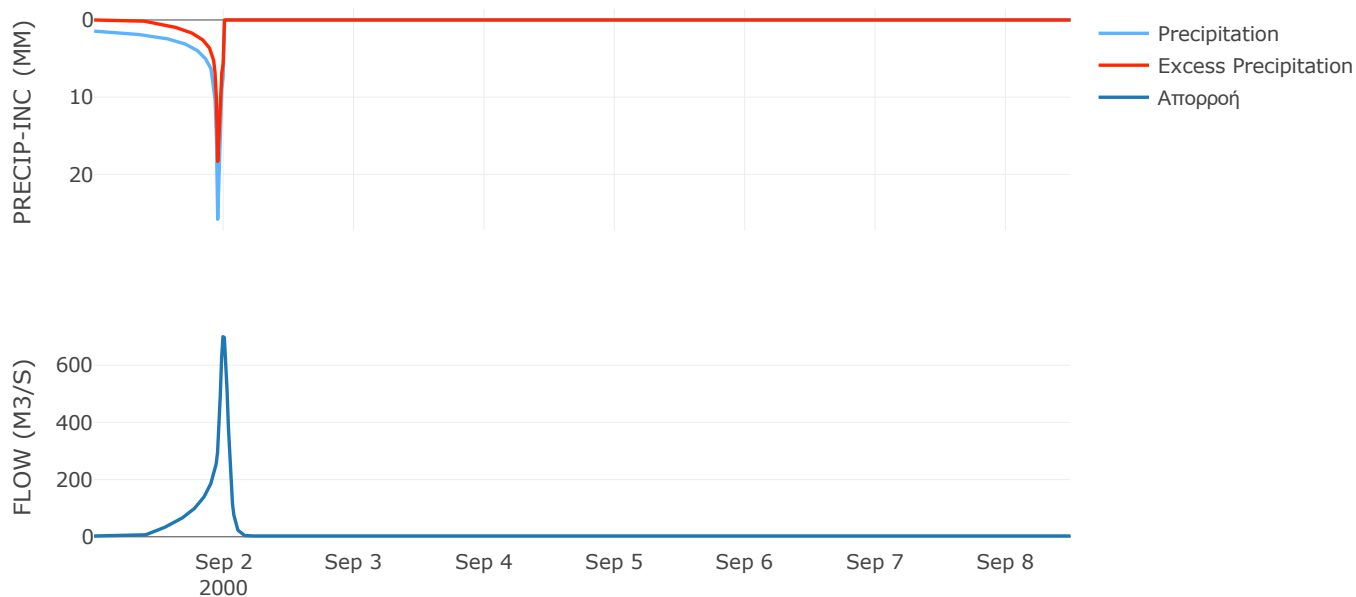
Μέθοδος Μετασχηματισμού:
Scs

Χρόνος Υστέρησης	49.8
------------------	------

Αποτελέσματα:
EL0415FR0020009

Παροχή αιχμής (M3/S)	699.87
Χρονική στιγμή αιχμής	01Sep2000, 23:45
Όγκος (MM)	179.58
Όγκος βροχόπτωσης (M3)	1.94E7
Όγκος απωλειών (M3)	1.09E7
Ενεργός Όγκος (M3)	8.59E6
Όγκος άμεσης απορροής (M3)	8.59E6
Όγκος βασικής απορροής (M3)	1.89E6

Βροχόπτωση και Απορροή



9.2 Δεδομένα και υδρογραφήματα σχεδιασμού Κλάδων υδρογραφικού δικτύου

Κλάδος: R219

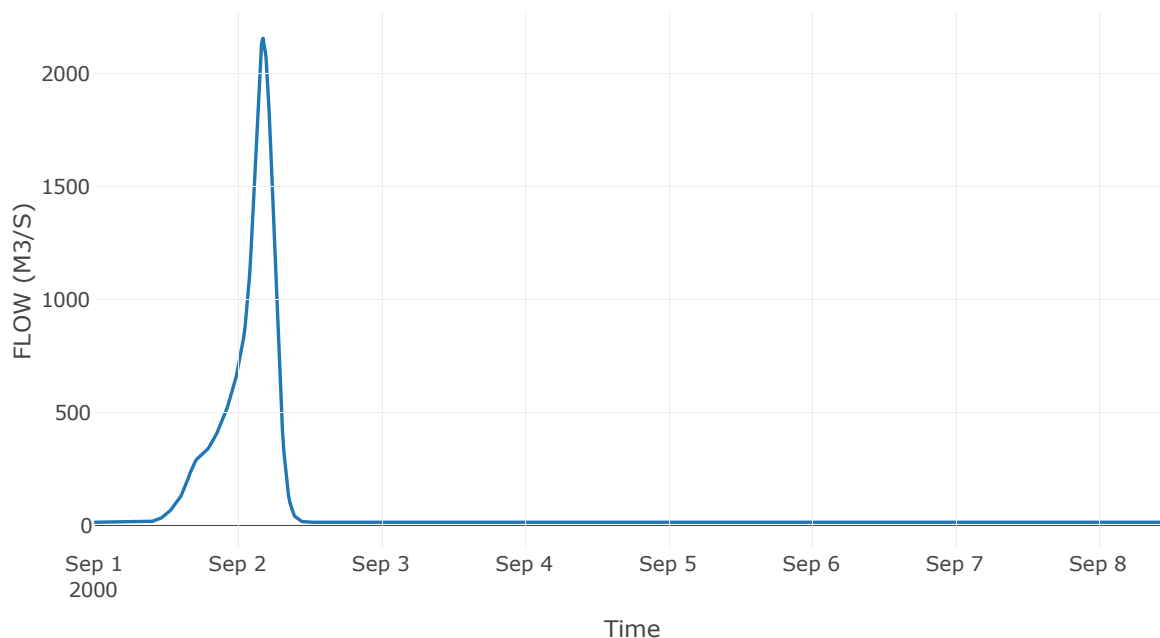
Κατάντη : J19

Μέθοδος Διόδευσης	Muskingum
Αρχική Μεταβλητή	Combined Inflow
Χρόνος Ροής Κ	3.31
Συντελεστής βάρους α	0.2
Πλήθος Υποκλάδων	13

Αποτελέσματα: R219

Παροχή Αιχμής(M3/S)	2156.64
Χρονική στιγμή αιχμής	02Sep2000, 04:15
Όγκος(MM)	213
Παροχή Αιχμής Εισόδου (M3/S)	2376.49
Όγκος Εισροής(M3)	5.9E7

Απορροή



Κλάδος: R32

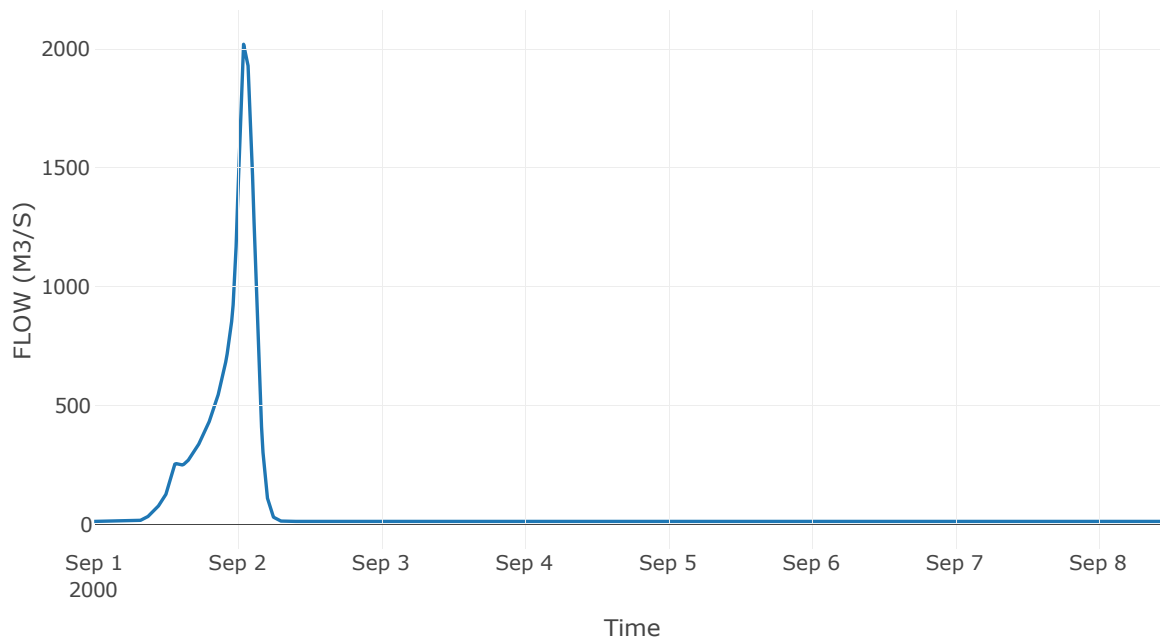
Κατάντη : J2

Μέθοδος Διόδευσης	Muskingum
Αρχική Μεταβλητή	Combined Inflow
Χρόνος Ροής Κ	0.75
Συντελεστής βάρους x	0.2
Πλήθος Υποκλάδων	3

Αποτελέσματα: R32

Παροχή Αιχμής(M3/S)	2048.46
Χρονική στιγμή αιχμής	02Sep2000, 01:15
Όγκος(MM)	206.97
Παροχή Αιχμής Εισόδου (M3/S)	2111.01
Όγκος Εισροής(M3)	4.92E7

Απορροή



Κλάδος: R43

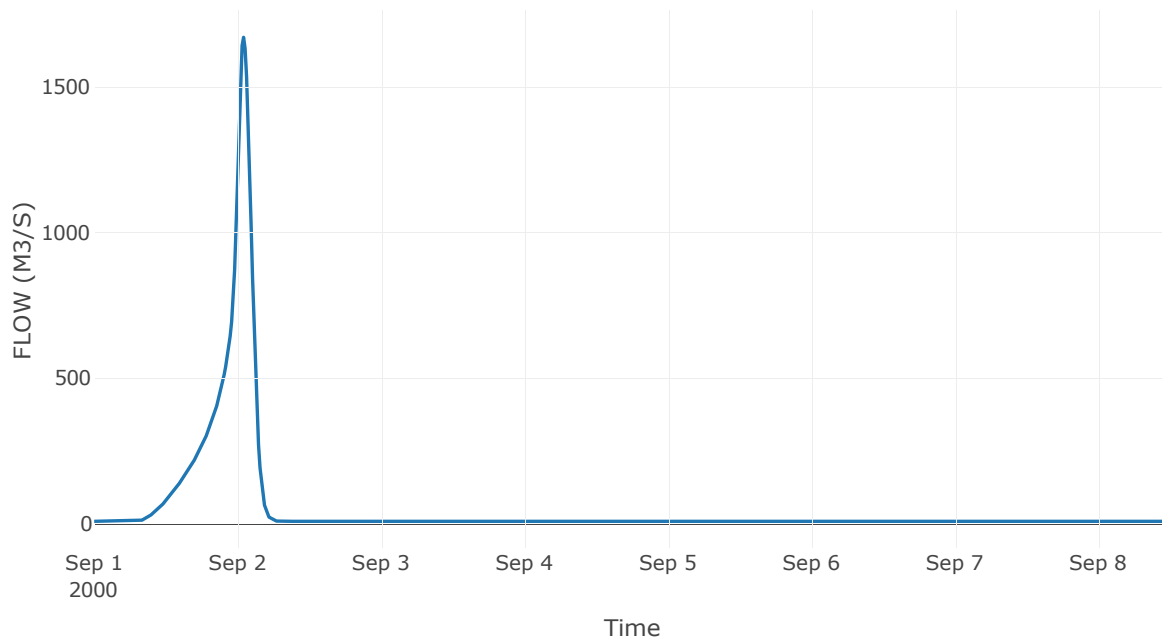
Κατάντη : J3

Μέθοδος Διόδευσης	Muskingum
Αρχική Μεταβλητή	Combined Inflow
Χρόνος Ροής K	0.71
Συντελεστής βάρους x	0.2
Πλήθος Υποκλάδων	3

Αποτελέσματα: R43

Παροχή Αιχμής(M3/S)	1669.67
Χρονική στιγμή αιχμής	02Sep2000, 01:00
Όγκος(MM)	205.5
Παροχή Αιχμής Εισόδου (M3/S)	1726.78
Όγκος Εισροής(M3)	3.53E7

Απορροή



Κλάδος: R54

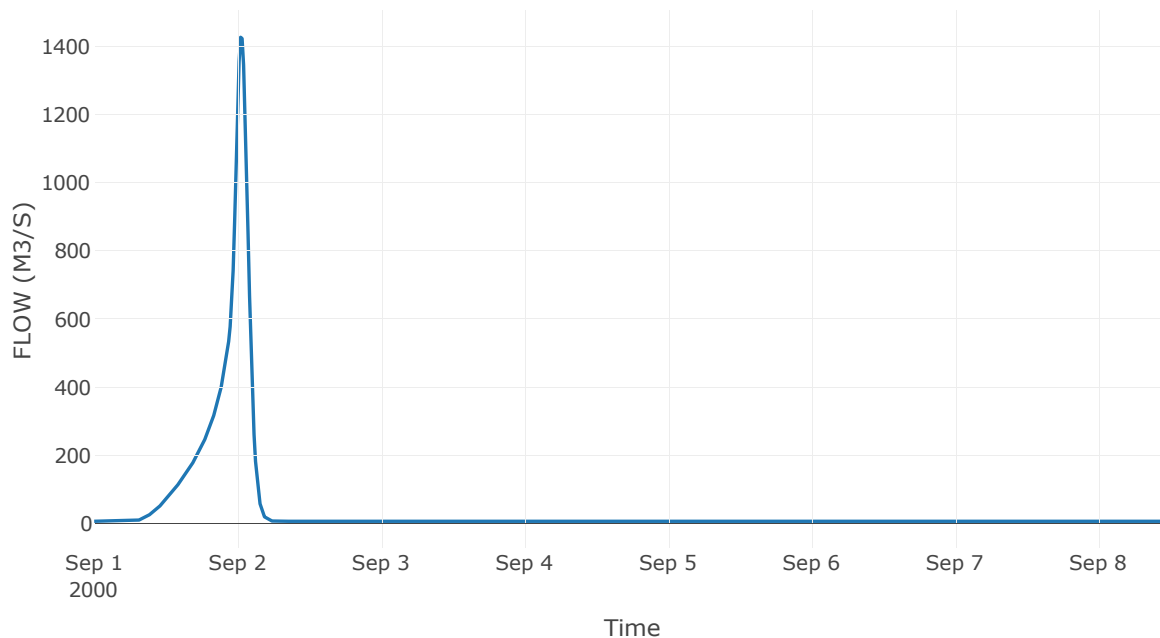
Κατάντη : J4

Μέθοδος Διόδευσης	Muskingum
Αρχική Μεταβλητή	Combined Inflow
Χρόνος Ροής K	0.22
Συντελεστής βάρους x	0.2
Πλήθος Υποκλάδων	1

Αποτελέσματα: R54

Παροχή Αιχμής(M3/S)	1425.92
Χρονική στιγμή αιχμής	02Sep2000, 00:30
Όγκος(MM)	201.33
Παροχή Αιχμής Εισόδου (M3/S)	1444.94
Όγκος Εισροής(M3)	2.8E7

Απορροή



Κλάδος: R65

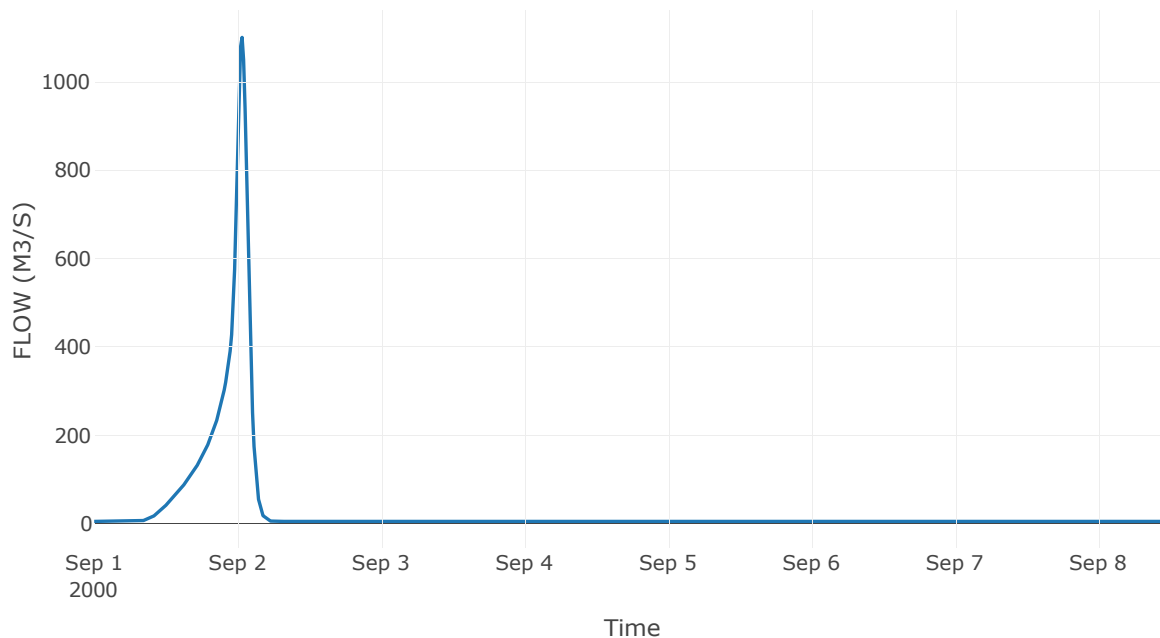
Κατάντη : J5

Μέθοδος Διόδευσης	Muskingum
Αρχική Μεταβλητή	Combined Inflow
Χρόνος Ροής K	0.61
Συντελεστής βάρους x	0.2
Πλήθος Υποκλάδων	2

Αποτελέσματα: R65

Παροχή Αιχμής(M3/S)	1100.5
Χρονική στιγμή αιχμής	02Sep2000, 00:45
Όγκος(MM)	193.5
Παροχή Αιχμής Εισόδου (M3/S)	1161.37
Όγκος Εισροής(M3)	1.96E7

Απορροή



Κλάδος: R76

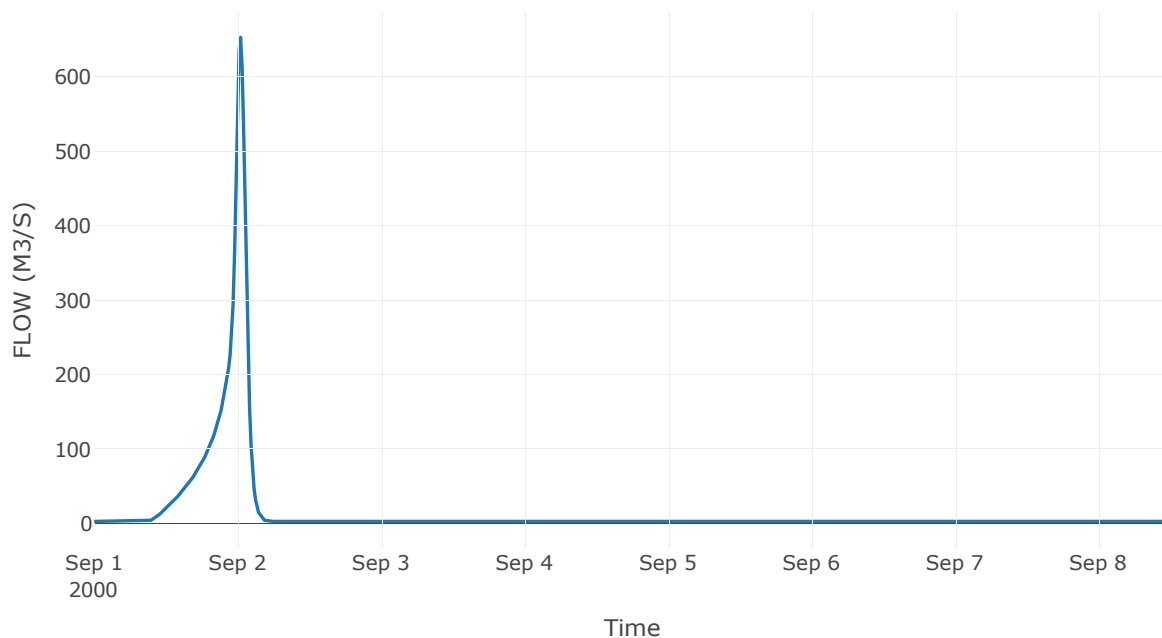
Κατάντη : J6

Μέθοδος Διόδευσης	Muskingum
Αρχική Μεταβλητή	Combined Inflow
Χρόνος Ροής K	0.6
Συντελεστής βάρους x	0.2
Πλήθος Υποκλάδων	2

Αποτελέσματα: R76

Παροχή Αιχμής(M3/S)	652.8
Χρονική στιγμή αιχμής	02Sep2000, 00:30
Όγκος(MM)	179.58
Παροχή Αιχμής Εισόδου (M3/S)	699.87
Όγκος Εισροής(M3)	1.05E7

Απορροή



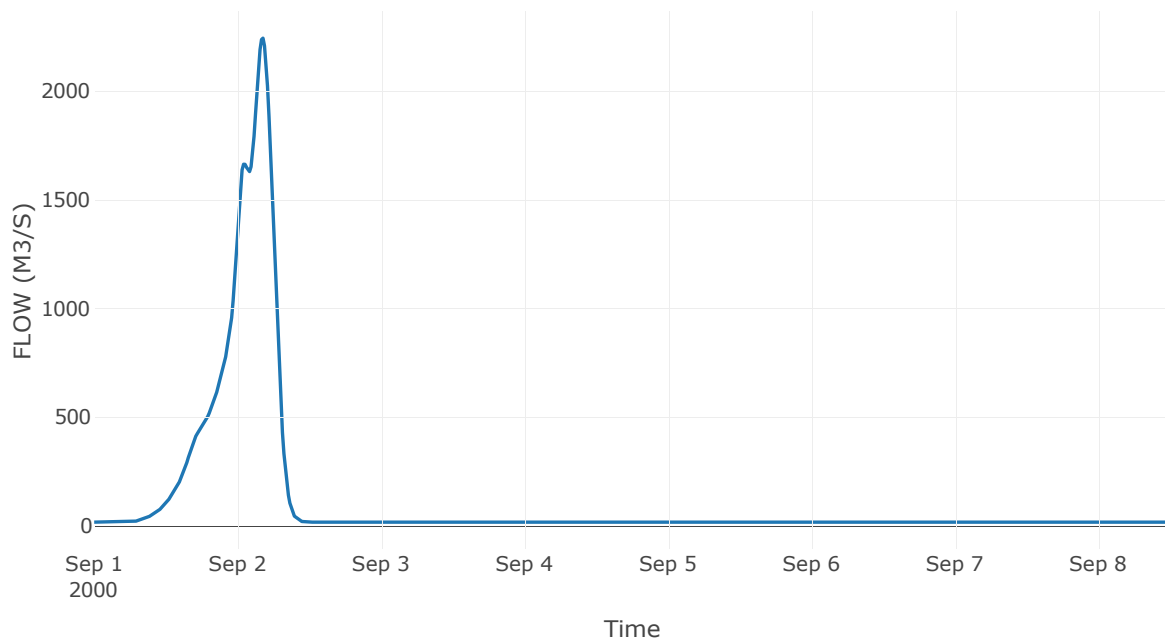
9.3 Δεδομένα και υδρογραφήματα σχεδιασμού Κόμβων υδρογραφικού δικτύου

Κόμβος εξόδου: J19

Αποτελέσματ
α: J19

Παροχή αιχμής (M3/S)	2243.45
Χρονική στιγμή αιχμής	02Sep2000, 04:15
Όγκος (MM)	219.08

Απορροή



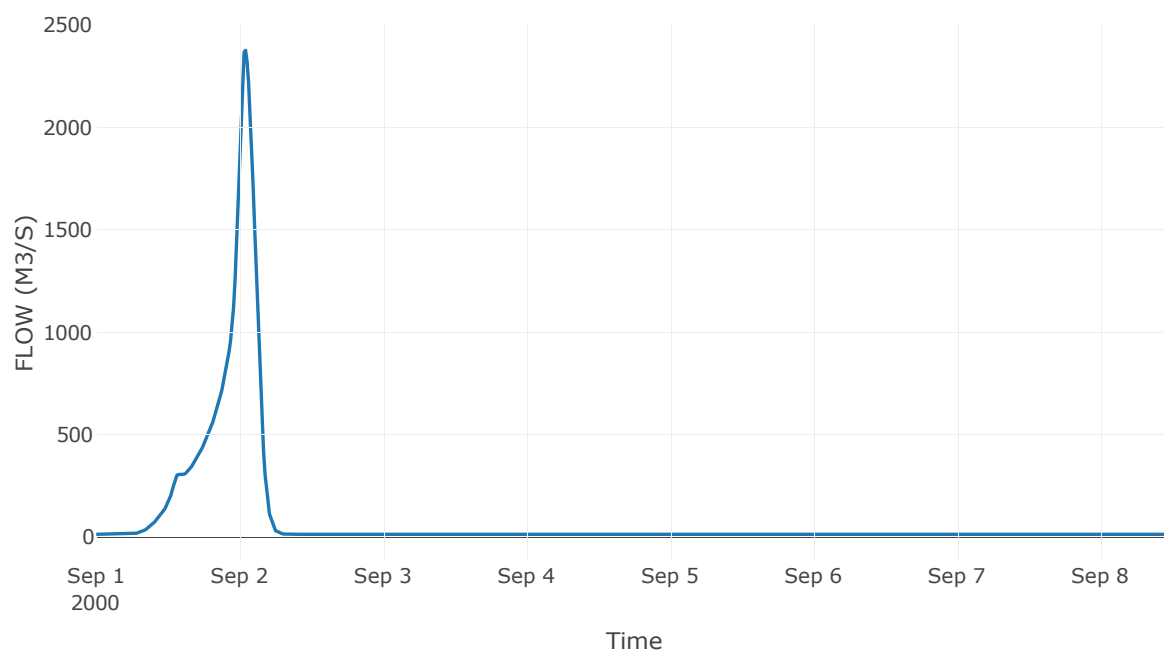
Κόμβος: J2

Κατάντη : R219

Αποτελέσματα: J2

Παροχή Αιχμής(M3/S)	2376.49
Χρονική στιγμή αιχμής	02Sep2000, 01:00
Όγκος(MM)	213

Απορροή



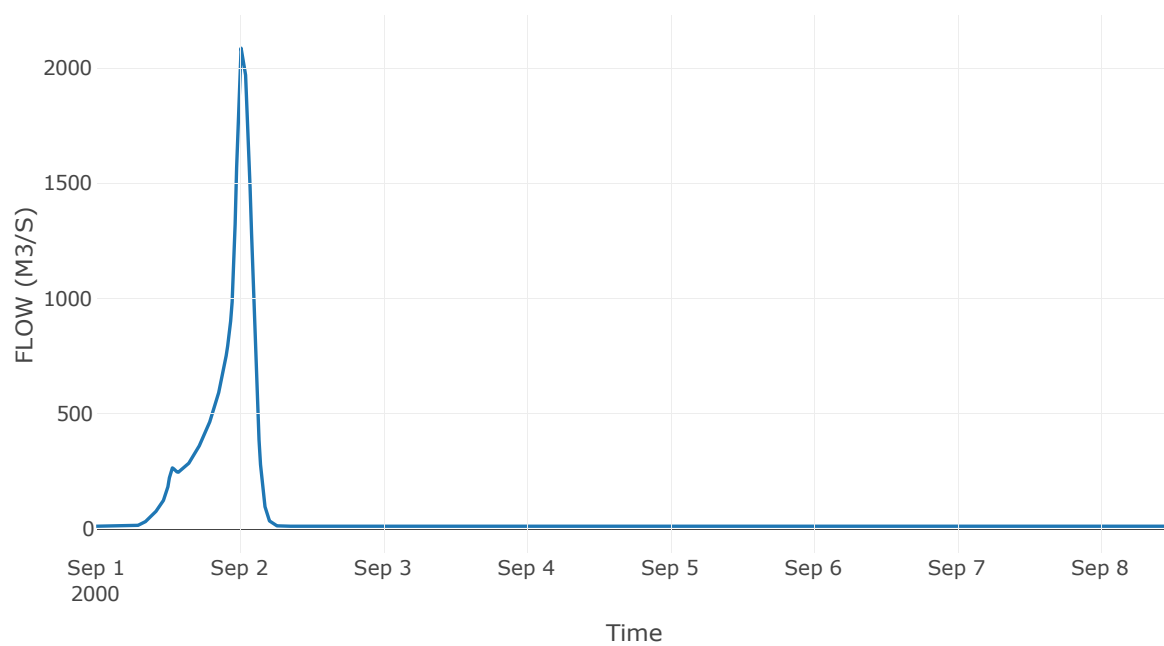
Κόμβος: J3

Κατάντη : R32

Αποτελέσματα: J3

Παροχή Αιχμής(M3/S)	2111.01
Χρονική στιγμή αιχμής	02Sep2000, 00:30
Όγκος(MM)	206.97

Απορροή



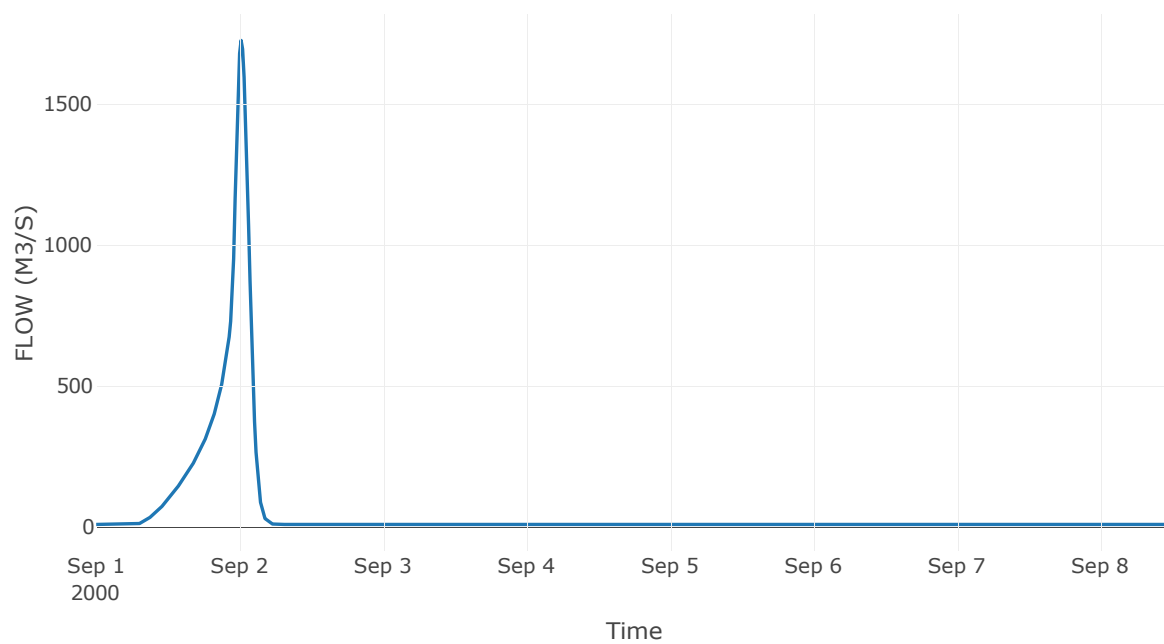
Κόμβος: J4

Κατάντη : R43

Αποτελέσματα: J4

Παροχή Αιχμής(M3/S)	1726.78
Χρονική στιγμή αιχμής	02Sep2000, 00:15
Όγκος(MM)	205.5

Απορροή



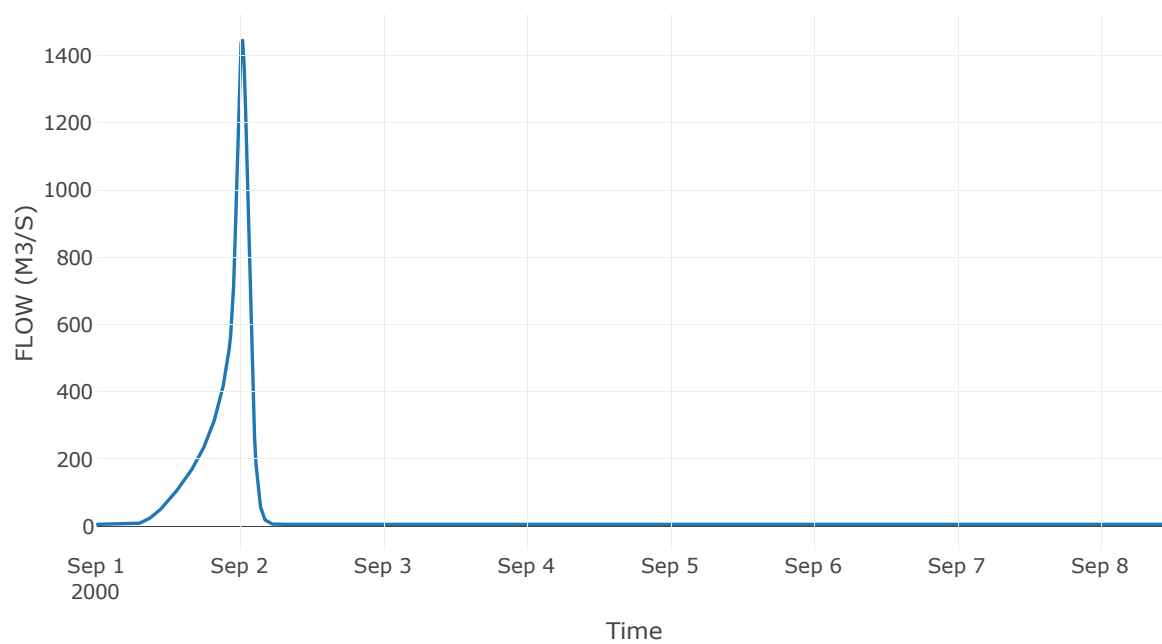
Κόμβος: J5

Κατάντη : R54

Αποτελέσματα: J5

Παροχή Αιχμής(M3/S)	1444.94
Χρονική στιγμή αιχμής	02Sep2000, 00:30
Όγκος(MM)	201.33

Απορροή



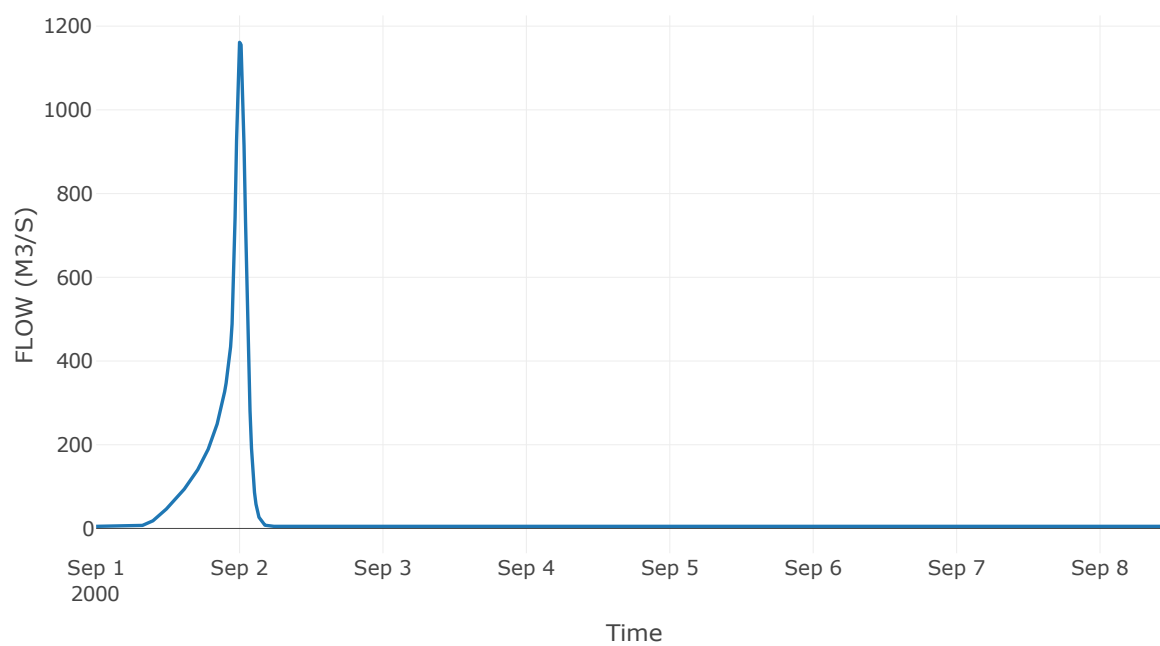
Κόμβος: J6

Κατάντη : R65

Αποτελέσματα: J6

Παροχή Αιχμής(M3/S)	1161.37
Χρονική στιγμή αιχμής	01Sep2000, 24:00
Όγκος(MM)	193.5

Απορροή



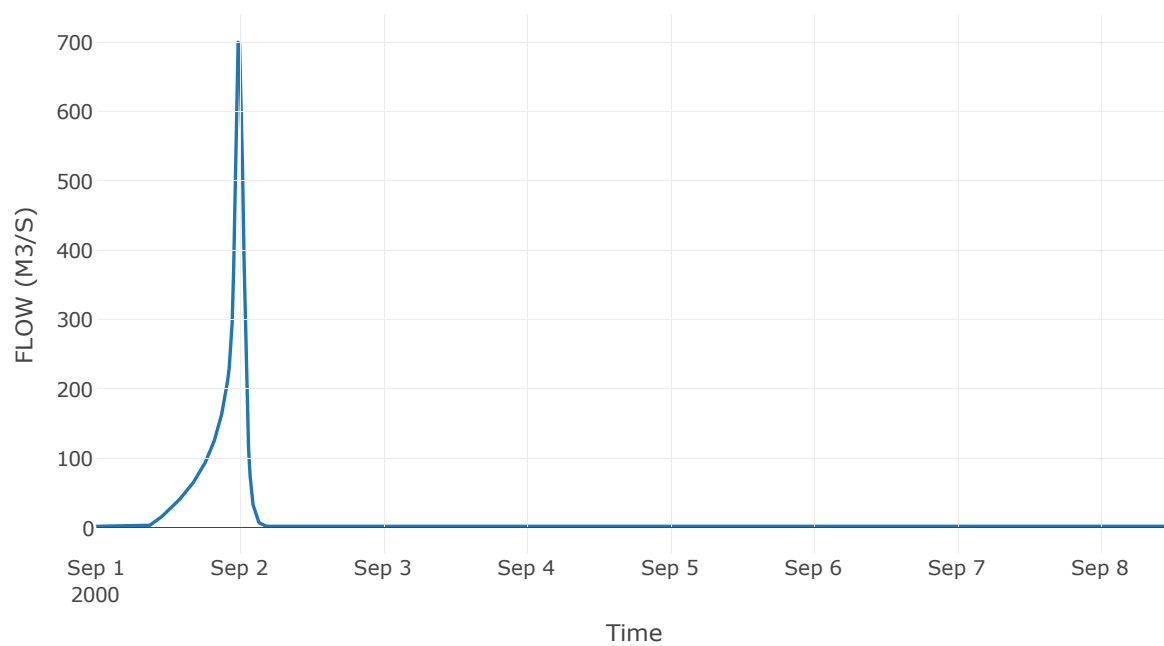
Κόμβος: J7

Κατάντη : R76

Αποτελέσματα: J7

Παροχή Αιχμής(M3/S)	699.87
Χρονική στιγμή αιχμής	01Sep2000, 23:45
Όγκος(MM)	179.58

Απορροή



10 Δεδομένα εισόδου και αποτελέσματα υδρολογικού σεναρίου $T=1000U$

10.1 Αποτελέσματα, υετογραφήματα και υδρογραφήματα σχεδιασμού υπολεκανών

Υπολεκάνη: EL0415FR0020001

Έκταση (KM2) : 76.58

Κατάντη : J19

Μέθοδος Απωλειών: SCS

Ποσοστό αδιαπέρατης επιφάνειας	0
Αριθμός Καμπύλης Απορροής-CN	91.74
Αρχικές Απώλειες	4.57

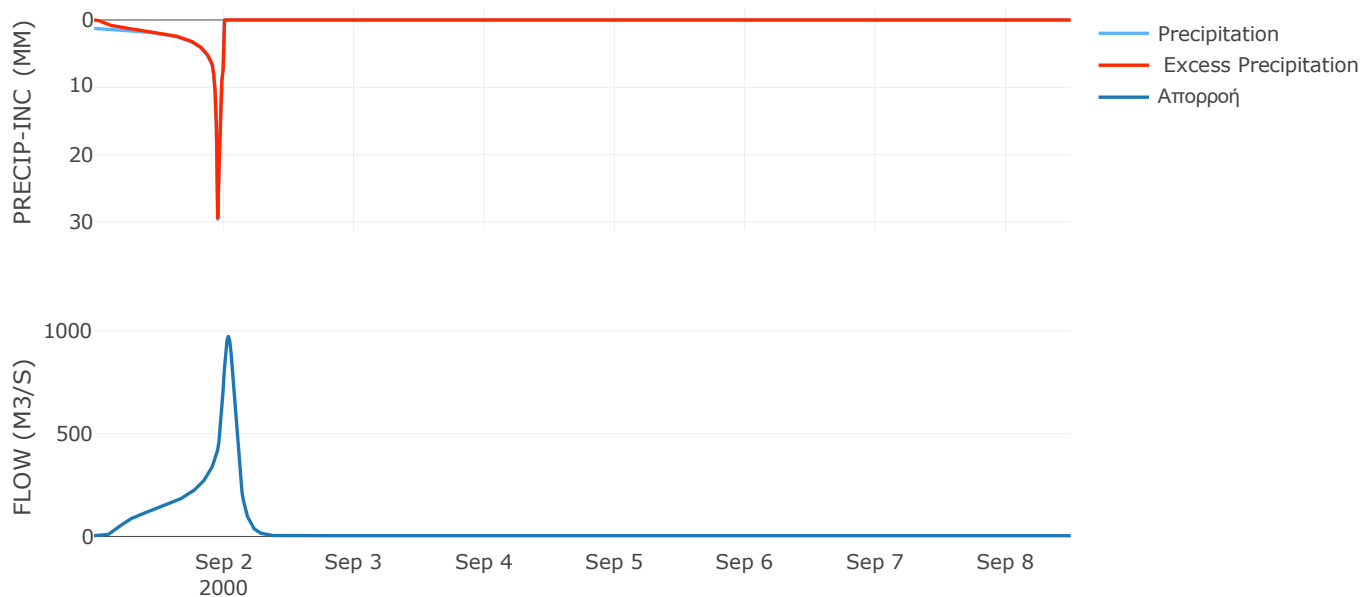
Μέθοδος Μετασχηματισμού:
Scs

Χρόνος Υστέρησης	111.61
------------------	--------

Αποτελέσματα:
EL0415FR0020001

Παροχή αιχμής (M3/S)	972.84
Χρονική στιγμή αιχμής	02Sep2000, 00:45
Όγκος (MM)	328.27
Όγκος βροχόπτωσης (M3)	2.46E7
Όγκος απωλειών (M3)	1.98E6
Ενεργός Όγκος (M3)	2.27E7
Όγκος άμεσης απορροής (M3)	2.27E7
Όγκος βασικής απορροής (M3)	2.48E6

Βροχόπτωση και Απορροή



Υπολεκάνη: EL0415FR0020002

Έκταση (KM2) : 39.41

Κατάντη : J2

Μέθοδος Απωλειών: SCS

Ποσοστό αδιαπέρατης επιφάνειας	0
Αριθμός Καμπύλης Απορροής-CN	90.74
Αρχικές Απώλειες	5.19

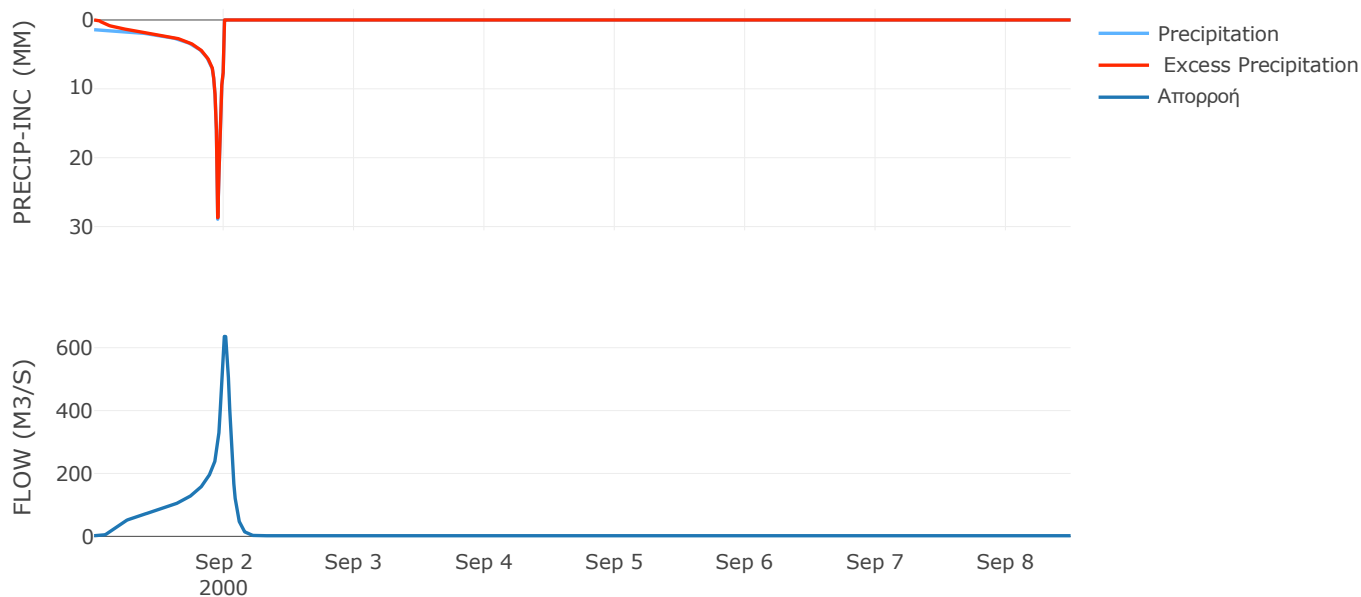
Μέθοδος Μετασχηματισμού:
Scs

Χρόνος Υστέρησης	68.66
------------------	-------

Αποτελέσματα:
EL0415FR0020002

Παροχή αιχμής (M3/S)	635.85
Χρονική στιγμή αιχμής	01Sep2000, 24:00
Όγκος (MM)	346.43
Όγκος βροχόπτωσης (M3)	1.35E7
Όγκος απωλειών (M3)	1.15E6
Ενεργός Όγκος (M3)	1.24E7
Όγκος άμεσης απορροής (M3)	1.24E7
Όγκος βασικής απορροής (M3)	1.28E6

Βροχόπτωση και Απορροή



Υπολεκάνη: EL0415FR0020003

Έκταση (KM2) : 14.18

Κατάντη : J3

Μέθοδος Απωλειών: SCS

Ποσοστό αδιαπέρατης επιφάνειας	0
Αριθμός Καμπύλης Απορροής-CN	90.21
Αρχικές Απώλειες	5.51

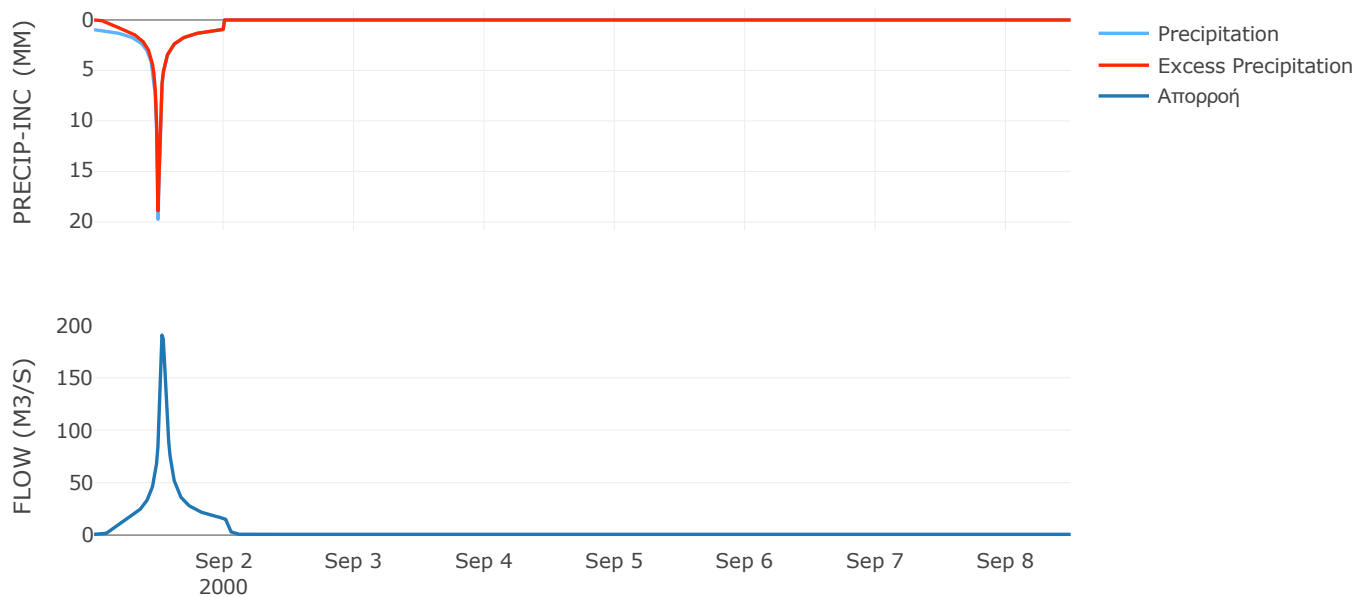
Μέθοδος Μετασχηματισμού:
Scs

Χρόνος Υστέρησης	35.73
------------------	-------

Αποτελέσματα:
EL0415FR0020003

Παροχή αιχμής (M3/S)	190.71
Χρονική στιγμή αιχμής	01Sep2000, 12:30
Όγκος (MM)	234.89
Όγκος βροχόπτωσης (M3)	3.3E6
Όγκος απωλειών (M3)	4.27E5
Ενεργός Όγκος (M3)	2.87E6
Όγκος άμεσης απορροής (M3)	2.87E6
Όγκος βασικής απορροής (M3)	4.6E5

Βροχόπτωση και Απορροή



Υπολεκάνη: EL0415FR0020004

Έκταση (KM2) : 38.04

Κατάντη : J3

Μέθοδος Απωλειών: SCS

Ποσοστό αδιαπέρατης επιφάνειας	0
Αριθμός Καμπύλης Απορροής-CN	87.69
Αρχικές Απώλειες	7.13

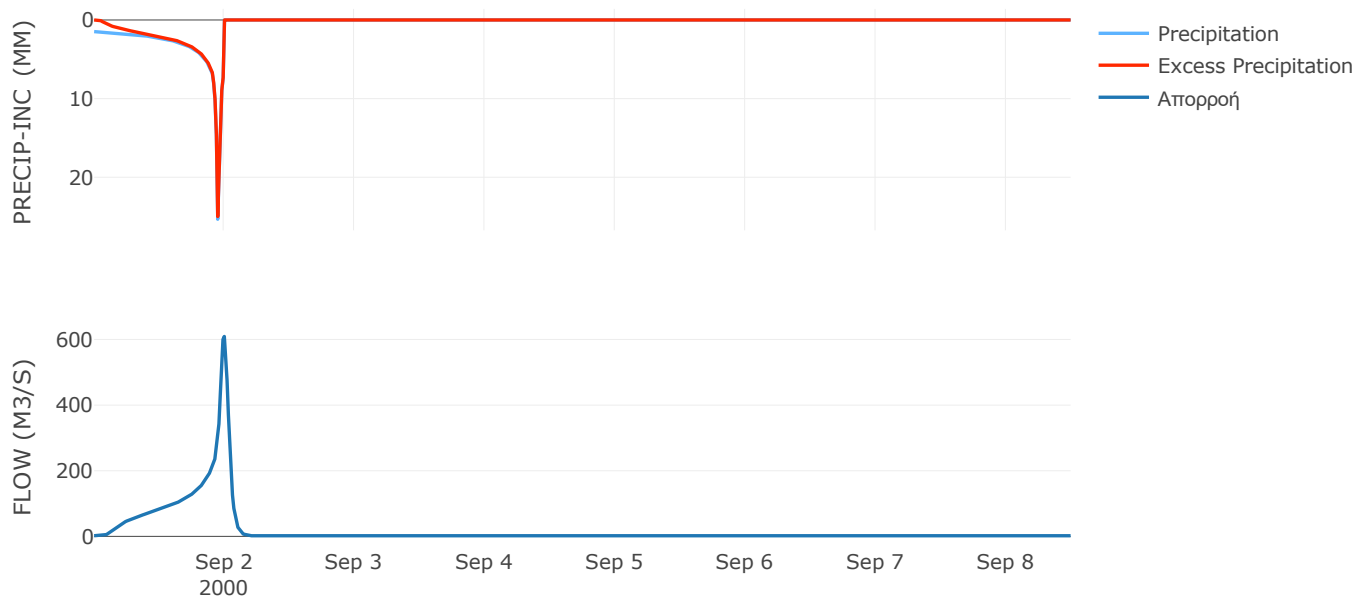
Μέθοδος Μετασχηματισμού:
Scs

Χρόνος Υστέρησης	54.86
------------------	-------

Αποτελέσματα:
EL0415FR0020004

Παροχή αιχμής (M3/S)	609.35
Χρονική στιγμή αιχμής	01Sep2000, 24:00
Όγκος (MM)	329.15
Όγκος βροχόπτωσης (M3)	1.28E7
Όγκος απωλειών (M3)	1.49E6
Ενεργός Όγκος (M3)	1.13E7
Όγκος άμεσης απορροής (M3)	1.13E7
Όγκος βασικής απορροής (M3)	1.23E6

Βροχόπτωση και Απορροή



Υπολεκάνη: EL0415FR0020005

Έκταση (KM2) : 14

Κατάντη : J3

Μέθοδος Απωλειών: SCS

Ποσοστό αδιαπέρατης επιφάνειας	0
Αριθμός Καμπύλης Απορροής-CN	90.23
Αρχικές Απώλειες	5.5

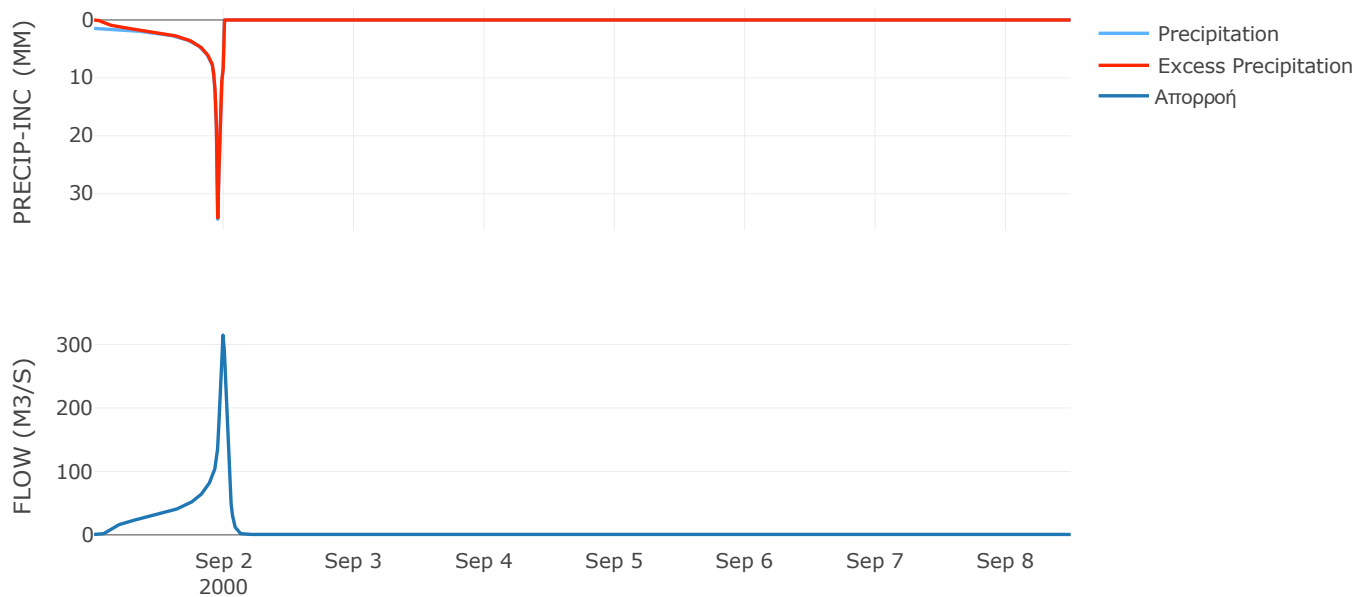
Μέθοδος Μετασχηματισμού:
Scs

Χρόνος Υστέρησης	43.3
------------------	------

Αποτελέσματα:
EL0415FR0020005

Παροχή αιχμής (M3/S)	314.7
Χρονική στιγμή αιχμής	01Sep2000, 23:45
Όγκος (MM)	375.42
Όγκος βροχόπτωσης (M3)	5.24E6
Όγκος απωλειών (M3)	4.35E5
Ενεργός Όγκος (M3)	4.8E6
Όγκος άμεσης απορροής (M3)	4.8E6
Όγκος βασικής απορροής (M3)	4.54E5

Βροχόπτωση και Απορροή



Υπολεκάνη: EL0415FR0020006

Έκταση (KM2) : 32.61

Κατάντη : J4

Μέθοδος Απωλειών: SCS

Ποσοστό αδιαπέρατης επιφάνειας	0
Αριθμός Καμπύλης Απορροής-CN	85.99
Αρχικές Απώλειες	8.28

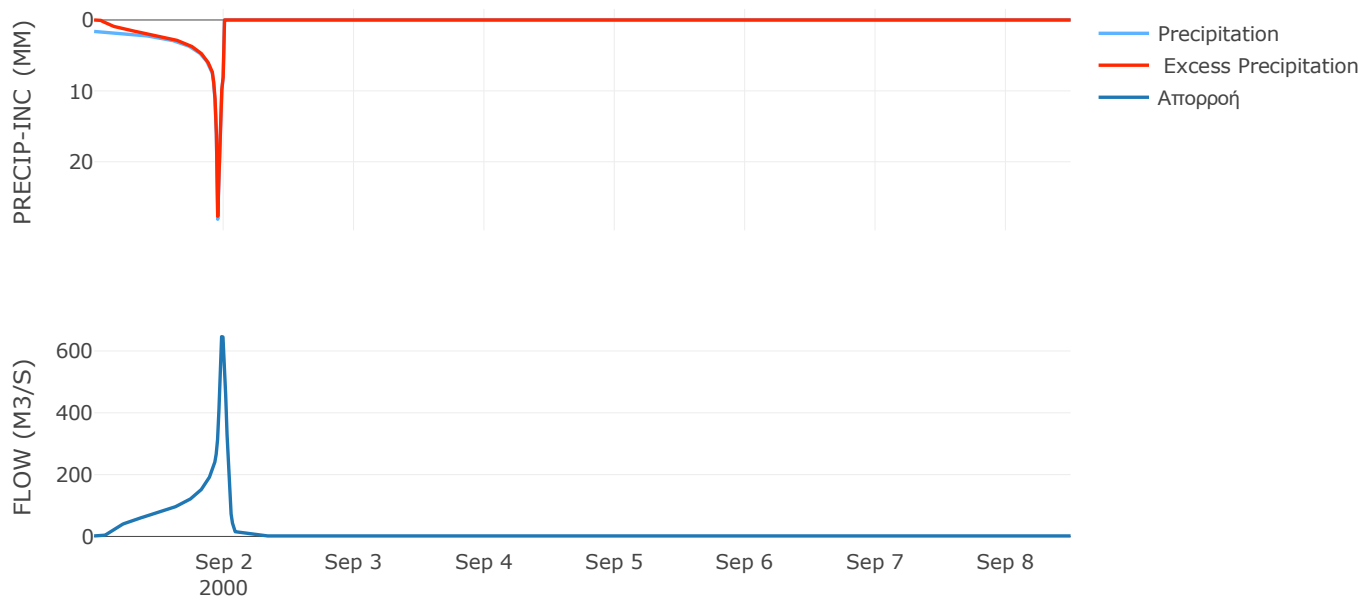
Μέθοδος Μετασχηματισμού:
Scs

Χρόνος Υστέρησης	37.66
------------------	-------

Αποτελέσματα:
EL0415FR0020006

Παροχή αιχμής (M3/S)	646.42
Χρονική στιγμή αιχμής	01Sep2000, 23:30
Όγκος (MM)	356.6
Όγκος βροχόπτωσης (M3)	1.21E7
Όγκος απωλειών (M3)	1.48E6
Ενεργός Όγκος (M3)	1.06E7
Όγκος άμεσης απορροής (M3)	1.06E7
Όγκος βασικής απορροής (M3)	1.06E6

Βροχόπτωση και Απορροή



Υπολεκάνη: EL0415FR0020007

Έκταση (KM2) : 37.84

Κατάντη : J5

Μέθοδος Απωλειών: SCS

Ποσοστό αδιαπέρατης επιφάνειας	0
Αριθμός Καμπύλης Απορροής-CN	87.33
Αρχικές Απώλειες	7.37

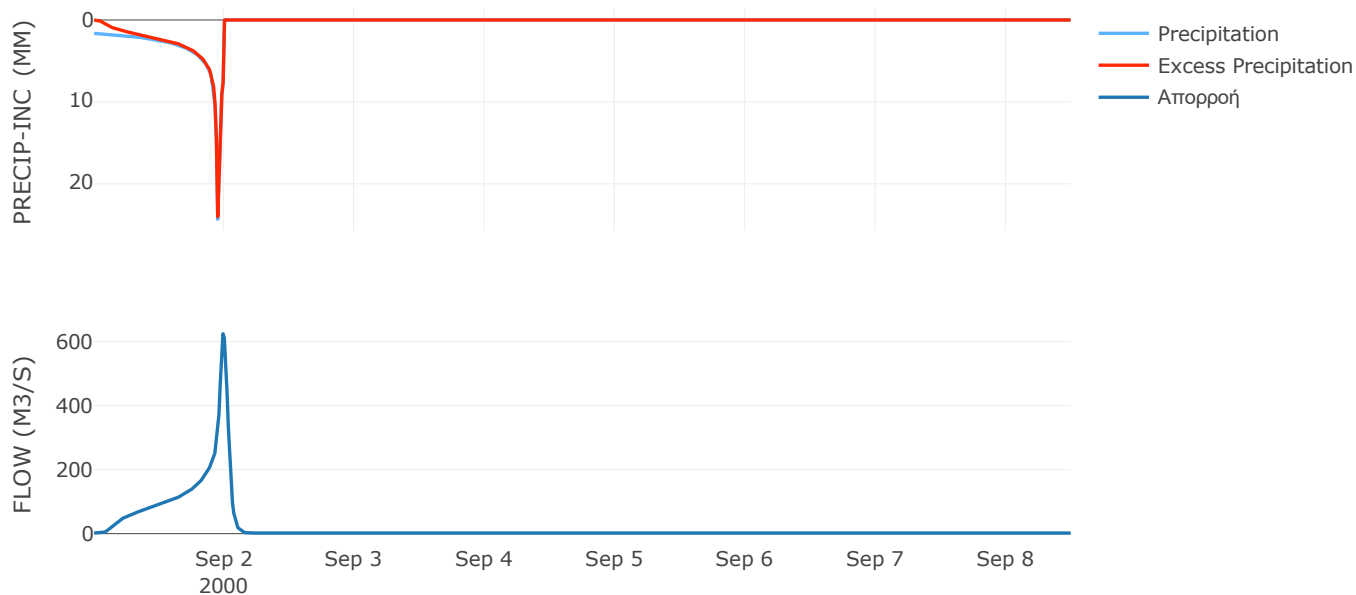
Μέθοδος Μετασχηματισμού:
Scs

Χρόνος Υστέρησης	49.17
------------------	-------

Αποτελέσματα:
EL0415FR0020007

Παροχή αιχμής (M3/S)	624
Χρονική στιγμή αιχμής	01Sep2000, 23:45
Όγκος (MM)	344.56
Όγκος βροχόπτωσης (M3)	1.34E7
Όγκος απωλειών (M3)	1.54E6
Ενεργός Όγκος (M3)	1.18E7
Όγκος άμεσης απορροής (M3)	1.18E7
Όγκος βασικής απορροής (M3)	1.23E6

Βροχόπτωση και Απορροή



Υπολεκάνη: EL0415FR0020008

Έκταση (KM2) : 42.76

Κατάντη : J6

Μέθοδος Απωλειών: SCS

Ποσοστό αδιαπέρατης επιφάνειας	0
Αριθμός Καμπύλης Απορροής-CN	86.83
Αρχικές Απώλειες	7.71

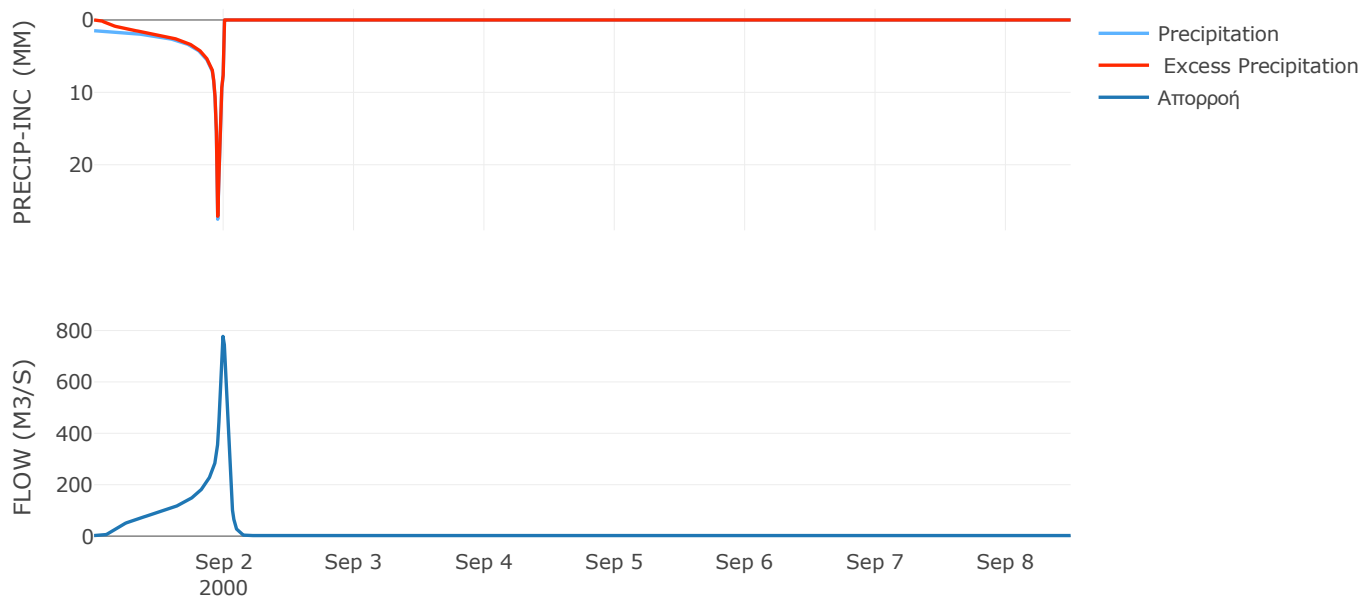
Μέθοδος Μετασχηματισμού:
Scs

Χρόνος Υστέρησης	46.93
------------------	-------

Αποτελέσματα:
EL0415FR0020008

Παροχή αιχμής (M3/S)	777.17
Χρονική στιγμή αιχμής	01Sep2000, 23:45
Όγκος (MM)	337.06
Όγκος βροχόπτωσης (M3)	1.48E7
Όγκος απωλειών (M3)	1.81E6
Ενεργός Όγκος (M3)	1.3E7
Όγκος άμεσης απορροής (M3)	1.3E7
Όγκος βασικής απορροής (M3)	1.39E6

Βροχόπτωση και Απορροή



Υπολεκάνη: EL0415FR0020009

Έκταση (KM2) : 58.35

Κατάνη : J7

Μέθοδος Απωλειών: SCS

Ποσοστό αδιαπέρατης επιφάνειας	0
Αριθμός Καμπύλης Απορροής-CN	84.38
Αρχικές Απώλειες	9.41

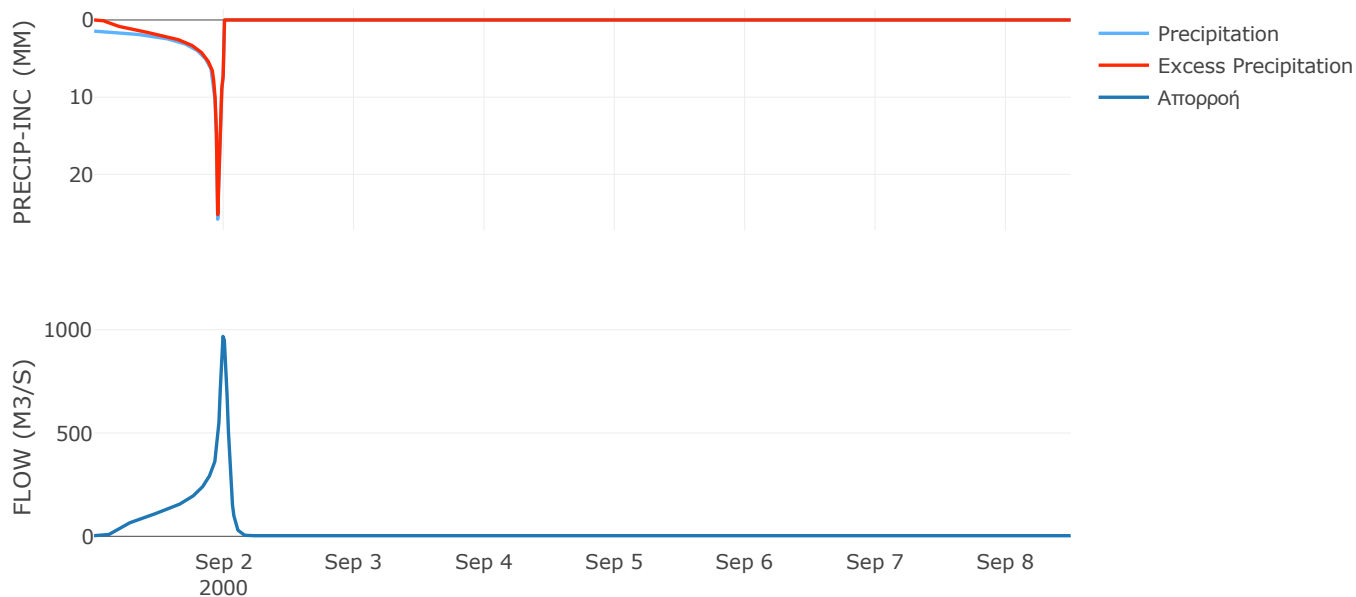
Μέθοδος Μετασχηματισμού:
Scs

Χρόνος Υστέρησης	49.8
------------------	------

Αποτελέσματα:
EL0415FR0020009

Παροχή αιχμής (M3/S)	967.79
Χρονική στιγμή αιχμής	01Sep2000, 23:45
Όγκος (MM)	315.17
Όγκος βροχόπτωσης (M3)	1.94E7
Όγκος απωλειών (M3)	2.95E6
Ενεργός Όγκος (M3)	1.65E7
Όγκος άμεσης απορροής (M3)	1.65E7
Όγκος βασικής απορροής (M3)	1.89E6

Βροχόπτωση και Απορροή



10.2 Δεδομένα και υδρογραφήματα σχεδιασμού Κλάδων υδρογραφικού δικτύου

Κλάδος: R219

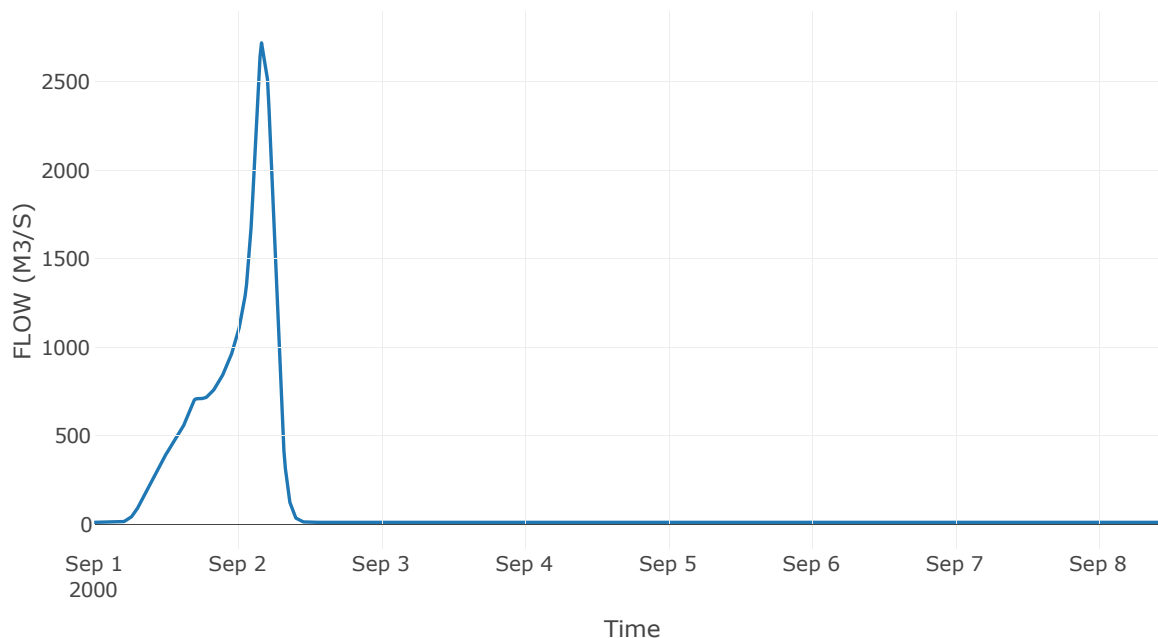
Κατάντη : J19

Μέθοδος Διόδευσης	Muskingum
Αρχική Μεταβλητή	Combined Inflow
Χρόνος Ροής Κ	3.31
Συντελεστής βάρους α	0.2
Πλήθος Υποκλάδων	13

Αποτελέσματα: R219

Παροχή Αιχμής(M3/S)	2745
Χρονική στιγμή αιχμής	02Sep2000, 04:15
Όγκος(MM)	332.73
Παροχή Αιχμής Εισόδου (M3/S)	3004.87
Όγκος Εισροής(M3)	9.22E7

Απορροή



Κλάδος: R32

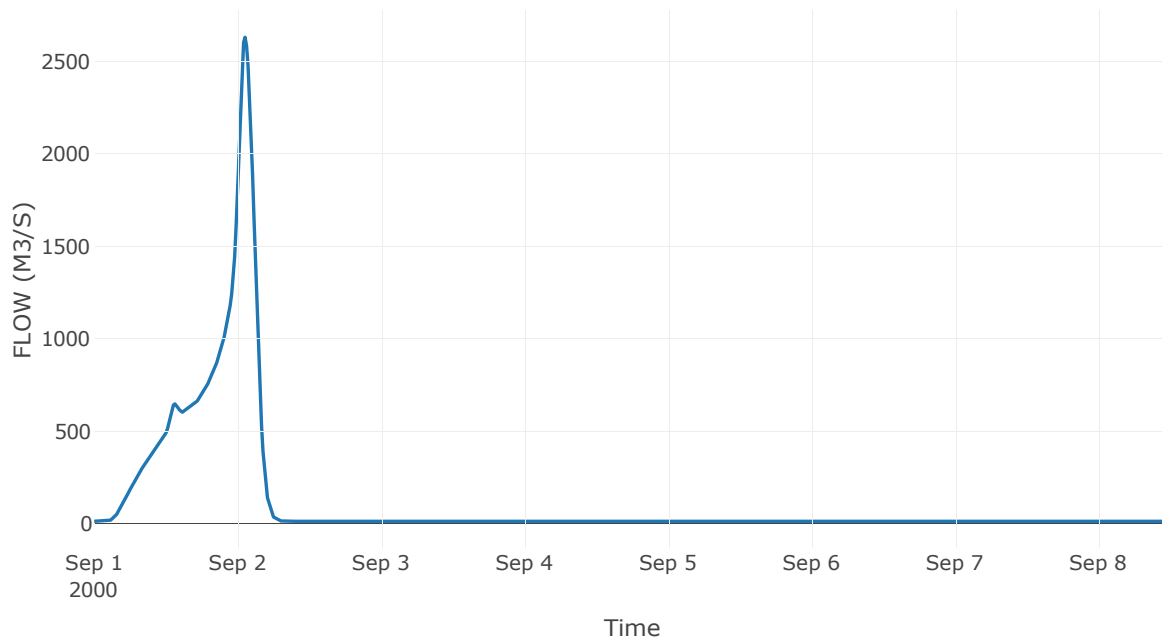
Κατάντη : J2

Μέθοδος Διόδευσης	Muskingum
Αρχική Μεταβλητή	Combined Inflow
Χρόνος Ροής K	0.75
Συντελεστής βάρους x	0.2
Πλήθος Υποκλάδων	3

Αποτελέσματα: R32

Παροχή Αιχμής(M3/S)	2629.34
Χρονική στιγμή αιχμής	02Sep2000, 01:15
Όγκος(MM)	330.46
Παροχή Αιχμής Εισόδου (M3/S)	2703.93
Όγκος Εισροής(M3)	7.86E7

Απορροή



Κλάδος: R43

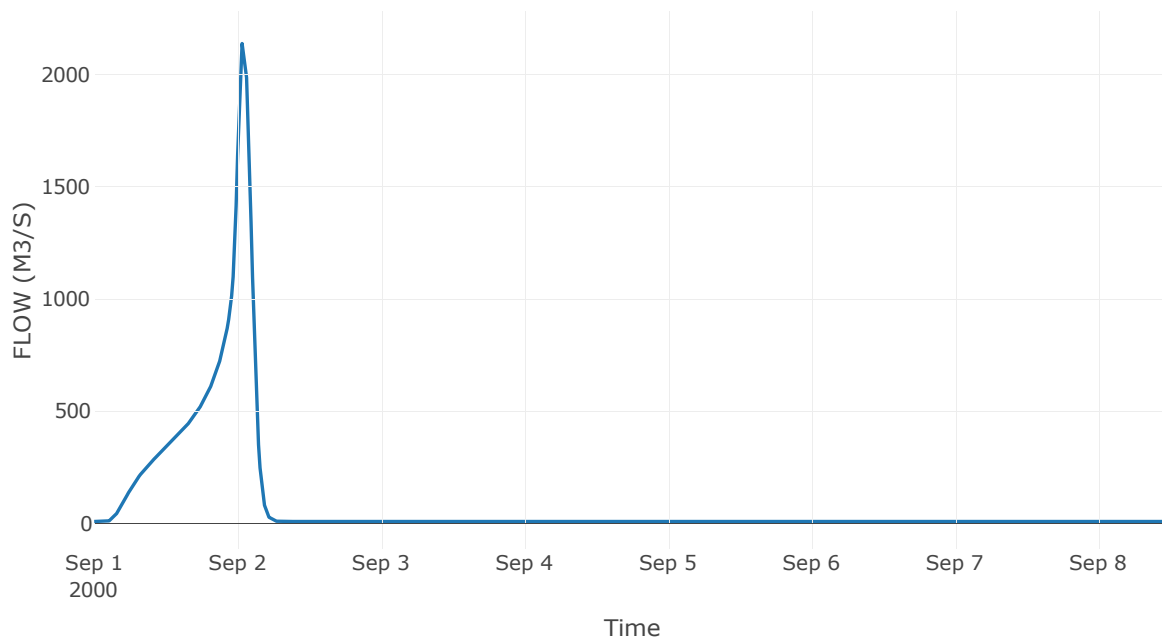
Κατάντη : J3

Μέθοδος Διόδευσης	Muskingum
Αρχική Μεταβλητή	Combined Inflow
Χρόνος Ροής K	0.71
Συντελεστής βάρους x	0.2
Πλήθος Υποκλάδων	3

Αποτελέσματα: R43

Παροχή Αιχμής(M3/S)	2166.34
Χρονική στιγμή αιχμής	02Sep2000, 01:00
Όγκος(MM)	334.98
Παροχή Αιχμής Εισόδου (M3/S)	2235.83
Όγκος Εισροής(M3)	5.75E7

Απορροή



Κλάδος: R54

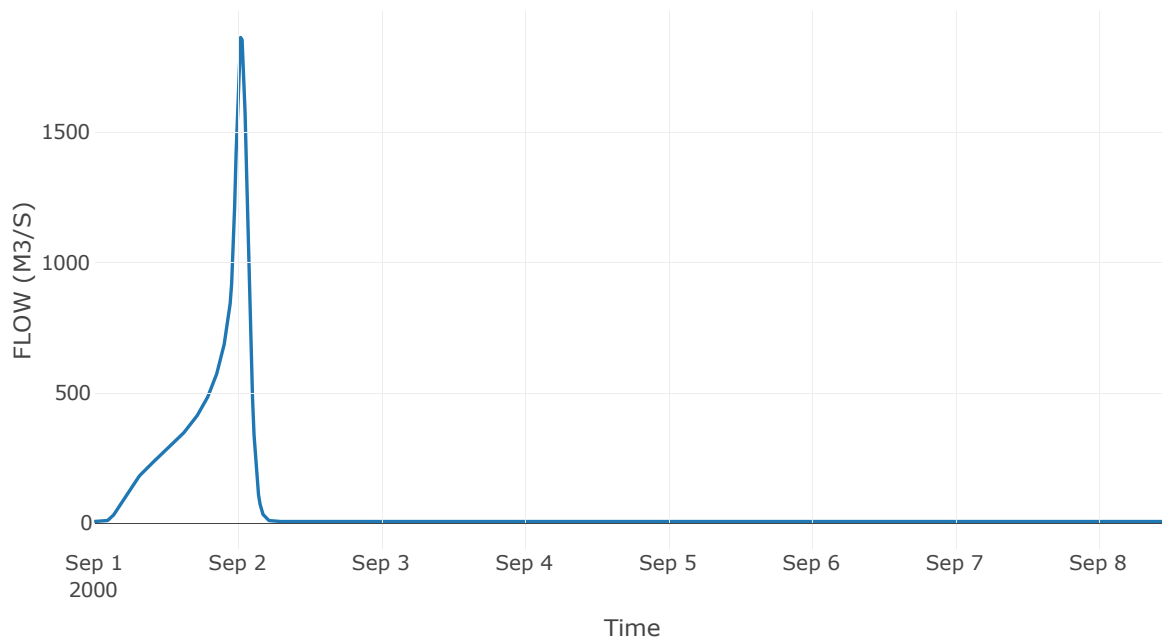
Κατάντη : J4

Μέθοδος Διόδευσης	Muskingum
Αρχική Μεταβλητή	Combined Inflow
Χρόνος Ροής K	0.22
Συντελεστής βάρους x	0.2
Πλήθος Υποκλάδων	1

Αποτελέσματα: R54

Παροχή Αιχμής(M3/S)	1862.5
Χρονική στιγμή αιχμής	02Sep2000, 00:30
Όγκος(MM)	329.91
Παροχή Αιχμής Εισόδου (M3/S)	1882.04
Όγκος Εισροής(M3)	4.58E7

Απορροή



Κλάδος: R65

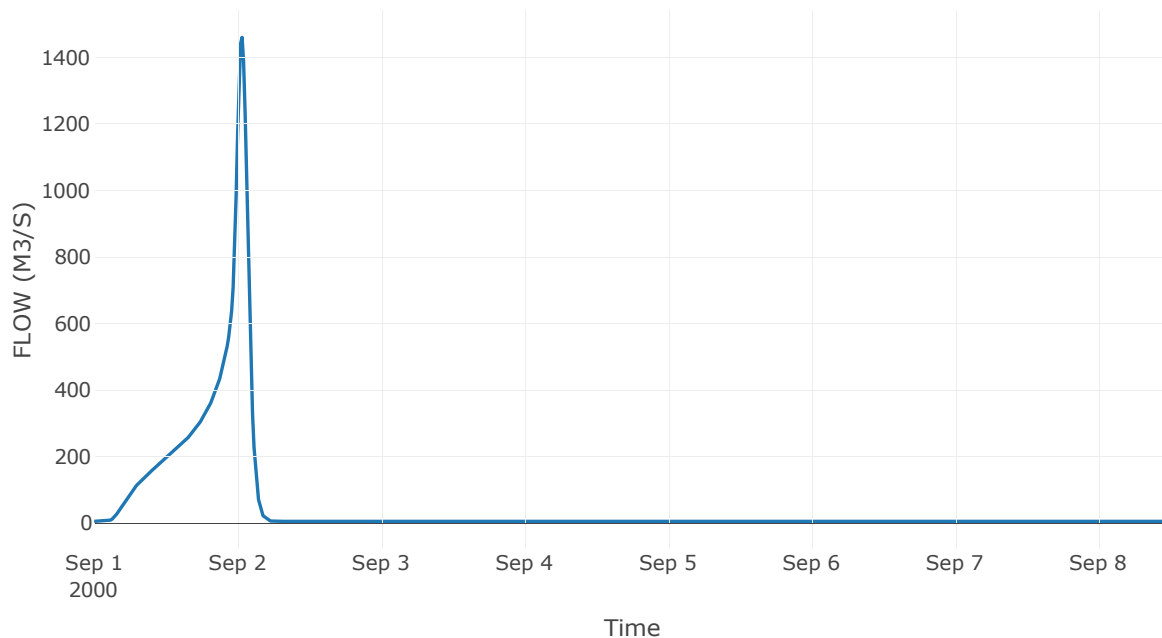
Κατάντη : J5

Μέθοδος Διόδευσης	Muskingum
Αρχική Μεταβλητή	Combined Inflow
Χρόνος Ροής K	0.61
Συντελεστής βάρους x	0.2
Πλήθος Υποκλάδων	2

Αποτελέσματα: R65

Παροχή Αιχμής(M3/S)	1459.96
Χρονική στιγμή αιχμής	02Sep2000, 00:45
Όγκος(MM)	324.43
Παροχή Αιχμής Εισόδου (M3/S)	1543.41
Όγκος Εισροής(M3)	3.28E7

Απορροή



Κλάδος: R76

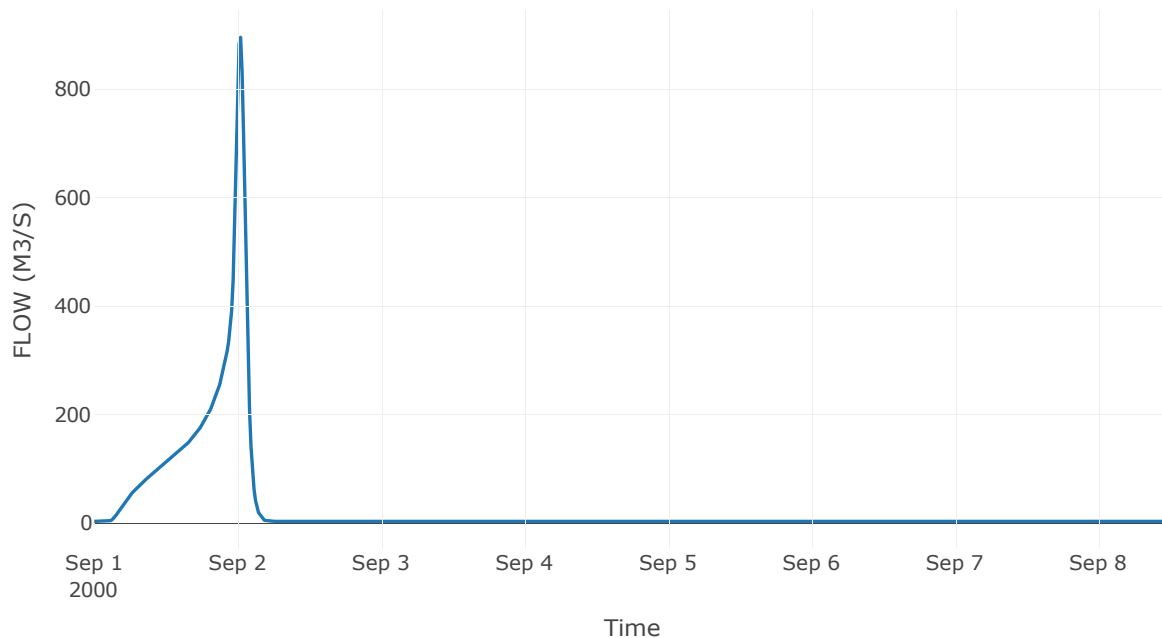
Κατάντη : J6

Μέθοδος Διόδευσης	Muskingum
Αρχική Μεταβλητή	Combined Inflow
Χρόνος Ροής K	0.6
Συντελεστής βάρους x	0.2
Πλήθος Υποκλάδων	2

Αποτελέσματα: R76

Παροχή Αιχμής(M3/S)	895.64
Χρονική στιγμή αιχμής	02Sep2000, 00:30
Όγκος(MM)	315.17
Παροχή Αιχμής Εισόδου (M3/S)	967.79
Όγκος Εισροής(M3)	1.84E7

Απορροή



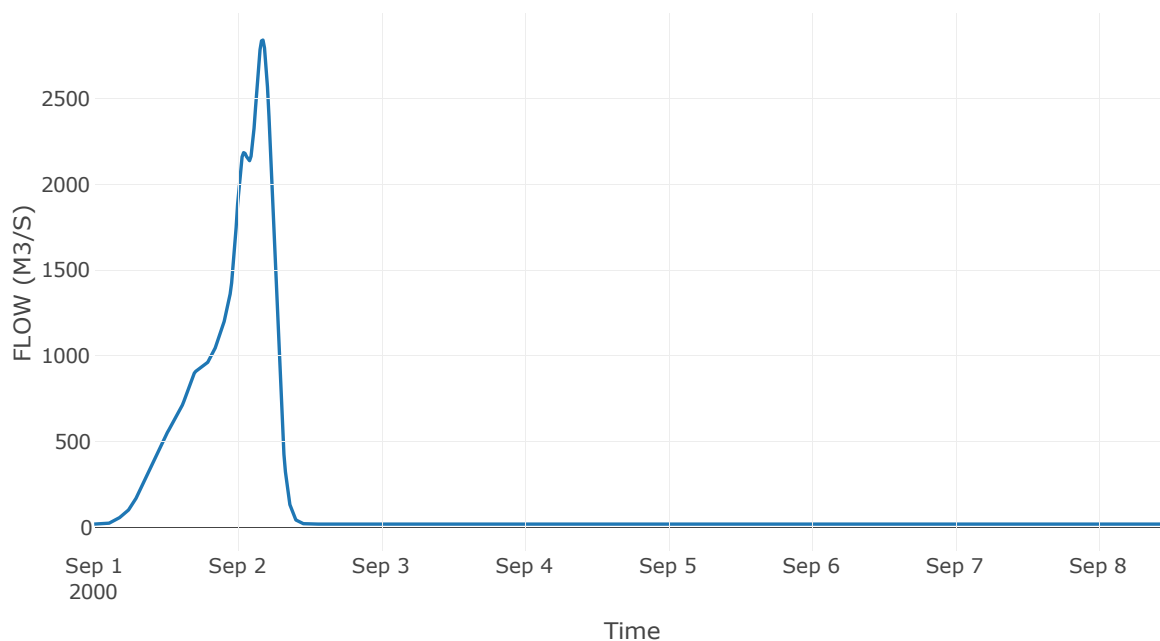
10.3 Δεδομένα και υδρογραφήματα σχεδιασμού Κόμβων υδρογραφικού δικτύου

Κόμβος εξόδου: J19

Αποτελέσματ
α: J19

Παροχή αιχμής (M3/S)	2842.45
Χρονική στιγμή αιχμής	02Sep2000, 04:15
Όγκος (MM)	331.77

Απορροή



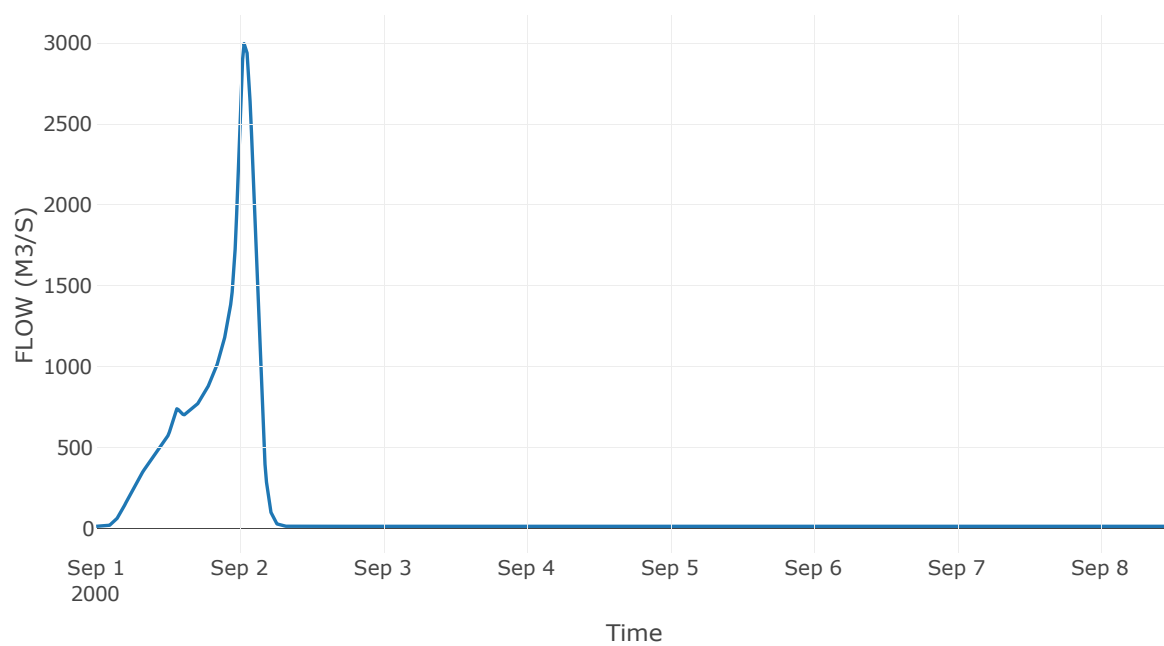
Κόμβος: J2

Κατάντη : R219

Αποτελέσματα: J2

Παροχή Αιχμής(M3/S)	3004.87
Χρονική στιγμή αιχμής	02Sep2000, 01:00
Όγκος(MM)	332.73

Απορροή



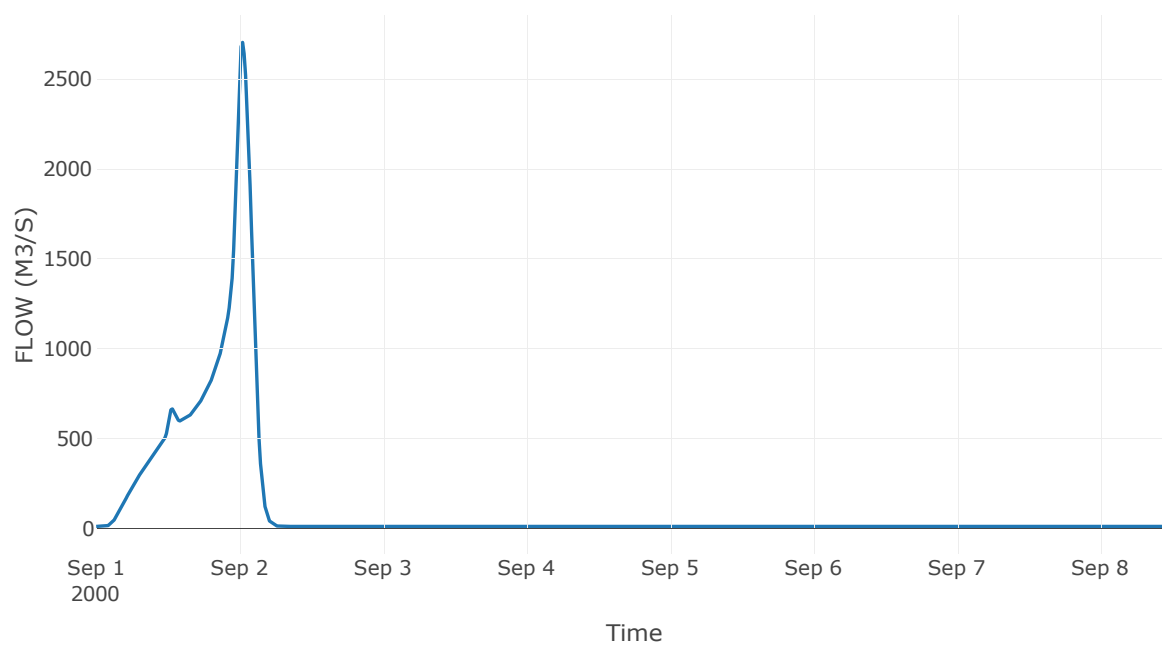
Κόμβος: J3

Κατάντη : R32

Αποτελέσματα: J3

Παροχή Αιχμής(M3/S)	2703.93
Χρονική στιγμή αιχμής	02Sep2000, 00:30
Όγκος(MM)	330.46

Απορροή



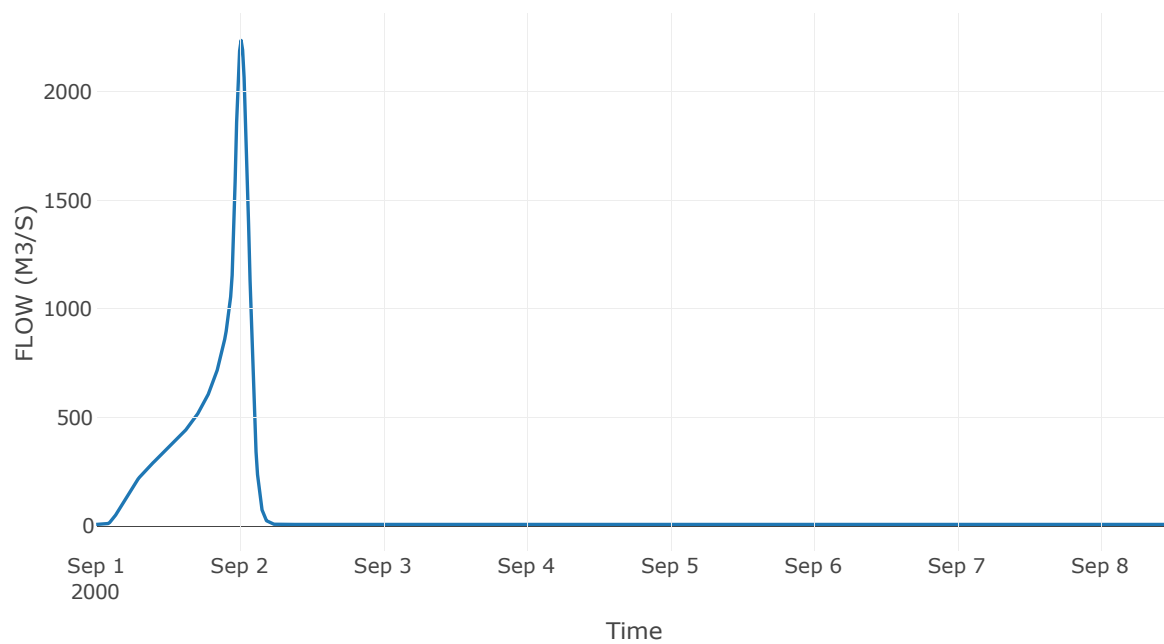
Κόμβος: J4

Κατάντη : R43

Αποτελέσματα: J4

Παροχή Αιχμής(M3/S)	2235.83
Χρονική στιγμή αιχμής	02Sep2000, 00:15
Όγκος(MM)	334.98

Απορροή



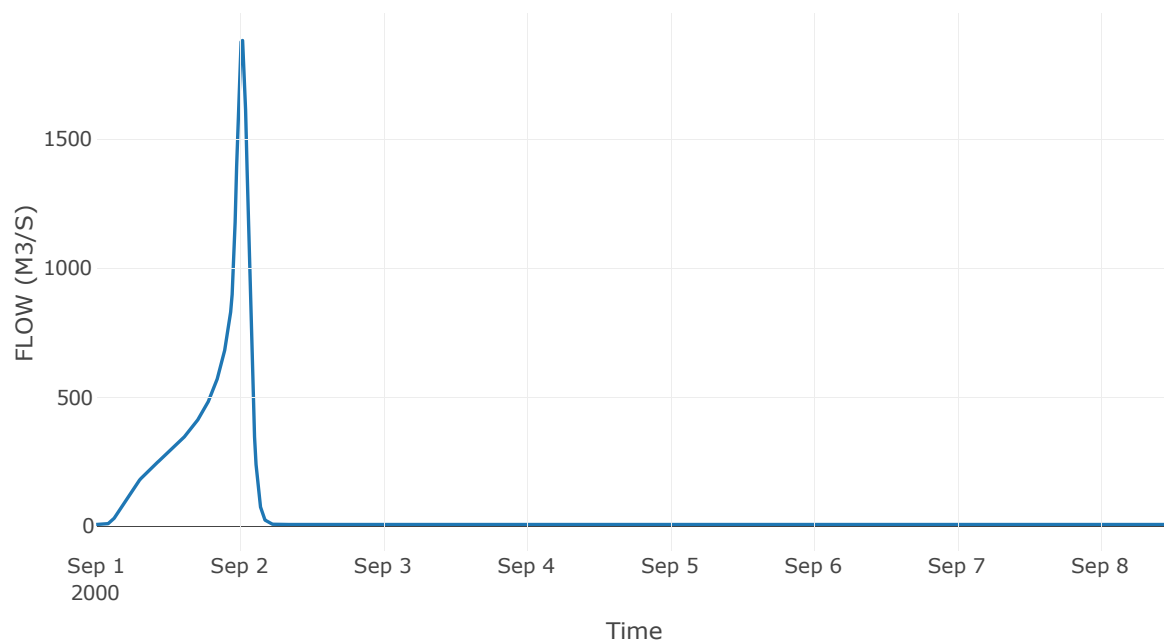
Κόμβος: J5

Κατάντη : R54

Αποτελέσματα: J5

Παροχή Αιχμής(M3/S)	1882.04
Χρονική στιγμή αιχμής	02Sep2000, 00:30
Όγκος(MM)	329.91

Απορροή



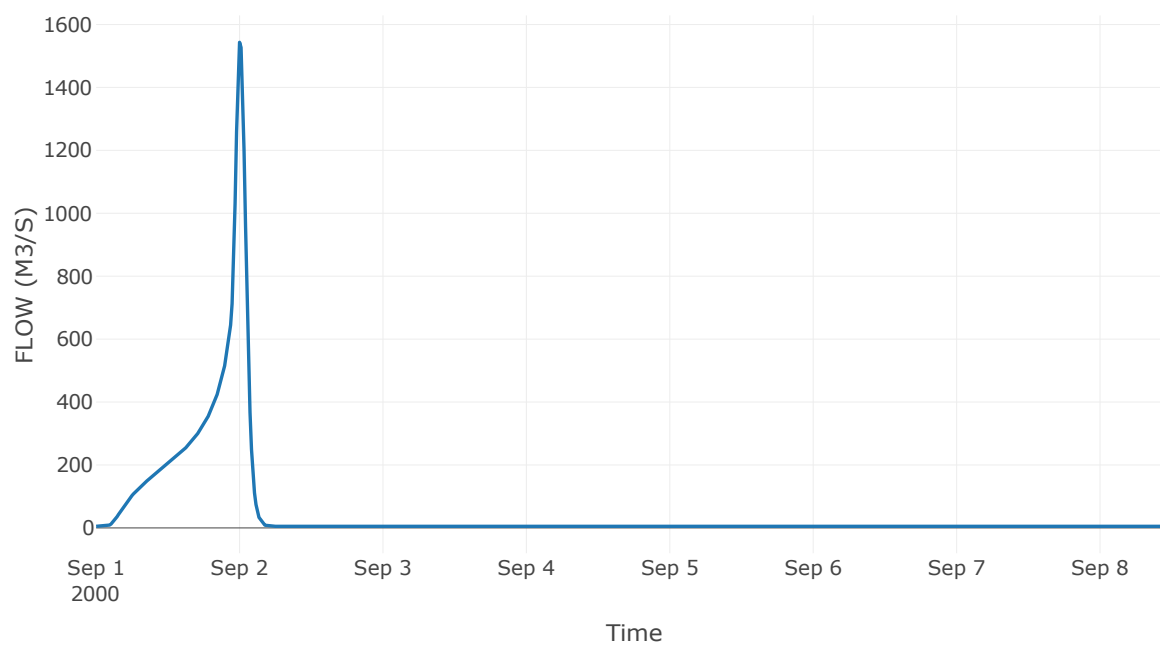
Κόμβος: J6

Κατάντη : R65

Αποτελέσματα: J6

Παροχή Αιχμής(M3/S)	1543.41
Χρονική στιγμή αιχμής	01Sep2000, 24:00
Όγκος(MM)	324.43

Απορροή



Κόμβος: J7

Κατάντη : R76

Αποτελέσματα: J7

Παροχή Αιχμής(M3/S)	967.79
Χρονική στιγμή αιχμής	01Sep2000, 23:45
Όγκος(MM)	315.17

Απορροή

